



Publikationen des Deutschen Archäologischen Instituts

---

Alexandra Ch. J. von Miller

## Neues zum alten Didyma. Zu den frühesten archäologischen Zeugnissen aus dem Heiligtum des Apollon

Istanbuler Mitteilungen 74, 2024, § 1–73

<https://doi.org/10.34780/dd5b-bbc4>

Herausgebende Institution / Publisher:  
Deutsches Archäologisches Institut

Copyright (Digital Edition) © 2025 Deutsches Archäologisches Institut  
Deutsches Archäologisches Institut, Zentrale, Podbielskiallee 69–71, 14195 Berlin, Tel: +49 30 187711-0  
Email: [info@dainst.de](mailto:info@dainst.de) | Web: <https://www.dainst.org>

### Nutzungsbedingungen:

Mit dem Herunterladen erkennen Sie die [Nutzungsbedingungen](#) von iDAI.publications an. Sofern in dem Dokument nichts anderes ausdrücklich vermerkt ist, gelten folgende Nutzungsbedingungen: Die Nutzung der Inhalte ist ausschließlich privaten Nutzerinnen / Nutzern für den eigenen wissenschaftlichen und sonstigen privaten Gebrauch gestattet. Sämtliche Texte, Bilder und sonstige Inhalte in diesem Dokument unterliegen dem Schutz des Urheberrechts gemäß dem Urheberrechtsgesetz der Bundesrepublik Deutschland. Die Inhalte können von Ihnen nur dann genutzt und vervielfältigt werden, wenn Ihnen dies im Einzelfall durch den Rechteinhaber oder die Schrankenregelungen des Urheberrechts gestattet ist. Jede Art der Nutzung zu gewerblichen Zwecken ist untersagt. Zu den Möglichkeiten einer Lizenzierung von Nutzungsrechten wenden Sie sich bitte direkt an die verantwortlichen Herausgeber\*innen der jeweiligen Publikationsorgane oder an die Online-Redaktion des Deutschen Archäologischen Instituts ([info@dainst.de](mailto:info@dainst.de)). Etwaige davon abweichende Lizenzbedingungen sind im Abbildungsnachweis vermerkt.

### Terms of use:

By downloading you accept the [terms of use](#) of iDAI.publications. Unless otherwise stated in the document, the following terms of use are applicable: All materials including texts, articles, images and other content contained in this document are subject to the German copyright. The contents are for personal use only and may only be reproduced or made accessible to third parties if you have gained permission from the copyright owner. Any form of commercial use is expressly prohibited. When seeking the granting of licenses of use or permission to reproduce any kind of material please contact the responsible editors of the publications or contact the Deutsches Archäologisches Institut ([info@dainst.de](mailto:info@dainst.de)). Any deviating terms of use are indicated in the credits.

---

## IMPRESSUM

### Istanbuler Mitteilungen

erscheint seit 1933/*published since 1933*

IstMitt 74, 2024 • 404 Seiten/*pages* mit 311 Abbildungen/*illustrations*

### Herausgeber/*Editors*

Prof. Dr. Felix Pirson • Dr.-Ing. Moritz Kinzel  
Deutsches Archäologisches Institut  
Abteilung Istanbul  
İnönü Caddesi 10  
34437 Gümüşsuyu – Istanbul  
Türkei  
www.dainst.org

### Wissenschaftlicher Beirat/*Advisory Board*

Prof. Dr. Albrecht Berger (München) • Prof. Dr. François Bertemes (Halle) • Dr. Jérémie Chameroy (Mainz) • Prof. Dr. Ortwin Dally (Rom) • Doç. Dr. Yaşar Ersoy (Çorum) • Prof. Dr. Ralf von den Hoff (Freiburg) • Prof. Dr.-Ing. Adolf Hoffmann (Berlin) • Prof. Dr. Mehmet Özdoğan (Istanbul) • Prof. Dr. Peter Pfälzner (Tübingen) • Prof. Dr. Christopher Ratté (Ann Arbor) • Prof. Dr.-Ing. Klaus Rheidt (Cottbus) • Prof. Dr. Frank Rumscheid (Bonn) • Prof. Dr.-Ing. Dorothee Sack (Berlin) • Prof. Dr. Dirk Steuernagel (Regensburg) • Prof. Dr. Fabian Stroth (Freiburg) • Prof. Dr. Engelbert Winter (Münster) • Prof. Dr. Martin Zimmermann (München)

### Peer Review

Alle für die Istanbuler Mitteilungen eingereichten Beiträge werden einem doppelblinden Peer-Review-Verfahren durch internationale Fachgutachterinnen und -gutachter unterzogen./*All articles submitted to the Istanbuler Mitteilungen are reviewed by international experts in a double-blind peer review process.*

### Indices

Istanbuler Mitteilungen sind indiziert im/*Istanbuler Mitteilungen are indexed in the* European Reference Index for the Humanities and Social Sciences ERIHPLUS und in der/*and in the* Expertly Curated Abstract and Citation Database Scopus.

### Redaktion und Layout/*Editing and Typesetting*

Gesamtverantwortliche Redaktion/*Publishing editor:*

Deutsches Archäologisches Institut, Redaktion der Abteilung Istanbul, İnönü Caddesi 10, 34437 Gümüşsuyu-Istanbul, Türkei

Kontakt für Manuskriptenreichung/*Contact for article submissions:* redaktion.istanbul@dainst.de

Redaktion/*Editing:* Martina Koch, Ulrich Mania

Satz/*Typesetting:* le-tex publishing services GmbH, Leipzig

Corporate Design, Layoutgestaltung/*Layout design:* LMK Büro für Kommunikationsdesign, Berlin

Umschlagfoto/*Cover illustration:* Ausschnitt aus Abb. 15 im Beitrag von Westbrook – Nowland (Grafik: Nigel Westbrook auf Basis von Melchior Lorck: <http://hdl.handle.net/1887.1/item:2026523>)/*Detail from fig. 15 in the article by Westbrook – Nowland (graphic: Nigel Westbrook based on Melchior Lorck: http://hdl.handle.net/1887.1/item:2026523)*

### Druckausgabe/*Printed edition*

© 2025 Deutsches Archäologisches Institut, Berlin

Druck und Vertrieb/*Printing and Distribution:* Dr. Ludwig Reichert Verlag, Tauernstraße 11, 65199 Wiesbaden •

info@reichert-verlag.de, www.reichert-verlag.de

P-ISSN: 0341-9142 – ISBN: 978-3-7520-0870-8

Das Werk einschließlich aller seiner Teile ist urheberrechtlich geschützt. Eine Nutzung ohne Zustimmung des Deutschen Archäologischen Instituts und/oder der jeweiligen Rechteinhaber ist nur innerhalb der engen Grenzen des Urheberrechtsgesetzes zulässig. Etwaige abweichende Nutzungsmöglichkeiten für Text und Abbildungen sind gesondert im Band vermerkt./*This work, including all of its parts, is protected by copyright. Any use beyond the limits of copyright law is only allowed with the permission of the German Archaeological Institute and/or the respective copyright holders. Any deviating terms of use for text and images are indicated in the credits.*

Druck und Bindung in Deutschland/*Printed and Bound in Germany*

### Digitale Ausgabe/*Digital edition*

© 2025 Deutsches Archäologisches Institut, Berlin

Webdesign/*Webdesign:* LMK Büro für Kommunikationsdesign, Berlin

XML-Export, Konvertierung/*XML-Export, Conversion:* digital publishing competence, München

Programmierung Viewer-Ausgabe/*Programming Viewer:* LEAN BAKERY, München

E-ISSN: 2940-8202 – DOI: <https://doi.org/10.34780/bwxytyg03>

Zu den Nutzungsbedingungen siehe/*For the terms of use see:* <https://publications.dainst.org/journals/index/termsOfUse>



**ABSTRACT**

**New Reflections on Ancient Didyma**

On the Earliest Archaeological Evidence from the Sanctuary of Apollo

Alexandra Ch. J. von Miller

This article deals with the early period of the sanctuary of Apollo at Didyma. While the literary tradition (Hdt. 1, 157; Paus. 7, 2, 6) points to the great age and pre-Greek origins of the sanctuary, the archaeological evidence has failed to provide corresponding proof. Therefore, both aspects have so far been discussed based on literary, historical, religious, and topographical considerations. In the first part of the contribution, the oldest archaeological features and finds relevant for assessing the beginnings of the sanctuary – mainly pottery – from the Bronze and Early Iron ages that have been found and documented since the resumption of the German excavations in the 1960s are compiled and discussed. The associated catalogue introduces pottery finds from various sites in Didyma, which represent the primary archaeological source for the chronological period under investigation. The second part of the article examines the question of the visibility of Carian cult participants in the Apollo sanctuary of the Geometric and Archaic periods. The discussion centres on a group of vessels painted in Carian style dating from the Late Geometric to Early Archaic periods and on few Carian graffiti on vessel types, which belong to the typical local tableware that was used for ritual banqueting in the Late Archaic period.

**KEYWORDS**

Didyma, sanctuary of Apollo, pottery, Late Bronze Age, Early Iron Age, Archaic period

# Neues zum alten Didyma

## Zu den frühesten archäologischen Zeugnissen aus dem Heiligtum des Apollon

### Einleitung

<sup>1</sup> Die antike literarische Überlieferung bei Herodot bescheinigt dem Apollonheiligtum von Didyma<sup>1</sup> einen altehrwürdigen Ursprung, der von Pausanias konkretisiert und in die Zeit vor der griechischen Besiedlung durch die Ioner datiert wird<sup>2</sup>. Traditionellerweise wird die Gründung der ionischen Städte mit dem literarisch überlieferten Narrativ der sog. Ionischen Wanderung bzw. Migration verknüpft, von der auch Pausanias ausführlich zu berichten weiß<sup>3</sup>. Man wird daher nicht fehlgehen in

---

1 Mein aufrichtiger Dank gebührt an erster Stelle der Grabungsleiterin von Didyma Helga Bumke (Halle), die mir die Bearbeitung der frühen Befunde und Keramikensembles aus den Altgrabungen anvertraute und diese in jeder Form vorbehaltlos unterstützte, sowie der stellvertretenden Grabungsleiterin Aylin Tanrıöver (Halle) für die mannigfache Hilfe bei sämtlichen organisatorischen Belangen vor Ort. Den beiden Regierungsvertreterinnen Fatma Sipahioğlu (Miletmuseum, Balat) und Melek Yildizturan (Archäologisches Museum, Ankara) sowie dem Miletmuseum in Balat mit seinem Direktor Baran Aydın danke ich für die wohlwollende Unterstützung während der Depotkampagnen 2021 und 2022 und schließlich Hasibe Akat (Miletmuseum, Balat) für ihre Bemühungen bei der Suche nach den ins Museum verbrachten Funden aus den Altgrabungen. Ignasi-Xavier Adiego (Barcelona) und Sebastian Prignitz (Berlin) bin ich für die bereitwillige Lesung und Diskussion der Graffiti **Kat 144** und **Kat 145** verpflichtet, Christina L. Kolb (Athen) fertigte die Umzeichnungen der Katalogstücke für den Tafelteil an, Julius Roch (Göttingen) gewährte großzügige Hilfe bei der Photoverwaltung. Elgin von Gaisberg und Elea Koenigsaecker (beide Berlin) haben mir dankenswerterweise die Plangrundlage für die Fundstellenkartierungen Abb. 1. 2. 3 zur Verfügung gestellt, die Übersicht der Felsbarre (Abb. 17) geht auf die Plangrundlage von Peter Schneider (Esslingen) zurück. Elgin von Gaisberg bin ich überdies für ihre kollegiale Diskussionsbereitschaft verpflichtet, Anja Slawisch (Edinburgh) für bereitwillig gewährte Informationen sowie die Bereitstellung eines Photos der noch unpublizierten minoischen Tasse aus den Grabungen des Jahres 2004 im Tempelbereich (Abb. 5). Dem Deutschen Archäologischen Institut, Abteilung Istanbul und der Martin-Luther-Universität Halle-Wittenberg ist die Gewährleistung der für die Durchführung der Arbeiten notwendigen Rahmenbedingungen zu verdanken. Den Gutachtern bzw. Gutachterinnen danke ich für willkommene Anmerkungen zur Optimierung des Manuskripts, den Herausgebern der Istanbuler Mitteilungen für die Aufnahme des Beitrages sowie dem Redaktionsteam Ulrich Mania und Martina Koch (beide Istanbul) für die freundliche und kompetente Begleitung der finalen Publikationsvorbereitung, insbesondere für die Bearbeitung der Katalogabbildungen. Die Grabungstagebücher werden im Folgenden mit Didyma, TB, die Feldbücher mit Didyma, FB zitiert.

2 Hdt 1, 157: μαντήιον ἐκ παλαιοῦ ἰδρυμένον; Paus. 7, 2, 6: τὸ δὲ ἱερόν τὸ ἐν Διδύμοις τοῦ Ἀπόλλωνος καὶ τὸ μαντεῖόν ἐστιν ἀρχαιότερον ἢ κατὰ Τῶνων ἐσοίκησιν; vgl. dazu Tuchelt 1970, 191 f.; Tuchelt 1992a, 10.

3 Paus. 7, 2, 1–4.

Startbild:  
Vogelkotyle, Detail von Kat. 143

der Annahme, Pausanias selbst habe bei seiner relativen Zeitangabe bezüglich des Heiligtums von *Didyma* eben jene Ankunft der ionischen Griechen in Kleinasien unter der Führung des athenischen Königssohnes Neileos vor Augen gehabt, die er wenige Zeilen zuvor geschildert hat<sup>4</sup>. Der von W.-D. Niemeier überzeugend geführte Nachweis von *Milet* als ein minoisch-mykenisches und damit schon in der Bronzezeit (auch) griechisch geprägtes Territorium<sup>5</sup> kann in Zusammenhang mit der Nachricht bei Pausanias für die Perspektive des antiken Schriftstellers auf die Ereignisse daher wohl außer Acht gelassen werden.

2 Die Frage der ›Ionischen Migration‹ und besonders die Historizität der diesbezüglichen literarischen und epigraphischen Überlieferung werden bis in die Gegenwart sehr kontrovers diskutiert<sup>6</sup>. Im Wesentlichen stehen sich in der aktuellen altertumswissenschaftlichen Debatte zwei Haltungen gegenüber, von denen die eine jedwede Historizität der literarischen Überlieferung, die als politisch motiviertes Konstrukt der archaischen und klassischen Zeit verstanden wird, in Abrede stellt<sup>7</sup>, während die andere – nicht zuletzt vor dem Hintergrund empirischer archäologischer Evidenzen – in unterschiedlichem Maße dazu geneigt ist, den tradierten Legenden betreffend die Gründung der ionischen Städte einen historischen Kern zuzubilligen<sup>8</sup>. Unter jenen Vertretern der gegenwärtigen archäologischen Forschung, die tatsächliche historische Begebenheiten hinter den Berichten in Betracht ziehen, herrscht bei allen Unterschieden in der Detailinterpretation immerhin weitestgehende Einigkeit darin, dass die schriftliche Tradition der späteren Epochen<sup>9</sup> kollektive Erinnerungen an Ereignisse reflektieren dürfte, die ab der Wende vom 2. in das 1. Jahrtausend (ca. 1200–900 v. Chr.) vonstattengegangen sind<sup>10</sup>. Die mit dem Begriff der ›Ionischen Migration‹ verschlagworteten Prozesse werden im archäologischen Befund traditionellerweise mit der – mitunter spärlichen und aus stratigraphischer Sicht nicht selten nur bedingt aussagekräftigen – Verbreitung

---

4 Vgl. Herda 1998, 2 f. 8 f.

5 Niemeier – Niemeier 1997, 194–205. 218–229; Niemeier 2007a, 8–14 (Milet III–VI); Niemeier 2007b, 51–87; Niemeier 2009. Zur materiellen Kultur vgl. auch Kaiser 2013a sowie vorsichtiger in der Interpretation Kaiser – Zurbach 2015 mit Fokus auf das anatolische Element in der materiellen Kultur des ›mykenischen‹ Milets. In der im 4. Jh. v. Chr. erstmals fassbaren Überlieferung einer der ionischen Landnahme unter Neileos vorausgegangenen älteren Besiedlung Milets durch Neuankömmlinge aus Kreta könnte eine tradierte Erinnerung an das bronzezeitliche Milet einen Niederschlag gefunden haben; Ephoros von Kyme: FGrH 70 F 127; Paus. 7, 2, 5; Strab. 14, 1, 6. 634. Zur Deutung dieser Episode vgl. Herda 1998, 7–10; Niemeier 2007a, 3 mit Anm. 2; 16 f.; Niemeier 2009.

6 Vgl. zuletzt im Überblick Niemeier 2019b, 154; Kotsonas – Mokrišová 2020, 221–227; Mariaud 2020, bes. 968–961.

7 Cobet 2007; Crielaard 2009; Vaessen 2014; Vaessen 2015; Mac Sweeney 2016; Mac Sweeney 2017; Mac Sweeney 2022, jeweils mit umfangreicher Diskussion und Literatur.

8 Kerschner 2006; Vanschoonwinkel 2006, bes. 115–130; Lemos 2007; Niemeier 2007b, 87–90; Herda 2009; Herda – Sauter 2009, 66–69; Niemeier 2009, bes. 24; Herda 2013, 426–428; Niemeier 2019b, 154–163. 189 f., jeweils mit umfangreicher Diskussion und Literatur.

9 Am ausführlichsten berichten Herodot, Strabon und Pausanias; vgl. dazu Vanschoonwinkel 2006, 115–126 sowie Mac Sweeney 2017, 401–412 mit einer umfassenden Übersicht über die literarischen Quellen Mac Sweeney 2017, 402–405 Tab. 1; siehe auch Mac Sweeney 2022.

10 Der traditionelle chronologische Ansatz im 11. Jh. v. Chr. gesteht den Berechnungen, die auf dem Marmor Parium (3. Jh. v. Chr.) mit den Daten 1087/1085 bzw. 1077/1075 v. Chr. inschriftlich und bei einigen antiken Autoren (Eratosthenes, Apollodor und Kastor (1044/1043 v. Chr.), Eusebius (1045/1036 v. Chr.) literarisch für die Gründung der zwölf ionischen Städte *Phokaia*, *Chios*, *Erythrai*, *Klazomenai*, *Teos*, *Lebedos*, *Kolophon*, *Ephesos*, *Samos*, *Priene*, *Myous* und *Milet* überliefert sind, eine grundsätzliche Glaubwürdigkeit zu; vgl. Vanschoonwinkel 2006, 126 f.; Cobet 2007, 733 f.; Herda 2009, 28 mit Anm. 6. 7; Herda 2013, 426 mit Anm. 18. Den Angelpunkt für die von der modernen Archäologie in Betracht gezogene und mit der Sagenchronologie näherungsweise übereinstimmende Absolutdatierung stellt allerdings die Chronologie des archäologischen Befundes von Troja dar bzw. die Datierung jener Zerstörungsereignisse, die mit dem bei Homer geschilderten trojanischen Krieg verknüpft werden könnten. Hierzu gibt es zwei voneinander um etwa zwei Jahrhunderte abweichende Vorschläge, welche dieses Ereignis im mittleren 13. Jh. v. Chr. (nach G. Huxley; C. W. Blegen) oder aber erst im mittleren 11. Jh. v. Chr. (nach P. Mountjoy) für möglich halten; vgl. Lemos 2007, 715. Der eisenzeitlichen Datierung der ›Ionischen Migration‹ steht ein Vorschlag gegenüber, der auf Basis archäologischer Überlegungen der ausgehenden Bronzezeit nach dem Ende der mykenischen Paläste (SH IIIc) als wahrscheinlicherer Epoche für Migrationsbewegungen in der Ägäis den Vorzug gibt; vgl. Lemos 2007, bes. 721–725; Niemeier 2019b, 190.

der in einen gesamtgriechischen Kontext eingebetteten submykenischen und vor allem protogeometrischen Feinkeramik an Fundorten entlang der Westküste Kleinasiens verknüpft<sup>11</sup>.

3 Im südlichen Ionien kann Milet als der wohl wichtigste Fundplatz gelten, an dem der Nachweis submykenischer und protogeometrischer Keramik bei Grabungen im Bereich des Athenatempels und an der hellenistischen Stadtmauer erbracht werden konnte<sup>12</sup>. Aus dem milesischen Umland sind vereinzelt (sub)protogeometrische Fragmente auf dem Kale Tepe und aus *Assesos* auf dem Mengerev Tepe<sup>13</sup> sowie aus dem karischen *Teichioussa* am Golf von Akbuk bekannt<sup>14</sup>. Sofern wir vor diesem Hintergrund das Vorhandensein von protogeometrischer Keramik als glaubwürdiges Indiz für eine intensiviertere Wiederaufnahme der Kontakte innerhalb der Ägäis sowie eine damit einhergehende Anwesenheit von (ionischen?) Griechen in der Region anerkennen wollen<sup>15</sup>, kann also konstatiert werden, dass eine nachmykenisch-griechische Prägung der Milesia spätestens im frühen 1. Jahrtausend v. Chr. bestätigt zu sein scheint. Mit Blick auf unsere zentrale Frage nach den Anfängen des Apollonheiligtums von Didyma und die eingangs erwähnte, relative Datierungsangabe bei Pausanias ist an dieser Stelle zunächst festzuhalten, dass durch den Nachweis protogeometrischer Befunde und Funde in der Milesia ein Terminus ante quem gewonnen ist, welcher der Annahme eines – nicht näher spezifizierten – voreisenzeitlichen Ursprungs des Kultes nicht entgegensteht.

4 Die Information über den vorgriechischen Ursprung des Apollonkultes ist aber nicht allein in chronologischer Hinsicht relevant, impliziert die Überlieferung damit doch zugleich eine Genese des Kultes aus lokalen Traditionen und Glaubensvorstellungen der autochthonen karischen (und lelegischen?) Bevölkerung<sup>16</sup>.

- 
- 11 Vgl. Lemos 2002, 148. 182 f.; Kerschner 2003a; Aytaçlar 2004; Kerschner 2006, bes. 364 f.; Vanschoonwinkel 2006, 128–130; Ersoy 2007, 151–153; Lemos 2007, 717–721; Niemeier 2007a, 17 f.; Tsakos 2007, 190 Taf. 23, 1; Forstenpointner u. a. 2008, bes. 33–36; Herda 2009, 73–76; Kerschner 2011, 22–25; Kerschner 2014a, bes. 119–122; Vaessen 2014; Vaessen 2015, 823 f.; Kerschner 2017, 17–30; Mac Sweeney 2017, 387–397, bes. 390–394 Abb. 2; Ersoy 2022, bes. 108–124; Ersoy – Vaessen 2022.
- 12 Weickert 1957, 121 f. Taf. 36; Hommel 1959/1960, 52–55; Taf. 51–53. 55; Schiering 1968, 145 Taf. 34, 3. 4; von Graeve 1973/1974, 89 Nr. 1. 3; Taf. 17; Schiering 1979, 89 f. 103 f. Taf. 23; Niemeier – Niemeier 1997, 205 f. 218; Krumme 2003; Krumme 2015. Als subprotogeometrische Fazies bleiben protogeometrische Dekorsysteme in der lokalen Gefäßproduktion allerdings bis in das frühe 7. Jh. v. Chr. geläufig; vgl. dazu Niemeier – Niemeier 1997, 216 mit Anm. 236; Kerschner 1999, 19 f.; Krumme 2015, bes. 589.
- 13 Kleiner u. a. 1967, 83. 161–166 Abb. 102. 104–110; Taf. 7; Lohmann 1995, 311; Senff 1995, 225; Lohmann u. a. 2007, 107 f.; Lohmann u. a. 2017, 145 f. 160 Tab. 9.
- 14 Voigtländer 1986, 624. 651 f. Nr. 67–69 Abb. 25; Voigtländer 1988, 605. 608 Nr. 5. 6 Abb. 39; 607 f. 625 Nr. 63 Abb. 51; Voigtländer 2004, 148 f. 309–312; vgl. auch Lohmann 1997, 288–290.
- 15 Die Forschungen von W.-D. und B. Niemeier in Milet haben gezeigt, dass Milet wohl die einzige der ionischen Städte an der kleinasiatischen Westküste ist, die bereits in der mittleren Spätbronzezeit (Milet V) als eindeutig griechisch (= mykenisch) geprägtes Zentrum existierte (Niemeier 2007a, bes. 13–18; Niemeier 2007b, 52–87), während die übrigen ionischen Zentren ungeachtet mykenischer Importe archäologisch, vor allem aber linguistisch erst in der frühen Eisenzeit eine griechische Prägung erfahren bzw. für diese eine solche nachgewiesen werden kann; vgl. Niemeier 2002b, 58–60; Niemeier 2007b, 87–90. Daher stellt Niemeier 2007b, 88 zu Recht die Frage: »Wie anders als durch die Bewegung von Bevölkerungsgruppen über die Ägäis hinweg soll ein solcher Sprachwechsel zu erklären sein?«; vgl. auch Niemeier 2009, 24; Niemeier 2019b, 154 f. Die bislang publizierten, ältesten Befunde der mykenischen bis mittelgeometrischen Zeit aus dem Artemision in Ephesos scheinen das allmähliche Eindringen griechisch-protogeometrischer Elemente in eine einheimische Tradition und schließlich deren Verdrängung in der frühen Eisenzeit zu bestätigen; vgl. Kerschner 2003a; Kerschner 2003b; Forstenpointner u. a. 2008, 33–36; Kerschner 2011; Kerschner 2017, 17–24. Dagegen bezweifelt Lemos 2007, 721–724 ebenso wie Niemeier 2019b, 190 mit guten Argumenten, dass die »Ionische Migration« erst in der frühen Eisenzeit stattgefunden haben könne, und möchte sie vielmehr als ein Phänomen der ausgehenden Bronzezeit (SH IIIC) ansehen, während schließlich Vaessen 2014; Vaessen 2015, 818–828 überhaupt nach anderen plausiblen Erklärungsmustern als die einer Migrationsbewegung für den archäologischen Befund fragt. Vgl. auch Mac Sweeney 2016, die dem Konzept der Migration jenes der Mobilität gegenüberstellt.
- 16 Herda 2009, 85. 96–101; Herda – Sauter 2009, 96–99. Zur Bedeutung von karischen Elementen in milesischen Kulturen sowie von karischen Kultteilnehmern in der Milesia siehe auch Herda – Sauter 2009, 69–71. 94 f. 105 f. Zum Verhältnis der Karer und Leleger vgl. Rumscheid 2009b; Herda 2013, bes. 431–434.
-

5 Beide Aspekte, sowohl das hohe Alter des Apollonkultes von Didyma als auch sein vorgriechischer Ursprung, sind bislang vor allem anhand literarisch-historischer, religionswissenschaftlicher und topographischer Überlegungen erörtert worden<sup>17</sup>, während der archäologische Befund wenig zu dieser Debatte beizutragen vermochte<sup>18</sup> und die in der Vergangenheit vorgeschlagene ›karische Interpretation‹ von Grabungsergebnissen nicht überzeugen konnte<sup>19</sup>. A. Herda beklagte vor diesem Hintergrund zu Recht, dass die Anfänge des Heiligtums noch weitgehend im Dunklen lägen<sup>20</sup>.

6 Die folgenden Ausführungen sind als ein erster Schritt gedacht, um diesem Forschungsdesiderat zu begegnen, indem die für die Beurteilung der Anfänge Didymas relevanten ältesten archäologischen Funde und Befunde zusammengetragen und vorgestellt werden. Berücksichtigung finden hierbei neben den seit Wiederaufnahme der Forschungen des Deutschen Archäologischen Institutes in den 1960er Jahren veröffentlichten Grabungsergebnissen auch unpubliziert gebliebene Aufzeichnungen in den Feld- und Grabungstagebüchern sowie Ergebnisse von teilweise noch in Arbeit befindlichen eigenen Forschungen. In einem ersten Teil wird anhand vor- und früharchaisch datierten Fundmaterials – der Fokus liegt auf der datierungsindikativen Gattung der Gefäßkeramik – und seiner topographischen und stratigraphischen Verortung der Frage nachgegangen werden, ob bzw. inwieweit und wo sich das literarisch bezeugte hohe Alter des Apollonheiligums von Didyma in den materiellen Hinterlassenschaften empirisch greifen lässt (Abb. 1. 2. 3). Der zweite Teil beschäftigt sich mit jenen wenigen ›karischen‹ bzw. von karischen Traditionen geprägten Gefäßfragmenten, die für die geometrische und archaische Zeit möglicherweise ein Engagement karischer Kultteilnehmer in Didyma aufzeigen.

## Die ältesten archäologischen Zeugnisse im Apollonheiligum von Didyma

### Stand der Forschung

7 Die frühesten archäologischen Befunde, die aus Grabungen in Didyma bekannt sind, traten im westlichen Teil des Sekos des hellenistischen Apollontempels zutage<sup>21</sup>. Hier wurden in einer von Sand- und Kiesersedimenten verfüllten Mulde oberhalb der geologischen Schichten zwei Feuerstellen und zwei wohl anthropogen zustande gekommene Akkumulationen von Steinen angetroffen (»Steinklumpen«), die in unmittelbarer Nähe einer Quelle lagen, welche anhand von Kalkablagerungen erschlossen werden konnte<sup>22</sup>. Bei dieser Quelle muss es sich um dieselbe gehandelt

---

17 Tuchelt 1970, 191–195; Tuchelt 1992a, 9 f. 18–20; Herda 2006, 175–178. 248–259. 359 f. 371 f.; Kerschner 2015, bes. 218–224; Bumke 2022a, 209–221.

18 Vgl. zuletzt Schattner 2007, 488; Herda 2009, 94.

19 Die für die Rekonstruktion eines karisch geprägten Artemiskultes auf dem Areal der sog. Felsbarre in Didyma beanspruchten Argumente haben sich als nicht haltbar erwiesen; weder konnte die Identifikation der Felsbarre als Standort des schriftlich für Didyma überlieferten Heiligums der Artemis Pytheie überzeugend nachgewiesen werden, noch lässt sich aus dem archäologischen Befund ein karisches Kult- und Opferritual glaubwürdig ableiten. Zur Identifikation der Felsbarre als Artemisheiligum vgl. Tuchelt 1984b, 225–234; Tuchelt 1991a, 89–91; Tuchelt 1992a, 24–38; Tuchelt 1992b; contra Bumke 2006; vgl. auch Herda 2006, 352 Anm. 2518. Zum Kult der Artemis Pytheie vgl. zuletzt Bumke 2021; Bumke 2022a, 221–226. Auch die monumentale Publikation von vorhellenistischer Fundkeramik aus Didyma (Schattner 2007) scheint von dem – wenn auch nicht explizit geäußerten – Grundbestreben getragen, eine in die Bronzezeit zurückreichende, östlich-anatolische Anbindung der lokalen Keramikgattungen aufzuzeigen; vgl. Schattner 2007, 485–488; dazu kritisch Santaniello 2009, 355; Schlotzhauer 2010, 264.

20 Herda 2006, 460.

21 Drerup u. a. 1964, 334–346 mit Abbildungen.

22 Drerup u. a. 1964, 345 f.: »Die Klumpen bestehen aus größeren Flußsteinen, deren ineinandergreifende Fügung ohne Füllerde es nahelegt, sie als Werk von Menschenhand anzusprechen«.

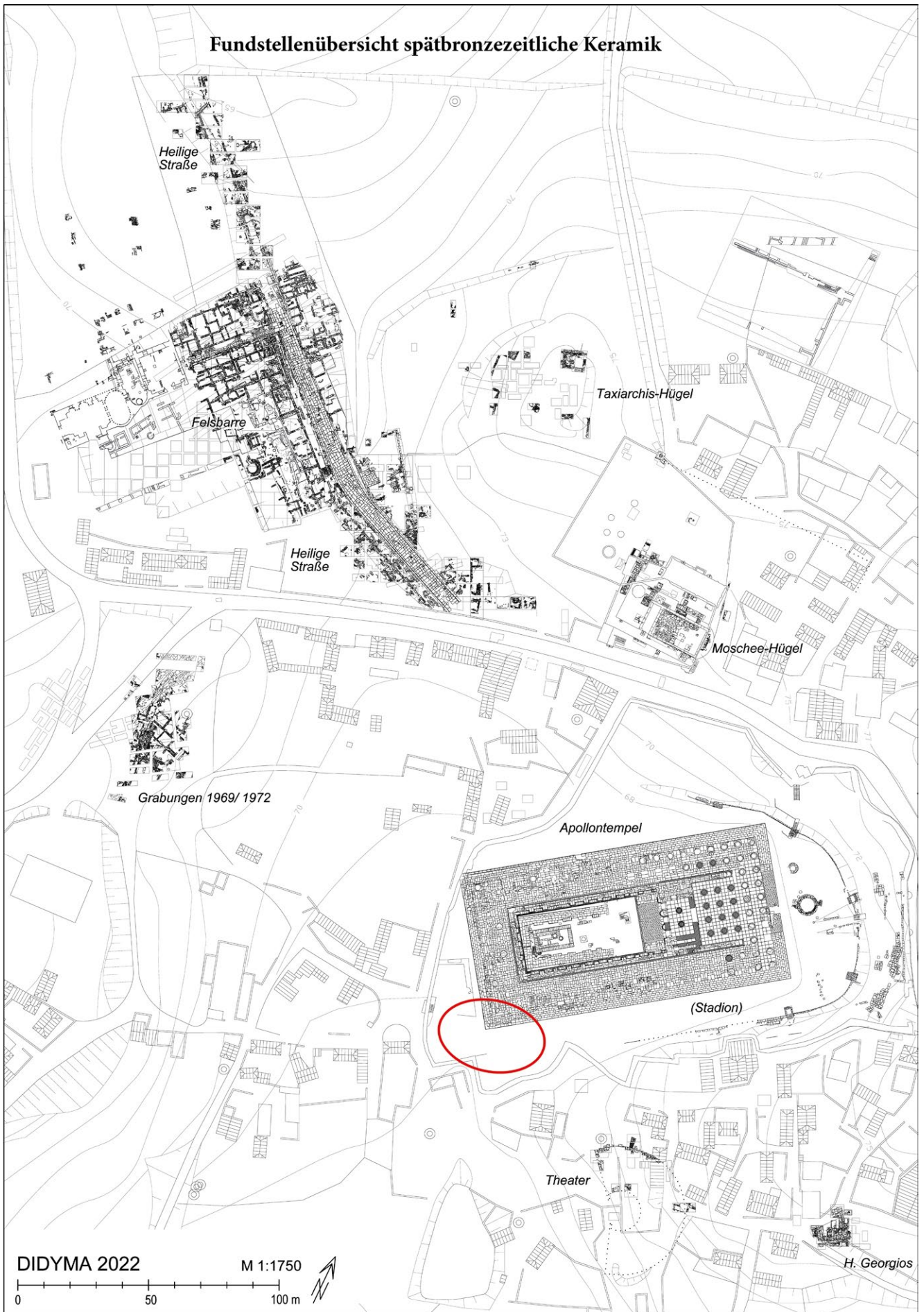


Abb. 1: Fundstellenübersicht spätbronzezeitliche Keramik

## Fundstellenübersicht früheisenzeitliche Keramik

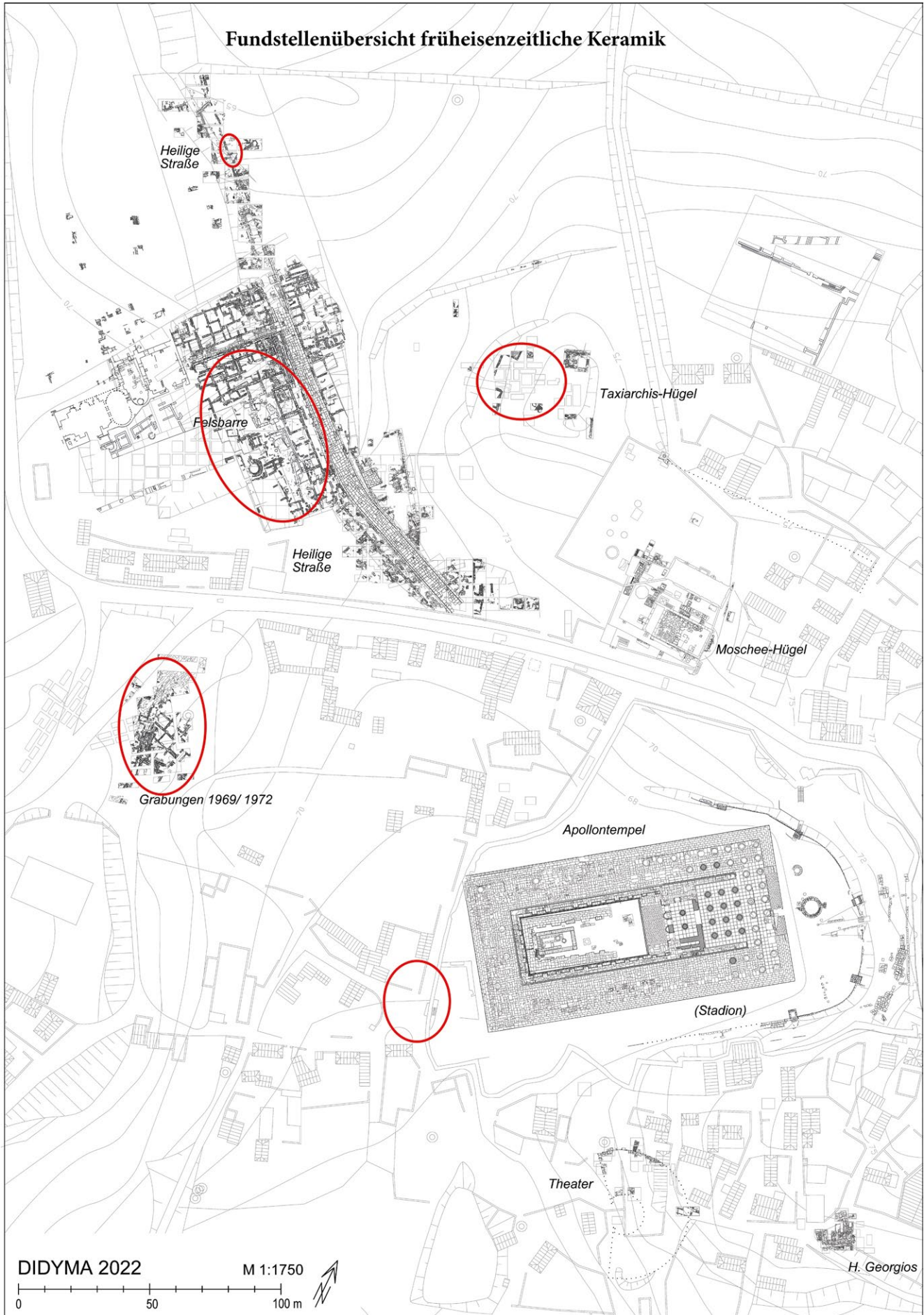


Abb. 2: Fundstellenübersicht früheisenzeitliche Keramik

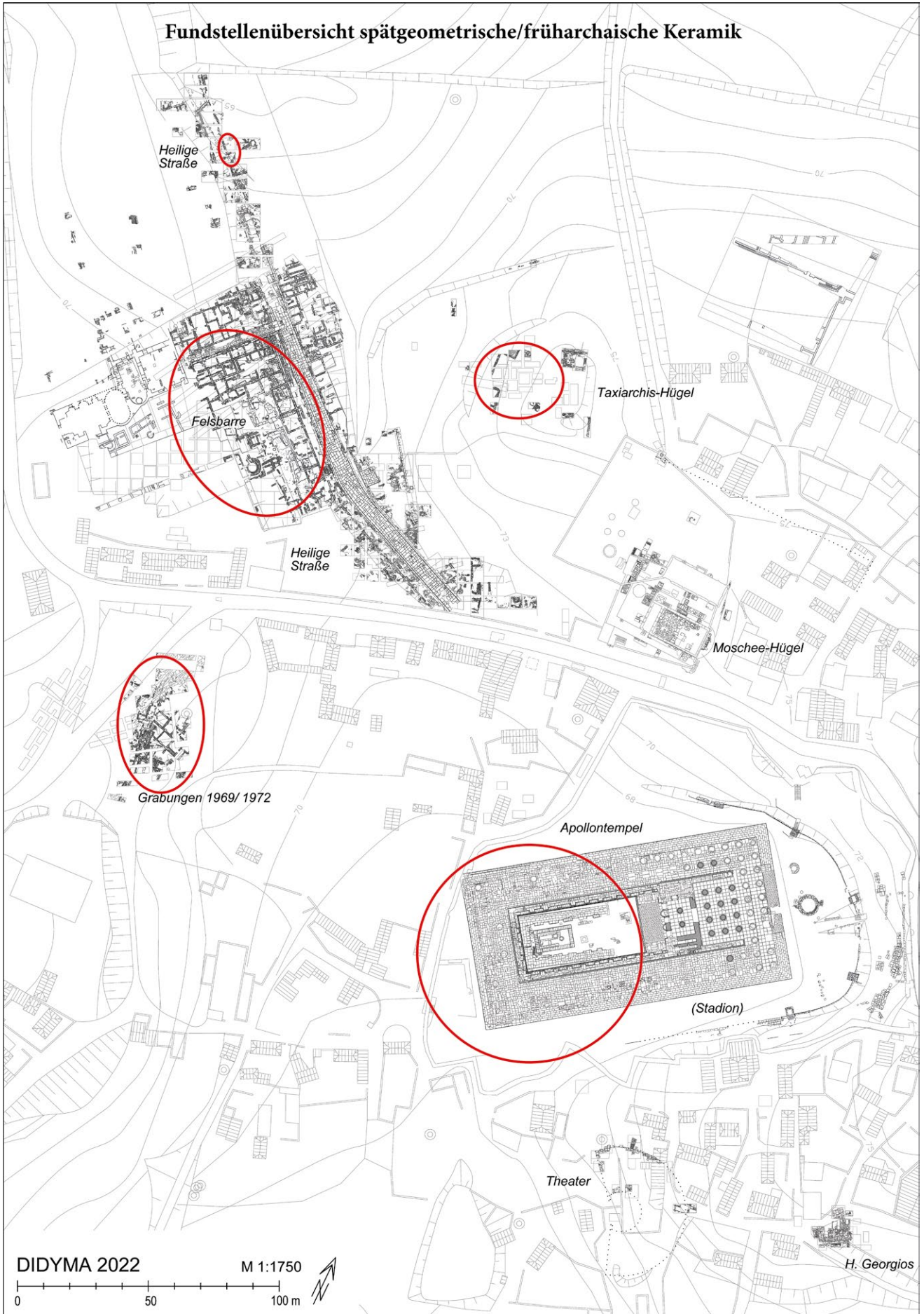


Abb. 3: Fundstellenübersicht spätgeometrische/früharchaische Keramik

haben, die in historischer Zeit als Orakelquelle zum Ausgangspunkt und Zentrum des Apollonheiligums avancierte und von der angenommen wird, dass sie bereits zum Zeitpunkt der ältesten Tempelarchitektur (Sekos I) kaum mehr Wasser ausschüttete<sup>23</sup>. Da diese ältesten Befunde mit keinen Beifunden assoziiert waren, kann für sie keine Datierung vorgeschlagen werden<sup>24</sup>. Die Strukturen waren jedoch von einer Kalksinterschicht bedeckt, die ihre Vorzeitigkeit zu einer Phase anzeigt, in der die Quelle noch reichlich Wasser abgab<sup>25</sup>. Gleichfalls gesichert ist die Vorzeitigkeit zur Architektur des Sekos I, dessen Datierung mithin den Terminus ante quem für die stratigraphisch ältesten Kulturreste im Apollonheiligum bereitstellt: Während der Ausgräber H. Drerup trotz eines Mangels an den Bauresten eindeutig zuordenbaren, stratifizierten Funden davon ausging, dass es sich bei Sekos I um einen spätgeometrischen Sakralbau handeln müsse<sup>26</sup>, scheinen jüngere Nachuntersuchungen eine noch näher zu präzisierende Datierung erst im 7. Jahrhundert v. Chr. anzuzeigen<sup>27</sup>.

8 Unabhängig davon, ob Sekos I nun in der 2. Hälfte des 8. oder erst im 7. Jahrhundert v. Chr. einzuordnen ist, handelt es sich dabei um das bislang älteste aus Didyma bekannte Bauwerk. Parallel dazu zeugen die zahlreichen spätgeometrischen bis früharchaischen Funde, bei denen es sich – soweit sie publiziert oder mir aus eigener Forschung bekannt sind – allerdings um Residua in jüngeren Schichthorizonten handelt, von einer Prosperität des Heiligums im späteren 8. und früheren 7. Jahrhundert v. Chr.<sup>28</sup>.

9 Ein erster Versuch, die ältesten Keramikfunde aus Didyma zusammenzutragen, wurde von Th. Schattner unternommen<sup>29</sup>. Aus der von ihm angeführten Reihe von Keramikfragmenten kann nach meinem Dafürhalten nur für die mykenische Kylix InvNr. ZZ1 (siehe unten) tatsächlich eine entsprechende Frühdatierung zweifels-

23 Drerup u. a. 1964, 357; vgl. Tuchelt 1970, 194 f.; Tuchelt 1992a, 18–20; Kerschner 2015, 218–224; Bumke 2022a, 209–221.

24 Die milesische Halbinsel und die Mykale waren nachweislich spätestens seit dem Chalkolithikum besiedelt; vgl. Voigtländer 1982, 31–41; Parzinger 1989; Lohmann 1995, 305 f. 313; Senff 1995, 225; Lohmann 1997, 287 f. Tab. 1. 2; Lohmann 1999, 443 f. 463. 468 f. Nr. S 157. S 167. S 221. S 268; Lohmann u. a. 2007, 86. 107 f.; Niemeier 2007a, 6 f.; Niemeier 2007b, 39; Niemeier 2009, 7 f.; Kalaitzoglou 2017, bes. 120 Tab. 4. Auch in der nahen Umgebung von Didyma wurden bei Geländebegehungen im Jahre 1981 in der Lokalität Mersin Dere (Panormos) und am Strand von Altinkum zwei möglicherweise spätchalkolitische Fundstellen der Obsidianindustrie lokalisiert, die melischen Obsidian verarbeitete; vgl. Gebel 1984a; siehe auch Bishop – Evren 2002, 60. Ebenfalls in Altinkum wurde in der Lokalität İncikent bei Bauarbeiten im Jahre 1994 ein Fundkomplex des frühen 2. Jahrtausends v. Chr. angetroffen, der mit Steinkistengräbern aus der Zeit am Übergang von der frühen in die mittlere Bronzezeit in Verbindung gebracht werden kann; vgl. dazu Bishop – Evren 2002.

25 Drerup u. a. 1964, 345 f.; vgl. auch Tuchelt 1970, 206 mit Anm. 79.

26 Drerup u. a. 1964, 357; vgl. auch Drerup 1969, 59; Tuchelt 1970, 195 mit Anm. 20; Tuchelt 1991a, 86; Schneider 1996; Gruben 2001, 396.

27 Furtwängler 2007, 408 f. (hocharchaisch); Furtwängler 2008, 99 (früharchaisch); Furtwängler 2009, 4 (7. Jahrhundert). Bereits Tuchelt 1991a, 86 datiert die früheste Architektur vorsichtiger »um 700 v. Chr.«; vgl. auch Tuchelt 2007, 394. 398 Abb. 4; Dirschedl 2018, 10.

28 Das Fundmaterial aus den Altgrabungen zu Beginn des 20. Jahrhunderts ist verloren und kann nur näherungsweise anhand der sehr allgemein gehaltenen Informationen in den Grabungstagebüchern erschlossen werden; vgl. dazu Naumann – Tuchelt 1963/1964, 15 f. 42; Schattner 2007, 1. Die Funde aus den Grabungen des Jahres 1962 im Inneren des Tempels (Drerup u. a. 1964, 334–368) und jener des Jahres 1965 im Westen des Tempels (Tuchelt 1970, 192 Anm. 7) wurden nicht vorgelegt; für die Grabungen 1965 sind ungestörte archaische Schichthorizonte mit vorarchaischem Material zu erwarten, jedoch keine vorarchaischen Befundkontexte (siehe unten). Das Fundmaterial des Jahres 1962 befindet sich im Archäologischen Museum in Istanbul (Tuchelt 1970, 195 Anm. 20; Schattner 1992, 369 Anm. 4) und konnte für die Studie nicht zugänglich gemacht werden, jenes des Grabungsjahres 1965 wurde ins Miletmuseum nach Balat gebracht, wo die betreffenden Fundkisten (Kasten 1–9. 9a) in der Kampagne 2022 jedoch nicht aufzufinden waren; vgl. Didyma, TB 1 (1964. 1965. 1968–1974), 62–88 [K. Tuchelt]. Die vorarchaischen Funde aus den Grabungen an der Südwestecke des Tempels (Naumann – Tuchelt 1963/1964), aus jenen westlich des Tempels unter dem ehemaligen Dreschplatz – dem heutigen Parkplatz – (Tuchelt 1971; Tuchelt 1973/1974), aus jenen auf der sog. Felsbarre (Wintermeyer 1980; von Miller in Vorbereitung) und aus den Grabungen auf dem Taxiarchis-Hügel (Kaiser 2023a; Kaiser – von Miller 2023; von Miller 2023a; von Miller 2023c, bes. 905–909) entstammen ausnahmslos archaischen und späteren Schichtbefunden; vgl. auch Schattner 2007, 346–351. 426–429 Abb. 99–101. 116. 117.

29 Schattner 2007, 488.

frei beansprucht werden<sup>30</sup>; die mittel- bis spätgeometrische Datierung eines einem Knickrandskyphos zugeordneten Schulterfragmentes<sup>31</sup> sowie die spätbronzezeitliche Datierung zweier Kochtöpfe vermögen indes nicht zu überzeugen. Bei dem Schulterfragment des vermeintlichen Knickrandskyphos<sup>32</sup> handelt es sich um das Schulterfragment InvNr. Y78 (Abb. 4)

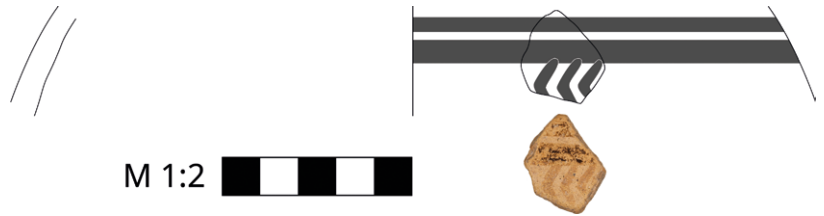


Abb. 4: Frühorientalisierendes geschlossenes Gefäß Y78

eines großen geschlossenen Gefäßes, das aus der frühestens frühklassisch datierten Verfüllung (81K03-5) eines Gebäudes auf der sog. Felsbarre stammt (Abb. 16: Oikos P), welches offenbar im mittleren bzw. 3. Viertel des 6. Jahrhunderts v. Chr. aufgelassen worden war<sup>33</sup>. Das Gefäß gehört der frühorientalisierenden Keramik an und kann in das 2. Viertel des 7. Jahrhunderts v. Chr. datiert werden<sup>34</sup>.

Bei dem vermeintlich spätbronzezeitlichen Kochtopf T A2.2 (InvNr. B480)<sup>35</sup> handelt es sich hingegen um einen ganz typischen Vertreter hoch- bis spätarchaischer Kochtöpfe, die in der Milesia in großer Zahl belegt sind<sup>36</sup>. Die Annahme einer spätbronzezeitlichen Datierung des Vorratstopfes Vt H.1 (InvNr. C656) wurde von Th. Schattner selbst zu Recht an anderer Stelle bei der typologischen Diskussion des Stückes relativiert<sup>37</sup>.

Zusammenfassend lässt sich an dieser Stelle festhalten, dass die archäologischen Befunde beim aktuellen Stand ihrer Publikation keine Indizien bereitstellen, welche für Didyma die Annahme eines Heiligtumsbetriebes oder einer anderweitigen intensiven Nutzung vor dem fortgeschrittenen 8. Jahrhundert v. Chr. belegen könnten. Durch die jüngeren Grabungen im Tempelgebiet<sup>38</sup> und auf dem Taxiarchis-Hügel<sup>39</sup> sowie durch die wiederaufgenommene Auswertung des Fundmaterials der alten

30 Siehe Schattner 1992.

31 Schattner 2007, 427 (Nr. Geo.8): »Wahrscheinlich zu einem Knickrandskyphos gehörig«.

32 Schattner 2007, 427 Nr. Geo.8 Abb. 116.

33 Siehe dazu von Miller in Vorbereitung (Oikos P). Das Gebäude wurde als »Steinfassung« im Vorbericht Tuchelt 1984b, 198–201 erstmals ausführlicher vorgestellt und als Fundkomplex Q bei Schattner 2007, 33 angeführt.

34 Annähernd vergleichbare, senkrechte Zick-Zack- bzw. Winkelmuster sind von frühorientalisierenden Gefäßen bekannt, etwa von einem Krater aus den Bauplanierungen der AG Phase III (2. Hälfte 7. Jh. v. Chr.) in der archaischen Siedlung unter der Tetragonos-Agora in Ephesos; vgl. von Miller 2019, 117 mit Anm. 326 Nr. 491 Taf. 46; siehe auch von Miller 2019, 159 mit Anm. 508 Nr. 1229 Taf. 105.

35 Schattner 2007, 61 Nr. T A2.2 Abb. 28. Man ist sich allerdings nicht ganz im Klaren, ob Schattner 2007, 488 tatsächlich den Kochtopf T A2.2 meint oder vielleicht nicht doch eher den Kochtopf T A2.3 (InvNr. V457), der in der typologischen Diskussion des Gefäßtypus bei Schattner 2007, 61–64 mit spätbronzezeitlichen Traditionen verknüpft wird. Die Autopsie des Fragmentes hat gezeigt, dass auch dieses Gefäß nicht etwa aus der lokalen alltagskeramischen Hellbraunen Ware, sondern aus der lokalen Glimmerware gefertigt wurde, am erhaltenen Fragment aber keine Brandspuren aufweist. Die etwas ungewöhnliche Formgebung möchte ich weniger mit einer spätbronzezeitlichen Datierung begründet wissen als mit dem formalen Variationspielraum, der die meisten Gefäße der archaischen Zeit ungeachtet ihrer Zugehörigkeit zu bestimmten Formtypen auszeichnet; in Bezug auf archaische Kochtöpfe vgl. von Miller 2019, 218–222. 323 f. 361 f. Das Randfragment V457 (T A2.3) wurde aus einer spätarchaischen Scherbendeponierung (75K40e) am Fuße des nordwestlichen Abhangs der sog. Felsbarre geborgen; vgl. Schattner 2007, 23 (Fundstelle G); von Miller in Vorbereitung.

36 Zum Typus und seiner Datierung vgl. Waldbaum – Magness 1997, bes. 31 f. 36–40; Aydemir 2005, 87–89; Kalaitzoglou 2008, 278–282; von Miller 2019, 219 f.; von Miller 2023b, 361 f.

37 Schattner 2007, 205 Nr. Vt H.1 Abb. 63.

38 Zwischen 2004 und 2009 fanden unter der Leitung von A. E. Furtwängler neue Grabungen im Tempelgebiet statt; vgl. dazu die Vorberichte Furtwängler 2005; Furtwängler 2006; Furtwängler 2007; Furtwängler 2008; Furtwängler 2009; Slawisch 2013.

39 Die Grabungen auf dem Taxiarchis-Hügel (2000–2009) fanden unter der Leitung von H. Bumke statt, die anschließende Publikationsvorbereitung der Ergebnisse erfolgte mit Unterstützung des Deutschen Archäologischen Instituts (Abteilung Istanbul), der Fritz-Thyssen-Stiftung (2005–2009: Az. 10.05.1.039), der Nordrhein-Westfälischen Akademie der Wissenschaften und der Künste (2009–2021: PN 98050014) und der Gerda Henkel Stiftung (2021: AZ 15/V/21) an der Rheinischen Friedrich-Wilhelms-Universität Bonn (2009–2013) sowie an der Martin-Luther-Universität Halle-Wittenberg (2013–2021); vgl. Bumke 2022b; Bumke 2023; Bumke Taxiarchis in Vorbereitung.

Grabungen haben sich der Bestand und die Kenntnis der vorarchaischen Funde indes soweit erweitert, dass ein zusammenfassender Überblick lohnend erscheint. Ein besonderes Interesse gilt vor dem Hintergrund unserer primären Fragestellung nach den Anfängen des Apollonheiligums von Didyma jenem langen Zeitraum, der sich aufgrund fehlender Nachweise bislang als Lücke zwischen der mykenischen Kylix InvNr. ZZ1 (2. Hälfte 14. Jh. v. Chr.) und den zahlreichen spätgeometrischen sowie subgeometrisch-früharchaischen Gefäßen (2. Hälfte 8./frühes 7. Jh. v. Chr.) erstreckt.

### ›Neolithische‹ Steinbeile

12 Zunächst sei jedoch auf die überhaupt ältesten Fundobjekte aus Didyma verwiesen, die in einer Gruppe von fünf geschliffenen Steinbeilen und dem unvollendet gebliebenen Halbfabrikat einer Axt aus magmatischem Gestein begegnen, welche bei Grabungen im Tempelareal, im Westen des Apollontempels sowie vor der Kammer 10 auf der sog. Felsbarre (Abb. 16) aus antiken Schichten geborgen worden sind<sup>40</sup>. In der Art der neolithischen Steinbeile geschliffene Steingerätschaften waren im westlichen Kleinasien bis mindestens in die mittlere Bronzezeit geläufig<sup>41</sup>. Wie der Fundkontext nahelegt und M. Korfmann in seiner grundlegenden Analyse ausführt, können die Beile jedoch nicht als indirekte Zeugnisse einer entsprechend neolithischen bis bronzezeitlichen Begehung von Didyma gewertet werden. Vielmehr deute das wiederholte Auftreten vergleichbarer Steinbeile in antiken Heiligtümern auf eine rituelle Verwendung dieser prähistorischen Objekte in der historischen Zeit hin, die mit der Fundsituation in Didyma gut vereinbar sei<sup>42</sup>. Zuletzt haben Ch. A. Faraone und J. F. Bagley am Beispiel der Verwendung von prähistorischen Steinbeilen als Amulett oder Talisman speziell in der klassisch-römischen Antike den unabhängig von sakralen Kontexten gegebenen magischen, vor Blitzschlag bewahrenden Charakter der Objekte hervorgehoben und diskutiert<sup>43</sup>. Insofern bergen die sechs Steinobjekte aus Didyma keine unmittelbar weiterführenden Informationen bezüglich der Frühzeit des Fundplatzes.

### Spätbronzezeitliche Gefäßkeramik

13 Wesentlich älter als die frühesten architektonischen Überreste des Sekos I (siehe oben) datieren die mittlerweile drei bekannten Gefäßfragmente, die der späten Bronzezeit angehören. Sie wurden alle im südlichen Tempelareal gefunden (Abb. 1).

14 Das Fragment einer minoischen Tasse der Phase SM II/IIIA, das bei Grabungen des Jahres 2004 im südwestlichen Tempelareal in einer früh- bis hocharchaisch datierten Schicht in Sondage 7 angetroffen wurde, dürfte – sofern sich die Datierung tatsächlich bestätigt – das älteste Gefäß darstellen, das gegenwärtig aus Didyma bekannt ist (Abb. 5)<sup>44</sup>.

---

40 Naumann – Tuchelt 1963/1964, 42 mit Verweis auf zwei Steinbeile, die während der Altgrabungen im Jahre 1911 an der Nordwestecke des hellenistischen Tempels angetroffen worden waren; Tuchelt 1971, 82 f. Nr. 255–257 Abb. 25 Taf. 18, 2; Korfmann 1973/1974; Gebel 1984b.

41 Korfmann 1973/1974, 47–52. Ähnlich stellt sich der Befund der Steinklingenindustrie dar, vgl. Kalaitzoglou 2017, 127.

42 Korfmann 1973/1974, 40–46; siehe auch Faraone 2014, 259 mit Anm. 13. Parzinger 1989, 415 wertet ein neolithisches Steinbeil aus dem spätarchaischen Schutt im Bereich des Athenatempels von Milet dagegen als Beleg einer »älteren, vorminoischen Besiedlung«, obwohl der Fundkontext gut mit der von M. Korfmann vorgeschlagenen Deutung dieser Objekte im Zusammenhang mit antiken Heiligtümern korreliert; vgl. Hommel 1959/1960, 42 Anm. 9 Abb. 3. Ein weiteres Steinbeil ist aus dem Heiligtum der Artemis Kithone auf dem Kalabaktepe in Milet bekannt, das in Übereinstimmung mit der These M. Korfmanns gedeutet wurde; vgl. Kerschner 1999, 33 f. Abb. 17.

43 Faraone 2014; Bagley 2015. Die Korrelation der Steinbeile mit Blitzen, die Plinius der Ältere im 1. Jh. n. Chr. in der *Naturalis Historia* (Plin. nat. 37, 9, 51) vornimmt, scheint als langlebige Vorstellung bis in die jüngere Neuzeit tradiert worden zu sein und mag daher auch vor ihrer Verschriftlichung schon auf eine vergleichbar lange Tradition zurückgeblickt haben; vgl. Faraone 2014, 258 f. 266 f.; Bagley 2015, 199–202.

44 Das bei Slawisch 2013, 54 erwähnte Gefäßfragment ist ebenso wie seine vergesellschafteten Beifunde noch nicht abschließend bearbeitet worden. Für die freundliche Bereitstellung des Photos Abb. 5 sei Anja Slawisch (Edinburgh) herzlich gedankt.



5



6

15 Die spätminoische Klassifikation von weiteren Gefäßfragmenten, die bereits bei der Grabung des Jahres 1962 an der Südwestecke des Apollontempels zutage getreten waren, musste indes revidiert werden<sup>45</sup>. Eine Wiederaufnahme von Didyma in die Liste minoischer Fundplätze in der östlichen Ägäis kann bis zur Publikation des erwähnten Tassenfragmentes aus den neueren Grabungen nur mit Vorbehalt erfolgen; minoische Funde aus der näheren Umgebung lassen eine solche jedoch nicht wenig plausibel erscheinen. Im nahegelegenen Milet datiert der älteste Nachweis von aus Kreta an die westkleinasiatische Küste importierten Gefäßen bereits in die frühe Bronzezeit (Milet II) und steht damit am Beginn einer bis in die beginnende Spätbronzezeit andauernden Phase, in welcher sich nicht nur am importierten Gefäßbestand Milets ein deutlich minoischer Charakter ablesen lässt (Milet III/IV)<sup>46</sup>. So ausgeprägt ist dieser, dass sich W.-D. Niemeier dazu veranlasst sah, Milet als einen »kretischen Stützpunkt« auf der Route des »Eastern String« zu verstehen<sup>47</sup>. Ähnliche Merkmale weist in dieser Zeit das etwas weiter südlich von Didyma gelegene Teichioussa auf<sup>48</sup>. Hervorzuheben ist überdies die nördlich von Didyma der Küste vorgelagerte Insel Tavşan Adası, die eine minoische Hafensiedlung beherbergte<sup>49</sup>.

Abb. 5: Minoische Tasse aus Sondage J Schicht 7

Abb. 6: Mykenische Kylix ZZ1

16 Bei dem zweiten bronzezeitlichen Gefäßfragment aus Didyma handelt es sich um das oben schon angesprochene Fragment einer mykenischen Kylix der Phase SH IIIA2-spät (InvNr. ZZ1, Abb. 6)<sup>50</sup>. Das Stück wurde als Streufund bei Nachgrabungen des Jahres 1964 an der Südseite des hellenistischen Tempels aus dem Knackfuß'schen Grabungsschutt geborgen. Th. Schattner konnte bei der Autopsie eine auffällige fabrikatstypologische Übereinstimmung der didymäischen Kylix mit mykenischen Gefäßen aus Milet feststellen, die angesichts der durch Tonanalysen und Ofenbefunde gesicherten und exportorientierten milesischen Herstellung mykenischer Keramik auch für die Kylix aus Didyma an ein milesisch-mykenisches Produkt denken lassen<sup>51</sup>.

45 Naumann 1963, 24; contra Schattner 1992, 369 mit Anm. 3. Zur Grabung vgl. die Berichte Naumann – Tuchelt 1963/1964; Drerup u. a. 1964, 369–384, in denen keine minoischen Scherben erwähnt werden.

46 Niemeier 2007a, 7–13; Niemeier 2007b, 43–51, bes. 47–49; Niemeier 2009, 11–14; Kaiser 2013a; vgl. auch Weickert 1957, 117 f. Taf. 28, 1–3; Hommel 1959/1960, 43–47 Taf. 32–36; Schiering 1959/1960, 16–23; Niemeier – Niemeier 1997, 192–194. 229–241.

47 Niemeier 2007b, 45 f. mit Anm. 88.

48 Voigtländer 1986, 644–650 Nr. 28–59 Abb. 21–24; Voigtländer 1988, 608 Nr. 1–4 Abb. 40; Voigtländer 2004, 61–131. 302–308; vgl. auch Lohmann 1997, 288; Niemeier 2007b, bes. 47–49.

49 Die Siedlung wurde am Ende der Phase SM I A offenbar von einem Tsunami zerstört, der mit dem Vulkanausbruch von Thera in Zusammenhang gebracht werden kann; vgl. Bertemes 2011; Rechta 2020; Focke-Pellkofer 2022; Neuser 2022.

50 Schattner 1992; vgl. auch Schattner 2007, 488.

51 Vgl. Schattner 1992, 370 f. Zur lokalen Herstellung mykenischer Keramik in Milet siehe erstmals grundlegend Gödecken 1988 mit der Identifikation zweier mykenischer Werkstattgruppen, die sich bis in die archaische Zeit weiterverfolgen lassen; siehe weiters Niemeier – Niemeier 1997, 198; Niemeier 2002a; Niemeier 2002b; Niemeier 2007a, 13 f.

Mit Sicherheit gehört das Gefäß in eine Phase, in der das nahegelegene Milet als bedeutendes mykenisches Zentrum an der östlichen Ägäisküste eine Blüte erlebte (Milet V)<sup>52</sup>.

17 Ein drittes, wohl bronzezeitliches Gefäßfragment wurde bereits bei den Grabungen des Jahres 1962 im Südwesten des Tempels im Schnitt C außerhalb der Westwand der Südwesthalle aus einer archaischen Planierung direkt oberhalb der natürlich angewachsenen Bodensedimente geborgen<sup>53</sup>. Es handelt sich um das Stück eines großen offenen Gefäßes, für welches R. Naumann und K. Tuchelt vorsichtig eine submykenische Einordnung in Betracht gezogen haben<sup>54</sup>. Das wohl lokal hergestellte Fragment, das mit Fundkeramik des 8. und 7. Jahrhunderts v. Chr. vergesellschaftet war, zeichnet sich durch den mit bloßer Hand in unregelmäßiger Linienführung auf einen hellen Malgrund aufgetragenen dreiteiligen Kreisdekor aus, der unter Spiraldekoren auf spätmykenischen und bei Kreisdekoren auf submykenischen Gefäßen aus Milet seine besten Parallelen findet. Ein segmentiertes Kreismotiv oder Halbkreismotiv in der Art der submykenischen Parallelen<sup>55</sup> scheidet angesichts des erhaltenen Bildausschnittes, der mindestens einen Dreiviertelkreis nachweist, allerdings aus, weshalb die Ergänzung zu einem spätmykenischen Spiraldekor (SH IIIC) überzeugender scheinen will<sup>56</sup>. Mit Milet VI ist die späte Spätbronzezeit als eine letzte mykenisch geprägte Phase auf der milesischen Halbinsel prominent vertreten; die Zerstörung einer erst um 1200 v. Chr. errichteten Befestigung hatte dort keinen Siedlungsabbruch oder längeren Hiatus zur Folge<sup>57</sup>.

18 Es muss an dieser Stelle wohl kaum hervorgehoben werden, dass diese drei fragmentarisch in späteren Kontexten erhaltenen Gefäße in keinsten Weise dazu angetan sind, einen bronzezeitlichen Kult in Didyma zu belegen oder auch nur wahrscheinlich zu machen. Dennoch ist die Konzentration der Stücke (Abb. 1) im Nahbereich des späteren Tempels, in dem mit der oben erwähnten Steinakkumulation auch die ältesten Strukturen angetroffen worden sind, zumindest ebenso bemerkenswert wie der recht gute Erhaltungszustand, in dem die aus mehreren Anpassungen bestehende Tasse Abb. 5 und die Kylix Abb. 6 überliefert sind.

## Protogeometrische und subprotogeometrische Gefäßkeramik

19 Für die frühe Eisenzeit, die in der griechischen Keramikchronologie die protogeometrische (ca. 1050–900 v. Chr.) und geometrische (ca. 900–700/680 v. Chr.) Epoche umfasst<sup>58</sup>, klafft in Didyma gemäß dem aktuellen Publikationsstand eine jahrhundertelange Lücke, die erst in der spätgeometrischen Zeit (2. Hälfte 8./frühes 7. Jh. v. Chr.)

- 
- 52 Zur Bedeutung Milets in der mykenischen Zeit vgl. Niemeier 2007a, 13 f.; Niemeier 2007b, 51–87; Niemeier 2009, 14 f.
- 53 Zur Grabung vgl. Naumann – Tuchelt 1963/1964, 21–24 Abb. 2; Drerup u. a. 1964, 369–384, bes. 369 f. Abb. 16. Die hier ursprünglich vorgeschlagene Datierung der Südwesthalle in das 7. Jh. v. Chr. musste aufgrund der bei Nachgrabungen des Jahres 2005 erzielten Ergebnisse korrigiert und zu einer Datierung in die fortgeschrittene 1. Hälfte des 6. Jh. v. Chr. umgeändert werden; vgl. Furtwängler 2006, 206–208; Furtwängler 2009, 1 f.; Slawisch 2013, 53–55 Abb. 3.
- 54 Naumann – Tuchelt 1963/1964, 43 Nr. 2 Taf. 8. Zur submykenischen Phase innerhalb der griechischen Keramikchronologie vgl. Lemos 2002, 7 f. 24. 26; Ruppenstein 2009.
- 55 Hommel 1959/1960, 52 f. Taf. 51, 2. 3; 52, 1; Schiering 1968, 145 Taf. 34, 3.
- 56 Weickert 1957, 120 Taf. 32, 2; Hommel 1959/1960, 51 f. Taf. 47, 1 (SH IIIA); Taf. 49, 2 (SH IIIB/C); Schiering 1979, 103 Taf. 22, 5 (SH IIIC); Niemeier – Niemeier 1997, 215 f. Anm. 236 Abb. 27 links; Akurgal u. a. 2002, 95 Nr. 6 Abb. 7 c (SH IIIC-früh).
- 57 Niemeier 2007a, 14–18; Niemeier 2009, 15–22; Herda 2009, 73; siehe auch Hommel 1959/1960, 36–38; Schiering 1968, 144–146. Damit ist Milet neben Klazomenai (Liman Tepe) das zweite Zentrum in Ionien, für das sich im archäologischen Befund inzwischen in repräsentativer Weise eine stratigraphisch lückenlose Siedlungskontinuität am Übergang von der Bronzezeit in die frühe Eisenzeit nachweisen lässt; zu Klazomenai vgl. Ersoy 2022.
- 58 Siehe die grundlegenden Überblickswerke Desborough 1952; Desborough 1972; Lemos 2002; Coldstream 2008; Coulié 2013, 33–60 sowie speziell für die östliche Ägäis Cook – Dupont 1998, 11–25. Eine umfangreichere Publikation (sub)protogeometrischer Keramik in Ionien ist bisher nur für Alt-Smyrna erfolgt; vgl. Özgünel 1978, 17 f. Taf. 1; Özgünel 2003, 70–75 Taf. 1–6; vgl. außerdem für Klazomenai: Aytaçlar 2004; Ersoy 2022, 108–124 mit Literatur; für Ephesos: Kerschner 2003a; Kerschner 2006; Büyükkolancı 2007; für Samos: Walter 1968, 11–13 Taf. 1. 2.
-

ihr Ende findet (siehe unten)<sup>59</sup>. Zwar ist schon des Längeren eine Anzahl von Gefäßen bekannt, die mit zirkelgezogenen Mehrfachkreisdekoren ein dekortypologisches Charakteristikum protogeometrischer Feinkeramik aufweisen<sup>60</sup>, jedoch ist hinlänglich erwiesen, dass sich diese Motive als prominente subprotogeometrische Dekorfaszies bis in die frühe Archaik fortsetzten<sup>61</sup>. Im Zuge der jüngsten Forschungen an Keramik aus Didyma hat sich die Anzahl der proto- bis subprotogeometrischen Gefäße mit zirkelgezogenen Mehrfach(halb)kreisen zuletzt deutlich erhöht. Da jedoch alle Stücke als klein fragmentierte Residua aus archaischen Befundkontexten stammen und mithin die Stratigraphien der unterschiedlichen Grabungsareale (Abb. 2) keine sowie die Formgebung nur in wenigen Fällen ergänzende Informationen beisteuern können, muss die Frage, ob die Stücke nun zu protogeometrischen oder subprotogeometrischen Gefäßen gehört haben, zumeist offenbleiben.

### Fundplatz Taxiarchis-Hügel

20 Eine erste Gruppe von acht Fragmenten mit Zirkelkreisdekor entstammt den Grabungen auf dem Taxiarchis-Hügel (Abb. 2)<sup>62</sup>. Es handelt sich um zwei Trinkgefäße (InvNr. Ke01-2009. Ke01-2305)<sup>63</sup>, zwei Kratere (InvNr. Ke01-717. Ke09-994)<sup>64</sup> und vier geschlossene Gefäße (InvNr. Ke01-2030. Ke01-2135. Ke01-2322. Ke01-2349)<sup>65</sup>, die sich über mehrere archaische Schichthorizonte des Taxiarchis-Hügels verteilen (Abb. 7): Die Stücke waren in der ältesten, im 3. Viertel des 6. Jahrhunderts v. Chr. versiegelten Hellbraun-sandigen Schicht (Ke01-2009. Ke01-2305. Ke01-2322), in den spätarchaisch datierten Schichten des Splitthorizontes (Ke01-2030), des lehmigen Erdpaketes (Ke01-717. Ke01-2135) und der Kohlehaltigen Schicht (Ke09-994) sowie in der nacharchaischen Versiegelung der archaischen Horizonte (Ke01-2349) vergesellschaftet<sup>66</sup>.

21 Der erhaltene Bildausschnitt der beiden Trinkgefäße Ke01-2009 und Ke01-2305 (Abb. 8. 9) lässt sich jeweils zu einem mehrteiligen Kreis ergänzen und macht beide Stücke als Vertreter der Tiefen Skyphoi mit Zirkelkreisdekor erkennbar, die inspiriert von mittel- bis spätprotogeometrischen Vorbildern<sup>67</sup> bis in die früharchaische Zeit zu den Leitformen der milesischen Keramikproduktion zählen<sup>68</sup>. Die Neigung beider Exemplare verweist je auf ein tief proportioniertes Gefäßbecken mit S-förmig geschwungener Kontur, wie es schon von den frühesten Tiefen Skyphoi bekannt ist. Die Reduktion des Kreisdekors von Ke01-2305 (Abb. 9) auf nur drei Kreislinien bzw. die Auslassung zwi-

---

59 Vgl. Schattner 2007, 488.

60 Siehe Tuchelt 1971, 59 Nr. 9 Taf. 3; Tuchelt 1973/1974, 149 Nr. 5 Taf. 47; Schattner 2007, 426 Nr. Geo.1. Geo.2 Abb. 115; 428 Nr. Geo.23 Abb. 117.

61 Vgl. Boardman 1967, 137; Coldstream 1968, 263–274; Schweitzer 1969, 101; von Graeve 1975, 41; von Graeve 1978, 35 f.; Niemeier – Niemeier 1997, 215 f. mit Anm. 236; Cook – Dupont 1998, 15; Kerschner 1999, 19 f.; Kerschner 2003b, 46 f. 49; Kerschner 2008, 51 f.; Schlotzhauer 2010, 259 f. 271; Krumme 2015; von Miller 2019, 179–186; von Miller 2023c, 906.

62 Bumke 2022b; zur geometrischen Keramik vgl. Kaiser 2023a.

63 Kaiser 2023a, 11 Nr. Geo 1. Geo 3 Taf 1. 191.

64 Kaiser 2023a, 12 f. Nr. Geo 8. Geo 10 Taf. 191.

65 Kaiser 2023a, 14 Nr. Geo 15. Geo 16. Geo 19. Geo 20 Taf. 2. 191.

66 Zur Stratigraphie siehe von Miller 2022.

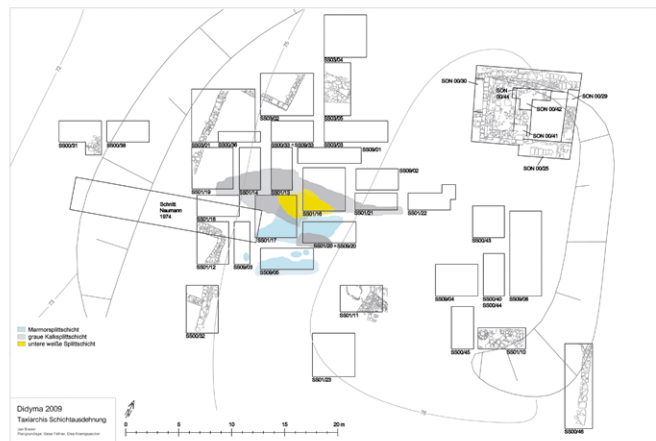
67 Grundlegend dazu Lemos 2002, 36–39.

68 Zum Typus siehe Weickert 1957, 122 Taf. 32, 2 Mitte; von Graeve 1975, 41; von Graeve 1978, 35 f.; Kerschner 1999, 19 f. Abb. 9; Krumme 2003; Krumme 2015; von Miller 2023a, 20 f.; vgl. des Weiteren Weickert 1957, 122 Taf. 37, 2 Mitte; von Graeve 1973/1974, 94 f. Nr. 40. 41. 46 Taf. 22; von Graeve 1975, 49–51 Nr. 40. 45 Abb. 15. 19 Taf. 9. 10; 54 f. Nr. 59. 61. 62 Taf. 12; Kleine 1979, 140 Nr. 5 Taf. 32. Lemos 2007, 719 weist im Widerspruch zu Desborough 1972, 179 und von Graeve 1978, 35 darauf hin, dass die milesischen Skyphoi mit Zirkelkreisdekor keine explizite Nähe zu den attischen Skyphoi aufweisen, die sich im Gegensatz zu den Skyphoi anderer Produktionsregionen – einschließlich jener aus Milet – durch eine Zickzacklinie am oberen Bildfeldrand besonders auszeichnen; siehe dazu auch Lemos 2002, 39; zu möglichen attisch-protogeometrischen Importen in Milet siehe die beiden mittelprotogeometrischen Kannchen aus den Grabungen beim Athenatempel bei Hommel 1959/1960, 38 Taf. 53, 1. 2; Herda 2009, 74 f. Abb. 6. Auch in Ephesos lebt die Form des Tiefen Skyphos zumindest bis in das 9. Jh. v. Chr. weiter; vgl. Kerschner 2003b, 49 f. Abb. 5, 4. 5.

# Archaische Horizonte und Versiegelungsschichten auf dem Taxiarchis-Hügel



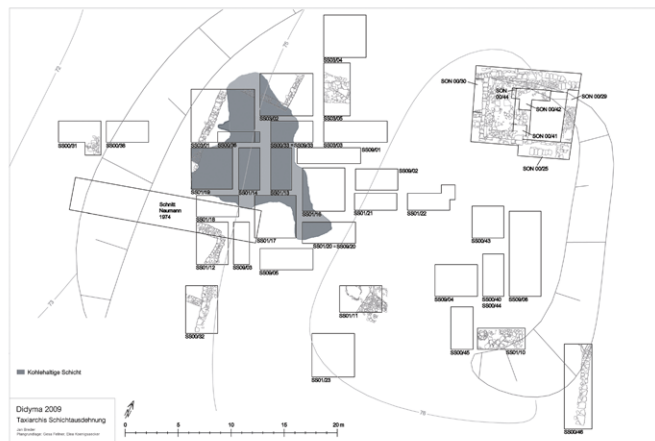
Hellbraun-sandige Schicht  
(t.a.q. 3. Viertel 6. Jh. v. Chr.)



Splitthorizont (Ende 6. Jh. v. Chr.)



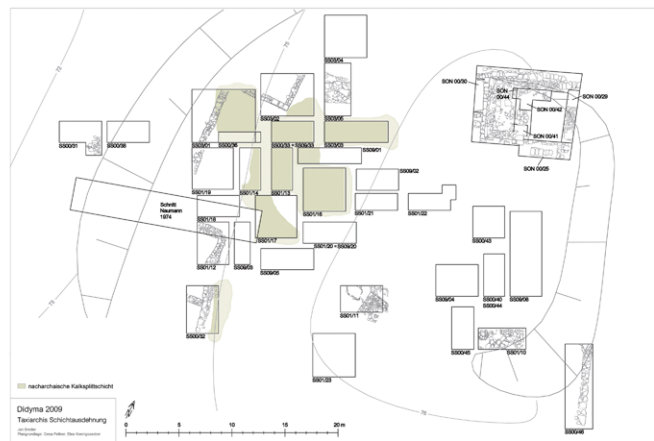
Lehmiges Erdpaket (Ende 6. Jh. v. Chr.)



Kohlehaltige Schicht (Anfang 5. Jh. v. Chr.)



Kalksteinblockage (Anfang 5. Jh. v. Chr.)



Hellenistische Splittschicht

7

Abb. 7: Archaische Horizonte und Versiegelungsschichten auf dem Taxiarchis-Hügel



8



9

Abb. 8: Tiefer Skyphos Ke01-2009

Abb. 9: Tiefer Skyphos Ke01-2305

Abb. 10: Krater Ke09-994

Abb. 11: Krater Ke01-717



10



11

schen mehreren Kreisbündeln ist dagegen ein Merkmal, das eine subprotogeometrische Spätdatierung dieses Stücks ins 8. oder frühe 7. Jahrhundert v. Chr. nahelegt<sup>69</sup>.

22 Ein vergleichbares Dekorsystem, eventuell ergänzt um eine vertikale Unterteilung des Bildfeldes, ist auch für den Krater Ke09-994 (Abb. 10) denkbar, während es sich bei der Bemalung des zweiten Kraters Ke01-717 (Abb. 11) ebenso gut um Halb- oder Dreiviertelkreise gehandelt haben könnte. Ke09-994 kann mit einiger Wahrscheinlichkeit zu einem Mischgefäß des Typs crater-bowl ergänzt werden, welchen eine enge form- und dekortypologische Verwandtschaft mit den Tiefen Skyphoi auszeichnet<sup>70</sup>.

23 Von den vier geschlossenen Gefäßen zeigen Ke01-2322 und Ke01-2349 (Abb. 12. 13) je einen charakteristischen Schulterdekor aus Mehrfachhalbkreisen, wohingegen der Bildausschnitt von Ke01-2135 (Abb. 14) zu klein ist, um auf die Ausführung des Kreisdekors als Voll-, Dreiviertel- oder aber Halbkreis zurückschließen zu können. Bei Ke01-2030 hat sich indessen der Ausschnitt aus einem wohl vollständig ausgeführten konzentrischen Kreis erhalten, der zu seiner Rechten von einer Begrenzung aus vertikalen und horizontalen Strichen begleitet wird (Abb. 15). In Kombination mit vertikalen Ornamentbändern, welche die Dekorzone in rechteckige Felder unterteilen, schmücken Mehrfachkreise ab der spätprotogeometrischen Zeit die Gefäßbäuche von Bauchhenkelamphoren und anderen Großgefäßen<sup>71</sup>, wobei als besonders gute Parallele für die einfache lineare Ausführung des vertikalen Dekorelements ein Großgefäß aus den Grabungen des Jahres 1955 beim Athenatempel in Milet angeführt werden kann<sup>72</sup>.

69 Vgl. Kerschner 2008, 52.

70 Grundlegend zur Form vgl. Lemos 2002, 46–48. Die Gefäßform ist aus milesischen Kontexten bereits bekannt; vgl. Hommel 1959/1960, 55 Nr. 3. 4 Taf. 55. Siehe weiters Aytaçlar 2004, 15 Abb. 9, 1 mit einer einfachen vertikalen Begrenzung aus je drei Balken zwischen den einzelnen Kreisen.

71 Vgl. Desborough 1952, Taf. 23; 31, 2; Lemos 2002, Abb. 31, 6; 71, 2; 75, 1. 2; 76, 2; 77, 2; 79, 1–4; 84, 1; 85, 2. Zu entsprechenden Funden aus Milet vgl. Hommel 1959/1960, 54 f. Taf. 53, 3; 55, 1.

72 Weickert 1957, 121 Taf. 36, 2 links oben.



12



13



14



15

Abb. 12: Amphore/Hydria Ke01-2322

Abb. 13: Amphore/Hydria Ke01-2349

Abb. 14: Geschlossenes Gefäß Ke01-2135

Abb. 15: Geschlossenes Gefäß Ke01-2030

Ein Weiterleben vergleichbarer Dekorsysteme ist in der östlichen Ägäis mindestens bis in die mittelgeometrische Zeit zu erwarten<sup>73</sup>.

#### Fundplatz Felsbarre

24 Die sog. Felsbarre (Abb. 2. 16) ist ein weiterer prominenter Fundplatz, an dem zahlreiche proto- bis subprotogeometrische Gefäßfragmente mit Zirkelkreisdekor in archaischen Schichthorizonten (spätes 7. – Mitte/3. Viertel 6. Jh. v. Chr.) zutage getreten sind (**Kat 1–3. 6–12. 14–16**)<sup>74</sup>. Hier finden sich erneut geschlossene Gefäße mit konzentrischen Mehrfachkreisen (**Kat 1. 3. 6. 7**) oder Mehrfachhalbkreisen (**Kat 2**) auf Schulter und Oberbauch neben Krateren mit Mehrfachhalbkreisdekor (**Kat 8**) sowie Fragmenten von Tiefen Skyphoi mit Zirkelkreisdekor (**Kat 9–13**) oder derselben Form in einer dunkelgrundigen Dekorvariante (**Kat 14. 15**). Für die geschlossenen Gefäße **Kat 2, Kat 3, Kat 6** und **Kat 7** kommen große Kannen<sup>75</sup>, Bauch- oder Halshenkelamphoren<sup>76</sup> sowie Hydrien<sup>77</sup> als zugehörige Ganzgefäße in Frage.

73 Vgl. Coldstream 1968, Taf. 58 a (Dodecanesian EG); Niemeier 2021, 25 f. Nr. 9. 10 Abb. 16. 17; 28 f. Nr. 20 Abb. 27 (Samos MG I).

74 von Miller in Vorbereitung.

75 Grundlegend Lemos 2002, 67–72. 74–77.

76 Grundlegend Lemos 2002, 56–63.

77 Grundlegend Lemos 2002, 65–67.

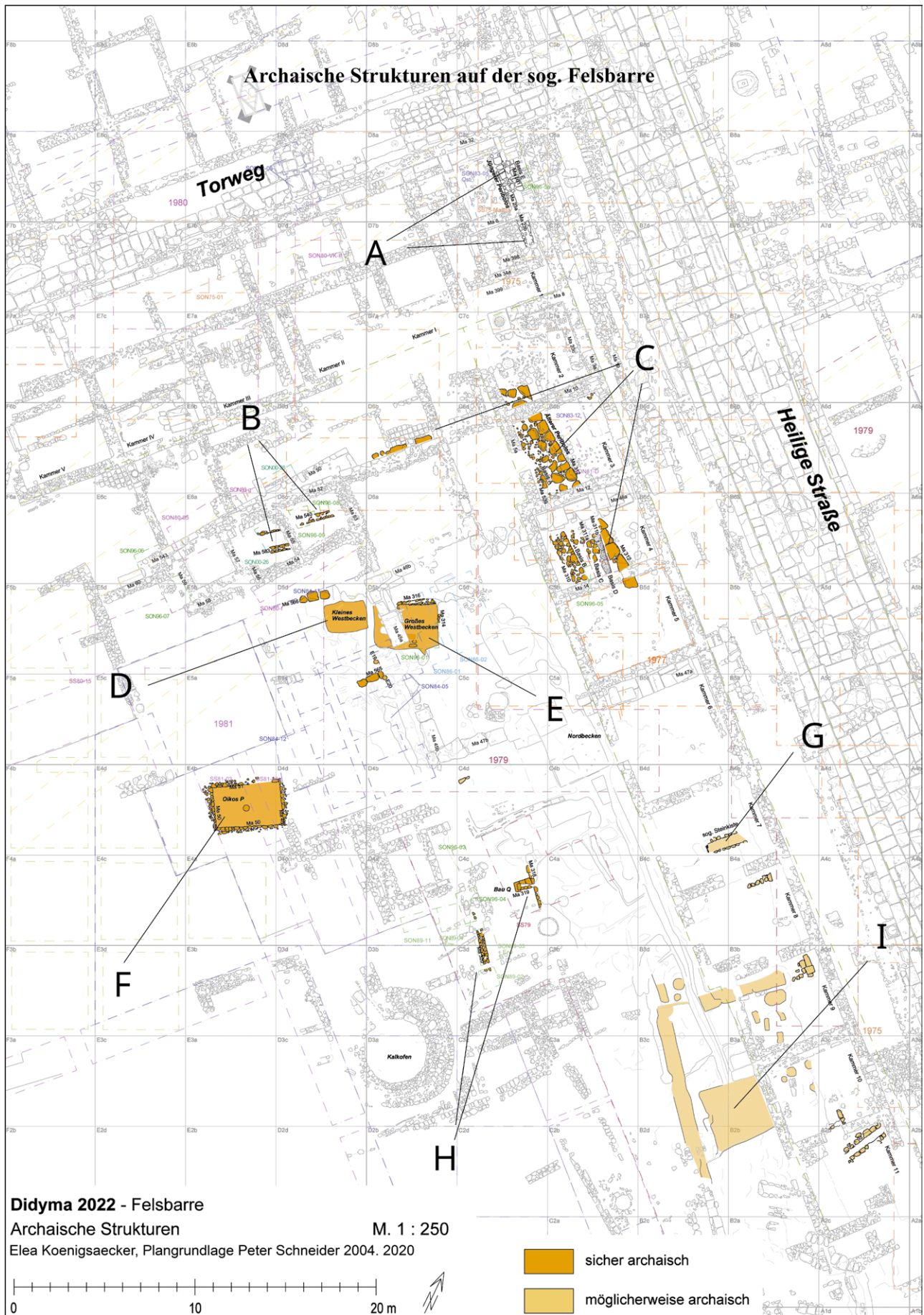


Abb. 16: Archaische Strukturen auf der sog. Felsbarre; A: Jüngerer Peribolos mit Peribolosmauer Ma 23a, Ma 23b und Steinbasis E (Ma 561); B: sog. Nordwestmauern Ma 540 und Ma 583; C: Älterer Peribolos mit Peribolosmauer Ma 312 und Steinbasen A (Ma 539), B (Ma 319) und C (Ma 311a); D: Kleines Westbecken; E: Großes Westbecken; F: Oikos P; G: sog. Steinkiste; H: Bau Q (mit Mauern Ma 318, Ma 319 und Ma 320); I: Südbecken

25 Im Fall des Wandfragmentes eines großen Gefäßes **Kat 7** umschließt das konzentrische Kreisbündel ein Binnenornament, das zu einem Kreuzmotiv ergänzt werden kann<sup>78</sup>. Die Mittelmotive, die von gefüllten Mehrfachkreisen auf subprotogeometrischen Gefäßen aus der Milesia und in Karien bis in die spätgeometrische Zeit bekannt sind, sind meist komplexer gestaltet<sup>79</sup>, weshalb für dieses Fragment, das sich auch fabrikatstypologisch von den bekannten lokalen geometrischen und archaischen Waren abgrenzen lässt, eine proto- bis frühgeometrische Datierung tatsächlich eine hohe Wahrscheinlichkeit hat. Für den sehr fein ausgeführten, vielfachen Halbkreisdekor, der in für protogeometrische Gefäße untypischer Weise frei in der Hauptdekorzone auf der Schulter des Kraters **Kat 8** schwebt, erschließt sich mit einer vergleichbar bemalten Amphore oder Hydria sowie einem Gefäßständer aus Horizonten der AG Phase II der archaischen Siedlung unter der Tetragonos-Agora in Ephesos hingegen ein subprotogeometrischer Datierungsansatz<sup>80</sup>. Ein ebensolcher dürfte auch für den auf drei Halbreisbögen reduzierten und merklich breiter angelegten Mehrfachhalbkreis auf dem geschlossenen Gefäß **Kat 2** zutreffen. Das Schulterfragment **Kat 3** einer Amphore oder Hydria lässt sich aufgrund des besonders feinen Kreisdekors auf der recht hohen Schulter, der mit einer mehrfachen Bänderung auf dem Schulter-Bauch-Umbruch und einem unbemalt belassenen Gefäßbauch einhergeht, dagegen einer möglicherweise schon frühprotogeometrischen Bauchhenkelamphore zuordnen<sup>81</sup>.

26 Das große geschlossene Gefäß **Kat 6** zeichnet sich durch einen in der Art der protogeometrischen Amphoren über einer breiten Sockelzone tongrundig belassenen Gefäßkörper aus, auf den ein großformatig angelegter Kreisdekor gemalt ist, welcher den ganzen Gefäßbauch einnahm und möglicherweise bis auf die Schulter reichte. Anstelle des in protogeometrischer Zeit üblichen feinen Reifendekors tritt bei **Kat 6** ein sehr breites Kreisband, das entlang der Innenkontur von einem schmalen Kreisreifen begleitet wird; Band und Reifen bilden die Rahmung eines Mittelmotivs, das mit großem Abstand das Zentrum des Dekors bildet. Sowohl eine etwas verbreiterte äußere Rahmung von Kreisdekoren als auch deren Rhythmisierung durch ausgesparte Abstände sind Kennzeichen der subprotogeometrischen Bemalungsschemata auf spätgeometrischen und früharchaischen Gefäßen<sup>82</sup>, jedoch bleiben sowohl die Breite des äußeren Kreisbandes als auch die großflächige Konzeption des Dekors von **Kat 6** ohne Parallelen<sup>83</sup>.

27 Der mit nur drei Kreislinien erhaltene konzentrische Zirkelkreis **Kat 1** kann hingegen zu einem Motiv ergänzt werden, das sich aus zwei (oder mehreren?) Kreisbündeln zusammensetzt, die durch einen größeren Abstand voneinander getrennt sind<sup>84</sup>. Nach M. Kerschner war diese Spielart konzentrischer Kreisdekore, die in Didyma bereits mit dem Wandfragment eines geschlossenen Gefäßes aus der Grabung des Jahres 1969 im Westen des Tempels<sup>85</sup> und mit Ke01-2305 aus den Taxiarchis-Befunden (siehe oben,

---

78 Vgl. Weickert 1957, 122 Taf. 36, 4; Hommel 1959/1960, 55 Nr. 1. 4 Taf. 55; Kleine 1979, 140 Nr. 3 Taf. 32; Schiering 1979, 103 f. Taf. 23, 4.

79 Vgl. Weickert 1957, 124 Taf. 39, 4; Hommel 1959/1960, 58 Nr. 2 Taf. 59; Kleiner 1959/1960, 93 Nr. 2 Taf. 85; Kleine 1979, 139 f. Nr. 2 Taf. 32; Özgünel 2006, 74–77 Abb. 53–55; 98 Nr. 28 Taf. 24 (= Bulba 2010, 58–62. 188 Nr. Kr2 Taf. 23).

80 von Miller 2019, 179–181 Nr. 24 Taf. 3; 112 Nr. 364 Taf. 34.

81 Vgl. Lemos 2002, 60.

82 Vgl. Kerschner 2008, 51 f. mit Vergleichen.

83 Unter der Fundkeramik aus den Grabungen J. Keils an den nordwestlichen Abhängen des Panayırdağ in Ephesos ist ein geschlossenes Gefäß bekannt, dessen Halbkreisdekor auf der Schulter ebenfalls von einer sehr breiten Rahmung eingefasst wird, die aber möglicherweise nur von einer unsaubereren Handhabung des Kammzirkels herrührt; vgl. von Miller 2019, 358 Nr. 2324 Taf. 194; entgegen der dort vorgeschlagenen Datierung in die spätgeometrische Zeit könnte das Fragment sehr wohl auch beträchtlich älter sein.

84 Vgl. Eilmann 1933, Nr. 13 Beil 23; Boardman 1967, 139 Nr. 483 Taf. 43; Walter – Vierneisel 1959, 21 Beil 46, 1. 2; Kerschner 2008, 51 f. 70 Nr. GrK 57 Taf. 16. 33.

85 Tuchelt 1973/1974, 149 Nr. 5 Taf. 47.

---

Abb. 9) bekannt ist, in der protogeometrischen und geometrischen Keramikproduktion noch nicht geläufig, sondern kennzeichnet erst die subprotogeometrischen Gefäße der frühen Archaisk<sup>86</sup>.

28 Die Tiefen Skyphoi aus den Grabungen auf der sog. Felsbarre zeichnen sich mit Ausnahme des Wandfragmentes eines tiefen Gefäßbeckens **Kat 9** durch ihre flachen Proportionen und den nur schwach ausgeprägten S-förmigen Schwung der Wandkontur aus, der sich bei **Kat 12** und **Kat 15** überhaupt auf die innere Wandkontur beschränkt. Formtypologisch können die den Randfragmenten zugehörigen Ganzgefäße daher sehr gut von den deutlich tiefer proportionierten und kräftig S-förmig geschwungenen Becken der protogeometrischen und geometrischen Tiefen Skyphoi<sup>87</sup> abgegrenzt und demgegenüber den Exemplaren aus der subgeometrischen Aufschüttung auf dem Kalabaktepe in Milet zur Seite gestellt werden<sup>88</sup>, welche eine erst spätgeometrisch bis früharchaische Datierung der Formvariante wahrscheinlich machen. Dieser chronologische Ansatz findet schließlich in dem dunkelgrundigen Dekorsystem der beiden Skyphoi **Kat 14** und **Kat 15** auch unter Berücksichtigung von dekortypologischen Gesichtspunkten eine sehr gute Bestätigung, zählen monochrom bemalte Gefäßoberflächen doch zu den Charakteristika vieler spätgeometrischer und früharchaischer Gefäßformen, wie beispielsweise der steilwandigen Tassen (siehe unten) als einer zweiten beliebten Trinkgefäßform dieses Zeithorizontes<sup>89</sup>. Als ein weiteres Merkmal, anhand dessen protogeometrische von subprotogeometrischen Tiefen Skyphoi unterschieden werden könnten, sind die Gefäßhenkel zu nennen, deren Gestaltung sich im erhaltenen Fragmentbestand aber nicht verifizieren lässt. Während sich die protogeometrischen Tiefen Skyphoi nämlich durch deutlich halbbogenförmig hochgebogene Horizontalhenkel auszeichnen<sup>90</sup>, kann bei den subprotogeometrischen Exemplaren des fortgeschrittenen 8. und frühen 7. Jahrhunderts v. Chr. eine Tendenz hin zu stärker horizontal geneigten Henkeln festgestellt werden, mit der die bevorzugte Henkelgestaltung der zeitgenössischen Trinkgefäße auch auf die Tiefen Skyphoi angewendet wird<sup>91</sup>.

29 Eine ebenfalls subprotogeometrische Variante liegt in dem ersten aus Didyma bekannten Exemplar eines Skyphos mit hängendem Halbkreisdekor (pendent semicircle skyphos PSC) vor (**Kat 16**)<sup>92</sup>. Obwohl die PSC-Skyphoi in der Milesia nicht zum gängigen Formenspektrum der protogeometrischen und geometrischen Zeit zählen<sup>93</sup>, legt das Fabrikat des Gefäßes eine lokale Adaption der euböischen (?) Vorbilder nahe<sup>94</sup>. Die besten Formparallelen finden sich unter den späten PSC-Skyphoi des Typs 6 nach R. Kearsley mit flachem Gefäßbecken, flachem Boden und konkav ausgebildetem Rand<sup>95</sup>, deren Produktionsende auf Basis der Befunde in Eretria aktuell an der Wende zum letzten

---

86 Kerschner 2008, 52. Demgegenüber sind aus Klazomenai Amphoren aus einem protogeometrischen Gebäude vorgelegt worden, die nicht allein gebündelte Kreisdekore, sondern auch den Einsatz der Kammbürste belegen, die von Kerschner 2007, 224 f. als eine technische Innovation erst der subgeometrischen Keramikproduktion Ioniens in der früharchaischen Zeit angesprochen worden ist; vgl. Aytaçlar 2004, 21 Abb. 4, 1. 4; Vaessen 2014, 225 Abb. 23, 3.

87 Vgl. von Graeve 1975, 49 f. Nr. 40 Abb. 15 Taf. 9; Kerschner 1999, 19 f. Abb. 9; Krumme 2015; Krumme 2016, 165 Abb. 2; 167 Abb. 3.

88 Kerschner 1999, 19 f. 40 Abb. 9.

89 Siehe dazu Kleine 1979, 144–148 Taf. 35–38; vgl. auch Kerschner 1999, 23 f.; von Miller 2019, 100 f. 315. 338. Einschränkend ist jedoch zu betonen, dass dunkelgrundige Trinkgefäße in Ionien seit der protogeometrischen Zeit geläufig waren; vgl. Lemos 2002; Kerschner 2003b, 58.

90 Vgl. Krumme 2015, 583 f. Abb. 1. 6; 588 Abb. 12.

91 Vgl. Kerschner 1999, 9 f. Nr. 24 Abb. 9; Krumme 2015, 587 Abb. 10.

92 Grundlegend dazu Kearsley 1989; Lemos 2002, 44–46; Kerschner – Lemos 2014; zur Verbreitung des Typus in Kleinasien vgl. Kerschner 2014a.

93 Siehe Krumme 2003, 244; Kerschner 2014a, 111 Abb. 1; 120 f.

94 Zu lokalen Produktionen außerhalb von Euböa vgl. Kerschner – Lemos 2014.

95 Vgl. Kearsley 1989, 101–104 Abb. 40. 41; 128 Tab. 4; Kerschner 2014b, bes. 160. 163; Lemos 2014, bes. 42. Allgemein siehe Kearsley 1989, bes. 142–145; Kerschner 2003b, 46 f.; Kerschner 2014a, bes. 110–117.

Viertel des 8. Jahrhunderts v. Chr. – also an der Wende von Spätgeometrisch I zu Spätgeometrisch II – angesetzt wird<sup>96</sup>.

### Fundplatz nordwestliche Straßensondagen

<sup>30</sup> Als ein weiterer Fundplatz von (sub)protogeometrischer Keramik (**Kat 4. 5. 13**) sind die nordwestlichen Straßensondagen Son 89/6F und Son 89/7 zu nennen, die noch nicht abschließend publiziert worden sind (Abb. 2. 17)<sup>97</sup>. Hier wurden in der Sondage Son 89/6F (Abb. 17) aus einer etwa 80 cm starken, mit Holzkohle, Knochen und zumeist klein zerscherbtem Keramikbruch durchsetzten Lehmschicht (89K24-20. 89K24-21. 89K24-22) unterhalb des ältesten, aus Kalksteinen und Kalksteinrundlingen in drei Lagen gefügten Straßenpflasters (89K24-18: UK bei ca. 64,24–64,19 ü.N) zwei Schulterfragmente von geschlossenen Gefäßen geborgen, von denen das eine den Ausschnitt aus einem konzentrischen Mehrfachkreis zeigt (**Kat 5**), das zweite (**Kat 4**) über einem hellen Malgrund mit einem fein ausgeführten, siebenteiligen Dreiviertelkreis bemalt ist, der gute Parallelen unter protogeometrischen Gefäßen aus Milet und Ephesos findet<sup>98</sup>. In der benachbarten Sondage Son 89/7 (Abb. 17) wurde aus lehmigen Erdhorizonten (89K26-5. 89K26-6) etwa ab Höhe der ältesten Straßenpflasterung in Son 89/6F (OK bei ca. 64,39–64,34 ü.N) das Randfragment eines Tiefen Skyphos geborgen (**Kat 13**). Die Oberfläche des Gefäßes ist so stark abgerieben, dass sich das typische Dekorsystem der Tiefen Skyphoi mit Zirkelkreisdekor nicht verifizieren lässt. Die Schichthorizonte ab Niveau der aus Kalksteinen und Kalksteinrundlingen gefügten ältesten Straßenpflasterung in den nordwestlichen Straßensondagen Son 89/6F und Son 89/7, aus denen die (sub)protogeometrischen Stücke stammen, können anhand des vergesellschafteten Fundmaterials in das fortgeschrittene 7. Jahrhundert v. Chr. datiert werden, womit erstmals ein verlässlicher Terminus post quem für die chronologische Einordnung des ältesten befestigten Straßenhorizontes im Bereich der sog. Hl. Straße gewonnen ist<sup>99</sup>. Der Tiefe Skyphos kann aufgrund seiner Formgebung mit großer Sicherheit zu dem dazu synchronen Gefäßbestand der früharchaischen Zeit gezählt werden, handelt es sich doch wie bei den Exemplaren von der sog. Felsbarre (siehe oben, **Kat 10–12**) um ein Gefäß mit relativ flach proportioniertem Gefäßbecken ohne die ausgeprägte S-förmig geschwungene Kontur, welche die protogeometrischen und subprotogeometrischen Exemplare der geometrischen Zeit kennzeichnet<sup>100</sup>. Nicht umsonst kann als bester Formvergleich ein Tiefer Skyphos aus der subgeometrischen Aufschüttung auf dem Kalabaktepe in Milet genannt werden<sup>101</sup>, der mit unserem Tiefen Skyphos **Kat 13** aus der nordwestlichen

<sup>96</sup> Siehe dazu Verdan u. a. 2008, 81 f.; Verdan 2013, Nr. 121. 141 Taf. 72. 74: Phase II; Kerschner 2014b, 157 f.

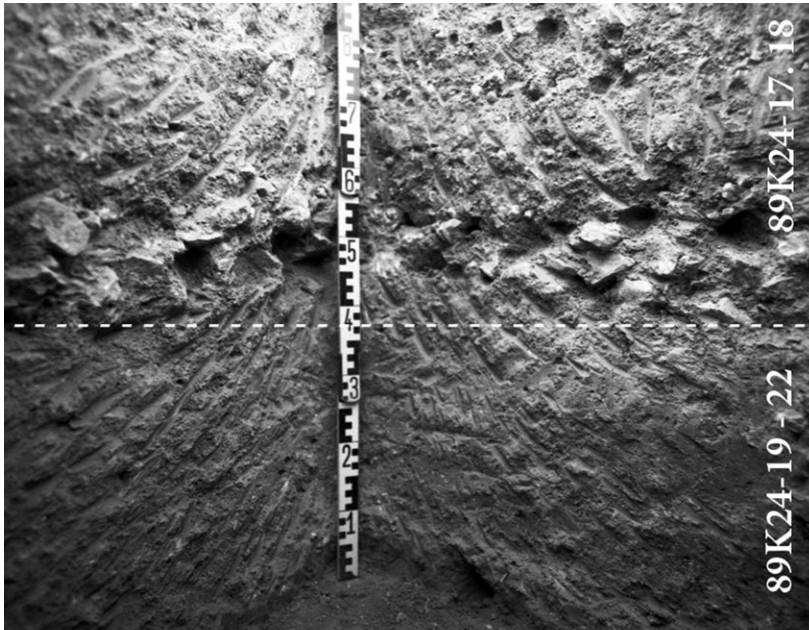
<sup>97</sup> Didyma, FB 24 (1989), 67–71. 75–78 [O. Stoll]; Didyma, FB 25 (1989), 75–81. 85 f. [S. Weber]; Didyma, TB 2, 7 (1988. 1989,1), 1690. 1695. 1698–1700. 1702–1705. 1712–1714 [K. Tuchelt]. Vgl. auch Schattner 2007, 17–19: Fundstellen A und B; die im Profilschnitt bei Schattner 2007, 18 Abb. 8 hinterlegte Höhenangabe bezüglich der Grabungsunterkante in Son 89/6F (UK bei 60,40 ü.N) stimmt nicht mit jener in Feld- und Tagebuch (UK bei 63,40 ü.N) überein.

<sup>98</sup> Milet: Weickert 1957, 121 Taf. 36, 3 unten. Ephesos: Kerschner 2006, 367 Abb. 8; Büyükkolancı 2007, Taf. 6, 5.

<sup>99</sup> Siehe von Miller 2024. In anderen Bereichen, in denen das älteste Straßenpflaster (Straße V) im Kontext der Älteren Peribolosmauer Ma 312, der Jüngeren Peribolosmauer Ma 23a sowie in den sog. Nord- und Südsondagen angetroffen wurde, konnte dagegen keine verlässliche Datierung ermittelt werden; vgl. dazu Wintermeyer 2004, 13 f. 33–35. 37. 43 f. (Sondage 81/C); 46 (Sondage 75/C8). Bei dem vermeintlichen Straßenhorizont bei OK ca. 67,20 ü.N in der Sondage 81/D in Kammer 3 östlich vor der Älteren Peribolosmauer Ma 312 (Wintermeyer 2004, 44: »Kalkbruchsteinlage«) muss es sich dagegen um eine nacharchaische Aufschüttung gehandelt haben; dazu von Miller in Vorbereitung. Eine vergleichbare Pflasterung mit Kalksteinrundlingen wurde überdies als ältester Horizont des sog. Torweges festgestellt, der nördlich der Felsbarre von der sog. Hl. Straße in westliche Richtung zur Therme hin abzweigt. Die dem ältesten Pflaster zugeordneten Materialbefunde ergaben auch an dieser Stelle keine eindeutige Datierungshinweise; zum archäologischen Befund vgl. die Einleitung bei von Miller 2024; von Miller in Vorbereitung sowie den zusammenfassenden Überblick bei Bumke – von Gaisberg 2022, 162 Anm. 168.

<sup>100</sup> Vgl. von Graeve 1975, 49 f. Nr. 40 Abb. 15 Taf. 9; Kerschner 1999, 19 f. Abb. 9; Krumme 2015; Krumme 2016, 165 Abb. 2; 167 Abb. 3.

<sup>101</sup> Kerschner 1999, 19 f. 40 Nr. 21 Abb. 9.



Didyma Son 89/6F

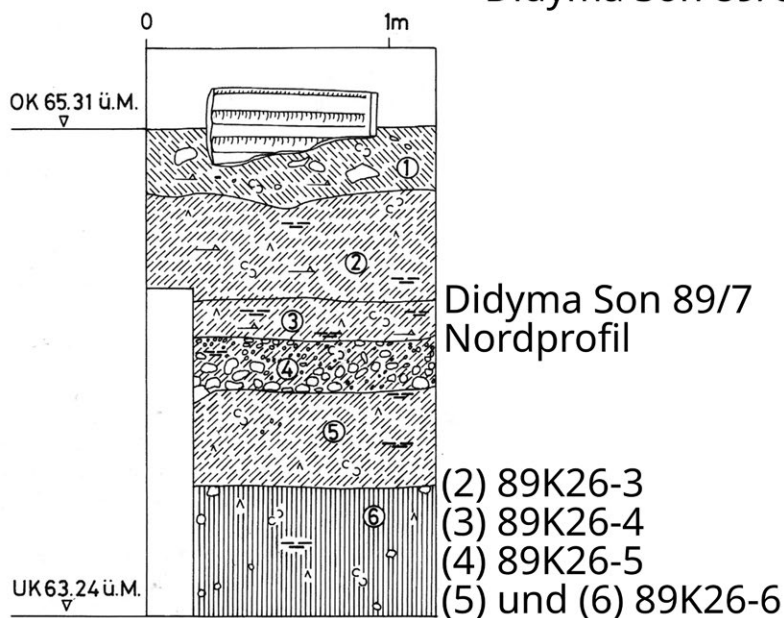


Abb. 17: Archaische Horizonte in den nordwestlichen Straßensondagen SON 89/6F und SON 89/7

17

Straßensondage Son 89/7 die konvexe äußere Beckenkontur gemeinsam hat, während nur die Innenkontur den charakteristischen S-förmigen Schwung zitiert.

### Fazit und Diskussion weiterer Grabungsaufzeichnungen

31 Mit dem angeführten Überblick über die in protogeometrischer Tradition stehenden Gefäßfragmente aus Grabungen in Didyma hat sich deren Anzahl im Vergleich zu dem aus älteren Vorberichten und Arbeiten bekannten Bestand deutlich vergrößert. Dennoch steht die keramische Evidenz als Nachweis früheisenzeitlicher Aktivitäten im Heiligtum von Didyma auf sehr wackeligen Beinen, stammen doch alle Stücke aus nachgeometrischen Befundkontexten und jene Fragmente, für die anhand form- und dekortypologischer Indizien eine feiner-chronologische Einordnung vorgeschlagen werden kann, müssen bei dem aktuellen Stand der Forschung mit nur wenigen Ausnahmen (Abb. 15; **Kat 3. 4. 7**) als subprotogeometrische Vertreter innerhalb der lokalen spätgeometrisch bis früharchaischen Keramikproduktion angesehen werden (Abb. 9; **Kat 1. 2. 8. 10-16**).

32 Vor diesem Hintergrund gewinnt eine Bemerkung K. Tuchelts an Bedeutung, in der für das Grabungsjahr 1965 der Nachweis von »[...] vereinzelt protogeometrischen Scherben« aus einem Grabungsareal im Westen des Tempels als »Die frühesten Spuren, die bisher in Didyma bekannt sind [...]« erwähnt werden<sup>102</sup>. Den Grabungsaufzeichnungen ist zu entnehmen, dass in einem Schnitt A1, der »westlich der Mandratreppe« im »Anschluss an die im Jahre 1925/26 eingestellte Grabung« von H. Hörmann<sup>103</sup> angelegt worden war, bei OK 2,80 m unter der Grabungsoberkante eine Kalksteinpackung angetroffen wurde, die explizit nicht als Mauer angesprochen wird und an deren Oberkante »sog. pergamenische Ware« geborgen wurde, während beim Abtragen der Steinpackung »wenige Scherben mit Reifenbemalung« zutage traten<sup>104</sup>. Die Funde aus den Bereichen unterhalb der Steinpackung im Schnitt A1 sowie ab etwa derselben Höhe in den benachbarten Schnitten A2 und B wurden nach Abhüben getrennt bis zum Erreichen einer fundleeren, lehmigen sog. Schwemmschicht in »Kästen« hinterlegt; im Schnitt A1 wurde schließlich auch die lehmige Erdschicht bis auf die anstehende Geologie abgenommen:

33 Schnitt A1

- Kasten 1: »aus A1 Kalksteinpackung und darunter<sup>105</sup>«
- Kasten 2: »aus A1 in 3,50 m Tiefe und tiefer bis 3,75 m<sup>106</sup>«
- Kasten 2A: »In A1 in 3,90 m Tiefe Bronzebügel und zahlreicher Scherbenbruch von Reifenware, überdies Rest von Vogelschale, Aryballosfragment, Frgm mit Rautenmuster«<sup>107</sup>.
- Kasten 9A: »In A1 wird die Grabensohle im Westen auf 1,50 m L × 2 m Br. sondiert. Unter der Lehmschicht der Grabensohle kommt ab ca. 4 m Tiefe braune lockere Erde mit vereinzelt einfach bemalter und Reifenware zutage.<sup>108</sup>« »In A1 wird die Grabensohle im Osten weiter sondiert: Scherben mit Reifenbemalung, aber vereinzelt aus hellbrauner, mit feinem Sand, feinen Kieseln und Kalksedimenten durchsetzter Erde. [...] In A1 wird die Sondierung der Grabensohle mit 0,85 m abgeschlossen; A1 ist im Ostende jetzt 5 m tief. Die kompakte Lehmschicht reicht noch bis 35 cm über den sondierten Boden, von dort ab beginnt feiner heller Sand mit kleinen Kieseln und Kalksedimenten. Die sehr vereinzelt archaischen Scherben stammen aus der Lehmschicht s. Kasten 9A, der mit Kasten 2 zu vergleichen ist<sup>109</sup>«.

34 Schnitt A2

- Kasten 3: »Aus A2 in 3,60 m Tiefe gut erhaltene Spitzamphore (Scherben geborgen [...])<sup>110</sup>«
- Kasten 3A: »Aus A2 kommt in der NW-Ecke ein menschlicher Fuß aus Terrakotta (unter 5 cm) in 3,70 m Tiefe zwischen grober Ware zutage [TE 2]. Der Fuß ist zerschlagen; überdies die li Gesichtshälfte [TE 3], zur selben Figur gehörig?<sup>111</sup>«

102 Tuchelt 1970, 191 f.; der dort in Anm. 7 angekündigte Grabungsbericht ist nie veröffentlicht worden. Die Funde wurden ins Miletmuseum nach Balat verbracht, wo sie im Sommer 2022 leider nicht aufgefunden werden konnten; vgl. Didyma, TB 1 (1964. 1965. 1968–1074), 84. 86–88 [K. Tuchelt].

103 Zweiseitiger maschinengeschriebener Bericht »Mitteilung über die Ausgrabung in Didyma 1965« vom 14. Oktober 1965 [K. Tuchelt] (Didyma-Archiv). Bei der angesprochenen »Mandratreppe« handelt es sich um die im südwestlichen Abschnitt der im frühen 20. Jahrhundert von den Ausgräbern Th. Wiegand und H. Knackfuß errichteten und heute noch bestehenden Umfassungsmauer des Tempelareals – der sog. Mandramauer – eingebaute Treppe, die zur damaligen Zeit als Zugang ins Grabungsareal genutzt wurde. Freundliche Hinweise hierzu verdanke ich Elgin von Gaisberg (Berlin) und Peter Schneider (Esslingen).

104 Didyma, TB 1 (1964. 1965. 1968–1074), 62 [K. Tuchelt].

105 Didyma, TB 1 (1964. 1965. 1968–1074), 62 [K. Tuchelt].

106 Didyma, TB 1 (1964. 1965. 1968–1074), 62 [K. Tuchelt].

107 Didyma, TB 1 (1964. 1965. 1968–1074), 63 [K. Tuchelt].

108 Didyma, TB 1 (1964. 1965. 1968–1074), 70 [K. Tuchelt].

109 Didyma, TB 1 (1964. 1965. 1968–1074), 72 [K. Tuchelt].

110 Didyma, TB 1 (1964. 1965. 1968–1074), 63 [K. Tuchelt].

111 Didyma, TB 1 (1964. 1965. 1968–1074), 64 [K. Tuchelt].

- Kasten 4: Aus A2 in 3,60 m Tiefe » großes Kesselfragment mit Henkel<sup>112</sup>«
- Kasten 4A: »Aus Schnitt A2 ab 3,50 m Tiefe: Grobe Gebrauchsware<sup>113</sup>«
- Kasten 6: »Während A1 und B fundlose Tiefe erreicht haben, kommt in A2 noch weiterhin eine Masse von Scherbenbruch (grobe Ware) und Ziegel heraus; dazwischen vereinzelt hartgebrannte Scherben. Abends ist in A2 ab Grabenkante 4,50 m erreicht. [...] Eindeutig Archaisches war dabei noch nicht festzustellen, die starke Füllschicht von über 1 m Höhe scheint nacharchaisch zu sein. [...] A2 wird nach Erreichen des sterilen Bodens abgeschlossen<sup>114</sup>«.

35 Schnitt B

- Kasten 5: »Aus Schnitt B ab ca. 3,50 m Tiefe [...] bis auf 3,90 m Tiefe gegraben<sup>115</sup>«

36 Schnitt C: Nördlich der Schnitte A1 und A2 wurde ein dritter Grabungsschnitt C begonnen, der im Westen von einer 2 Meter breiten und aus großen Blöcken gefügten Mauer durchzogen wurde<sup>116</sup>; die Erdbettung, die nach dem Abtragen der Mauer zum Vorschein kam, wurde anhand des darin vergesellschafteten Fundmaterials (nach byzantinisch datiert (Kasten 7/7A). Die byzantinische Mauer war aber offenbar nicht die älteste Bebauung in diesem Bereich, kam doch darunter eine ältere, aus unbehaue- nen Kalksteinen gefügte Mauer ans Licht, die in einer Erdbettung mit hartgebrannter roter Ware und grober Keramik lag (Kasten 8); in 2,50 m Tiefe erschien daneben eine »Schüttung von kleinen Kalksteinen mit Ziegeln und Scherbenbruch«, die als »Packlage der kleinen Quermauer« bezeichnet wird<sup>117</sup>. Das Fundmaterial aus dem Schnitt C aus Lagen unterhalb des Niveaus dieser »Packlage« wurde in einem Kasten gesammelt:

- Kasten 9: »In 3,15 m Tiefe spätgeometrische Scherbe [Abb. 18]<sup>118</sup>. In gleicher Höhe kommt der Boden (konzentrische Kreise innen) eines grünweißglasier- ten byzantinischen Tellers zutage; am 26. 9. wurde ein weiteres Stück dessel- ben Tellers gefunden, und zwar aus der Ziegelpackung stammend, nicht aus der fundarmen archaischen Schicht!<sup>119</sup>« Ein tatsächlich geometrisch bemaltes Fragment [Abb. 19] offenbar eines geschlossenen Gefäßes »wurde in Kasten 9 deponiert wie auch das folgende: Beim Tiefergehen in C (Osthälfte) werden obige spätgeometr. Scherbe sowie Reifenware gefunden, jedoch sehr spärlich. Auch etwas Bronzeblechreste. [...] In C ab 3,20 m Tiefe (jetzt 3,40 m) noch lockere feuchte sanddurchmischte Erde, darin Bronzeblechreste, eine kleine Bronzeblüte (Kasten 9) und sehr spärliche frühe Scherben (Kasten 9)<sup>120</sup>. »Beim Glätten der südlichen Grabenwand kam in 3,40 m Tiefe 0,90 m westl. der südöstl. Ecke von C Stirn und obere Augenpartie einer Tonmaske zutage [TE 1]<sup>121</sup>. »Am Haus Keramik-Waschen. Dabei wurde eine große Tonplakette erkannt, die nach dem Waschen ein vielfiguriges Reliefbild zeigte: ein über- großer menschlicher (?) Dämon mit Hundevorderteilen als Beine steht im Mittelpunkt des Bildgeschehens. Die Plakette lag in Kasten 9. Rötli- gelber, glim- merhaltiger Ton, H 8,5; Br. 7,3; gr. Dicke der außen gewölbten Form 2,7 cm. Römisch oder noch späthellenistisch? [TE 5]<sup>122</sup>

112 Didyma, TB 1 (1964. 1965. 1968–1074), 63 [K. Tuchelt].

113 Didyma, TB 1 (1964. 1965. 1968–1074), 64 [K. Tuchelt].

114 Didyma, TB 1 (1964. 1965. 1968–1074), 65 [K. Tuchelt].

115 Didyma, TB 1 (1964. 1965. 1968–1074), 64 [K. Tuchelt].

116 Didyma, TB 1 (1964. 1965. 1968–1074), 64–74 [K. Tuchelt].

117 Didyma, TB 1 (1964. 1965. 1968–1074), 69 [K. Tuchelt].

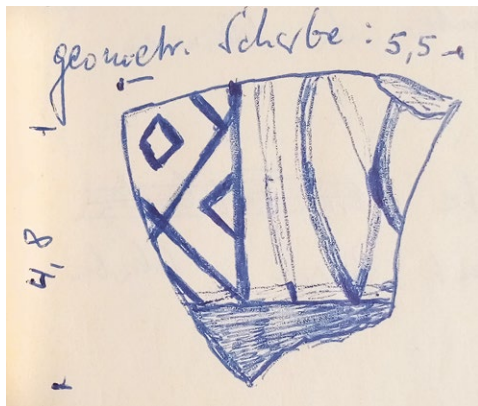
118 Das im Grabungstagebuch Didyma, TB 1 (1964. 1965. 1968–1074), 70 f. [K. Tuchelt] skizzierte Fragment ist einem orientalisierenden Gefäß zugehörig.

119 Didyma, TB 1 (1964. 1965. 1968–1074), 70 [K. Tuchelt].

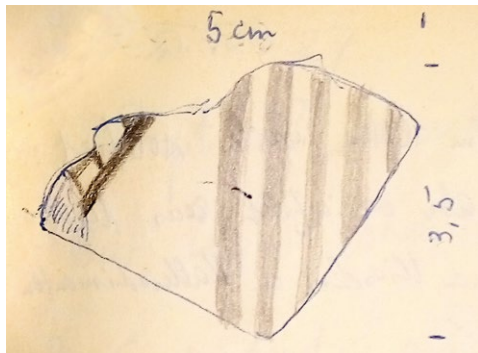
120 Didyma, TB 1 (1964. 1965. 1968–1074), 71 [K. Tuchelt].

121 Didyma, TB 1 (1964. 1965. 1968–1074), 73 [K. Tuchelt].

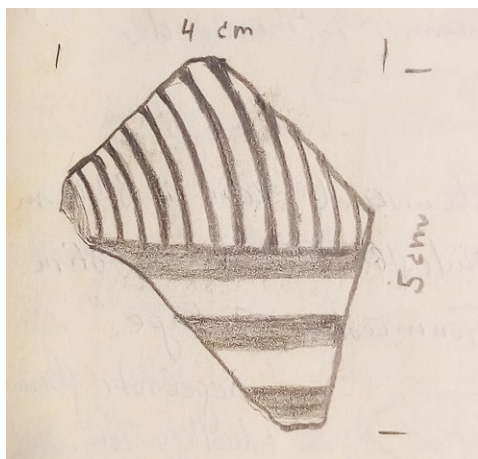
122 Didyma, TB 1 (1964. 1965. 1968–1074), 75 [K. Tuchelt].



18



19



20

Abb. 18: Tagebuchskizze eines orientalisierenden Gefäßes aus Kasten 9

Abb. 19: Tagebuchskizze eines geometrischen Gefäßes aus Kasten 9

Abb. 20: Tagebuchskizze eines protogeometrischen Gefäßes aus Kasten 9a mit Beschriftung »Dicke 0,8 cm. Gelbl. weicher glimmerhaltiger Ton.«

- Kasten 9a: »In C (südl. Grabenwand, Osthälfte) wird in 4 m Tiefe ein Fragment mit Resten dreier breiter umlaufender Reifen, darüber 12 konzent. Halbkreise gefunden [Abb. 20]. Die dunkle Bemalung ist stark verblichen, aber noch gut zu erkennen. Die Scherbe stammt aus der feuchten lehmigen Erde über der Sand/Mergellage. Glimmriges Ton, innen ungefirnisst, von geschlossenem Gefäß stammend. Protogeometrisch. In C (Osthälfte) abends Grabentiefe von 4,40 m, wo die Sand/Mergellage erreicht wird«<sup>123</sup>.

37 Die hier ausführlich zitierten Grabungsaufzeichnungen machen deutlich, dass möglicherweise im Schnitt B (Kasten 5), sicher aber in den beiden Schnitten A1 (Kästen 2/2A/9A) und C (Kästen 9/9a), die bis auf den gewachsenen Boden geführt worden waren, ein archaisch datierter Kulturhorizont in Form eines lehmigen Erdniveaus – der sog. Schwemmschicht – angetroffen wurde. Im Schnitt A1 war dieser Horizont von einer »Kalksteinpackung« versiegelt, bei der »rundgeführten Packung aus Konglomeratsteinen«, die K. Tuchelt in einem im Didyma-Archiv verwahrten Kurzbericht derselben Schicht zuordnet, muss es sich um die sog. Packlage handeln, die im Grabungstagebuch für Schnitt C erwähnt ist (siehe oben). Da die in das Miletmuseum nach Balat verbrachten Fundkisten<sup>124</sup> im Sommer 2022 nicht auffindbar waren, konnte keine Autopsie des Fundmaterials vorgenommen werden. Von den von K. Tuchelt für die tiefste Lage in Schnitt C zwischen 4,00 und 4,40 m unter der Grabungsoberkante über dem gewachsenen Boden erwähnten »[...] vereinzelt protogeometrischen Scherben«<sup>125</sup> ist anhand der Tagebuchskizze Abb. 20 eine zu verifizieren. Zugleich machen die Ausführungen im Tagebuch allerdings auch deutlich, dass es sich bei der ältesten Kulturschicht, die in den Schnitten A1 und C der Grabung 1965 im Westen des Tempels bis auf den gewachsenen Boden abgetragen worden war, keinesfalls um einen protogeometrischen Befund gehandelt haben kann, wie K. Tuchelt dies in dem Kurzbericht von 1965<sup>126</sup> und später an anderer Stelle zumindest angedeutet hat<sup>127</sup>. Vielmehr war das spät(-/sub)protogeometrische Gefäßfragment Abb. 20 hier ebenso wie an den anderen, oben vorgestellten Fundplätzen (sub) protogeometrischer Keramik aus Didyma (Abb. 2) in einem Horizont mit spätgeometrischer und archaischer Keramik vergesellschaftet.

38 Anders als in anderen prominenten Heiligtümern Ioniens wie dem Heraion von Samos<sup>128</sup>, dem Artemision von Ephesos<sup>129</sup> oder dem Apollonheiligtum von Klaros<sup>130</sup> kann für das Apollonheiligtum von Didyma vor dem Hintergrund der gegenwärtigen und hier veranschaulichten Befund-situation mithin kein früheisenzeitlicher Kultbetrieb postuliert werden<sup>131</sup>. Nicht nur die

123 Didyma, TB 1 (1964. 1965. 1968–1074), 74 [K. Tuchelt].

124 Didyma, TB 1 (1964. 1965. 1968–1074), 84. 86–88 [K. Tuchelt].

125 Tuchelt 1970, 191 f.

126 Kurzbericht Tuchelt 1965, 1: »Aus derselben Schicht über dem Mergelboden wurde eine Scherbe mit konzentrischen Halbkreisen gefunden, deren Fundlage eine Datierung in protogeometrische Zeit befürwortet«.

127 Tuchelt 1970, 191 f.: »Die frühesten Spuren, die bisher in Didyma bekannt sind, erbrachte die Grabung 1965 im Westen des Tempels mit zunächst nur vereinzelt protogeometrischen Scherben«.

128 Niemeier 2019a, 6 f.; Walter u. a. 2019b, 35–37. 56; Walter u. a. 2019c, 61 f.

129 Kerschner 2003a; Kerschner 2011; Kerschner 2017, 12–30.

130 Zunal 2014; Akar Tanriver 2015; Zunal 2015, 42 f. 47 f.; Zunal 2016; Zunal 2018; Akar Tanriver 2022.

131 Für das Athenaheiligtum von Milet sind die Funde und Befunde der frühen Eisenzeit noch nicht abschließend vorgelegt worden; vgl. Held 2000, 6–10; Niemeier 2009, 22 f.; Niemeier 2019b, 158 f. 164.

stratigraphische Befundsituation steht dem entgegen, sondern auch die Zusammensetzung des früheisenzeitlichen Fundspektrums, das keine eindeutig mit rituellen oder kultischen Handlungen zu korrelierende Fundstücke umfasst<sup>132</sup>. Während etwa das protogeometrische Artemision anhand eines aussagekräftigen und stratigraphisch definierten Materialbefundes belegt ist<sup>133</sup>, sind im samischen Heraion sowie im Apollonheiligtum von Klaros für diese frühe Zeit auch zugehörige Baustrukturen (Altäre) nachgewiesen, die in Klaros bis mindestens in die frühprotogeometrische Zeit zurückführen<sup>134</sup> und hier mit einem mit Ephesos vergleichbaren Materialbefund verknüpft sind, der nicht nur ein weit größeres Spektrum an Gefäßkeramik umfasst<sup>135</sup>, sondern auch verbrannte Tierknochen, die auf Tieropfer und Kultmähler verweisen<sup>136</sup>, sowie Terrakottavotive und Metalle<sup>137</sup>. Ob dies nun aber tatsächlich bedeuten muss, dass der Kultbetrieb in Didyma später einsetzte als in den angeführten Heiligtümern, lässt sich gegenwärtig kaum zufriedenstellend beantworten und könnte erst durch weitere Grabungen abschließend geklärt werden.

### Geometrische und subgeometrische Gefäßkeramik

39 Aus archäologischer Sicht wird das Heiligtum von Didyma nicht vor der spätgeometrischen Zeit gut fassbar. Ungeachtet der noch nicht eindeutig geklärten Feindatierung des ältesten Sekos I (siehe oben), mit dem der architektonische Ausbau des Tempelareals in der vorhellenistischen Zeit seinen Anfang nahm<sup>138</sup>, zeugt die große Anzahl spätgeometrischer und subgeometrischer Gefäßkeramik spätestens ab der Wende zum 7. Jahrhundert v. Chr. von intensiven Aktivitäten in Didyma, denen auch ein Teil des wesentlich überschaubareren Bestandes an Keramik protogeometrischer Tradition zugerechnet werden muss (siehe oben). Auch die ältesten Metallfunde können in die 2. Hälfte des 8. Jahrhunderts v. Chr. datiert werden<sup>139</sup>. In sämtlichen Grabungsbereichen, in denen seit der Wiederaufnahme der Deutschen Grabungen in den 1960er Jahren archaische Horizonte angetroffen wurden<sup>140</sup>, haben sich spät- und subgeometrische Gefäßfragmente gefunden (Abb. 3)<sup>141</sup>, wobei es sich oftmals um Formen und Typenva-

---

132 Vgl. den Kriterienkatalog zur Identifikation eines früheisenzeitlichen Kultgeschehenes am Beispiel Ephesos bei Kerschner 2017, 18–24 mit Diskussion und Literatur.

133 Kerschner 2003a; Kerschner 2017, 17–30.

134 Zunal 2014, Zunal 2016, 174–176. 181.

135 Zunal 2014, 113.

136 Vgl. Zunal 2014, 109 Anm. 3; Akar Tanriver 2015, 126.

137 Akar Tanriver 2015; Zunal 2015; Zunal 2016, 171; aus den französischen Grabungen sind ebenfalls Kleinfunde (Fibeln) und Metalle aus späteren Horizonten bekannt, die in die protogeometrische Zeit datiert wurden; vgl. de La Genière 2007, 180.

138 Vgl. zum archaischen Tempel zuletzt Furtwängler 2009, 4–8; Dirschedl 2012; Dirschedl 2017; Dirschedl 2018, Dirschedl 2019, jeweils mit Literatur.

139 Vgl. dazu etwa das um 730 v. Chr. datierte Beinfragment eines Bronzedreifüßes (Matrizen-Typ) bei Furtwängler 2005, 209 Abb. 12; Slawisch 2013, 54 Abb. 2, für welches zuletzt der Verdacht auf eine lokale Herstellung geäußert wurde; siehe dazu M. Verčik in Akyol u. a. 2022, 121 Abb. 4 a. b. In das 8. oder frühe 7. Jh. v. Chr. datieren weiters die Fragmente von Bronzeschilden vom Taxiarchis-Hügel, die dem Typ Herzsprung nahestehen; vgl. dazu Taxiarchis iDAI.field 2024, InvNr. MM01-90. MM01-97. MM01-251. MM01-279. MM01-514. MM01-635c. MM03-133 (= Klebinder-Gauß – Franken in Vorbereitung, Nr. Ae 171–Ae 177). Für das Fragment eines Schwertes Typ Naue II aus den Taxiarchis-Befunden wurde eine protogeometrische bis geometrische Datierung vorgeschlagen; vgl. Taxiarchis iDAI.field 2024, InvNr. MM01-621b (= Verčik in Vorbereitung, Nr. Fe 14).

140 Naumann – Tuchelt 1963/1964, 43 f. Nr. 1. 3–6. 10 Taf. 8, 1. 3. 4; 9, 1–3; 48 Nr. 29. 30 Taf. 13, 2; Tuchelt 1971, 59 Nr. 4–6 Taf. 3; Tuchelt 1973/1974, 149 Nr. 1–7 Taf. 47; Wintermeyer 1980, 125 f. Nr. 9. 15 Taf. 50. 51; Kaiser 2023a; Kaiser – von Miller 2023, 514–518. 525 Nr. VsW 1–VsW 23. AdVsW 1–AdVsW 3 Taf. 138. 139. 141. 239. 241; von Miller 2023a, 121 f. 133–135. 208–210. 228 f. 234 f. Nr. LokA 2–LokA 4. LokA 66–LokA 78. LokA 503–LokA 511. LokA 611. LokA 642–LokA 644 Taf. 3. 8. 9. 36. 37. 45. 46. 192. 193. 197. 198; von Miller 2023c, 905–909; von Miller 2024; von Miller in Vorbereitung; vgl. auch Schattner 2007, 346–342. 426–429 Abb. 99–101. 115. 116.

141 Mit dem Begriff »subgeometrisch« ist hier anders als etwa mit »submykenisch« keine abgrenzbare Phase der griechischen Keramikchronologie gemeint (vgl. Lemos 2002, 7 f. 24. 26; Ruppenstein 2009), wie J. N. Coldstream dies für die ostgriechischen Breiten vorschlug (Coldstream 1968, 330), sondern in Anlehnung an die Definition von M. Kerschner und U. Schlotzhauer (Kerschner – Schlotzhauer 2005, 6 f. mit Anm. 23)

rianten handelt, die bereits in das fortgeschrittene 8. Jahrhundert v. Chr. datieren und Laufzeiten bis hinab in das 7. Jahrhundert v. Chr. verzeichnen; geometrisch datierte Befundkontexte haben sich bislang indes nicht identifizieren lassen. Das vertretene Repertoire (**Kat 17–143**) setzt sich nicht allein aus lokal bzw. regional hergestellten Gefäßen zusammen, sondern umfasst mit den Erzeugnissen der teischen Vogelschalenwerkstatt eine prominente und weitverbreitete Gattung der spätgeometrischen bis früharchaischen Zeit, welche die solide Anbindung des Heiligtums an ein überregionales Kommunikationsnetz vor Augen führt<sup>142</sup>. Am Beispiel des geometrischen bis subgeometrisch-früharchaischen Gefäßbestandes aus den Bau-, Nutzungs-, Zerstörungs- und Verfüllhorizonten der archaischen Strukturen auf der sog. Felsbarre in Didyma (Abb. 16) lässt sich dieses Verhältnis auf Basis einer belastbaren Datengrundlage aus stratifizierten Kontexten repräsentativ veranschaulichen (Abb. 21)<sup>143</sup>.

40 Zu den entwicklungstypologisch frühesten Gefäßen der lokalen Produktion zählen dunkelgrundige (**Kat 17–30. 33**) sowie ornamental bemalte Amphoren (**Kat 31. 34**)<sup>144</sup>, Hydrien/Bauchhenkelamphoren (**Kat 35. 36**), Kannen (**Kat 38–42**), Kännchen (**Kat 43–52**)<sup>145</sup>, Kratere (**Kat 53–63**)<sup>146</sup>, Trinkgefäße (**Kat 64–93**)<sup>147</sup>, Teller (**Kat 94–97**)<sup>148</sup> und Schüsseln (**Kat 99–103**)<sup>149</sup> sowie Vogelkannen (**Kat 106–110**)<sup>150</sup>, Kratere (**Kat 111–114**)<sup>151</sup>, Vogelschüsseln (**Kat 115**)<sup>152</sup> und die frühen Typen 1–6 der Vogelkotylen der Vogelschalenwerkstatt (**Kat 116–143**)<sup>153</sup> gemeinsam mit vereinzelt anderen Importgefäßen (**Kat 32. 98. 104. 105**)<sup>154</sup>.

---

– und vergleichbar mit dem Begriff »subprotogeometrisch« – das Weiterleben geometrischer Form- und Dekorelemente über die geometrische Zeit hinaus; siehe auch Kerschner 2007, 223–226.

142 Zur Vogelschalenwerkstatt zuletzt Kerschner – Mommsen 2022 mit Literatur.

143 In der laufenden Studie zur ältesten Phase der sog. Felsbarre bis zur Perserzerstörung im frühen 5. Jh. v. Chr. (Abb. 16) findet zuzüglich zu den archaischen Befundkontexten auch das zahlreiche vorhellenistische Material aus den Verfüllungen und Bauplanierungen der Nachfolgephase Berücksichtigung, da dieses in erster Linie die Aktivitäten der vorhellenistischen Zeit widerspiegelt; vgl. von Miller in Vorbereitung. Zur stratifizierten Evidenz der Vogelschalenwerkstatt in Didyma siehe außerdem am Beispiel der Befunde des Taxiarchis-Hügels Kaiser – von Miller 2023, 512 f. Abb. 21–24; von Miller 2023c, 905–909 Abb. 57.

144 Zusätzlich zu den hier angeführten Exemplaren aus einer laufenden Studie vgl. aus der sog. Südwestgrabung beim Apollontempel Naumann – Tuchelt 1963/1964, 43 Nr. 3 Taf. 8, 3; Nr. 5 Taf. 9, 1; aus den Taxiarchis-Grabungen von Miller 2018, 83 Abb. 5 (Randtyp A); von Miller 2023a, 87 f. 288 f. Nr. Loka 952–Loka 955 Taf. 64. 65. 202.

145 Zusätzlich zu den hier angeführten Exemplaren aus einer laufenden Studie vgl. aus den Taxiarchis-Grabungen von Miller 2023a, 258 f. Nr. Loka 785–Loka 787. Loka 790 Taf. 53. 54. 200.

146 Zusätzlich zu den hier angeführten Exemplaren aus einer laufenden Studie vgl. aus der sog. Südwestgrabung beim Apollontempel Naumann – Tuchelt 1963/1964, 43 Nr. 1 Taf. 8, 3; aus den Taxiarchis-Grabungen Kaiser 2023a, 12 f. Nr. Geo 9. Geo 11 Taf. 2. 191.

147 Zusätzlich zu den hier angeführten Exemplaren aus einer laufenden Studie vgl. aus den Taxiarchis-Grabungen Kaiser 2023a, 11 f. Nr. Geo 4–Geo 6 Taf. 1. 191; von Miller 2023a, 121 f. Nr. Loka 2–Loka 4 Taf. 3. 192; 133 Nr. Loka 66. Loka 67 Taf. 8. 193.

148 Zusätzlich zu den hier angeführten Exemplaren aus einer laufenden Studie vgl. aus den Taxiarchis-Grabungen Kaiser 2023a, 13 Nr. Geo 12 Taf. 2. 191; von Miller 2023a, 228 f. Nr. Loka 611 Taf. 45. 198.

149 Zusätzlich zu den hier angeführten Exemplaren aus einer laufenden Studie vgl. aus den Taxiarchis-Grabungen Kaiser 2023a, 13 Nr. Geo 14 Taf. 2. 191.

150 Zusätzlich zu den hier angeführten Exemplaren aus einer laufenden Studie vgl. aus der sog. Südwestgrabung beim Apollontempel Naumann – Tuchelt 1963/1964, 43 Nr. 5 Taf. 9, 2; aus der Grabung des Jahres 1969 im Westen des Apollontempels Tuchelt 1971, 59 Nr. 5 Taf. 3 (als Vogelskyphos klassifiziert); aus den Taxiarchis-Grabungen Kaiser 2023a, 15 Nr. AdGeo 1 Taf. 191.

151 Zusätzlich zu den hier angeführten Exemplaren aus einer laufenden Studie vgl. aus der Grabung des Jahres 1972 im Westen des Apollontempels Tuchelt 1973/1974, 149 Nr. 6 Taf. 47 (als geschlossenes Gefäß klassifiziert).

152 Zusätzlich zu dem hier angeführten Exemplar aus einer laufenden Studie vgl. aus den Taxiarchis-Grabungen Kaiser – von Miller 2023, 518 Nr. VsW 23 Taf. 139.

153 Zusätzlich zu den hier angeführten Exemplaren aus einer laufenden Studie vgl. aus der sog. Südwestgrabung beim Apollontempel Naumann – Tuchelt 1963/1964, 44 Nr. 10 Taf. 8, 4; aus der Grabung des Jahres 1969 im Westen des Apollontempels Tuchelt 1971, 58 f. Nr. 3. 4. 6. 10 Abb. 3 Taf. 3; 66 Nr. 68. 70. 73 Taf. 7; Tuchelt 1973/1974, 149 Nr. 1–4 Taf. 47; aus den Taxiarchis-Grabungen Kaiser – von Miller 2023, 515 f. 525 Nr. VsW 6–VsW 15. AdVsW 1. AdVsW 2. Taf. 138. 141. 239. 241.

154 Zusätzlich zu den hier angeführten Exemplaren aus einer laufenden Studie vgl. aus der sog. Südwestgrabung beim Apollontempel Naumann – Tuchelt 1963/1964, 43 Nr. 6 Taf. 9, 3; aus der Grabung des Jahres 1972 im

---

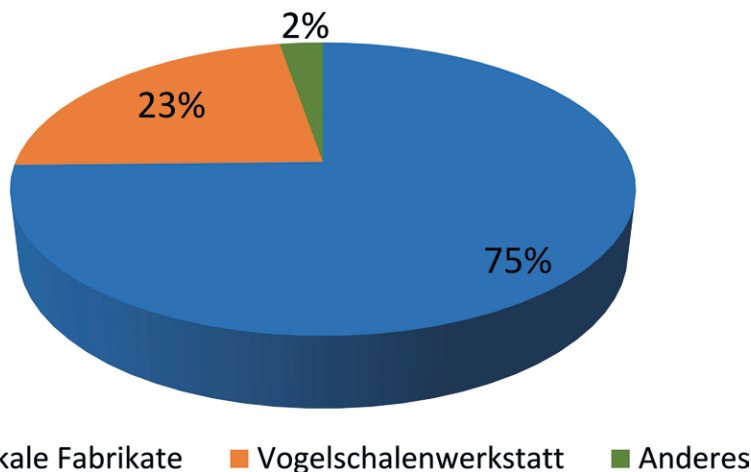


Abb. 21: Provenienz der geometrischen und subgeometrisch-früharchaischen Gefäße aus stratifizierten Kontexten auf der sog. Felsbarre (n=225)

21

### Amphoren und Hydrien

41 Die dunkelgrundigen Amphoren zeigen mit kantigen (**Kat 18, 19**) oder wulstig verdickten Rändern (**Kat 20–23**) sowie weit ausladenden Mündungen (**Kat 17**) das variantenreiche Formenrepertoire milesischer Amphoren der geometrischen und subgeometrischen Zeit. Weit ausladende Mündungen wie jene von **Kat 17** wurzeln in protoeometrischen Traditionen<sup>155</sup>, bleiben in Milet aber nachweislich bis in die spät- bis subgeometrische Gefäßproduktion geläufig<sup>156</sup> und sind wie im Fall von **Kat 17** häufig mit einer kantigen Randform kombiniert, die in unterschiedlichen Varianten unter den zeitgleichen Amphoren ohne ausladende Mündung ebenfalls vorkommt<sup>157</sup>. So begegnet die kantig vom Hals abgesetzte Randmorphologie mit der verjüngt zulaufenden Lippe von **Kat 17** bei **Kat 19** wieder<sup>158</sup>. **Kat 18** dürfte mit seinem kompakter ausgebildeten Rand dagegen den entwicklungstypologischen Vorläufer von **Kat 19** repräsentieren. Unter den Amphoren mit wulstig verdicktem Rand finden sich Gefäße der Randform Typ A.2 mit schnabelförmig akzentuierter Außenkante (**Kat 20–22**) neben solchen der Randform Typ A.1 mit Profilierung an der Unterkante (**Kat 23**)<sup>159</sup>; der Randtyp A.2 ist in Milet in subgeometrischen Kontexten nachgewiesen<sup>160</sup>. Des Weiteren sind die geometrischen bis subgeometrischen Amphoren durch kaum ausgestellte, annähernd zylindrische Hälse und einen glatten Umbruch in die Gefäßschulter gekennzeichnet (**Kat 24–27**). Der dunkle Gesamteindruck der Gefäße wird mitunter mittels eines tongründig ausgesparten Dekorfeldes auf dem Hals aufgebrochen, das typischerweise mit Wellenbanddekor bemalt ist (**Kat 25–27**). Die Amphoren **Kat 28** und **Kat 29** illustrieren die Übernahme desselben geometrischen Dekorsystems in eine bereits weiter fortgeschrittene Formausprägung mit mandelförmig verdicktem Rand, trichterförmig ausgestelltem Hals und kräftig ausgeprägter Einschnürung am Übergang des Halses in die Gefäßschulter. Damit nehmen die beiden Gefäße eine Reihe von typischen Merkmalen der milesischen Reifen- und Transportamphoren der archaischen Zeit vorweg<sup>161</sup>.

Westen des Apollontempels Tuchelt 1973/1974, 149 Nr. 4bis Taf. 47; aus den Taxiarchis-Grabungen Kaiser – von Miller 2023, 514 f. Nr. VsW 1–VsW 5 Taf. 138, 239.

155 Vgl. Aytacılar 2004, 21 Abb. 4, 1–3, 6; 23 Abb. 6, 1.

156 Kleine 1979, 141 Nr. 7 Taf. 33, 2; Kerschner 1999, 26 Abb. 14, 64–66.

157 Vgl. die frühen Formgruppen milesischer Amphoren bei Seifert 2004, 13 f. (Gruppe 1. 3. 4 a. b) Taf. 1. 4–6.

158 Seifert 2004, 14 Taf. 6: Gruppe 4 a.

159 von Miller 2018, 89; von Miller 2023a, 87 f. Der Randtyp A.1 entspricht den Amphoren der Gruppe 2 bei Seifert 2004, 13 Taf. 2.

160 Vgl. von Graeve 1975, 43 Nr. 2 Abb. 7 Taf. 3; 56 Nr. 67 Abb. 34 Taf. 12.

161 Zu milesischen Reifen- und Transportamphoren vgl. grundlegend Seifert 2004; Naso 2005; Birzescu 2009; Birzescu 2012. Siehe am Beispiel Didymas auch von Miller 2018; von Miller 2023a, 87–98.

42 Das Randfragment mit kleiner Rundstabilippe **Kat 30** könnte einer Amphore oder aber einer Kanne mit runder Mündung zugehörig gewesen sein. Das mit vertikalen Strichen befüllte, tongrundig ausgesparte Lippenband kann als ein Indiz für eine wohl ornamentale Bemalung des zugehörigen Ganzgefäßes gewertet werden, wie sie in dem Halsfragment **Kat 31** und dem Schulterfragment **Kat 32** für Amphoren nachgewiesen ist. Auf dem Hals **Kat 31** hat sich der Ausschnitt aus zwei Metopenfeldern erhalten, von denen das linke ein ineinander gestaffeltes Mäandermotiv, das rechte ein gerahmtes stehendes Dreieck zeigt. Denkbar ist in beiden Fällen die Ergänzung zu je einem Mäanderbaum, der zu den beliebten Bildmotiven der spät- und subgeometrischen Zeit zählt und insbesondere von den Gefäßen der nordionischen Vogelkotylen der Typen 4–6 gut bekannt ist<sup>162</sup>. Das Schulterfragment **Kat 32** zeigt mit dem Schmetterlingsmetopenfries ein zweites gängiges Motiv der Vogelschalenwerkstatt<sup>163</sup>. Das Fabrikat der beiden Gefäße weicht von jenen der bekannten lokalen Waren ab, weshalb es sich um Importe gehandelt haben dürfte. Obwohl die makroskopischen Charakteristika des Fabrikates nicht mit jenen des Standardfabrikates der teischen Vogelschalenwerkstatt übereinstimmen (siehe unten), ist eine Zugehörigkeit zur NAA-Herkunftsgruppe B aber keineswegs ausgeschlossen<sup>164</sup>.

43 Eine letzte und spezifisch milesische Formgruppe von hohen und schlanken Amphoren<sup>165</sup> wird in Didyma von drei Fragmenten vertreten, von denen zwei hier vorgelegt werden. Das Schulterfragment **Kat 33** zeigt den Ausschnitt aus einem dunkelgrundigen Dekorsystem, mit in dichter Abfolge umlaufenden Bändern und Reifen, zwischen die am Schulter-Bauch-Umbruch ein Wellenband eingefügt ist. Aus der subgeometrischen Brand- und Zerstörungsschicht im sog. Südschnitt an der hellenistischen Stadtmauer in Milet ist ein unmittelbares Parallelgefäß mit vergleichbarer Bänderung und Wellenbandzier bekannt<sup>166</sup>, während ein vergleichbares Dekorsystem auch unter spätgeometrischen Kannen vertreten ist<sup>167</sup>. Das zweite Fragment **Kat 34** stammt vom Oberbauch einer Amphore und weist die für den Gefäßtypus so charakteristische ornamentale Bemalung auf, die über einem hellen Malgrund angebracht wurde und von der sich ein Ausschnitt aus einem mit der Kammbürste ausgeführten Punktmetopenfeld und einem in der darüberliegenden Dekorzone verlaufenden Wellenband erhalten hat. Das dritte aus Didyma bekannte Fragment dieses Amphorentypus wurde wie **Kat 33** und **Kat 34** auf der sog. Felsbarre geborgen und zeigt exakt dasselbe Dekorsystem wie **Kat 34**<sup>168</sup>.

44 Die beiden Wandfragmente **Kat 35** und **Kat 36** repräsentieren Bauchhenkelamphoren oder Hydrien. In beiden Fällen hat sich ein Teil des kräftig gewölbten Oberbauchs eines großen geschlossenen Gefäßes erhalten, jeweils mit dem Ansatz eines rundstabigen Horizontalhenkels, der dort aufsitzt, wo es den weitesten Durchmesser ausbildet. Der Henkel von **Kat 35** ist mit einer dichten Abfolge aus vertikalen, nach unten hin spitz zulaufenden Streifen bemalt, die im spätgeometrischen Dekorrepertoire

---

162 Kerschner 1995, 13–15; Kerschner 2008, 28; von Miller 2019, 71 f. 333 f.; Kaiser – von Miller 2023, 504–506.

163 Vogelkotylen: Kerschner 1995, 11–15; von Miller 2019, 70–75. 312. 333 f.; Kratere: Özkan 2009, 59 f.; Vogelkannen: von Miller 2019, 158–160. 320 f. 355.

164 Zur Herkunftsgruppe B siehe zuletzt Kerschner – Mommsen 2022 mit Literatur.

165 Grundlegend zur Form siehe Kerschner 1999, 26 f. Abb. 14, 61–63; Kalaitzoglou 2008, 224–226. 421 Nr. 595. 596 Taf. 129. 130. Zum Erscheinungsbild der Gefäße vgl. außerdem die gut erhaltenen Exemplare aus Milet bei von Graeve 1975, 42. 45 Nr. 1. 9 Taf. 3. 4; Kleine 1979, 141 f. Nr. 9 Taf. 33, 3. 4; vgl. auch von Graeve 1973/1974, 91 Nr. 16 Taf. 19.

166 von Graeve 1975, 56 Nr. 69 Abb. 36 Taf. 12.

167 von Graeve 1973/1974, 90 Nr. 9–11 Taf. 18.

168 InvNr. P272: Wintermeyer 1980, 127 Nr. 22 Taf. 51. Der punktierte Kammbürstendekor ist außerdem von den milesischen sog. Punktmetopenkotylen bekannt, die auch in Didyma bereits nachgewiesen wurden; vgl. zum Gefäßtypus Kerschner 1995, 10; von Miller 2019, 66 f.; zum Nachweis in Didyma siehe Tuchelt 1973/1974, 149 Nr. 4bis Taf. 47.

Ioniens zwar vertreten<sup>169</sup>, beispielsweise in Attika allerdings bereits in der submykenischen bis frühprotogeometrischen Zeit geläufig sind<sup>170</sup>. Die annähernd waagrechte Henkeführung kann jedoch als ein sicheres Indiz für eine geometrische Datierung des Gefäßes angesehen werden, die sich in dem Fehlen der für submykenische und protogeometrische Gefäße typischen Fassung der Henkel durch weit auf den Bauch hinabreichenden Streifen<sup>171</sup> bestätigt findet. Für das von Streifen gesäumte und mit vertikalen Balkengruppen befüllte Henkelband auf **Kat 36** lassen sich ebenfalls Parallelen unter spät- bis subgeometrischen Großgefäßen benennen<sup>172</sup>. Die Bemalung des vertikalen Bandhenkels **Kat 37** mit sich überkreuzenden Linien kann dagegen mit jener von geometrischen Kannenhenkeln aus dem Heraion von Samos verglichen werden<sup>173</sup>.

## Kannen

45 Von (sub)geometrischen Kannen sind in Didyma wie schon unter den Amphoren dunkelgrundige und ornamental bemalte Exemplare gleichermaßen anzutreffen. Auf dem Halsfragment **Kat 38** einer dunkelgrundigen Kanne zeichnet sich ein von waagrechten Streifen gerahmtes, tongrundig ausgespartes Bildfeld ab. Die spätgeometrisch-dunkelgrundigen Kannen aus Milet, unter denen **Kat 38** seine besten Parallelen bei einer Kleeblattkanne aus der spätgeometrischen Brandschicht beim Athenatempel<sup>174</sup> und bei einer Kanne mit runder Mündung aus dem Pithos bei den spätgeometrischen Ovalbauten im sog. Südschnitt an der hellenistischen Stadtmauer<sup>175</sup> findet, tragen in den Halspaneelen Wellenbanddekor oder Punktreihen, wie sie beispielsweise auch von den spätgeometrischen Tellern (siehe unten) bekannt sind<sup>176</sup>. Die angeführten Kannen aus Milet vermitteln außerdem einen guten Eindruck von dem formalen Erscheinungsbild, das für die **Kat 38** und dem Kannenboden **Kat 39** zugehörigen Ganzgefäße zu erwarten ist.

46 Die beiden ornamental bemalten Kannen **Kat 40** und **Kat 41** sind in der Hauptdekorzone auf der Schulter je mit einem hohen, doppelt geführten Zickzackband bemalt. Dieses Motiv ist in der milesischen Keramikproduktion bislang für spät- bis subgeometrische (Knickrand)Skyphoi nachgewiesen worden<sup>177</sup>, von denen sich mit **Kat 92** ein besonders gut erhaltenes Exemplar auch in Didyma gefunden hat. Mit der Kanne **Kat 42** vergleichbare Henkeldekore, bei denen Andreaskreuze in rechteckige Bildfelder eingeschrieben wurden, sind für spät- bis subgeometrische Gefäße in Samos und Ephesos zahlreich belegt<sup>178</sup>.

---

169 Siehe von Miller 2019, 331 Nr. 2119 Taf. 173 Phototaf. 20.

170 Vgl. die attischen Bauchhenkelamphoren Dalsoglio 2020, Nr. 1.1a 1. 1.1b 1. 1.2a 2 Taf. 8; Nr. 1.3b 2. 1.3c 1 Taf. 9; Nr. 1.4a 1. 1. 4b 1 Taf. 10; Nr. 1.5d 1 Taf. 12; Taf. 37, horizontal handles 1.

171 Vgl. Dalsoglio 2020, Taf. 37, horizontal handles. Dieses Charakteristikum kennzeichnet auch die protogeometrischen Gefäße in Ionien; vgl. dazu beispielsweise die Bauchhenkelamphore aus einem geometrischen Brunnen östlich des Athenatempels von Milet bei Hommel 1959/1960, 54 Taf. 53, 4.

172 Siehe von Miller 2019, 395 f. Nr. 2454 Taf. 207.

173 Walter 1968, 28. 96 Nr. 84. 96 Taf. 16; vgl. auch die Schale bei Technau 1929, 15 Beil. 7, 1; 19 Abb. 11.

174 Hommel 1959/1960, 57 Nr. 1 Taf. 58.

175 von Graeve 1973/1974, 71. 90 Nr. 9 Taf. 18.

176 Vgl. Hommel 1959/1960, 58 Taf. 59, 4; von Graeve 1973/1974, 93 Nr. 35 Taf. 21.

177 Siehe Kleiner 1959/1960, 94 Nr. 7 a–c Taf. 79; von Graeve 1975, 51 Nr. 44 Abb. 18 Taf. 9; Schlotzhauer 2014, 490 Nr. 48 Taf. 8; 492 Nr. 58 Taf. 10; 493 Nr. 65 Taf. 11. Im nördlichen Ionien erfreute sich dasselbe Motiv unter den Randfälschkotylen in der Dekorvariante der Zickzackbandkotylen großer Beliebtheit; vgl. dazu Özgünel 1978, 23 Abb. 26–29 Taf. 3. 4; Kerschner 1995, 9; Özgünel 2003, Taf. 13, 4–7; Ersoy 2004, 46 f. Abb. 3 h; 4 d; 5 d; zu Zickzackbandkotylen in Didyma vgl. Kaiser – von Miller 2023, 514 Nr. VsW 4 Taf. 138. 239. In Ephesos ist der Dekor schließlich von einem Trinkgefäß, bei dem es sich wohl um einen Kantharos gehandelt haben dürfte; vgl. dazu M. Kerschner in von Miller 2019, 340 f. Nr. 2504 Taf. 213 Phototaf. 24.

178 Samos: Technau 1929, 14 Nr. 1 Beil. 5; Eilmann 1933, 103 Beil. 31, 11; Walter 1968, 100 f. Nr. 160. 164 Taf. 31. Ephesos: von Miller 2019, 111 Nr. 133 Taf. 13.

## Kännchen

<sup>47</sup> Neben den Kannen wurden in Didyma auch einige Exemplare der vor allem auf Samos und in Ephesos gut bekannten dunkelgrundigen Kännchen gefunden<sup>179</sup>, deren Anzahl in bisherigen Publikationen aus der Milesia sehr übersichtlich geblieben ist<sup>180</sup>. Die hier vorgestellten Gefäße (**Kat 43–52**) können bedenkenlos mit der formtypologischen Entwicklungsstufe eines exemplarischen Ganzgefäßes aus Milet korreliert werden<sup>181</sup>, die insbesondere mit **Kat 43** und **Kat 44** gut veranschaulicht ist: Die Gefäße verfügen über eine breite und kaum ausgestellte runde Mündung (**Kat 43–47**), von der die Formkontur mit einer weich S-förmig geschwungenen Profilierung über den breiten Hals und den bauchigen Gefäßkörper (**Kat 49–52**) zu einem flachen Boden führt; ein leicht überrandständiger Bandhenkel (**Kat 46–48**) sitzt an der weitesten Stelle des Gefäßbauches auf (**Kat 43. 44**). Der dunkle Gesamteindruck der Kännchen wird durch tongrundig ausgesparte Bänder auf dem Rand (**Kat 43. 45. 46**) und dem Gefäßbauch (**Kat 49–52**) aufgelockert. Das Kännchen **Kat 48** weicht mit der etwas weiter ausschwingenden Mündung, **Kat 43** mit dem Verzicht auf das ausgesparte Bauchband vom kanonischen Erscheinungsbild ab. Während das untere Ende der Datierungslaufzeit der dunkelgrundigen Kännchen in der Milesia anhand des stratifizierten Exemplars aus Milet<sup>182</sup> sowie der um die Mitte des 7. Jahrhunderts v. Chr. sich abzeichnenden Entwicklungstendenz hin zu schlankeren und aufgehellten Formen<sup>183</sup> wohl mit einiger Sicherheit im mittleren 7. Jahrhundert v. Chr. zu suchen ist, sind bislang keine geometrischen Kontexte bekannt geworden, die das Aufkommen der Form in der geometrischen Zeit bezeugen würden. Der Vergleich mit den dunkelgrundigen Kännchen aus den Taxiarchis-Grabungen macht deutlich, dass die fließend bauchige Form der hier vorgestellten Gefäße nicht den Endpunkt der Entwicklung darstellt. Vielmehr lässt sich eine Tendenz hin zu schlanker gestrafften bis spindelförmigen Proportionen feststellen<sup>184</sup>, ehe die dunkelgrundigen Kännchen im fortgeschrittenen 7. Jahrhundert v. Chr. endgültig von den aufgehellten konischen Kännchen abgelöst wurden<sup>185</sup>.

## Kratere

<sup>48</sup> Unter den Mischgefäßen gibt es eine große Anzahl von Krateren, die geometrische Form- und Dekormerkmale bis weit in die archaische Zeit hinab tradieren<sup>186</sup>. Der entwicklungstypologisch älteste Nachweis eines Kraters mit einer Datierung zwischen dem ausgehenden 10. und dem 8. Jahrhundert v. Chr. stammt in Didyma aus der ältesten Kulturschicht auf dem Taxiarchis-Hügel<sup>187</sup>. Die (sub)geometrischen Exemplare von weiteren Fundplätzen auf der sog. Felsbarre und aus den nördlichen Straßensondagen sollen im Folgenden vorgestellt werden. Das Schulterfragment **Kat 53**

---

<sup>179</sup> Vgl. dazu zuletzt von Miller 2019, 152–154 mit Literatur; von Miller 2023a, 81 mit Anm. 544. 545.

<sup>180</sup> Vgl. das annähernd zur Gänze erhaltene Exemplar von oberhalb eines subgeometrischen Befundkontextes aus dem sog. Südschnitt an der hellenistischen Stadtmauer von Milet bei von Graeve 1973/1974, 93 Nr. 37 Taf. 21 sowie die Exemplare aus den Taxiarchis-Grabungen bei von Miller 2023a, 258 f. Nr. LokA 785–LokA 790 Taf. 53. 54. 200.

<sup>181</sup> Siehe von Graeve 1973/1974, 93 Nr. 37 Taf. 21.

<sup>182</sup> Vgl. von Graeve 1973/1974, 93 Nr. 37 Taf. 21 aus einem Kontext unmittelbar oberhalb der subgeometrischen Brandschicht.

<sup>183</sup> Vgl. das frühe Reifenkännchen aus der subgeometrischen Aufschüttung auf dem Kalabaktepe in Milet bei Kerschner 1999, 25 Nr. 59 Abb. 13. Allgemein zu dieser Entwicklung vgl. am Beispiel von Ephesos auch von Miller 2019, 152–155.

<sup>184</sup> Vgl. von Miller 2023a, 285 f. Nr. LokA 785. LokA 789. LokA 790 Taf. 53. 54. 200. Siehe zu dieser generellen Entwicklung auch von Miller 2019, 152 f.

<sup>185</sup> Dazu Kalaitzoglou 2008, 178–184; von Miller 2023a, 81–83.

<sup>186</sup> Zu den Spielarten geometrischer Kratere vgl. zuletzt am Beispiel von Ephesos von Miller 2019, 110–112. 341–343 mit Literatur. Für Didyma siehe von Miller 2023a, 56 f.; vgl. auch Schattner 2007, 273–303 Abb. 76–87 sowie Panteleon 2013 zu den archaischen Krateren aus Milet.

<sup>187</sup> Vgl. dazu Kaiser 2023a, 12 f. Nr. Geo 9 Taf. 191. Zur archaischen Stratigraphie des Taxiarchis-Hügels vgl. von Miller 2022, bes. 15–17 (Hellbraun-sandige Schicht).

und das dunkelgrundige Beckenfragment **Kat 54** mit tongrundig ausgesparten Reifen veranschaulichen gemeinsam das Dekorsystem geometrischer Kratere, bei denen ein dunkelgrundiges Gefäßbecken mit einer ornamental verzierten Schulter kombiniert wird. In der Dekorzone von **Kat 53** lassen sich zwei Register mit schraffierten Mäanderornamenten erkennen. Mäanderhaken wie jener im unteren Register sind im spätgeometrischen Dekorrepertoire Milets gut belegt<sup>188</sup>. Der Mäander auf der Schulter eines dritten Kraters (**Kat 55**) wurde dagegen über einem hellen Malgrund aufgetragen, womit auf eine Datierung erst ab dem fortgeschrittenen 8. Jahrhundert v. Chr. verwiesen ist<sup>189</sup>. Eine spät- bis subgeometrische Einordnung kann allerdings nicht als gesichert gelten, erlebten großangelegte Mäander motive doch in der 2. Hälfte des 7. Jahrhunderts v. Chr. eine zweite Blüte in der milesisch-orientalisierenden Gefäßmalerei (MilA Ib/Ic)<sup>190</sup>. Das keilförmige Randfragment **Kat 56** repräsentiert angesichts des erkennbaren Henkelansatzes einen Bügelhenkelkrater<sup>191</sup>. Die gestreckte Randform verweist auf eine fortgeschrittene Entwicklung innerhalb der geometrischen Zeit<sup>192</sup>, und sowohl die Grundierung der Gefäßoberfläche mit einem hellen Malgrund als auch die Verwendung der Kammbürste bei der Anbringung des gebündelten Balkendekors auf der Randoberkante legen eine Datierung nicht vor dem fortgeschrittenen 8. Jahrhundert v. Chr. nahe<sup>193</sup>. Etwa parallel dazu kann das ebenfalls mit einem hellen Malgrund versehene Henkelfragment eines Bügelhenkelkraters (**Kat 57**) eingeordnet werden, an dessen Außenkante zwei senkrechte Leiterbänder ein offenes, noch sehr kantig ausgeführtes Flechtband rahmen, das in dieser Form als Ornament in den sekundären Dekorzonen milesisch-früharchaischer Kratere (MilA Ia) mehrfach belegt ist<sup>194</sup>.

49 Das Randfragment **Kat 58** verfügt wie schon der Bügelhenkelkrater **Kat 56** über einen gestreckt keilförmig verdickten Rand und eine helle Grundierung der Gefäßoberfläche. Mit Blick auf Form und Dekor lässt sich ein unmittelbares Parallelstück aus der subgeometrischen Brand- und Zerstörungsschicht im sog. Südschnitt an der hellenistischen Stadtmauer in Milet benennen, das in derselben Weise mit einem Wellenband auf der Randaußenkante und einem Metopendekor auf der Schulter bemalt ist<sup>195</sup>. Kammbürstendekor zeichnet dagegen die beiden Beckenfragmente **Kat 59** und **Kat 60** aus. Bei **Kat 59** rahmen mindestens achteilige Balkengruppen offenbar unbemalt belassene Felder, während die vierteiligen vertikalen Balkenbündel auf **Kat 60** Wellensegmentmetopen flankieren, in denen die niedrigen Wellensegmentbündel auf mindestens drei übereinanderliegenden Ebenen angeordnet sind. Das Dekorsystem ist insbesondere von den Randfalzkotylen mit Kammbürstendekor bekannt<sup>196</sup> und in Milet für Amphoren (siehe oben, **Kat 34**) und Knickrandskyphoi (siehe unten, **Kat 93**) in spät- und besonders subgeometrischen Befunden mit zahlreichen Beispielen nachgewiesen, wenngleich Zickzack-, Winkel-, Strich- und Punktmetopen vorherrschen<sup>197</sup>

188 Siehe von Graeve 1973/1974, 92 Nr. 21 Taf. 20; Kleine 1979, 141 Nr. 8 Taf. 33, 7.

189 Zur Verwendung des hellen Malgrundes in der ostgriechischen Malerei vgl. Kerschner 1999, 17.

190 Siehe dazu Kerschner – Schlotzhauer 2005, 16–33.

191 Zu milesischen Bügelhenkelkrateren vgl. Panteleon 2013, 126 f.

192 Nach H. Walter sind vergleichbare Randprofile für Kratere nicht vor dem 8. Jh. v. Chr. zu erwarten; vgl. Walter 1968, 25 Abb. 8 a; 33 Abb. 17 a. In Milet konnte N. Panteleon ein Weiterleben der einfachen keilförmigen Randform bis in das mittlere 7. Jh. v. Chr. nachweisen; vgl. Panteleon 2013, Anhang 2: Typ HK 1.

193 Kerschner 1999, 26; Kerschner 2007, 224 f.

194 Vgl. Panteleon 2013, 13 Nr. 45 Taf. 1. 82; 15 Nr. 54 Taf. 42. 82; 17 f. Nr. 64. 66 Taf. 1. 83. 84; 23 Nr. 89 Taf. 2. 87.

195 Vgl. von Graeve 1975, 45 Nr. 10 Abb. 10 Taf. 4.

196 Vgl. dazu zuletzt von Miller 2019, 66–68. 332 f. mit Literatur.

197 Zickzackmetopen: von Graeve 1973/1974, 91 Nr. 16 Taf. 19; 95 Nr. 44 Taf. 22; von Graeve 1975, 51 f. Nr. 47 Abb. 21 Taf. 10; Kleine 1979, 141 f. Nr. 9 Taf. 33, 3. 4; Kerschner 1999, 26 Nr. 61. 63 Abb. 14; Schlotzhauer 2014, Nr. 39 Taf. 7; Nr. 52 Taf. 9; Nr. 54 Taf. 10; Nr. 62 Taf. 11; Nr. 71 Taf. 12; Nr. 72 Taf. 13. Winkelmetopen: Schlotzhauer 2014, Nr. 59 Taf. 10; Strichmetopen: Schlotzhauer 2014, Nr. 21 Taf. 4; Nr. 60 Taf. 11. Punktmetopen: von Graeve 1975, 42. 45 Nr. 1. 9 Taf. 3. 4; Kleine 1979, 142 Nr. 10 Abb. 14 Taf. 33, 5; Schlotzhauer 2014, Nr. 56 Taf. 10; Nr. 63 Taf. 11; vgl. auch von Miller 2019, 67 Nr. 1338 Taf. 113. Mit

wohingegen Wellensegmentmetopen bislang kaum bekannt gemacht wurden<sup>198</sup>. Neben der Kammbürste wurde bei der Bemalung spät- und subgeometrischer Gefäße mitunter der Kammzirkel zu Hilfe genommen, dessen sich bereits die protogeometrischen Vasenmaler bedient hatten (siehe oben). Das Beckenfragment **Kat 61** eines großen Kraters zeigt den Ausschnitt aus einem Dekorsystem mit großen und kleinen Zirkelkreisen, für welches von B. Schweitzer der Begriff »Kringelstil« geprägt worden ist<sup>199</sup>. Großgefäße (Hydrien und Kratere) mit vergleichbaren Dekorsystemen sind aus Milet, Samos und Ephesos bekannt<sup>200</sup>, während entsprechende Dekore in rhodischen Befunden mit Kannen verknüpft sind<sup>201</sup>. Vor allem die gut stratifizierten Stücke aus der Siedlung unter der Tetragonos-Agora in Ephesos haben gezeigt, dass der subprotogeometrische »Kringelstil« bis in das ausgehende 7. Jahrhundert v. Chr. weiterlebte<sup>202</sup>.

50 Einen letzten (sub)geometrischen Kratertypus, den Randfalzkrater, repräsentieren das Randfragment **Kat 62** und das Wandfragment **Kat 63**. Beide Kratere geben sich aufgrund ihres Fabrikates zwar als lokale Gefäße zu erkennen, ihre Formgebung greift jedoch auf das Vorbild der nordionischen Randfalzkratere zurück, die im milesischen Repertoire nicht beheimatet sind<sup>203</sup>, aber möglicherweise unter dem Eindruck der nordionischen Importe (siehe unten) ins lokale Formenspektrum integriert wurden. Die Randfalzkratere zeichnen sich vergleichbar mit den Randfalzkotylen (siehe unten) durch den von der einziehenden Gefäßschulter treppenartig nach innen versetzten, kurzen Rand aus. Die Verwandtschaft mit den Trinkgefäßen kommt im Dekorsystem der beiden Kratere ebenfalls zum Ausdruck: An die Stelle einer aufwendigeren ornamentalen Bemalung tritt in beiden Fällen ein einfacher zonaler Dekor, der auch die lokale Variante der Randfalzkotylen – die Reifenkotylen – kennzeichnet (siehe unten, **Kat 64–82**).

### Trinkgefäße

51 Das spät- bis subgeometrische Repertoire der Trinkgefäße aus Didyma ist geprägt von den ornamental bemalten oder dunkelgrundigen Tiefen Skyphoi (siehe oben, Abb. 8, 9; **Kat 9–15**) sowie von einer beträchtlichen Anzahl an Reifenkotylen (**Kat 64–82**) und steilwandigen Tassen (**Kat 83–90**) – beides Gefäßformen, die auch in Milet gut belegt sind.

52 Mit den Reifenkotylen **Kat 64–82** wurde die als originär nordionisch verstandene Form der Randfalzkotyle in das lokale alltagskeramische Trinkgefäßrepertoire übernommen und außenseitig mit einfachem Bänderdekor versehen<sup>204</sup>. Formtypologisch lassen sich Reifenkotylen im gängigen Format archaischer Trinkgefäße mit Raddurchmessern zwischen 12 und ca. 18 cm (**Kat 64–74**) und Bodendurchmessern zwischen fünf und sechs Zentimetern (**Kat 75–78**) von großen Exemplaren mit Raddurchmessern von deutlich über 18 cm (**Kat 79–82**) unterscheiden; für Letztere ist von

---

der Kammbürste aufgetragene Punktreihen wurden auch mit den Zirkelkreisen auf den Tiefen Skyphoi kombiniert; vgl. von Graeve 1973/1974, 95 Nr. 46 Abb. 9 Taf. 22 (= Krumme 2015, 587 Abb. 19).

198 Der Knickrandskyphos bei Schlotzhauer 2014, Nr. 64 Taf. 11 scheint mit Wellensegmentmetopen bemalt gewesen zu sein.

199 Schweitzer 1969, 116 f. (Kringelstil); siehe auch Friis Johansen 1958, 148–154 (elfenbeinimitierende Vasen).

200 Milet: Weickert 1957, 124 Taf. 37, 2 unten rechts; Taf. 39, 4; Kleiner 1959/1960, 94 Nr. 7 d. e Taf. 79. Samos: Technau 1929, 14 f. Abb. 5; Eilmann 1933, 116 f. Beil 35, 3; Niemeier 2021, 29 f. Nr. 23 Abb. 30. Ephesos: von Miller 2019, 183–185 Abb. 29, 30; Nr. 1334 Taf. 112; Nr. 1565 Taf. 131; Nr. 1875 Taf. 156.

201 Friis Johansen 1958, 29 Nr. D 2 Abb. 62.

202 von Miller 2019, 183–186.

203 Panteleon 2013, 51 f. Randfalzkratere sind indes auch auf Samos bekannt, vgl. dazu Eilmann 1933, Beil. 40, 12; Walter 1968, 27. 94 Nr. 59 Abb. 12 Taf. 11; 98 Nr. 130 Taf. 22; 100 Nr. 150 Taf. 28; 102 Nr. 191 Taf. 37; 105 Nr. 238 Taf. 41. Zu einem Stück aus Ephesos vgl. von Miller 2019, 341 Nr. 2194 Taf. 122.

204 Zur Gefäßform vgl. grundlegend Kerschner 1999, 20 f. Abb. 19; von Miller 2019, 69 f. Zu Reifenkotylen in Didyma siehe von Miller 2023a, 31 f.

einer anderen Funktion als der eines Trinkgefäßes auszugehen<sup>205</sup>. Dekortypologisch lassen sich Reifenkotylen mit vollständig bemaltem Gefäßinneren (**Kat 66–72. 75. 76. 79. 80**) von solchen mit aufgehelltem Gefäßbecken (**Kat 73. 74. 77. 78. 81. 82**) unterscheiden; eine dritte und bislang nicht bekannte Dekorvariante verkehrt das typisch aufgehellte Dekorsystem der Außenseite ins Negative, indem von der dunkelgrundigen Gefäßoberfläche ein tongrundig bemaltes Band ausgespart bleibt (**Kat 64. 65**)<sup>206</sup>. Die generelle Datierung der milesischen Reifenkotylen zwischen dem ausgehenden 8. und dem mittleren 7. Jahrhundert v. Chr. erschließt sich vornehmlich aus der Vergesellschaftung der unseren Stücken entsprechenden Formausprägung in der subgeometrischen Aufschüttung auf dem Kalabaktepe in Milet<sup>207</sup>. In Didyma konzentrieren sich die Reifenkotylen in der ältesten Kulturschicht des Taxiarchis-Hügels<sup>208</sup> sowie in den bau- bis nutzungszeitlichen Horizonten im Zusammenhang mit der ältesten archaischen Bebauung des Felsbarrenareals (**Kat 65. 66. 68. 69. 71–73. 76–78. 80**)<sup>209</sup> und der ältesten gepflasterten Wegführung im Bereich der Hl. Straße (**Kat 79**)<sup>210</sup>. Das untere Ende der Produktionslaufzeit milesischer Reifenkotylen ergibt sich indirekt schließlich aus dem Aufkommen der milesischen Reifenschalen, welche die Kotylen im Laufe der 2. Hälfte des 7. Jahrhunderts v. Chr. abgelöst haben dürften<sup>211</sup>. Die beiden Stücke **Kat 66** und **Kat 69** stehen mit ihren glatten Rändern am Übergang der Weiterentwicklung der Reifenkotylen hin zu den Reifenschalen<sup>212</sup>, bewahren jedoch die für die Kotylen charakteristischen tiefen Proportionen und das typische Dekorschema.

53 Die steilwandigen Tassen<sup>213</sup> haben sich in didymäischen Befunden in nur kleinen Fragmenten erhalten, was eine Rekonstruktion der zugehörigen Ganzgefäße jenseits der allgemeinen Merkmale, die in einem flachen Gefäßboden, einer steil-konischen Wandung, einem glatt verjüngten Rand und einem dunkelgrundigen Dekorsystem bestehen, erschwert<sup>214</sup>. Es lassen sich anhand der erhaltenen Bruchstücke jedoch drei Formate unterscheiden. Die beiden Bodenfragmente **Kat 83** und **Kat 84** gehören zu kleinformatigen und möglicherweise recht niedrigen Tassen, die ihre Parallelen in einem spätgeometrischen Gefäßdepot in Milet sowie in der subgeometrischen Aufschüttung auf dem Kalabaktepe in Milet finden<sup>215</sup>. Das Randfragment **Kat 85** sowie die Tassenböden **Kat 86–88** repräsentieren dagegen größere und höhere Gefäße, die sich erneut mit Exemplaren aus spät- bis subgeometrischen Befunden in Milet korrelieren

205 Zu überdimensionierten Trinkgefäßformen im alltagskeramischen Repertoire vgl. zuletzt am Beispiel der Fundevidenz vom Taxiarchis-Hügel in Didyma von Miller 2023a, 22. 32. 55. 118.

206 Dasselbe Dekorsystem charakterisiert beispielsweise die früharchaischen Knickrandschalen der Typen 6 (Schlotzhauer 2014, 97–100. 308–315. 393 f.) und 8 (Schlotzhauer 2014, 103–105. 317–328).

207 Vgl. Kerschner 1999, bes. 8–15. 20 Abb. 10.

208 Zur stratigraphischen Abfolge siehe von Miller 2022, 15–17: Hellbraun-sandige Schicht; zu den Reifenkotylen vom Taxiarchis-Hügel vgl. die ausführliche Diskussion bei von Miller 2023a, 31 f.

209 von Miller in Vorbereitung.

210 von Miller 2024.

211 Zu den milesischen Reifenschalen und deren Datierung vgl. die ausführliche Diskussion am Beispiel der Exemplare vom Taxiarchis-Hügel bei von Miller 2023a, 32–42. 54 f. Das Aufkommen der Reifenschalen lässt sich in den spätarchaischen Taxiarchis-Befunden auf stratigraphischer Grundlage nicht exakt festmachen. Die diesbezüglich auch stratigraphisch aussagekräftigere Fundevidenz in den hoch- bis spätarchaischen Kontexten auf der Felsbarre in Didyma (von Miller in Vorbereitung) könnte auf eine erst spätere Entwicklung des 6. Jhs. v. Chr. hindeuten.

212 Ein dritter Vertreter dieser Übergangsform ist aus den Taxiarchis-Befunden bekannt; vgl. von Miller 2023a, 23. 135 Nr. LokA 79 Taf. 9. 193.

213 Zur Gefäßform vgl. grundlegend Kerschner 1999, 23 f. Abb. 12; von Miller 2019, 100 f., jeweils mit Literatur. Zu steilwandigen Tassen in Didyma siehe von Miller 2023a, 43 f.

214 Einen Eindruck von dem Erscheinungsbild geben die Tassen aus einem spätgeometrisch datierten Depotfund aus dem sog. Südschnitt an der hellenistischen Stadtmauer in Milet bei Kleine 1979, 144–148 Nr. 17–48 Taf. 35–38; siehe dazu auch Kerschner 1999, 23 f. Anm. 81.

215 Kleine 1979, bes. 147 Nr. 41. 42 Taf. 37, 3; Kerschner 1999, 23 f. 43 Nr. 44. 45 Abb. 12. Eine weitere niedrige Tasse aus der subgeometrischen Brand- und Zerstörungsschicht im sog. Südschnitt an der hellenistischen Stadtmauer weist dagegen einen wesentlich weiteren Bodendurchmesser auf; vgl. von Graeve 1975, 43 f. Nr. 3 Abb. 8 Taf. 3.

lassen<sup>216</sup>. Mit den beiden Rändern **Kat 89** und **Kat 90** ist für die steilwandigen Tassen schließlich ein übergroßes Format belegt, das in den einschlägigen Publikationen zu geometrischer bis früharchaischer Keramik aus Ionien und der Milesia bislang keine Erwähnung gefunden hat. Die Form der (sub)geometrischen steilwandigen Tassen wurde im Laufe der 1. Hälfte des 7. Jahrhunderts v. Chr. von den dekortypologisch verwandten Tassen mit konkaver Wandung abgelöst<sup>217</sup>.

54 Die Knickrandskyphoi als eine letzte Trinkgefäßform der geometrischen bis subgeometrischen Zeit sind in didymäischen Befunden deutlich unterrepräsentiert<sup>218</sup>. Dunkelgrundige Skyphoi in der Art von **Kat 91** (Typ 1,2B.a) können bis in die mittelgeometrische Zeit zurückverfolgt werden; die stark geöffnete Form unseres Stücks scheint allerdings eine erst spät- bis subgeometrische Variante zu reflektieren<sup>219</sup>. Mit **Kat 92** hat sich ein Knickrandskyphos des Typs 2,2B.d erhalten<sup>220</sup>. Während die meisten spätgeometrischen Vertreter des Typs von einem in Metopen unterteilten Bildfeld auf der Schulter gekennzeichnet sind (Dekorvariante c), zeugt der durchlaufende Zick-Zack-Fries unseres Exemplars bereits von einem entwicklungstypologisch fortgeschrittenen Dekorsystem (Dekorvariante d), das in Milet auf Trinkgefäßen<sup>221</sup> und in Didyma auf Kannen (siehe oben, **Kat 40. 41**) anzutreffen ist. Der Knickrandskyphos **Kat 93** (Typ 3,1B.c)<sup>222</sup> zeigt mit den Zickzackmetopen in der Schulterzone schließlich ein weiteres, schon von den ornamental bemalten Amphoren und Krateren bekanntes Dekorsystem (siehe oben, **Kat 34. 60**), das auf eine Einordnung des Stücks ab dem späteren 8. Jahrhundert v. Chr. verweist.

### Serviergefäße

55 Serviergefäße der geometrischen bis subgeometrischen Zeit lassen sich auf einige wenige Stücke eingrenzen. Prominent vertreten sind in Didyma die auch aus Milet gut bekannten, geometrischen Teller mit Hörnchenhenkeln (**Kat 94–97**)<sup>223</sup>, denen auch zwei Fragmente aus den Grabungen auf dem Taxiarchis-Hügel zugerechnet werden können<sup>224</sup>. Die flach-konvexen Gefäße ruhen auf niedrigen Standringen und bilden unterschiedlich geformte Ränder aus, an denen von hornartigen Appliken begleitete, horizontal geschwungene Stabhenkel ansetzen. Charakteristisch ist vor allem die Bemalung der Teller, deren dunkelgrundiges Inneres von schmalen tongrundigen Reifen aufgelockert wird. Die Außenseite ist typischerweise mit Lanzettfriesen bemalt (**Kat 94. 97**), die wie bei **Kat 94** von senkrechten Wellenbandbündeln unterbrochen sein können. Neben dieser lokal milesischen Tellervariante ist von der sog. Felsbarre eine zweite Tellerform mit schwalbenschwanzförmiger Handhabe bekannt (**Kat 98**), die zum geometrischen Formenrepertoire auf Samos zählt<sup>225</sup>. Da unser Fragment nicht

---

216 Vgl. von Graeve 1973/1974, 93 Nr. 38 Taf. 21; Kleine 1979, 148 Nr. 48 Abb. 18 Taf. 38, 5; Kerschner 1999, 24, 43 f. Nr. 48–52 Abb. 12.

217 Vgl. dazu Kerschner 1999, 24; von Miller 2019, 103; zu dieser Formausprägung in Didyma vgl. von Miller 2023a, 44–46.

218 Zur Gefäßform vgl. grundlegend Schlotzhauer 2014, 66–90. 275–292. Zu Knickrandskyphoi aus Didyma vgl. die wenigen Stücke aus den Taxiarchis-Grabungen bei Kaiser 2023a, 12 Nr. Geo 5 (?). Geo 6 Taf. 1. 191; von Miller 2023a, 121 f. Nr. LokA 2–LokA 4 Taf. 3. 192.

219 Zum Typus vgl. Schlotzhauer 2014, 73–78. 280–283.

220 Zum Typus vgl. Schlotzhauer 2014, 83 f. 285–288. 292.

221 Siehe Kleiner 1959/1960, 94 Nr. 7 a–c Taf. 79, 2; von Graeve 1975, 51 Nr. 44 Abb. 18 Taf. 9 (subgeometrische Brand und Zerstörungsschicht); Schlotzhauer 2014, 490 Nr. 48 Taf. 8; 492 Nr. 58 Taf. 10; 493 Nr. 65 Taf. 11.

222 Grundlegend zum Typus vgl. Schlotzhauer 2014, 87–91. 288–290. 292.

223 Vgl. zum Typus Kerschner 1999, 19; siehe außerdem die stratifizierten Exemplare bei Weickert 1957, Taf. 37, 2 oben rechts; von Graeve 1973/1974, 93 Nr. 33. 35 Taf. 21; Kleine 1979, 143 Nr. 15 Abb. 17 Taf. 34, 2; Schiering 1979, 105 Taf. 23, 7; von Graeve 1986, 47 Taf. 13, 7; Kerschner 1999, 19 Nr. 14–17 Abb. 8.

224 Kaiser 2023a, 13 Nr. Geo 12 Taf. 2. 191; von Miller 2023a, 228 f. Nr. LokA 611 Taf. 45. 198.

225 Vgl. Eilmann 1933, 110 Beil. 34, 5. 8; Walter 1968, 28–30. 97 Nr. 105. 106 Abb. 15. 16 Taf. 18.

aus einem der bekannten lokalen bzw. regionalen Fabrikate gefertigt ist, liegt die Vermutung nahe, dass es sich hierbei um ein Importgefäß handelt.

56 Bei den ältesten Schüsseln aus Didyma (**Kat 99–103**) handelt es sich um Gefäße mit konvexer Wandung, die sich von den Tellern anhand ihrer schwereren Proportionen, der höheren Beckenwandung, des flachen Gefäßbodens (**Kat 99. 100. 102**) und des Dekorsystems abgrenzen lassen. Die in zwei Fragmenten erhaltene Schüssel **Kat 99** veranschaulicht das Erscheinungsbild geometrischer bis früharchaischer Schüsseln mit einem dichten Bänderdekor auf der Außenseite und Strich- und Balkenbündeln auf der Randoberkante; das Sternmotiv auf der Bodenunterseite deutet darauf hin, dass diese Schüsseln ebenso wie die geometrischen Teller (siehe oben, **Kat 94–97**) in einer Weise verwahrt wurden, die ihre äußere Gefäßbemalung sichtbar in Erscheinung treten ließ<sup>226</sup>. Das Bodenfragment **Kat 100** sowie ein unmittelbares Parallelgefäß mit vergleichbarem Stern auf der Bodenunterseite aus der ältesten Kulturschicht des Taxiarchis-Hügels<sup>227</sup> gehören derselben Typenvariante an. Möglicherweise repräsentiert das Wandfragment **Kat 101** eine vergleichbare Schüssel, die einen Eindruck von der über die Bänderung hinausgehenden Bemalung der Gefäßaußenseite vermitteln kann: Auf mittlerer Höhe des Beckens sind hier in einer breiteren Zone zwei waagrechte, niedrig geführte Wellenbandsegmente aufgemalt, wie sie beispielsweise als Halsdekor bei dunkelgrundigen Amphoren (siehe oben) mehrfach belegt sind<sup>228</sup>. Die nach formtypologischen Gesichtspunkten gut mit **Kat 99** und **Kat 100** vergleichbare Schüssel **Kat 102** verfügt dagegen über ein aufgehelltes Gefäßbecken, in dessen Innerem ein breites Band umläuft, während sich auf der Außenseite ein Metopendekor abzeichnet. Wie bei dem oben vorgestellten Krater **Kat 59** scheinen die Metopen nicht bemalt gewesen zu sein, allerdings kann ein Kammbürstendekor in der Art der schon erwähnten Zickzack-, Punkt-, Strich- und Wellensegmentmetopen nicht ausgeschlossen werden. **Kat 103** gehört schließlich der dunkelgrundigen Ware an und ist mit Ausnahme der tongrundig belassenen Randoberkante, auf die vertikale Striche aufgemalt sind, beidseitig flächig bemalt. Vergleichbare Schüsseln mit konvexer Wandung zählen im frühen 7. Jahrhundert v. Chr. zum Repertoire ionischer Serviergefäße<sup>229</sup> und sind in subgeometrischen Befunden in Milet belegt<sup>230</sup>.

## Importe

57 Das spät- bis subgeometrische Gefäßrepertoire aus Didyma stimmt, wie die bisherigen Ausführungen gezeigt haben, hervorragend mit dem synchronen Keramikspektrum aus Milet überein. Diese Feststellung gilt nicht allein für die Gefäße, die in den lokalen Fabrikaten hergestellt wurden, sondern sie trifft nicht minder zu, wenn die makroskopisch erkennbaren Importe in die Überlegungen mit einbezogen werden. Auf drei mögliche Importe, die beiden ornamental bemalten Amphoren **Kat 31** und **Kat 32** und den Teller **Kat 98** wurde bereits verwiesen. Dieser kurzen Liste sind die Zickzackmetopenkotyle **Kat 104**, bei der es sich wohl um ein Importgefäß aus Ephesos handelt<sup>231</sup>, sowie der große Deckel **Kat 105** hinzuzufügen. Das Gros der Gefäßimporte bilden indes die Erzeugnisse der jüngst in Teos lokalisierten Vogelschalenwerkstatt<sup>232</sup>,

---

226 Vgl. Kerschner 1999, 19.

227 Kaiser 2023a, 13 Nr. Geo 14 Taf. 2. 191; zur Stratigraphie siehe von Miller 2022, bes. 15–17.

228 Seifert 2004, 57 Nr. 4 Taf. 2; von Graeve 1975, 40 Abb. 4; 43 Nr. 2 Abb. 7 Taf. 3.

229 Vgl. von Miller 2019, 132 f.

230 Kerschner 1999, 19 Abb. 18 führt ein vergleichbares Gefäß aus der subgeometrischen Aufschüttung auf dem Kalabaktepe in Milet unter den Tellern an. Vgl. auch die etwas anders geformte Schüssel aus dem sog. Südschnitt an der hellenistischen Stadtmauer bei von Graeve 1975, 42 Abb. 5, unten.

231 Zu den ephesischen Zickzackmetopenkotylen vgl. Kerschner 2008, 29 f. und zuletzt von Miller 2019, 66–69 mit Literatur.

232 NAA-Herkunftsgruppe B; vgl. dazu zuletzt Kerschner – Mommsen 2022 mit Literatur.

die anhand makroskopischer Merkmale des sog. Standardfabrikates auch ohne naturwissenschaftliche Analysen mit großer Sicherheit identifizierbar sind<sup>233</sup>.

58 Das nach Didyma exportierte Gefäßrepertoire der Vogelschalenwerkstatt umfasst im 8. und frühen 7. Jahrhundert v. Chr. mit den Vogelkannen (**Kat 106–110**)<sup>234</sup>, Vogelschüsseln (**Kat 115**)<sup>235</sup> und Vogelkotylen (**Kat 116–143**)<sup>236</sup> jene mittlerweile recht gut bekannten und daher an dieser Stelle nicht im Detail besprochenen Gefäßformen, die im gesamten Mittelmeerraum – einschließlich der Milesia<sup>237</sup> – eine weite Verbreitung fanden. Überraschender war es dagegen, in den Befunden der Felsbarren-Grabungen die Fragmente von vier geometrischen Kratern der Vogelschalenwerkstatt anzutreffen (**Kat 111–114**). Wohl aufgrund der Größe der Gefäße, die mit einem gut erhaltenen Exemplar aus einem spätgeometrischen Brandgrab in Teos<sup>238</sup> eindrücklich veranschaulicht sind, gehörten die Kratere nicht zu den primären Exportprodukten der Vogelschalenwerkstatt und haben sich dementsprechend kaum nachweisen lassen; zu den wenigen Belegen zählen die Fragmente zweier Kratere aus Ephesos<sup>239</sup>. Das Beckenfragment **Kat 111** ist mit einem mit Schmetterlingsmetopen gefüllten Sockelfries bemalt, der auch den Krater aus Teos und eines der Gefäße aus Ephesos kennzeichnet<sup>240</sup>. Schmetterlingsmetopenfriese gehören zum standardisierten Dekorrepertoire der Vogelkannen (**Kat 110**) und der frühen Vogelkotylen der Typen 1 bis 5 (**Kat 121**), weshalb der Krater **Kat 111** wohl in analoger Weise zwischen dem mittleren 8. und dem 1. Viertel des 7. Jahrhunderts v. Chr. eingeordnet werden kann<sup>241</sup>. Mit **Kat 112** und **Kat 113** hat sich indes jeweils ein Ausschnitt aus der in Metopen unterteilten Hauptdekorzone auf der Schulter erhalten, in dem sich in beiden Fällen im Anschluss an eine rechte Metopenbegrenzung ein von der Seite ins Bild ragendes Gitterdreieck abzeichnet. Der Bemalungsrest zur Linken des Gitterdreiecks auf **Kat 112** lässt sich als Krallenfuß eines nach rechts gewandten Vogels interpretieren, ein Motiv, das zu den beliebtesten Motiven der Vogelschalenwerkstatt zählt und daher namensgebend wurde. Die Bemalungsreste auf **Kat 114** sind aufgrund der schlechten Oberflächenerhaltung und des kleinen Bildausschnittes schwieriger zu deuten, doch scheint sich ein schmaler und senkrechter Haken- oder Mäanderdekor zur Linken von zwei vertikalen Balken abzuzeichnen. Vergleichbare schmale Ornamentfelder kennzeichnen die Vogelkotylen der Typen 5 und 6 (**Kat 135. 136**)<sup>242</sup> und zeigen eine entwicklungstypologisch jüngere Variante innerhalb der standardisierten spätgeometrischen Dekorschemata der Vogelschalenwerkstatt an.

---

233 Zum Standardfabrikat siehe grundlegend Coldstream 1968, 277–279; Kerschner 2002, bes. 66 mit älterer Literatur; siehe auch Coulié 2013, 172–175. Zu entsprechenden Gefäßen aus Didyma vgl. die Fundevidenz aus den Taxiarchis-Grabungen bei Kaiser – von Miller 2023 mit Literatur.

234 Grundlegend zur Form siehe Kerschner 2002, 69; Kerschner 2008, 48 f.; von Miller 2019, 158–160. 320 f. 355, jeweils mit Literatur. Zu einer weiteren Vogelkanne aus den Taxiarchis-Grabungen in Didyma vgl. Kaiser 2023a, 15 Nr. AdGeo 1 Taf. 191.

235 Grundlegend zur Form siehe Kerschner 1995, 24; Kerschner 2008, 29; von Miller 2019, 75–77. 334, jeweils mit Literatur. Zu einer weiteren Vogelschüssel aus den Taxiarchis-Grabungen in Didyma vgl. Kaiser – von Miller 2023, 518 Nr. VsW 23 Taf. 139.

236 Grundlegend zur Form vgl. Kerschner 1995, 11–15; Kerschner 2002, 68; Kerschner 2008, 27–29; von Miller 2019, 70–75. 312. 333 mit Literatur. Zu Vogelkotylen aus Didyma vgl. außerdem Naumann – Tuchelt 1963/1964, 44 Nr. 10 Taf. 8, 4; 48 Nr. 29. 30 Taf. 13, 1; 56 Nr. 61 Taf. 24, 1; Tuchelt 1971, 58 f. Nr. 3–6 Abb. 3 Taf. 3; Kaiser – von Miller 2023, 515–517. 525 Nr. VsW 6–VsW 20. AdvSW 2. AdvSW 3 Taf. 138. 139. 141. 239. 241.

237 Zu den Erzeugnissen der Vogelschalenwerkstatt in milesischen Befunden siehe von Graeve 1973/1974, 95–97 Nr. 47–58 Taf. 23; von Graeve 1975, 52 Nr. 48. 49 Abb. 22. 23 Taf. 10; von Graeve 1986, 47 Taf. 13, 4; Kerschner 1995, Abb. 108–117; Kerschner 1999, 40 Nr. 26. 27 Abb. 10.

238 Siehe Özkan 2009, 59 f. 69 f.; İren – Ünlü 2012, 311. 319 Nr. 1 Abb. 3. 29–31.

239 Vgl. von Miller 2019, 341 Nr. 2195. 2196 Taf. 177.

240 Özkan 2009, 59 f. 69 f.; İren – Ünlü 2012, 311. 319 Nr. 1 Abb. 3. 29–31; von Miller 2019, 341 Nr. 2165 Taf. 177.

241 Zur typochronologischen Entwicklung der Vogelkotylen siehe Kerschner 1995, 11–15; vgl. auch von Miller 2019, 70–72 mit Literatur und zuletzt am Beispiel Didymas Kaiser – von Miller 2023, 504–506.

242 Dazu Kerschner 1995, 14 f.; von Miller 2019, 71 f.; Kaiser – von Miller 2023, 505 f. mit Literatur.

## Fazit

59 Die hier zusammengestellte Übersicht über das Repertoire der protogeometrischen bis subgeometrischen/früharchaischen Gefäßkeramik aus Didyma ergänzt die bisher publizierten, kontextuellen Keramikvorlagen aus stratifizierten Befundkontexten, die oft nur wenige Stücke oder Einzelfragmente anführen. Vor dem Hintergrund der zugrunde liegenden Fragestellung nach den Anfängen des Apollonheiligums von Didyma bzw. den frühesten Zeugnissen für einen örtlichen Kultbetrieb kann als ein erstes Fazit festgehalten werden, dass anhand des oben in einem repräsentativen Querschnitt illustrierten frühen Keramikbefundes von unterschiedlichen Fundstellen in Didyma (Abb. 1. 2. 3) die Anfänge des Heiligums spätestens an der Wende vom 8. in das 7. Jahrhundert v. Chr. – und damit in etwa parallel zur vorläufigen Datierung der ältesten architektonischen Ausgestaltung des Tempelbezirks mit Sekos I – nachgewiesen werden können. Obwohl sich der Bestand an spätbronzezeitlicher und (sub)protogeometrischer Keramik mit dem aktuellen Kenntnisstand erweitert hat, können die wenigen Fragmente der späten Bronze- und frühen Eisenzeit für diese Epochen zwar eine mit der archäologischen Evidenz in der Region im Einklang stehende, zumindest sporadische Begehung Didymas bezeugen, aber vorerst wohl allenfalls als erste Indizien, jedoch kaum als überzeugende oder gar hinreichende archäologische Belege für einen entsprechend frühen Kultbetrieb namhaft gemacht werden, zumal ein beträchtlicher Anteil der in protogeometrischer Tradition stehenden Gefäße als subprotogeometrische Vertreter innerhalb des spätgeometrischen Vasenrepertoires angesehen werden muss (siehe oben). Erst der umfangreiche spät- bis subgeometrische Keramikbefund spiegelt in glaubwürdiger Weise einen Kultbetrieb wider, obwohl ein Nachweis von zugehörigen stratigraphischen Schichthorizonten ebenfalls noch nicht geglückt ist. Angesichts der Zusammensetzung des Gefäßspektrums aus Amphoren bzw. Hydrien, Kannen, kleinen Kannchen, Trinkgefäßen, wenigen Serviergefäßen und einer beträchtlichen Anzahl an Mischgefäßen liegt die Vermutung, die keramischen Hinterlassenschaften der spät- bis subgeometrischen Zeit reflektierten gemeinschaftliche Feste, mehr als nahe. Da Kultgelage auch in Ionien zu den zentralen und bestdokumentierten Aktivitäten in früheisenzeitlichen Heiligtümern zählen<sup>243</sup>, wird man nicht darin fehlgehen, den spät- bis subgeometrischen Keramikbefund als Relikt von vergleichbaren religiösen Festen in Didyma anzusehen. Kultgelage und rituelle Mahlzeiten im Heiligtum werden schließlich auch von später datierten Materialbefunden aus Didyma bezeugt, wie etwa von dem spätarchaischen Heiligtumsbefund des Taxiarchis-Hügels<sup>244</sup>. Der komplexen funktionalen Auswertung des keramischen Befundes der vorhellenistischen Zeit aus Didyma, die gegenwärtig ausgehend von den umfangreichen und stratifizierten Fundbeständen aus den Grabungen auf der sog. Felsbarre ausgearbeitet wird, soll an dieser Stelle aber nicht weiter vorgegriffen werden<sup>245</sup>. Vielmehr sei abschließend das Augenmerk auf einen weiteren Aspekt des spät- bis subgeometrischen Keramikbefundes gelenkt, der für die eingangs ebenfalls angesprochene Frage nach den ›vorgriechischen‹ Ursprüngen des Heiligums von Didyma von Bedeutung ist. Der repräsentative Querschnitt durch die Fundkeramik, der hier in Form von Verweisen auf ältere und aktuelle Publikationen bzw. in Form einer Katalogauswahl aus laufenden Studien zu unterschiedlichen Fundplätzen (Tempelareal, Grabung des Jahres 1969 und 1972 im Bereich des heutigen Parkplatzes, Taxiarchis-Hügel, sog. Felsbarre, nördliche Straßensondagen, Areal südwestlich der Felsbarre) vorgestellt wurde, weist Didyma als einen Ort aus, der im fortgeschrittenen 8. Jahrhundert v. Chr. solide an Milet angebunden ist. Wie die Ausführungen oben

243 Siehe beispielsweise Felsch u. a. 1980, 47–54. 63–66; Huber 2003, 144 f.; Kerschner 2003a; Kerschner 2003b, 44–50. 58; Gimatzidis 2011, 78–81; Kaiser u. a. 2011, 34–36; Kerschner 2011, 24 f.; Kaiser 2013b; Verdan 2013, 208–211; Niemeier 2021, 19. Vgl. auch Bentz – Bumke 2013, bes. 280; Pierattini 2022, 21. 26–41.

244 Vgl. Bumke 2013; von Miller 2023c.

245 von Miller in Vorbereitung.

gezeigt haben, stimmt das Formen- und Dekorrepertoire aufs Engste mit dem überein, was für diese Zeit aus Milet bekannt ist<sup>246</sup>. Dies betrifft nicht nur die lokalen milesischen Erzeugnisse, sondern in ebensolchem Maße die Gefäßimporte, die hier wie dort von den Erzeugnissen der nordionischen Vogelschalenwerkstatt (**Kat 106–143**) beherrscht und um nur einige wenige Stücke anderer Produktionszentren wie beispielsweise Samos (**Kat 98**)<sup>247</sup> oder Ephesos (**Kat 104**) ergänzt werden. Spätestens für den Zeitpunkt, an dem der Kultbetrieb in Didyma archäologisch greifbar wird, muss daher konstatiert werden, dass sich im keramischen Befund eine enge, ja fast ausschließliche Anbindung an Milet abzeichnet, weshalb die Überlegung von A. Herda, Didyma sei bereits im ausgehenden 8. Jahrhundert v. Chr. ein extraurbanes Heiligtum Milets gewesen, auch vor dem Hintergrund dieser archäologischen Evidenz durchaus glaubwürdig erscheinen will<sup>248</sup> – ohne dass es methodisch freilich zulässig wäre, von der materiellen Kultur unmittelbar auf politische Gegebenheiten rückzuschließen. Gibt es aber darüber hinaus dennoch Indizien für ›Karisches‹ im frühen keramischen Befund? Die unten anschließenden Ausführungen sind dieser Frage gewidmet.

## Das frühe Didyma und die Frage der karischen Kultfrequenz: die keramische Evidenz

60 Anlässlich einer Diskussion während des Panionion-Symposiums im Jahre 1999 konnte K. Tuchelt bezüglich einer möglichen karischen Komponente in Didyma 50 Jahre nach Wiederaufnahme der Forschungen des Deutschen Archäologischen Institutes »[...] nur von einem einzelnen Nachweis sprechen. Es handelt sich um ein offenes Gefäß der Grauen Ware mit einer karischen Inschrift, die als ›Idrieus‹ gelesen worden ist, publiziert im Bericht 1962 oder 1964 der Istanbuler Mitteilungen. Das ist Graue Ware und graupolierte Ware, die wir in Didyma unter der Ware immer wieder haben. Und ich erinnere mich auch an Kleiner, der in der damaligen Miletgrabung vor 30 Jahren geäußert hat, er halte diese Graue Ware für karisch. Im gleichen Atemzug schrieb er aber in diesem Aufsatz, es gelänge noch nicht, karische Elemente in Kunst und Kultur in Milet festzustellen, was ein gewisser Widerspruch ist. [...] Diese ›Idrieus-Schale‹ ist jedenfalls ganz sicher. Deren Stifter ist ein Karer gewesen. Ob das Gefäß nun spezifisch karisch ist, müssen wir dahingestellt lassen.«<sup>249</sup>.

61 Dieser zitierte Diskussionsbeitrag lenkt die Aufmerksamkeit auf die größte Herausforderung, vor die sich die Forschung in Didyma in dem Bemühen, gemäß der literarischen Überlieferung zu den vorgriechischen Ursprüngen des Heiligtums eine karische Komponente im archäologischen Befund ausfindig zu machen, gestellt sah und sieht: die Identifikation von spezifisch Karischem<sup>250</sup>.

---

246 Zum jetzigen Zeitpunkt ist ungeklärt, ob in Didyma Gefäße auch selbst hergestellt wurden oder ob die ›milesische‹ Keramik aus Didyma in Milet hergestellt und von dort bezogen wurde.

247 Samische Importe haben sich in Milet etwa unter den früharchaischen Kratern nachweisen lassen; vgl. dazu Panteleon 2013, 128 f. Nr. 8 Taf. 76 b. 78 i.

248 Herda 2008, 20–24, bes. 22. Für die Zugehörigkeit Didymas zu Milet spätestens in der spätarchaischen Zeit hat Ehrhardt 1998 die überzeugende Argumentation geführt; vgl. auch Herda 2006, 351 f. Contra Furtwängler 2014.

249 Tuchelt 2007, 413 f. mit Verweis auf den Grabungsbericht Naumann – Tuchelt 1963/1964. Für die Stifterinschrift auf der genannten ›Schale‹ (Naumann – Tuchelt 1963/1964, 57 Nr. 64 Abb. 19 Taf. 25, 1), deren erste Lesung auf F. Steinherr zurückgeht, wurden alternative Lesungen vorgeschlagen; vgl. Tuchelt 1970, 120 f.; Herda 2009, 100 mit Anm. 414; Herda – Sauter 2009, 96 Anm. 270; zuletzt Adiego 2019, 33 Nr. 12. Zu weiteren Nachweisen karischer Stifter in Didyma siehe Tuchelt 2007, 408 mit Verweis auf von Karern gestiftete Skulpturen mit Stifterinschriften Didyma II Nr. 12. 13 Abb. 17. 18; Tuchelt 1970, 63 K 24 Abb. 12; Herda – Sauter 2009, 97 f. Allgemein zu karischer Schriftlichkeit vgl. den kritischen Überblick bei Herda – Sauter 2009, 60–63 und Herda 2013, 463–467 sowie eine aktuelle Zusammenstellung karischer Schriftzeugnisse bei Adiego 2019.

250 Vgl. auch Herda 2009, 76. 94; Herda – Sauter 2009, 52. 63 f. in Bezug auf die ganz ähnliche Situation in Milet.

62 Die in der zitierten Textpassage von K. Tuchelt erwogene Identifikation der Gattung der Grauen Ware als Spezifikum einer karischen Keramiktradition kann aus Sicht der aktuellen Keramikforschung mit einiger Sicherheit verworfen werden. Graue Waren bilden eine wesentliche Komponente im archaischen Gefäßbestand Ioniens und sind in der Keramikproduktion Milets vor allem im fortgeschrittenen 7. und 6. Jahrhundert v. Chr. solide verankert<sup>251</sup>, während sie im spätgeometrischen und früharchaischen Repertoire weitestgehend fehlen und sich mithin – zumindest beim gegenwärtigen Kenntnisstand – keine direkt aus vorgriechischen Traditionen ableitbare Entwicklungslinie abbilden lässt. Vielmehr zeichnet sich angesichts der Konzentration auf eine enge Auswahl von Gefäßformen – allen voran Tellern bzw. Fußschalen – innerhalb der Grauen Waren in der Milesia eine hohe Standardisierung ab, die vermuten lässt, dass die Gattung bevorzugt für die Verwendung in ganz bestimmten Funktionszusammenhängen gedacht war. Dies bestätigt sich insofern, als im Kontext des archaischen Heiligtumsbefundes des Taxiarchis-Hügels die Identifikation der Grauen Waren als Teil des lokalen Kultgeschirrs sehr wahrscheinlich gemacht werden kann<sup>252</sup>. Es handelt sich vorherrschend um denselben Typus von Fußstellern mit glattem Rand und Überzug des 6. Jahrhunderts v. Chr., dem auch der oben erwähnte Teller mit karischem Graffiti aus der Tempelgrabung des Jahres 1962 angehört und der mit zahlreichen weiteren Exemplaren aus den Grabungen auf der sog. Felsbarre zu den charakteristischen Gefäßformen der hoch- bis spätarchaischen Zeit in Didyma gezählt werden kann.

### Karische (?) Graffiti

63 Eben dort im Bereich der Felsbarre wurde ein zweiter Teller der Grauen Ware (**Kat 145**) geborgen, in dessen innerem Tellergrund ein zweites, wohl karisches Graffiti überliefert ist. Es handelt sich in diesem Fall nicht um eine Namensinschrift, sondern um ein einzelnes Zeichen in Form eines Sanduhrmotivs  $\Sigma$ , das im griechischen Alphabet keine Parallele hat, wohl aber im karischen, wo der Buchstabe den Lautwert  $\gamma$  (= /ng/) angibt<sup>253</sup>.

64 Bei einem dritten Graffiti auf einer lokalen Reifenschale aus demselben Fundkontext (**Kat 144**) sind mehrere Buchstaben zu einer Ligatur zusammengefügt, die als griechische oder aber als karische Inschrift gelesen werden kann; eine eindeutige Entscheidung ist nicht zu treffen. Sofern es sich um griechische Lettern handelt, sind die Buchstaben Alpha [A], My [M], Rho [P] und Chi [X] lesbar:  $\chi\alpha\rho$ [...] oder  $\mu\alpha\chi$ [...] <sup>254</sup>. Sollten die Lettern dem karischen Alphabet angehören, lassen sich erneut das Sanduhrsymbol  $\Sigma$  mit dem Lautwert  $\gamma$  (= /ng/) sowie die linksläufige Variante des  $\Gamma$  mit dem Lautwert b lesen, die möglicherweise das Monogramm eines Eigennamens (by/ $\gamma$ b) überliefern<sup>255</sup>.

65 Sowohl die lokalen Reifenschalen als auch die Teller der Grauen Ware zählen im Didyma der hoch- bis spätarchaischen Zeit zu den ganz charakteristischen

---

251 Vgl. beispielsweise Posamentir 2002, 19–21; Kalaitzoglou 2008, 119 f.; Kaiser 2023b; siehe auch von Miller 2019, 120. 127. 247 zur Gattung der Grauen Ware in Ephesos.

252 Vgl. von Miller 2023a, 119; von Miller 2023c, 912 f. Die Konzentration der Gattung im Heiligtum der Athena Assesia auf dem Mengerev Tepe und die vorgelegten Stücke aus dem Aphroditeheiligtum auf dem Zeyintepe bei Milet stehen dieser Deutung nicht entgegen, wobei in Milet der Anteil der Deckel der Grauen Ware im Heiligtum hinter jenem in der Siedlung zurückbleibt; vgl. Posamentir 2002, 19; Kalaitzoglou 2008, 119 f. In Ephesos hat die Gegenüberstellung archaischer Heiligtumsbefunde aus dem Artemision mit Siedlungsbefunden unter der Tetragnon-Agora und von der Nordostterrasse des Panayurdağ die Grauen Waren ebenfalls als eine heiligtumsspezifische Komponente innerhalb des lokalen Gefäßspektrums erkennbar gemacht.

253 Lesung und Kommentar wurden von Ignasi-Xavier Adiego (Barcelona) vorgenommen, dem hierfür herzlich gedankt sei.

254 Die Lesung wurde dankenswerterweise von Sebastian Prignitz (Berlin) vorgenommen, dem ich auch den Hinweis auf die mögliche karische Alternative verdanke.

255 Lesung und Kommentar wurden dankenswerterweise von Ignasi-Xavier Adiego (Barcelona) vorgenommen.

---

Formen innerhalb des lokalen alltagskeramischen (Kult)Geschirrs<sup>256</sup>. Dies erschließt sich nicht allein aus dem hohen Standardisierungsgrad der Gefäßtypen und ihrer großen Anzahl in den Befunden des Taxiarchis-Hügels (Reifenschalen, graue Teller) und der Felsbarre (graue Teller), unterstreicht doch das vermehrte Auftreten von Graffiti auf eben diesen Formen die Deutung ebenfalls<sup>257</sup>. Die Beschriftung diente dabei wohl jeweils als Eigentumsvermerk zur Kennzeichnung des von den einzelnen Kultteilnehmern genutzten Services, welches zu guter Letzt als Motiv im Heiligtum verblieb. Sofern die mit Vorbehalt erfolgte Identifikation der beiden Graffiti **Kat 144** und **Kat 145** als karische Monogramme das Richtige trifft, liegen aus Didyma nun insgesamt drei Gefäße aus dem typischen Repertoire des lokalen Kultgeschirrs vor, anhand derer im 6. Jahrhundert v. Chr. Kultteilnehmer in Didyma belegt sind, die karische Namen trugen bzw. die ihre Namensmonogramme in karischen Lettern schrieben (**Kat 144. 145**) und von denen daher wohl mit einiger Sicherheit angenommen werden darf, dass es sich tatsächlich um Karer oder zumindest um Personen mit karischen Wurzeln gehandelt hat<sup>258</sup>.

### »Karische« Keramik

66 Abgesehen von den potentiell karischen Inschriften auf archaischen Gefäßen des 6. Jahrhunderts v. Chr. sind in Didyma schließlich noch einige wenige Gefäßfragmente zutage getreten, die sich plausibel als Exponenten einer karischen Keramiktradition zu erkennen geben. Es handelt sich ausnahmslos um spät- bis subgeometrisch-früharchaisch datierende Gefäße, die auf dem Taxiarchis-Hügel (InvNr. Ke09-29: Abb. 22)<sup>259</sup> und im Bereich der sog. Felsbarre (**Kat 146–150**) gefunden wurden. Die Gefäße – es sind eine Amphore (**Kat 146**), eine Kanne oder Hydria (**Kat 147**) und vier Kratere (Abb. 22; **Kat 148–150**) vertreten – zeigen ein distinktives Metopendekorsystem (Abb. 22; **Kat 146. 148**) oder aber einen charakteristischen Strahlenbogendekor (**Kat 147. 149. 150**). Der Metopendekor auf der Amphore **Kat 146** und den Krateren Abb. 22 und **Kat 148** ist von vertikalen Wellenbündeln und großen kreuzschraffierten Rauten ohne Rahmung gekennzeichnet. Während die vertikalen Wellenbündel anders als im restlichen Ionien, wo das Motiv kaum vertreten ist, im (sub)geometrischen Dekorrepertoire milesischer Großgefäße durchaus bezeugt sind<sup>260</sup> und sich überdies in den Ornamentfriesen typisch milesischer Gefäßformen wie etwa den spätgeometrischen Tellern mit Hörnchenhenkeln (siehe oben, **Kat 94–96**) oder den spät- bis subgeometrischen Ornamentamphoren (siehe oben, **Kat 33. 34**) wiederfinden, bleiben die ungerahmten Gitterrauten ohne Parallelen, wohingegen beide Motive auf karischer Keramik mehrfach und in genau dieser Kombination belegt sind<sup>261</sup>.

256 Vgl. von Miller 2023a; von Miller 2023c.

257 Zu Tellern der Grauen Ware mit Graffito vgl. Kaiser 2023b, 346. 348 f. 355 f. Nr. GrW 49. GrW 69. GrW 116. AdGrW 9 Taf. 89. 91. 94. 95; zu Reifenschalen mit Graffito vgl. von Miller 2023a, 119. 141 f. 148. 151 f. 159 Nr. LokA 116. LokA 150. LokA 172. LokA 217 Taf. 12. 15. 17. 20; zur Lesung siehe Ehrhardt 2023, 893–895 Nr. 4. 6. 8. 11. 16. 18–20 Taf. 297. 298.

258 Ein weiteres karisches Graffito auf einer klassischen Glanztonschale des frühen 4. Jhs. v. Chr. ist aus Milet bekannt; vgl. Herda – Sauter 2009, zur Lesung bes. 89–91. Karische Personennamen lassen sich in Milet in archaischer und klassischer Zeit mehrfach auch unter den lokalen Eliten nachweisen; zu den bekanntesten Trägern eines karischen Namens zählt etwa der Vater des Thales von Milet ([H]Examytes); vgl. dazu Herda 2009, 77 f.; Herda – Sauter 2009, 77–79; Herda 2013, 437 f.

259 Vgl. dazu Kaiser 2023a, 12 Nr. Geo 7 Taf. 1. 191 sowie den Kommentar bei von Miller 2023c, 906 f. Wie in der Milesia bleibt die Keramik des benachbarten Kariens ebenfalls bis mindestens in das beginnende 7. Jh. v. Chr. deutlich sub(proto)geometrisch geprägt; vgl. Schmaltz 2003; Özgünel 2006, 38–87 bes. Taf. 24. 25. 28–30. 36; Berti 2007; Fazloğlu 2009, 464–468; Bulba 2010; Aytaçlar 2019; Berti 2019; siehe auch Voigtländer 1986, 624. 652 Nr. 68. 69 Abb. 25. Schlotzhauer 2012, 166 geht sogar von einer Beibehaltung subprotogeometrischer bzw. subgeometrischer Dekorelemente auf karischer Keramik bis in das 6. Jh. v. Chr. aus.

260 Siehe von Graeve 1973/1974, 91 f. Nr. 16. 17. 20 Taf. 19.

261 Siehe Schmaltz 2003, 42 Nr. 27; Özgünel 2006, 98 Nr. 27 Taf. 25; Bulba 2010, 86 f. 194 f. Nr. Kr30. Kr31. Kr32 Taf. 29; Tirpan u. a. 2015, 231 f. 333 Abb. 4, 14.

67 Der auf **Kat 147**, **Kat 149** und **Kat 150** aufgemalte Strahlenbogendekor ist ebenfalls in der karischen Vasenmalerei besonders populär und schmückt bevorzugt die Schultern von Kannen<sup>262</sup>, Kännchen<sup>263</sup> und Saugfläschchen<sup>264</sup>. Ein lokal hergestelltes geschlossenes Gefäß aus **Naukratis**, welches eine Weihinschrift an Apollon aufweist, bezeugt die Übernahme desselben Dekorsystems in die lokale naukratische Gefäßproduktion<sup>265</sup> und wirft die Frage nach karischen Töpfern bzw. Vasenmalern vor Ort in Naukratis auf. Im südionischen Raum sind vergleichbare Strahlenbogenfriese dagegen nur in Einzelfällen anzutreffen und wurden hier, anders als in Karien, offenbar weniger für geschlossene Formen (**Kat 147**) übernommen, als vielmehr wie bei **Kat 149** und **Kat 150** auf Mischgefäße übertragen. So ist das Motiv beispielsweise auf zwei alltagskeramischen Bügelhenkelkrateren der früharchaischen Zeit aus Milet belegt<sup>266</sup> und schmückt des Weiteren einen kleinen Lebes aus dem Brunnen G auf Samos<sup>267</sup>.

68 Fabrikatstypologisch lassen sich bei makroskopischer Betrachtung der Fragmente nur für den Krater vom Taxiarchis-Hügel InvNr. Ke09-29 (Abb. 22) und für das Großgefäß **Kat 146** deutliche Abweichungen vom Warenspektrum der lokalen Alltagskeramik feststellen, die den Import dieser beiden Gefäße nach Didyma nahelegen – angesichts der dekortypologischen Merkmale wird man die südliche Nachbarregion Karien mit der größten Wahrscheinlichkeit als Herkunftsgebiet in Betracht ziehen dürfen. Die übrigen Fragmente **Kat 147–150** können dagegen als Indiz dafür angeführt werden, dass in karischen Keramiktraditionen verwurzelte Dekorsysteme der spät- bis subgeometrischen Zeit zumindest sporadisch in der synchronen milesischen Keramikproduktion ihren Niederschlag fanden. Mit Blick auf den besonders indikativen Strahlenbogendekor ist in diesem Zusammenhang auffällig, dass er in Milet und Didyma, anders als in Karien, seinen Platz bevorzugt auf den repräsentativen (Bügelhenkel)Krateren (**Kat 149. 150**) fand.

69 Obwohl freilich die Frage offen bleibt, wie belastbar diese wenigen karisch geprägten Gefäße als archäologisches Argument für weiterführende Überlegungen rund um Produktion und Konsum sowie ganz allgemein zum Stellenwert von ›Karischem‹ und Karern im eisenzeitlichen Milet und Didyma sein können, dürfte es mit den hier vorgestellten Gefäßen **Kat 146–150** aus Didyma gemeinsam mit den als Vergleichsbeispielen angeführten Bügelhenkelkrateren mit Strahlenbogendekor aus Milet<sup>268</sup> doch erstmals gelungen sein, für die Milesia eine tatsächlich spezifisch karische Komponente in der materiellen Kultur des fortgeschrittenen 8. und frühen 7. Jahrhunderts v. Chr. zu benennen und sichtbar zu machen.



Abb. 22: Krater Ke09-29

262 Siehe Fazloğlu 2009, 472 Abb. 10; Bulba 2010, 114. 117 f. 199 f. Nr. O14. O15 Taf. 36.

263 Siehe Kızıl 2009, 398 Nr. M1 Abb. 3 [= Kızıl 2019, 294 f. Abb. 21]; Bulba 2010, 38 f. 176 Nr. K22. K23 Taf. 11; 40 f. 179 f. Nr. K43–K53 Taf. 15. 16.

264 Siehe Bulba 2010, 120 f. 201–204 Nr. S1–S19 Taf. 38. 39.

265 Vgl. Schlotzhauer 2012, 173 f. Nr. Nau 143 Taf. 31 e. f, dem keine »engeren Parallelen im Mutterland« bekannt waren. Aus Naukratis sind überdies karische Gefäße sowie eine karische Weihinschrift bekannt; vgl. Herda – Sauter 2009, 64 Anm. 71; 96 f.; Schlotzhauer 2012, 166–171 Nr. Nau 137–139 Taf. 29 i; 30.

266 Vgl. Pantoleon 2013, 253–255 Nr. 1065. 1068 Taf. 206. 207.

267 Siehe Walter – Vierneisel 1959, 20 Beil. 44, 1.

268 Pantoleon 2013, 253–255 Nr. 1065. 1068 Taf. 206. 207; es handelt sich hierbei um die ersten und bislang einzigen aus Milet bekannten Gefäße, die meines Erachtens in einer eindeutig karischen Tradition stehen; vgl. Herda 2009, 76. 94; Herda – Sauter 2009, 52. 63 f.

# Katalog

Alle Abbildungen des Katalogteils sind im Maßstab 1 : 2 gesetzt. Alle Katalogstücke werden im Depot des Grabungshauses von Didyma aufbewahrt.

## 70 (Sub)Protogeometrische Keramik

### Kat 1

#### (Proto)Geometrische Amphore (Abb. 23)

Wandfragment 78K01-5-15 (78K01-5: Felsbarre Älterer Peribolos, Bauzeit/Nutzung Ältere Peribolosmauer Ma 312)

H ca. 2,6; B 3,9; WSt 0,5; Dm max. erhalten außen ca. 22, 5 %

T: 7.5YR 7/4 pink, hart, feinporös, wenige feine dunkle Partikel, Glimmer; OF innen: 7.5YR 8/4 pink, stark verrieben; OF außen: 7.5YR 8/3 pink, stark verrieben; Bemalung außen: 7.5YR 4/2, braun, matt

Hellbraune Ware – (proto)geometrische Keramik

Konvex gewölbtes Schulterfragment eines großen geschlossenen Gefäßes

Auf die Schulter ist mit dem Kammzirkel ein dreiteiliges Kreisornament aufgetragen.

Eine exakte Orientierung des Fragmentes ist aufgrund der schlechten Oberflächenerhaltung nicht möglich.

Zirkelkreisdekore sind in der milesischen Feinkeramik als subprotogeometrische Fazies bis in die spätgeometrische bis früharchaische Zeit fest verankert (Schweitzer 1969, 101; Niemeier – Niemeier 1997, 216 Anm. 236), besonders prominent etwa in Form der Tiefen Skyphoi (Weickert 1957, 122 Taf. 37, 2 Mitte; von Graeve 1973/1974, 94 f. Nr. 40. 41. 46 Taf. 22; von Graeve 1975, 41. 49 f. Nr. 40 Abb. 15 Taf. 9; Kleine 1979, 140 Nr. 5 Taf. 32; Kerschner 1999, 19 f. Abb. 9; Krumme 2003; Krumme 2015; Kaiser 2023a, 11 Nr. Geo 1 Taf. 1. 191; **Kat 9. 10**).

Lit. von Miller 2019, 179–181. 358 f.

(1050/8. Jh.–670/650 v. Chr.

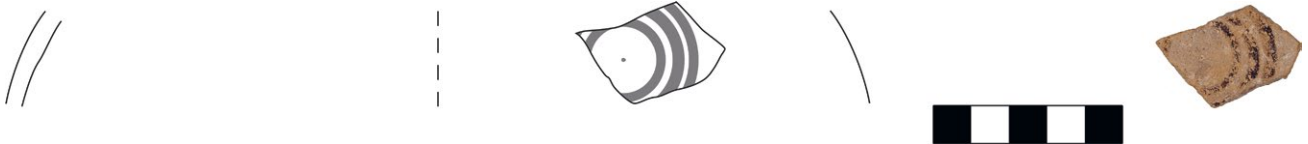


Abb. 23: Kat 1

### Kat 2

#### (Proto)Geometrische (Bauchhenkel)Amphore (Abb. 24)

Wandfragment 84K15-16-14 (84K15-16: Felsbarre Westbeckenanlage, Bauzeit bis Einplanierung Lauffhorizont Kl. Westbecken)

H 2,2; B 2,7; WSt 0,5; Dm max. erhalten außen 20,8, 3,5 %

T: 7.5YR 8/4 pink, hart, feinporös, Glimmer; OF innen: 7.5YR 8/3 pink; Ü außen: cremeweiß, matt; Bemalung außen: 7.5YR 4/2 braun, matt, etwas verrieben

Hellbraune Ware – (proto)geometrische Keramik

Gewölbtes Schulterfragment eines großen geschlossenen Gefäßes

Die Außenseite ist mit einem hellen Malgrund versehen, die Schulterzone über dem bemalten Bauchansatz ist mit einem mindestens dreiteiligen, stehenden Halbkreis geschmückt.

Vergleichbare Dekorsysteme werden in protogeometrischer Zeit in die ostgriechische Keramikproduktion eingeführt (Weickert 1957, 121 Taf. 36, 3) und setzen sich als subprotogeometrische Relikte bis mindestens in die spätgeometrische Zeit fort (von Graeve 1973/1974, 89 Nr. 2 Taf. 17; Kalaitzoglou 2008, 225 f., 421 Nr. 596 Taf. 130; Kaiser 2023a, 14 Nr. Geo 19 Taf. 2. 191).

Lit. Schweitzer 1969, 101; Niemeier – Niemeier 1997, 216 Anm. 236

1050–670 v. Chr.

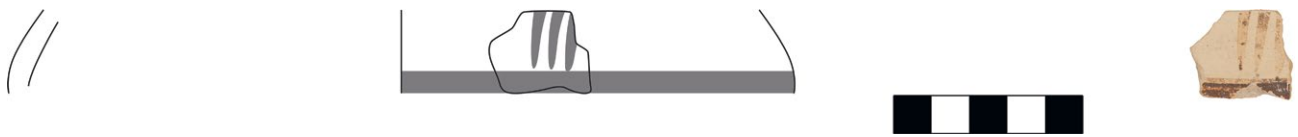


Abb. 24: Kat 2

### Kat 3

#### (Frühproto)Geometrische Amphore/Hydria (Abb. 25)

Wandfragment L284 (77K04-12: Felsbarre Nordwestabhang, Deponierung 2)

H 5,9; B 8,2; WSt 0,4; Dm max. erhalten außen ca. 27, 6 %

T: 7.5YR 6/4 leicht braun, hart, feinporös, wenige feine helle und dunkle Partikel, Glimmer; OF außen: 7.5YR 8/4 pink; OF innen: 5YR 8/3 pink; Bemalung außen: 5YR 4/2 dunkel rötlich grau, matt, streifig

Hellbraune Ware – (frühproto)geometrische Keramik

Fragment vom Schulter-Bauch-Umbruch eines großen geschlossenen Gefäßes

Den Schulter-Bauch-Umbruch umfasst ein mehrteiliges Bündel aus Bändern und Reifen, auf der Schulter hat sich der kleine Ausschnitt aus einem feinen, mindestens dreiteiligen konzentrischen Kreisdekor erhalten.

Lit. Lemos 2002, 60

Frühes 10. Jh. v. Chr.

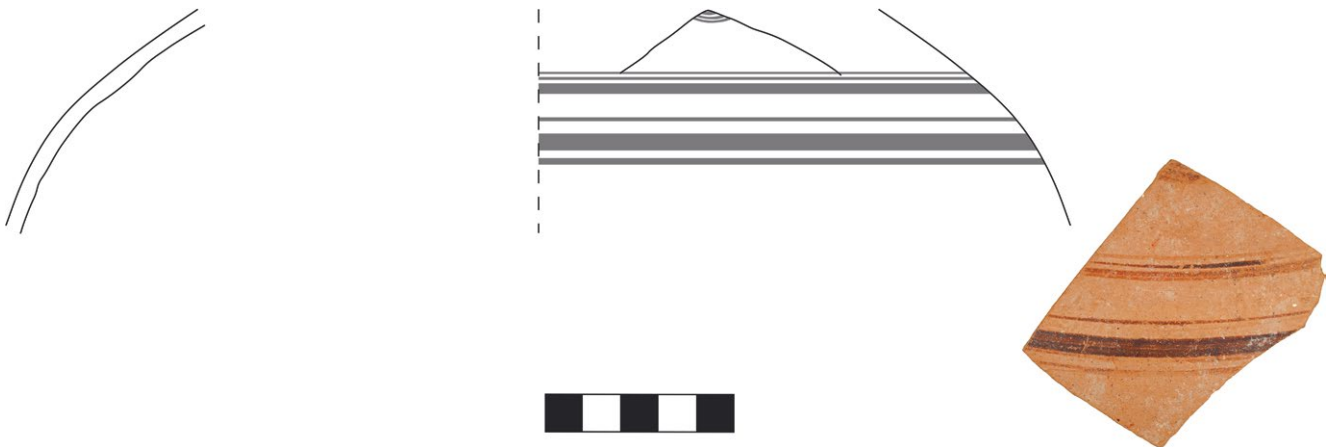


Abb. 25: Kat 3

### Kat 4

#### (Proto)Geometrische Amphore/Hydria (Abb. 26)

Wandfragment W84 (89K24-21: nördliche Straßensondage Son 89/6F, Unterbau ältestes Straßenpflaster)

H ca. 2,4; B 3; WSt 0,5

T: 10YR 5/2 gräulich braun, hart, feinporös, feine weiße und graue Partikel, Glimmer; OF innen: 7.5YR 7/2 pinklich grau, komplett verrieben; Ü außen: 10YR 8/3 sehr blass braun; Bemalung außen: 10YR 4/3 braun, matt

Feine Hellbraune Ware – (subproto)geometrische Feinkeramik

Schulterfragment eines großen geschlossenen Gefäßes

Auf die Gefäßschulter ist ein mit dem Kammzirkel geschlagener, siebenteiliger und fein gezeichneter Dreiviertelkreis um einen zentralen Punkt gemalt.

Schulterdekor mit Dreiviertelkreisen ist für protogeometrische Gefäße aus Milet belegt (Weickert 1957, 121 Taf. 36, 3 unten).

Publ. Schattner 2007, 426 Nr. Geo.1 Abb. 115; von Miller 2024, Kat 32

Lit. von Miller 2019, 179–181

10.–frühes 7. Jh. v. Chr.



Abb. 26: Kat 4

### Kat 5

#### (Proto)Geometrische Kanne (Abb. 27)

Wandfragment W81 (89K24-21: nördliche Straßensondage Son 89/6F, Unterbau ältestes Straßenpflaster)

H ca. 2; B 2,2; WSt 0,3; Dm max. erhalten außen 14,4, 4 %

T: 7.5YR 7/4 pink, hart, feinporös, feine helle und graue Partikel, Glimmer; OF außen: 7.5YR 7/3 pink; OF innen: 7.5YR 8/3 pink; Bemalung außen: 7.5YR 3/1–3/2 sehr dunkel grau bis dunkel braun, matt

Feine Hellbraune Ware – (subproto)geometrische Feinkeramik

Steil-konvexes Schulterfragment eines geschlossenen Gefäßes

Auf die Außenseite ist ein mindestens dreiteiliger Zirkelkreisdekor gemalt.

Publ. Schattner 2007, 426 Nr. Geo.2 Abb. 115; von Miller 2024, Kat 28

Lit. von Miller 2019, 157

8./1. Hälfte 7. Jh. v. Chr.



Abb. 27: Kat 5

### Kat 6

#### (Sub)Protogeometrisches geschlossenes Gefäß (Abb. 28)

Bodenfragment C478b. d–g (84K15-12: Felsbarre Westbeckenanlage, Bauzeit Laufhorizont Kl. Westbecken)

H 15,6; WSt 0,6; Dm 9,7, 100 %

T: 5YR 8/4 pink im Kern und 10YR 8/3 sehr blass braun in Oberflächennähe, sehr hart, feinporös, feine helle und dunkle Partikel, Glimmer; OF: 10YR 8/4 sehr blass braun; Bemalung außen: 10YR 4/1 dunkel grau, matt, streifig

(Sub)Protogeometrische Keramik

Großes geschlossenes Gefäß mit niedrigem und breitem, außen kantig abgesetztem Standring und tief-konischem Gefäßbauch

Der Standring und die breite Sockelzone sind mit einem flächigen Überzug versehen, auf den Gefäßkörper sind sehr breite und große Kreisbänder gemalt, die entlang ihrer Innenkontur von einem schmalen Reifen begleitet werden; vom zentralen Motiv in der Kreismitte ist nicht genug erhalten, um es näher benennen zu können; möglicherweise handelte es sich um eine kleine Kreisfläche.

Sowohl eine etwas verbreiterte äußere Rahmung von Kreisdekoren als auch deren Rhythmisierung durch ausgesparte Abstände sind Kennzeichen der subprotogeometrischen Bemalungsschemata auf spätgeometrischen und früharchaischen Gefäßen (Kerschner 2008, 51 f. mit Vergleichen), jedoch bleiben sowohl die Breite des äußeren Kreisbandes als auch die großflächige Konzeption des Dekors ohne Parallele.

Publ. Schattner 2007, 426 f. Nr. Geo.4 Abb. 116

10.–frühes 7. Jh. v. Chr.



Abb. 28: Kat 6

## Kat 7

### Spätproto-/frühgeometrischer Krater (?) (Abb. 29)

Wandfragment 80K12-10-17 (80K12-10: Felsbarre Nordwestmauern, Einplanierung für hellenistischen Terrassenbau)

H ca. 1,6; B 3,4; WSt 0,8

T: 7.5YR 7/4 pink, mittelhart, feinporös, wenige feine dunkle Partikel, Glimmer; OF: 10YR 8/3 sehr blass braun; Bemalung außen: 7.5YR 5/4 braun, matt, verrieben

Hellbraune Ware (?) – proto-/frühgeometrische Keramik

Komplett verdrücktes Schulterfragment eines großen und dickwandigen Gefäßes

Außen hat sich der Ausschnitt eines protogeometrischen Dekors erhalten: ein mindestens vierteiliger Mehrfachkreis (Kammzirkeldekors) umschließt ein Binnenornament.

Die Bemalung lässt sich zu einem zirkelgezogenen Mehrfachkreis mit eingeschlossenem Kreuzmotiv rekonstruieren, wie er von den proto- bis frühgeometrischen Gefäßen aus milesischen Fundkontexten bekannt ist (Weickert 1957, 122 Taf. 36, 4; Hommel 1959/1960, 55 Nr. 1. 4 Taf. 55; Kleine 1979, 140 Nr. 3 Taf. 32; Schiering 1979, 103 f. Taf. 23, 4). Die Mittelmotive der gefüllten Mehrfachkreise auf subprotogeometrischen Gefäßen, die in der Milesia und in Karien bis in die spätgeometrische Zeit hergestellt wurden (Schweitzer 1969, 101; Niemeier – Niemeier 1997, 216 Anm. 236), sind meist komplexer gestaltet (Weickert 1957, 124 Taf. 39, 4; Hommel 1959/1960, 58 Nr. 2 Taf. 59; Kleiner 1959/1960, 93 Nr. 2 Taf. 85; Kleine 1979, 139 f. Nr. 2 Taf. 32; Özgünel 2006, 74–77 Abb. 53–55; 98 Nr. 28 Taf. 24 (= Bulba 2010, 58–62. 188 Nr. Kr2 Taf. 23).

Lit. Schiering 1979, 103 f.

950–850 v. Chr.



Abb. 29: Kat 7

## Kat 8

### (Subproto)Geometrischer Krater (Abb. 30)

Wandfragment Ke96078 (96K13: Felsbarre Nordwestmauern, Einplanierung für hellenistischen Terrassenbau)

H 2; B 2,5; WSt 0,5; Dm max. erhalten außen ca. 24, 3 %

T: 5YR 6/3 leicht rötlich braun im Kern und 5YR 6/6 rötlich gelb in Oberflächennähe, hart, feinporös, feine bis wenige mittlere helle und graue Partikel, Glimmer; OF außen: 7.5YR 8/3 pink; Bemalung außen: 5YR 5/4 rötlich braun, fast vollständig verrieben; Ü innen: 5YR 4/3 rötlich braun, matt, streifig

Hellbraune Ware – (subproto)geometrische Feinkeramik

Steil-konvex gewölbte Gefäßschulter eines großen offenen Gefäßes

Das Gefäßinnere trägt einen flächigen Überzug, auf der tongrundigen Außenseite zeigt sich ein mit dem Kammzirkel regelmäßig gezogener Mehrfachhalbkreis, bestehend aus mindestens sieben Kreissegmenten, die in einer geraden Linie abschließen.

Zirkelkreisdekore sind in der milesischen Feinkeramik als subprotogeometrische Fazies bis in die spätgeometrische bis früharchaische Zeit fest verankert (Schweitzer 1969, 101; Niemeier – Niemeier 1997, 216 Anm. 236), besonders prominent etwa in Form der Tiefen Skyphoi (Weickert 1957, 122 Taf. 37, 2 Mitte; von Graeve 1973/1974, 94 f. Nr. 40. 41. 46 Taf. 22; von Graeve 1975, 41. 49 f. Nr. 40 Abb. 15 Taf. 9; Kleine 1979, 140 Nr. 5 Taf. 32; Kerschner 1999, 19 f. Abb. 9; Krumme 2003; Krumme 2015; Kaiser 2023a, 11 Nr. Geo 1 Taf. 1. 191; **Kat 9. 10**). Während vergleichbare Halbkreisdekore auf den Schultern geschlossener Gefäße in der Regel an einer umlaufenden Bänderung am Schulter-Bauch-Umbruch aufsitzen, schwebt der Mehrfachhalbkreis hier ungewöhnlicherweise frei im Schulterbildfeld, wie dies von einer Amphore/Hydria sowie von einem Gefäßständer aus Horizonten der AG Phase II (ca. 675–650 v. Chr.) der Siedlungsbefunde unter der Tetragonos-Agora in Ephesos (von Miller 2019,

179–181 Nr. 24 Taf. 3; 112 Nr. 364 Taf. 34) sowie von einem geschlossenen Gefäß aus den Taxiarchis-Befunden (Kaiser 2023a, 14 Nr. Geo 19 Taf. 2. 191) bekannt ist.

8. Jh.–670/650 v. Chr.



Abb. 30: Kat 8

### Kat 9

#### Tiefer Skyphos mit Zirkelkreisdekor (Abb. 31)

Wandfragment N447 (78K01: Felsbarre Älterer Peribolos, Bauzeit/Nutzung Ältere Peribolosmauer Ma 312)

H 1,8; B 2,15; WSt 0,35

T: 7.5YR 6/2 pinklich grau, hart, feinporös, wenige feine dunkle Partikel, wenig Glimmer; OF außen: 7.5YR 7/2 pinklich grau; Bemalung außen: 7.5YR 5/2 braun, matt; Ü innen: 7.5YR 3/2 dunkel braun, matt, streifig

(Subproto)Geometrische Keramik

Steil-konvexes Fragment von der Beckenschulter eines tiefen Trinkgefäßes

Im Inneren ist ein Überzug, im tongrundigen Dekorfeld der Außenseite ist mit dem Kammzirkel ein mindestens vierteiliges Kreisornament aufgetragen.

Tiefe Skyphoi mit Zirkelkreisdekor zählen zu den Leitformen innerhalb des spät- und subgeometrischen Trinkgefäßspektrums in milesischen Befunden (Weickert 1957, 122 Taf. 37, 2 Mitte; von Graeve 1973/1974, 94 f. Nr. 40. 41. 46 Taf. 22; von Graeve 1975, 41. 49 f. Nr. 40 Abb. 15 Taf. 9; Kleine 1979, 140 Nr. 5 Taf. 32; Kerschner 1999, 19 f. Abb. 9; Kaiser 2023a, 11 Nr. Geo 1 Taf. 1. 191; **Kat 10–12**). Von den in Milet ebenfalls bezeugten, proto- bis frühgeometrischen Vorläufern (Hommel 1959/1960, 55 Nr. 5. 6. Taf. 55; Schiering 1979, 103 f. Taf. 23, 4) unterscheiden sich die spät- bis subgeometrischen Skyphoi durch ihre straffere Form, die annähernd horizontal angebrachten Henkel und den Verzicht auf die kreuzförmige Füllung der Zirkelkreise.

Publ. Schattner 2007, 428 Nr. Geo.23 Abb. 117

Lit. von Graeve 1975, 41; Kerschner 1999, 19 f., Krumme 2003; Krumme 2015; von Miller 2023a, 20 f.

2. Hälfte 8.–670/650 v. Chr.



Abb. 31: Kat 9

### Kat 10

#### Tiefer Skyphos mit Zirkelkreisdekor (Abb. 32)

Randfragment X697 (80K16-11: Felsbarre Nordwestmauern, Nutzung/Einplanierung westlicher Vorplatz)

H 2,9; B 2,7; WSt 0,4; Dm 20, 4 %

T: 7.5YR 6/2 pinklich grau, hart, feinporös, Glimmer; OF: 7.5YR 7/1 leicht grau; Bemalung außen: 7.5YR 5/3 braun, matt, verrieben; Ü innen: 7.5YR 3/1 sehr dunkel grau, matt

Feine Hellbraune Ware – geometrische Keramik, sekundär verbrannt (?)

Offenes Gefäß mit S-förmig geschwungener Wandkontur vom tief-konvexen Becken in den leicht ausgestellten Rand mit glatt verjüngter Lippe

Von dem Überzug der Innenseite bleibt ein schmales Lippenband tongrundig ausgespart; die Randaußenseite wird von zwei Bändern gefasst, darunter zeigt sich auf der Schulter der Ausschnitt aus einem mindestens vierteiligen Mehrfachkreis (Kammzirkeldecor).

Tiefe Skyphoi mit Zirkelkreisdecor zählen zu den Leitformen innerhalb des spät- und subgeometrischen Trinkgefäßspektrums in milesischen Befunden (Weickert 1957, 122 Taf. 37, 2 Mitte; von Graeve 1973/1974, 94 f. Nr. 40. 41. 46 Taf. 22; von Graeve 1975, 41. 49 f. Nr. 40 Abb. 15 Taf. 9; Kleine 1979, 140 Nr. 5 Taf. 32; Kerschner 1999, 19 f. Abb. 9; Kaiser 2023a, 11 Nr. Geo 1 Taf. 1. 191; **Kat 9**). Von den in Milet ebenfalls bezeugten, proto- bis frühgeometrischen Vorläufern unterscheiden sich die spät- bis subgeometrischen Skyphoi durch ihre straffere Form und den Verzicht auf die kreuzförmige Füllung der Zirkelkreise (Hommel 1959/1960, 55 Nr. 5. 6. Taf. 55; Schiering 1979, 103 f. Taf. 23, 4).

Lit. von Graeve 1975, 41; Kerschner 1999, 19 f.; Krumme 2003; Krumme 2015; von Miller 2023a, 20 f.

2. Hälfte 8.–670/650 v. Chr.

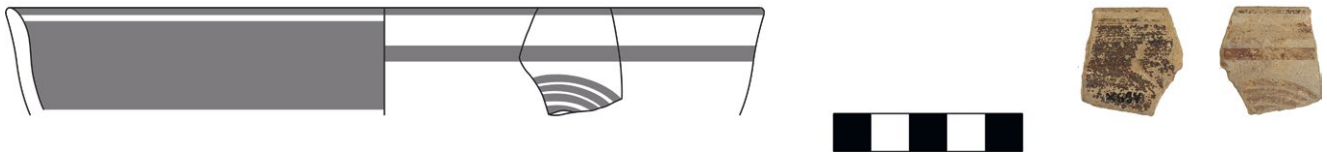


Abb. 32: Kat 10

### Kat 11

#### Tiefer Skyphos (mit Zirkelkreisdecor) (Abb. 33)

Randfragment 80K06-22-1 (80K06-22: Felsbarre Nordwestmauern, Baugrube hellenistischer Terrassenbau Ma 54)

H 2,4; B 2,6; WSt 0,35; Dm 16,8, 5 %

T: 7.5YR 8/4 pink, hart, feinporös, Glimmer; OF außen: 7.5YR 8/3 pink; Bemalung außen/Ü innen: 7.5YR 3/2 dunkel braun, matt, verrieben

Feine Hellbraune Ware – Reifenware

Offenes Gefäß mit steil-konvexem Becken und durch eine leicht S-förmig geschwungene Einziehung abgesetztem Rand mit glatt verjüngter Lippe

Das Gefäßinnere ist bis auf ein schmales, tongrundig ausgespartes Lippenband mit einem Überzug versehen, außen umfasst ein breites Lippenband den Randfalz und den oberen Beckenansatz.

Die Form entspricht jener der Tiefen Skyphoi mit Zirkelkreisdecor, die in Milet zu den Leitformen innerhalb des spät- und subgeometrischen Trinkgefäßspektrums zählen (Weickert 1957, 122 Taf. 37, 2 Mitte; von Graeve 1973/1974, 94 f. Nr. 40. 41. 46 Taf. 22; von Graeve 1975, 41. 49 f. Nr. 40 Abb. 15 Taf. 9; Kleine 1979, 140 Nr. 5 Taf. 32; Kerschner 1999, 19 f. Abb. 9; Kaiser 2023a, 11 Nr. Geo 1 Taf. 1. 191).

Lit. von Graeve 1975, 41; Kerschner 1999, 19 f.; Krumme 2003; Krumme 2015; von Miller 2023a, 20 f.

2. Hälfte 8.–670/650 v. Chr.



Abb. 33: Kat 11

## Kat 12

### Tiefer Skyphos (mit Zirkelkreisdekor) (Abb. 34)

Randfragment 81K12-11-8 (81K12-11: Felsbarre Oikos P, Einplanierung)

H 2,1; B 1,9; WSt 0,45; Dm ca. 16,2, 3,5 %

T: 10YR 8/3 sehr blass braun, hart, mittelporös, wenige feine weiße Partikel, Glimmer; OF: 10YR 8/2 sehr blass braun, stark verrieben; Bemalung außen/Ü innen: braun, in wenigen Resten

Hellbraune Ware – (sub)geometrische Reifenware

Trinkschale mit leicht S-förmig geschwungenem Rand mit glatt verjüngter Lippe

Von dem Überzug im Inneren bleibt ein tongrundiges Lippenband ausgespart, außen ist ein schmales Lippenband aufgemalt.

Das Gefäß repräsentiert eine Variante von Tiefen Skyphoi mit (hier nicht erhaltenem) Zirkelkreisdekor, die in spät- bis subgeometrischen Kontexten in Milet anzutreffen sind (Weickert 1957, 122 Taf. 37, 2 Mitte; von Graeve 1973/1974, 94 f. Nr. 40. 41. 46 Taf. 22; von Graeve 1975, 49–51 Nr. 40. 45 Abb. 15. 19 Taf. 9. 10; 54 f. Nr. 59. 61. 62 Taf. 12; Kleine 1979, 140 Nr. 5 Taf. 32; Kerschner 1999, 19 f. Abb. 9; Kaiser 2023a, 11 Nr. Geo 1 Taf. 1. 191; **Kat 10. 14**).

Lit. von Graeve 1975, 41; Kerschner 1999, 19 f.; Krumme 2003; Krumme 2015; von Miller 2023a, 20 f.

2. Hälfte 8.–670/650 v. Chr.

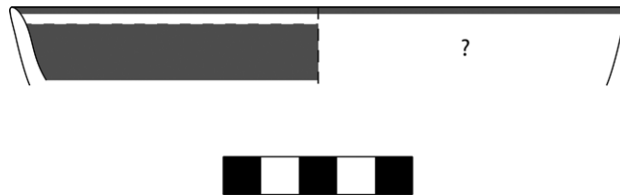


Abb. 34: Kat 12

## Kat 13

### Tiefer Skyphos (mit Zirkelkreisdekor) (Abb. 35)

Randfragment 89K26-5-1 (89K26-5: nördliche Straßensondage Son 89/7, Bettungshorizont ältestes Straßenpflaster)

H 2,2; B 3,1; WSt 0,55; Dm 24, 3,5 %

T: 2.5YR 7/6 leicht rot im Kern und 7.5YR 7/2 pinklich grau in Oberflächennähe, hart, feinporös, feine weiße und wenige feine graue Partikel, Glimmer; OF: 10YR 7/2 leicht grau, verrieben

Hellbraune Ware

Recht großes, offenes Gefäß mit steil-konvexer Wandung; die S-förmig geschwungene Innenkontur läuft zu einem spitz verjüngten Rand aus.

Die komplett verriebene Oberfläche lässt keine Rückschlüsse auf eine ehemalige Bemalung zu, die für die Gefäßform des Tiefen Skyphos nach Ausweis weiterer Skyphoi von der Felsbarre (**Kat 9–12. 14. 15**) zu erwarten wäre.

Publ. von Miller 2024, Kat 43

Lit. von Graeve 1975, 41; Kerschner 1999, 19 f.; Krumme 2003; Krumme 2015; von Miller 2023a, 20 f.

2. Hälfte 8.–670/650 v. Chr.

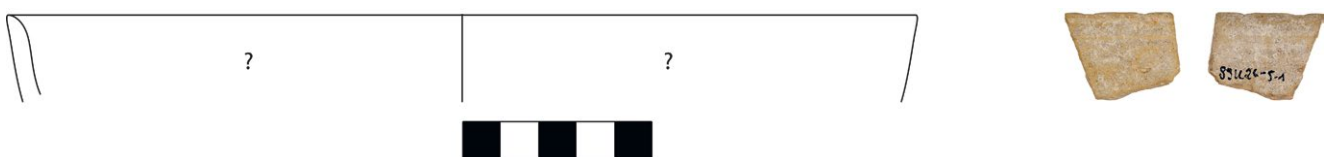


Abb. 35: Kat 13

## Kat 14

### Dunkelgrundiger Tiefer Skyphos (Abb. 36)

Randfragment Y2438 (81K03-12: Felsbarre Oikos P, Nutzung/Zerstörung)

H 2,5; B 3; WSt 0,4; Dm 20, 3 %

T: 10YR 7/4 sehr blass braun, hart, mittelporös, wenige feine weiße und dunkle Partikel, Glimmer; OF: 2.5Y 8/3 blass braun; Ü: 2.5Y 4/1 dunkel grau, matt, verrieben

Hellbraune Ware – Firnisware

Steil-konvexes Trinkgefäß mit zur verjüngten Lippe hin leicht S-förmig ausschwingendem Rand

Von dem beidseitig aufgetragenen Überzug bleibt innen ein breites Lippenband, außen ein schmales Band tongrundig ausgespart.

Formal steht das Gefäß den Skyphoi mit Zirkelkreisdekor nahe, die in Milet in spät- bis subgeometrischen Kontexten anzutreffen sind (Weickert 1957, 122 Taf. 37, 2 Mitte; von Graeve 1973/1974, 94 f. Nr. 40. 41. 46 Taf. 22; von Graeve 1975, 49–51 Nr. 40. 45 Abb. 15. 19 Taf. 9. 10; 54 f. Nr. 59. 61. 62 Taf. 12; Kleine 1979, 140 Nr. 5 Taf. 32; Kerschner 1999, 19 f. Abb. 9; Kaiser 2023a, 11 Nr. Geo 1 Taf. 1. 191; **Kat 9–12**). Unser Gefäß übernimmt hingegen das dunkelgrundige Dekorsystem der synchronen steilwandigen Tassen (Kerschner 1999, 23 f.; von Miller 2019, 100 f.; von Miller 2023a, 43 f.), wie es bei einem zweiten Tiefen Skyphos aus dem Kleinen Westbecken auf der Felsbarre belegt ist (**Kat 15**).

Lit. von Graeve 1975, 41; Kerschner 1999, 19 f.; Krumme 2003; Krumme 2015; von Miller 2023a, 20 f.

2. Hälfte 8.–670/650 v. Chr.



Abb. 36: Kat 14

## Kat 15

### Dunkelgrundiger Tiefer Skyphos (Abb. 37)

Randfragment 84K15-15-7 (84K15-15: Felsbarre Westbeckenanlage, Einplanierung Kl. Westbecken)

H 1,8; B 2,4; WSt 0,45

T: 7.5YR 6/6 rötlich gelb, hart, feinporös, Glimmer; OF innen: 7.5YR 8/3 pink; Ü: 7.5YR 4/6 braun, matt, streifig

Feine Hellbraune Ware – Firnisware

Offenes Gefäß mit steil-konvexer Beckenkontur und verjüngtem Rand

Von dem beidseitig aufgetragenen Überzug bleibt im Inneren ein tongrundiges Lippenband ausgespart.

Die Form entspricht jener der Tiefen Skyphoi mit Zirkelkreisdekor, die zu den Leitformen innerhalb des spät- und subgeometrischen Trinkgefäßspektrums in milesischen Befunden zählen (Weickert 1957, 122 Taf. 37, 2 Mitte; von Graeve 1973/1974, 94 f. Nr. 40. 41. 46 Taf. 22; von Graeve 1975, 41. 49 f. Nr. 40 Abb. 15 Taf. 9; Kleine 1979, 140 Nr. 5 Taf. 32; Kerschner 1999, 19 f. Abb. 9; Kaiser 2023a, 11 Nr. Geo 1 Taf. 1. 191; **Kat 9–12**). Das dunkelgrundige Dekorsystem unseres Stückes leitet sich dagegen von den synchronen steilwandigen Tassen ab (Kerschner 1999, 23 f.; von Miller 2019, 100 f.; von Miller 2023a, 43 f.) und begegnet bei einem zweiten Tiefen Skyphos aus Oikos P auf der Felsbarre (**Kat 14**).

Lit. von Graeve 1975, 41; Kerschner 1999, 19 f.; Krumme 2003; Krumme 2015; von Miller 2023a, 20 f.

2. Hälfte 8. Jh.–670/650 v. Chr.



Abb. 37: Kat 15

## Kat 16

### Skyphos mit hängenden Halbkreisen PSC (Abb. 38)

Wandfragment 96K14-6 (96K14: Felsbarre Nordwestmauern, Einplanierung für hellenistischen Terrassenbau)

H 3; B 2,7; WSt 0,4

T: 5YR 8/3 pink, hart, feinporös, feine helle Partikel, Glimmer; OF außen: 7.5YR 8/3 pink; Bemalung außen/Ü innen: 7.5YR 3/2 dunkel braun, matt, verrieben

Hellbraune Ware – subprotogeometrische Keramik

Offenes Gefäß mit kräftig gerundeter Schulter und Randansatz

Das Innere ist mit einem Überzug versehen, außen ist der Randansatz bemalt; auf der Schulter zeichnet sich im Anschluss an die rechte Bildfeldbegrenzung ein mindestens dreiteiliger hängender Halbkreisdekor ab, die Abstände zwischen den drei Kreissegmenten variieren.

Die PSC-Skyphoi zählen in der Miesia nicht zum gängigen Formenspektrum der protogeometrischen und geometrischen Zeit (Krumme 2003, 244; Kerschner 2014a, 111 Abb. 1; 120 f.). Das Fabrikat macht das Gefäß als eine lokale Adaption der euböischen (?) Vorbilder wahrscheinlich, die besten Formparallelen finden sich unter den späten PSC-Skyphoi des Typs 6 mit flachem Gefäßbecken, flachem Boden und konkav ausgebildetem Rand (Kearsley 1989, 101–104 Abb. 40. 41; 128 Tab. 4; Kerschner 2014b, bes. 160. 163; Lemos 2014, bes. 42), deren Produktionsende auf Basis der Befunde in Eretria aktuell an der Wende zum letzten Viertel des 8. Jhs. v. Chr., also an der Wende von Spätgeometrisch I zu Spätgeometrisch II angesetzt wird (Verdan u. a. 2008, 81 f.; Verdan 2013, Nr. 121. 141 Taf. 72. 74: Phase II; Kerschner 2014b, 157 f.).

Lit. Kearsley 1989, bes. 142–145; Kerschner 2003b, 46 f.; Kerschner 2014a, bes. 110–117

3. Viertel/2. Hälfte 8. Jh. v. Chr.



Abb. 38: Kat 16

## 71 Geometrische und Subgeometrische Keramik

### Kat 17

#### Spät-/subgeometrische Tafelamphore milesischen Typs (Abb. 39)

Randfragment C557 (84K15-16: Felsbarre Westbeckenanlage, Bauzeit bis Einplanierung Laufhorizont Kl. Westbecken)

H 1,9; B 3,7; WSt 0,3; Dm innen 14,4, 6 %

T: 10YR 6/2 gräulich braun, hart, feinporös, Glimmer; OF außen: 10YR 8/3 sehr blass braun; Bemalung außen: 10YR 3/2 sehr dunkel gräulich braun; Ü innen: 10YR 5/3 braun, matt

Schieferige sandige Ware – Firnisware

Geschlossenes Gefäß mit weit trichterförmig ausgestelltem Hals und senkrecht hochgebogenem, schmal-kantig verdicktem Rand

Das Fragment ist mit einem Überzug versehen, auf die ausgesparte Randaußenkante sind zwei Wellenbänder aufgemalt.

Das Gefäß repräsentiert den charakteristischen Typus spätgeometrisch-milesischer Tafelamphoren, die Randmorphologie steht den subgeometrischen Amphoren mit dreieckig oder kantig verdicktem Rand nahe (Seifert 2004, 14: Gruppe 4 a–c), die jedoch über zylindrische Hälse verfügen. Gute Parallelen sind aus der subgeometrischen Aufschüttung vom Kalabaktepe in Milet bekannt (Kerschner 1999, 26 Abb. 14, 66), die ausladende Randform verzeichnet allerdings eine lange Tradition, die bis in die protogeometrische Zeit zurückführt (Aytaçlar 2004, 21 Abb. 4, 1–3. 6; 23 Abb. 6, 1).

Publ. Schattner 2007, 190 Nr. SchWk A1.2 Abb. 60 (Schüssel)

2. Hälfte 8./1. Hälfte 7. Jh. v. Chr.



Abb. 39: Kat 17

### Kat 18

#### Geometrische Amphore milesischen Typs (Abb. 40)

Randfragment X367 (80K08-4: Felsbarre Nordwestabhang, Bettung ältestes Straßenpflaster Nordwestweg)

H 5,7; B 3; WSt 0,75; Dm max. erhalten außen 14,6 %

T: 7.5YR 8/4 pink, hart, feinporös, wenige feine dunkle Partikel, Glimmer; OF: 7.5YR 8/3 pink; Bemalung außen: 10R 5/6 rot, matt, stark verrieben

Hellbraune Ware – Firnisware

Großes geschlossenes Gefäß mit trichterförmig ausgestelltem Hals und davon kantig abgesetztem, kleinem Dreiecksrand

Auf der großflächig bemalten Außenseite bleibt im unteren Fragmentbereich eine tongrundige Zone ausgespart.

Der Typus dürfte als entwicklungstypologischer Vorläufer der subgeometrisch-früharchaischen Amphoren milesischen Typs mit Dreiecksrand gelten können (Seifert 2004, 14: Gruppe 4 a).

Publ. Schattner 2007, 249 Nr. Kg B4.1 Abb. 70 (Krug)

8. Jh. v. Chr.

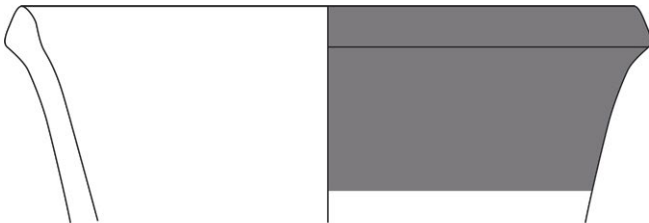


Abb. 40: Kat 18

### Kat 19

#### Spät-/subgeometrische Amphore milesischen Typs (Abb. 41)

Randfragment C567 (84K15-18: Felsbarre Westbeckenanlage, Nutzung/Aufgabe Kl. Westbecken)

H 3,7; B 3,8; WSt 0,5; Dm max. erhalten außen 10,2, 11 %

T: grau im Kern und 5YR 7/4 pink in Oberflächennähe, hart, feinporös, feine helle und graue Partikel, Glimmer; OF innen: 7.5YR 8/3 pink; Ü außen: 7.5YR 4/2 braun bis 10R 4/6 rot, matt, leicht streifig

Hellbraune Ware – Firnisware

Der trichterförmig ausschwingende Hals eines geschlossenen Gefäßes biegt kantig in einen dreieckig verdickten Rand um.

Die Außenseite ist mit einem Überzug versehen.

Vergleichbare Ränder sind auch unter subgeometrisch-ornamental bemalten Amphoren bekannt (Kleine 1979, 140 f. Abb. 13 Taf. 33, 1) sowie unter den zeitgleichen Amphoren mit ausladender Mündung (Kat 17).

Publ. Schattner 2007, 121 Nr. Am B14.2 Abb. 43

Lit. Seifert 2004, 14 (Gruppe 4 a).

2. Hälfte 8.–1. Viertel/1. Hälfte 7. Jh. v. Chr.

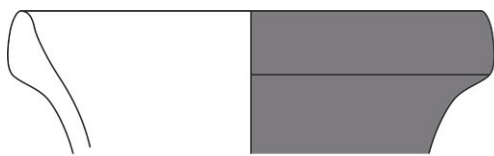


Abb. 41: Kat 19



### Kat 20

#### (Sub)Geometrische Amphore milesischen Typs A.2 (Abb. 42)

Randfragment N428 (78K01-1: Felsbarre Älterer Peribolos, Bauzeit/Nutzung Ältere Peribolosmauer Ma 312)

H 4,5; B 7; WSt 0,55; Dm außen 16, 15 %

T: 7.5YR 6/3 leicht braun, sehr hart, feinporös, viele feine Kalkpseudomorphosen, schwarze Partikel, Glimmer; Ü: 7.5YR 5/1 grau, matt

Schieferige sandige Ware – Firnisware, sekundär verbrannt!

Großes geschlossenes Gefäß mit breitem, zylindrischem Hals und davon außen schnabelförmig abgesetztem Wulstrand mit breit gerundeter Lippe

Das Fragment ist auf beiden Seiten großflächig mit einem Überzug versehen.

Amphoren dieser Typenvariante sind in Milet in subgeometrischen Fundkontexten vertreten (von Graeve 1975, Abb. 4; 43 Nr. 2 Abb. 7 Taf. 3).

Publ. Schattner 2007, 93 Nr. Am A11.2 Abb. 35

Lit. Seifert 2004, 13 (Gruppe 2); von Miller 2018, 89; von Miller 2023a, 87 f.

1. Hälfte/3. Viertel 7. Jh. v. Chr.



Abb. 42: Kat 20



### Kat 21

#### (Sub)Geometrische Amphore milesischen Typs A.2 (Abb. 43)

Randfragment WA150 (90K20-5: südwestlich der Felsbarre, nacharchaische Planierung)

H 2,55; B 4,4; WSt 0,5; Dm innen 11,4, 11 %

T: 5YR 6/1 grau, sehr hart, feinporös, feine helle und graue Partikel, Glimmer; OF: 5YR 8/2 pinklich grau; Ü außen/ Bemalung innen: ca. 5YR 5/2 rötlich grau, matt

Hellbraune Ware – Firnisware, überfeuert!

Großes geschlossenes Gefäß mit leicht ausgestelltem Hals und wulstig verdicktem Rand mit schnabelförmig akzentuierter Lippe, leicht überhängend

Der Überzug auf der Gefäßaußenseite greift als breites Lippenband ins Innere über; die Randunterkante und der obere Halsabsatz sind tongrundig ausgespart.

Amphoren dieser Typenvariante sind in Milet in subgeometrischen Fundkontexten vertreten (von Graeve 1975, Abb. 4; 43 Nr. 2 Abb. 7 Taf. 3).

Lit. Seifert 2004, 13 (Gruppe 2); von Miller 2018, 89 f., von Miller 2023a, 87 f.

1. Hälfte/3. Viertel 7. Jh. v. Chr.



Abb. 43: Kat 21

### Kat 22

#### (Sub)Geometrische Amphore milesischen Typs A.2 (Abb. 44)

Randfragment 00K26-16-13 (00K26-16: Felsbarre Nordwestmauern, Bauzeit Mauer Ma 583)

H 3,7; B 8,5; WSt 0,65; Dm außen 15,4, 18 %

T: 7.5YR 7/3 pink, sehr hart, feinporös, Kalkpseudomorphosen, feine dunkle Partikel, Glimmer; OF innen: 7.5YR 7/2 pinklich grau; Ü außen: schwarz, matt, in wenigen Resten

Schieferige sandige Ware – Firnisware, sekundär verbrannt!

Großes geschlossenes Gefäß mit steil-konisch ausgestellt Hals und kräftig rund verdicktem Wulstrand mit kleinem, schnabelförmigem Vorsprung

Die Außenseite zeigt Spuren eines Überzuges.

Amphoren dieser Typenvariante sind in Milet in subgeometrischen Fundkontexten vertreten (von Graeve 1975, Abb. 4; 43 Nr. 2 Abb. 7 Taf. 3).

Lit. Seifert 2004, 13 (Gruppe 2); von Miller 2018, 89 f.; von Miller 2023a, 87 f.

1. Hälfte/3. Viertel 7. Jh. v. Chr.

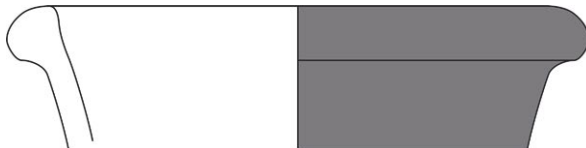


Abb. 44: Kat 22

### Kat 23

#### (Sub)Geometrische Amphore milesischen Typs A.1 (Abb. 45)

Randfragment L989 (77K32-2: Felsbarre Älterer Peribolos, Bauzeit/Nutzung Ältere Peribolosmauer Ma 312)

H 3,1; B 6,7; WSt 0,6; Dm 12, 14 %

T: 2.5YR 7/6 leicht rot, hart, feinporös, wenige feine helle und graue Partikel, Goldglimmer; OF innen: 7.5YR 8/3 pink; Ü außen: 10R 6/6 leicht rot, matt

Hellbraune Ware – Firnisware

Großes geschlossenes Gefäß mit trichterförmig ausschwingendem Hals und davon mittels einer plastischen Profilierung abgesetztem Wulstrand

Die Gefäßaußenseite ist mit einem Überzug versehen.

Publ. Schattner 2007, 259 Nr. Kg C8.2 Abb. 72 (Krug)

Lit. Seifert 2004, 15 (Gruppe 6 a); von Miller 2018, 89; von Miller 2023a, 87 f.

1. Hälfte/3. Viertel 7. Jh. v. Chr.



Abb. 45: Kat 23

#### Kat 24

##### (Sub)Geometrische Kanne/Amphore (Abb. 46)

Drei Wandfragmente Y2249 + Y2252 (81K03-9: Felsbarre Oikos P, Nutzung)

H 6,3; B 5+5,2+10,3; WSt 0,65; Dm max. erhalten innen ca. 9,2, 68 %

T: 5YR 6/6 rötlich gelb, hart, mittelporös, leicht schieferig, wenige feine dunkle Partikel, Goldglimmer; OF: 5YR 5/6 rötlich gelb, teilweise abblättern; Ü außen: 10R 5/6 rot, matt, verrieben

Braune Ware – Firnisware

Großes geschlossenes Gefäß mit annähernd zylindrischem Hals und kontinuierlichem Umbruch in den Schulteransatz

Der Schulteransatz und ein großer Teil des Halses sind flächig bemalt.

Form und Dekorsystem entsprechen einer Gruppe geometrischer Kannen bzw. Amphoren mit weit ausladenden Mündungen, die in Milet in spät- bis subgeometrisch datierten Kontexten anzutreffen sind (Hommel 1959/1960, 54 Nr. 1 Taf. 54; Kleine 1979, 141 Nr. 7 Taf. 33, 2; Kerschner 1999, 26 f. Abb. 14, 64–66). Der glatte Umbruch vom Hals in die Schulter könnte generell ein Indiz für eine entwicklungstypologisch frühe Ausprägung milesischer Amphoren sein, sind doch die archaischen Typenvarianten meist durch eine Akzentuierung (konkave Einziehung, Ringwulst, plastischer Falz) dieser Stelle am Gefäßkörper gekennzeichnet.

Lit. von Miller 2019, 156 f.

2. Hälfte 8./frühes 7. Jh. v. Chr.



Abb. 46: Kat 24

## Kat 25

### (Sub)Geometrische Amphore (Abb. 47)

Wandfragment C487 (84K15-11: Felsbarre Westbeckenanlage, Bauzeit Laufhorizont Kl. Westbecken)

H 5; B 6,6; WSt 0,6; Dm Halsansatz 10,4, 19 %

T: 2.5YR 7/4 leicht rötlich braun, hart, mittelporös, graue Einschlüsse, Glimmer; OF außen: 7.5YR 8/3 pink; OF innen: 7.5YR 7/4 pink; Bemalung außen: 10R 6/6 leicht rot, matt, verrieben

Hellbraune Ware – Firnisware

Leicht konisch ausgestellter Hals eines großen geschlossenen Gefäßes mit Ansatz der flachen Schulter

Auf der flächig bemalten Außenseite bleibt auf mittlerer Höhe des Halses ein tongrundiges Feld ausgespart, auf das ein Wellenband gemalt ist.

Der glatte Umbruch vom Hals in die Schulter könnte möglicherweise ein Indiz für eine entwicklungstypologisch frühe Ausprägung milesischer Amphoren sein, sind doch die archaischen Typenvarianten meist durch eine Akzentuierung (konkave Einziehung, Ringwulst, plastischer Falz) dieser Stelle am Gefäßkörper gekennzeichnet.

Lit. Seifert 2004, 13–16

2. Hälfte 8./1. Hälfte 7. Jh. v. Chr.



Abb. 47: Kat 25

## Kat 26

### (Sub)Geometrische Amphore (Abb. 48)

Wandfragment C491 (84K15-10: Felsbarre Westbeckenanlage, Laufhorizont Kl. Westbecken)

H 7,2; B 7; WSt 0,6; Dm max. erhalten außen 10,6, 22 %

T: 5YR 8/4 pink, hart, feinporös, feine helle und graue sowie wenige rote Partikel, viel Glimmer; OF außen: 7.5YR 8/4 pink; OF innen: 5YR 8/4 pink; Bemalung außen: 10R 5/6 rot, matt, verrieben

Hellbraune Ware – Firnisware

Kaum ausgestellter Amphorenhals, zum Schulteransatz hin leicht ausschwingend

Auf dem bemalten Hals bleibt auf mittlerer Höhe ein schmales Feld ausgespart, in welchem ein Wellenband umläuft.

Der glatte Umbruch vom Hals in die Schulter könnte möglicherweise ein Indiz für eine entwicklungstypologisch frühe Ausprägung milesischer Amphoren sein, sind doch die archaischen Typenvarianten meist durch eine Akzentuierung (konkave Einziehung, Ringwulst, plastischer Falz) dieser Stelle am Gefäßkörper gekennzeichnet.

Lit. Seifert 2004, 13–16

2. Hälfte 8./1. Hälfte 7. Jh. v. Chr.



Abb. 48: Kat 26

### Kat 27

#### (Sub)Geometrische Amphore (Abb. 49)

Wandfragment X369 (80K08-4: Felsbarre Nordwestabhang, Bettung ältestes Straßenpflaster Nordwestweg)

H 4,6; B 5,9; WSt 0,5; Dm max. erhalten außen 9,6, 16 %

T: 5YR 7/6 rötlich gelb, hart, feinporös, wenige feine graue Partikel, Glimmer; OF: 5YR 8/4 pink, glatt; Bemalung außen: 5YR 3/2 dunkel rötlich braun, matt glänzend, streifig

Lokale Feinkeramik

Steil-konisch ausgestellter Hals eines großen geschlossenen Gefäßes

Im unteren Halsbereich läuft ein breites Band um, oberhalb davon ist ein Wellenband aufgemalt.

Lit. Seifert 2004, 13–16

2. Hälfte 8./1. Hälfte 7. Jh. v. Chr.



Abb. 49: Kat 27

### Kat 28

#### Subgeometrische Amphore milesischen Typs (Abb. 50)

Randfragment mit Henkelansatz N452 (78K01: Felsbarre Älterer Peribolos, Bauzeit/Nutzung Ältere Peribolosmauer Ma 312)

H 6,8; B 4,5; WSt 0,5; Dm 14, 6 %

T: 7.5YR 7/4 pink, hart, feinporös, wenige feine weiße und dunkle Partikel, Glimmer; OF: 10YR 8/4 sehr blass braun; Ü außen: 10YR 4/2 dunkel gräulich braun, matt, streifig

Hellbraune Ware – Firnisware

Über einer Einschnürung trichterförmig ausgestellter Hals eines großen geschlossenen Gefäßes mit leicht bauchiger Kontur, Ansatz des vertikalen Bandhenkels und leicht kantig abgesetztem, mandelförmig verdicktem Rand mit verjüngter Lippe; das Gefäß ist durch den Henkelansatz etwas verdrückt.

Die Gefäßaußenseite ist bis auf ein tongrundig ausgespartes Feld auf dem Hals flächig bemalt; im Halsfeld ist ein schmales und flach geführtes Wellenband aufgemalt.

Die Randmorphologie steht noch einer Gruppe von spät- bis subgeometrischen Amphoren mit kantig bis dreieckig verdickten Rändern nahe (Kleine 1979, 141 Nr. 6 Abb. 13 Taf. 33, 1; Kerschner 1999, 26 Abb. 14, 68; Seifert 2004, 14: Gruppe 4 a. b).

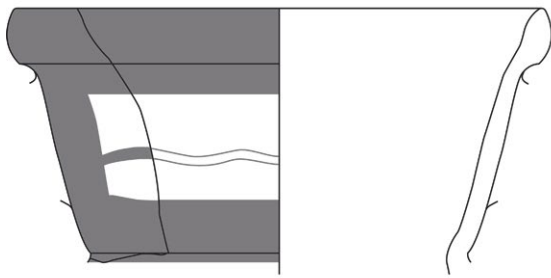


Abb. 50: Kat 28

### Kat 29

#### Subgeometrische Amphore milesischen Typs (Abb. 51)

Randfragment C499 (84K15-10: Felsbarre Westbeckenanlage, Laufhorizont Kl. Westbecken)

H 2,6; B 7,5; WSt 0,55; Dm 15, 17 %

T: 5YR 8/4 pink, hart, feinporös, wenige feine rote Partikel, viele feine Kalkpartikel, Glimmer; Ü: cremeweiß, matt; Bemalung außen: 7.5YR 4/1 dunkel grau, matt, verrieben, changiert fleckig ins Orange (5YR 7/6)

Firnisware

Geschlossenes Gefäß mit weit trichterförmig ausgestelltem Hals und davon abgesetztem, annähernd dreieckig verdicktem Rand

Die Oberfläche ist auf beiden Seiten mit einem hellen Malgrund versehen, darüber ist außen eine flächige Bemalung aufgetragen, von der nur ein schmales Band auf der Randaußenkante ausgespart bleibt.

Die Randmorphologie steht einer milesischen Typenvariante mit annähernd dreieckig verdickten Rändern nahe (Kleine 1979, 141 Nr. 6 Abb. 13 Taf. 33, 1; Kerschner 1999, 26 Abb. 14, 68; Seifert 2004, 14: Gruppe 4 a. b).

Publ. Schattner 2007, 96 Nr. Am B1.7 Abb. 35

2./3. Viertel 7. Jh. v. Chr.



Abb. 51: Kat 29

### Kat 30

#### Geometrische Amphore/Kanne mit runder Mündung (Abb. 52)

Randfragment N451b (78K01: Felsbarre Älterer Peribolos, Bauzeit/Nutzung Ältere Peribolosmauer Ma 312)

H 1,6; B 2,7; WSt 0,45; Dm 13,6, 5 %

T: 10YR 8/4 sehr blass braun, hart, feinporös, wenig Glimmer; OF: 10YR 8/3 sehr blass braun; Bemalung: 10YR 4/1 dunkel grau, matt

Feine Hellbraune Ware – geometrische Keramik

Trichterförmig ausgestellter Hals mit wulstig verdicktem Rand eines geschlossenen Gefäßes

Im Inneren ist ein breites Lippenband aufgemalt; von der flächigen Bemalung der Außenseite bleibt ein breites Lippenband tongrundig ausgespart, auf welches vertikale Balken gemalt sind.

Publ. Schattner 2007, 176 Nr. S B15.1 Abb. 58 (fälschlicherweise mit **Kat 77** zu einer Schüssel ergänzt)

Lit. von Miller 2019, 156–158. 320. 355

750–670 v. Chr.



Abb. 52: Kat 30

### Kat 31

#### Geometrische Amphore (Abb. 53)

Wandfragment Y2297 (81K03-10: Felsbarre Oikos P, Einplanierung)

H 4,2; B 3,3; WSt 0,7; Dm Halsansatz 9,6, 10 %

T: 10YR 7/4 sehr blass braun, hart, feinporös, Glimmer; OF innen: 10YR 8/3 sehr blass braun; Ü außen: cremeweiß, matt, verrieben; Bemalung außen: 10YR 3/1 sehr dunkel grau, matt, etwas verrieben

Geometrische Keramik

Konisch ausgestellter Hals eines großen geschlossenen Gefäßes

Die Gefäßaußenseite ist mit einem hellen Malgrund versehen, ein breites Band umfasst den Halsansatz; oberhalb davon zeigen sich die Ausschnitte aus zwei Bildfeldern, die von zwei vertikalen Balken voneinander abgegrenzt sind: im rechten Bildfeld hat sich ein Teil des Unterköpers eines Mäanderbaums erhalten, die Bemalung im linken Bildfeld lässt sich zu einem Mäandermotiv ergänzen.

Die Motive gehören zum charakteristischen Dekorrepertoire der nordionischen Vogelkotylen der Typen 4–6 (Kerschner 1995, 13–15; Kaiser – von Miller 2023, 504–506).

750/730–670 v. Chr.

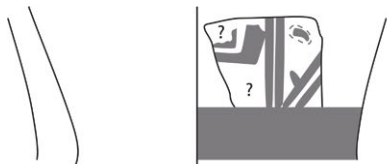


Abb. 53: Kat 31

### Kat 32

#### Geometrische Amphore (Abb. 54)

Wandfragment Ke96073 (96K13: Felsbarre Nordwestmauern, Einplanierung für hellenistischen Terrassenbau)

H 2,1; B 3,4; WSt 0,65; Dm max. erhalten außen 24,2, 4 %

T: 5YR 8/4 pink, hart, feinporös, feine weiße und graue Partikel, Glimmer; OF innen: 7.5YR 8/4 pink; Ü außen: cremeweiß, matt, verrieben; Bemalung außen: 7.5YR 3/1 sehr dunkel grau, matt, verrieben

Geometrische Keramik

Konvex gewölbtes Schulterfragment eines großen geschlossenen Gefäßes

Die Gefäßaußenseite ist mit einem hellen Malgrund versehen, darauf ist ein nach unten von zwei Bändern begrenzter Schmetterlingsmetopenfries gemalt.

Schmetterlingsmetopenfriese gehören zum Standard-Dekorrepertoire der nordionischen Vogelschalenwerkstatt (Vogelkotylen: Kerschner 1995, 11–15; von Miller 2019, 70–75. 312. 333 f.; Kaiser – von Miller 2023, 504–506; Kratere: Özkan 2009, 59 f. [= İren – Ünlü 2012, 311. 319 Nr. 1 Abb. 3. 29–31.]; Vogelkannen: von Miller 2019, 158–160. 320 f. 355).

750–670 v. Chr.



Abb. 54: Kat 32

### Kat 33

#### (Sub)Geometrische Amphore (Abb. 55)

Wandfragment Ke96103 (96K14: Felsbarre Nordwestmauern, Einplanierung für hellenistischen Terrassenbau)

H 1,8; B 3,9; WSt 0,6; Dm max. erhalten außen 24, 4,5 %

T: 7.5YR 8/4 pink, hart, feinporös, vereinzelt grobe rote Einschlüsse, feiner Glimmer; OF: 10YR 8/3 sehr blass braun; Bemalung außen: schwarz bis 5YR 5/4 rötlich braun, matt, verrieben

(Sub)Geometrische Keramik

Gewölbte Schulter eines großen geschlossenen Gefäßes

Eine Abfolge aus Reifen und Bändern rahmt einen Ornamentfries mit Wellenband.

Das Fragment dürfte zu einer hohen und schlanken Amphore zu ergänzen sein, die zum Repertoire der milesisch-subgeometrischen Keramikproduktion zählt (von Graeve 1973/1974, 91 Nr. 16 Taf. 19; von Graeve 1975, 42. 45 Nr. 1. 9 Taf. 3. 4; Kleine 1979, 141 f. Nr. 9 Taf. 33, 3. 4; Kerschner 1999, 26 Abb. 14, 61–63; Kalaitzoglou 2008, 421 Nr. 595. 596 Taf. 129. 130). Ein unmittelbares Parallelgefäß mit vergleichbarer Bänderung und Wellenbandzier entstammt der subgeometrischen Brand- und Zerstörungsschicht im sog. Südschnitt in Milet (von Graeve 1975, 56 Nr. 69 Abb. 36 Taf. 12).

Lit. Kalaitzoglou 2008, 224–226; Kerschner 1999, 26

Spätes 8./1. Hälfte 7. Jh. v. Chr.

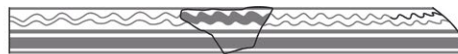


Abb. 55: Kat 33

### Kat 34

#### Subgeometrische Amphore (Abb. 56)

Wandfragment C489 (84K15-10: Felsbarre Westbeckenanlage, Laufhorizont Kl. Westbecken)

H 3,8; B 3,2; WSt 0,65; Dm max. erhalten außen 22, 4 %

T: 5YR 6/6 rötlich gelb, hart, feinporös, wenige feine helle und graue Partikel, Glimmer; OF innen: 5YR 7/6 rötlich gelb; Ü außen: cremeweiß, matt; Bemalung außen: 2.5YR 5/6 rot, matt

Hellbraune Ware – subgeometrische Keramik

Steil-konvexes Fragment vom Oberbauch eines großen geschlossenen Gefäßes

Die Außenseite ist mit einem hellen Malgrund versehen, darüber ist ornamentaler Dekor in zwei Registern aufgemalt, die von umlaufenden Bändern abgegrenzt werden. Im oberen Fries hat sich ein Wellenband erhalten, im unteren Fries ein mit der Kammbürste aufgetragener Punktdekor in mindestens zwei Reihen.

Das Fragment lässt sich zu einer schlanken Amphorenform ergänzen, die in subgeometrischen Befundkontexten in Milet (von Graeve 1973/1974, 91 Nr. 16 Taf. 19; von Graeve 1975, 42. 45. 56 Abb. 36 Taf. 3, 1; 4, 9; 12, 69; Kleine 1979, 141 f. Taf. 33, 3. 4; Kerschner 1999, 26 f. Abb. 14, 61–63) und in Assesos (Kalaitzoglou 2008, 421 Nr. 595. 596 Taf. 129. 130) bereits mehrfach angetroffen wurde. Ein dekortypologisch unmittelbar vergleichbares Stück ist aus Didyma vorgelegt (Wintermeyer 1980, 127 Nr. 22 Taf. 51). Der punktierte Kammbürstendekor ist außerdem von den milesischen sog. Punktmetopenkotylen (Kerschner 1995, 10; von Miller 2019, 66 f.) bekannt, die auch in Didyma bereits nachgewiesen wurden (Tuchelt 1973/1974, 149 Nr. 4bis Taf. 47).

Lit. Kerschner 1999, 26; Kalaitzoglou 2008, 224–226

Letztes Drittel 8./1. Hälfte 7. Jh. v. Chr.

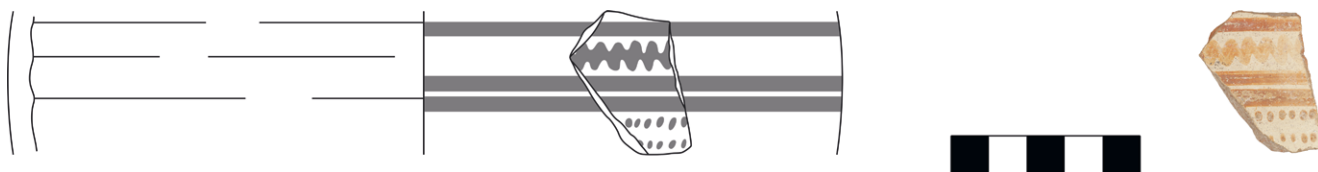


Abb. 56: Kat 34

### Kat 35

#### Geometrische Bauchhenkelamphore/Hydria (Abb. 57)

Wandfragment mit Henkel L295 (77K04-12: Felsbarre Nordwestabhang, Deponierung 2)

H 5,2; B 9,6; WSt 0,6; Dm max. erhalten innen 24,95 %

T: 5YR 8/4 pink, hart, feinporös, wenige feine helle und dunkle Partikel, Glimmer; OF außen: 10YR 8/3 sehr blass braun; OF innen: 7.5YR 8/4 pink; Bemalung außen: 7.5YR 3/1 sehr dunkel grau, matt, verrieben

Geometrische Keramik

Fragment vom Oberbauch eines großen geschlossenen Gefäßes mit einem rundstabigen Horizontalhenkel

Zwei Bänder umfassen den Gefäßkörper unterhalb des Henkels, der mit einer regelmäßig aufgemalten Reihe von strahlenförmig zugespitzten, senkrechten Balken verziert ist.

Lit. von Miller 2019, 179–181

8. Jh. v. Chr.

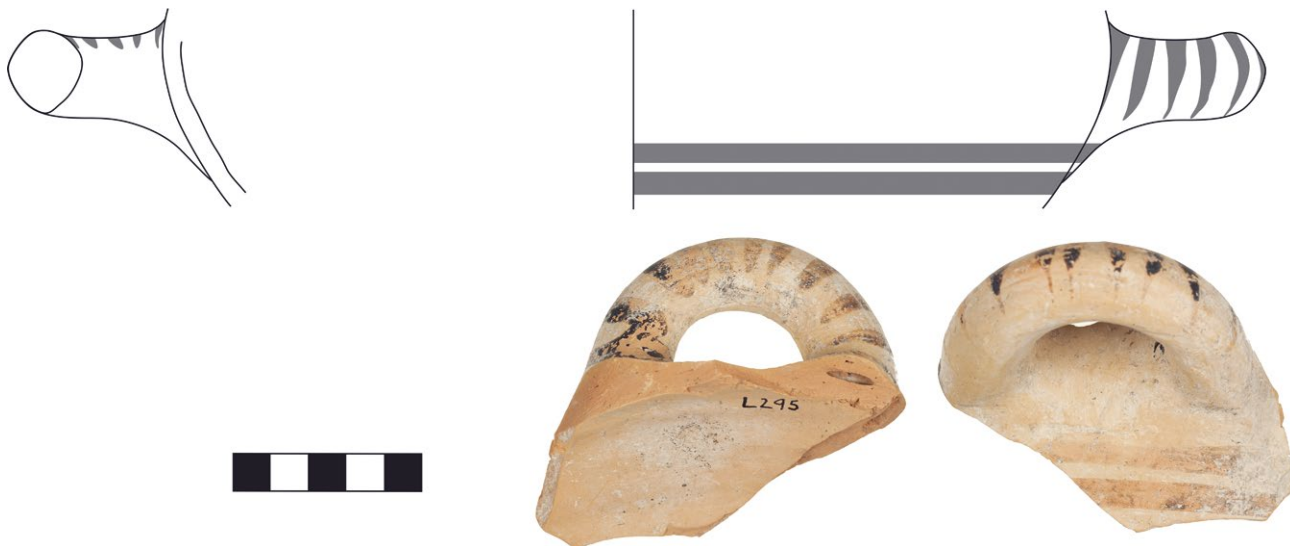


Abb. 57: Kat 35

### Kat 36

#### (Sub)Geometrische Bauchhenkelamphore/Hydria (Abb. 58)

Wandfragment mit Henkelansatz WA166 (90K20-5: südwestlich der Felsbarre, nacharchaische Planierung)

H 5,5; B 11,2; WSt 0,9

T: 5YR 7/4 pink, hart, feinporös, feine helle und graue Partikel, Glimmer; OF innen: 7.5YR 8/4 pink; Ü außen: cremeweiß, matt; Bemalung außen: 5YR 3/3 dunkel rötlich braun, matt, etwas verrieben

## Hellbraune Ware – (sub)geometrische Keramik

Steil-konvex gewölbtes Fragment vom Oberbauch eines großen geschlossenen Gefäßes mit Ansatz eines rundstabilen Horizontalhenkels

Die Gefäßaußenseite ist mit einem hellen Malgrund versehen; auf der Henkelvorderseite läuft ein von zwei Streifen gerahmtes Band um, das mit Bündeln von je drei vertikalen Streifen bemalt ist.

Ein vergleichbares Henkeldekorband ist in Ephesos von einem Krater bekannt, dessen Herkunft anhand petrographischer Analysen tendenziell in der Region des nördlichen Ioniens bzw. der Äolis verortet werden kann (von Miller 2019, 395 f. Nr. 2454 Taf. 207).

Lit. von Miller 2019, 179–181

2. Hälfte 8./1. Viertel 7. Jh. v. Chr.

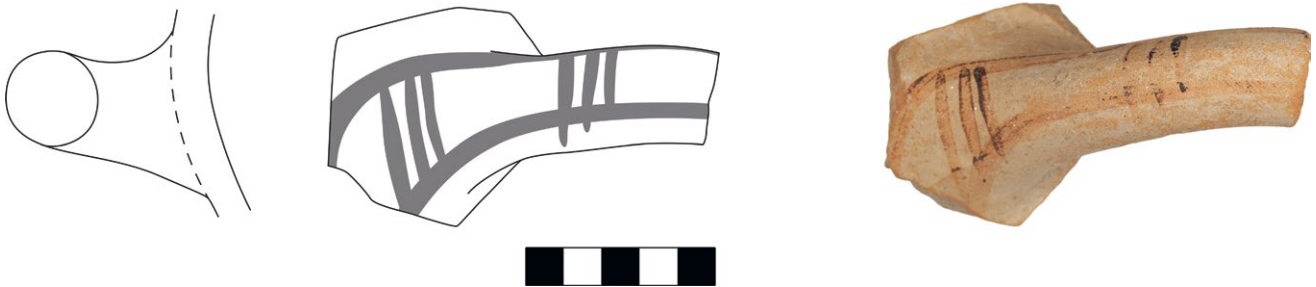


Abb. 58: Kat 36

## Kat 37

### (Sub)Geometrische Amphore (Abb. 59)

Henkelfragment WA54 (90K20-5: südwestlich der Felsbarre, nacharchaische Planierung)

L 3,6; B 3,25; WSt 1,2

T: 10YR 6/2 leicht bräunlich grau, mittelhart, mittelporös, feine Kalkpseudomorphosen und dunkle Partikel, Glimmer; OF: 10YR 8/3 sehr blass braun; Bemalung: 10YR 3/2 sehr dunkel gräulich braun, matt, verrieben

Schieferige sandige Ware – (sub)geometrische Keramik

Fragment vom ovalstabilen Vertikalhenkel wohl eines geschlossenen Gefäßes

Auf die Henkelvorderseite ist ein linearer Dekor aus sich überkreuzenden vertikalen, horizontalen und schrägen Streifen gemalt.

Das Henkelmotiv ist auf Samos von mittelgeometrischen Kannen bekannt (Walter 1968, 28. 96 Nr. 84. 96 Taf. 16) und findet sich überdies als Bildmotiv in samischen Metopendekoren (Technau 1929, 15 Beil 7, 1; 19 Abb. 11).

8./frühes 7. Jh. v. Chr.



Abb. 59: Kat 37

## Kat 38

### Spätgeometrische Kanne (mit Kleeblattmündung?) (Abb. 60)

Wandfragment 00K26-16-9 (00K26-16: Felsbarre Nordwestmauern, Bauzeit Mauer Ma 583)

H 3; B 3; WSt 0,3; Dm Halsansatz 7,6, 10 %

T: 10YR 8/4 sehr blass braun, hart, feinporös, feine helle Partikel, Glimmer; OF innen: 10YR 8/3 sehr blass braun; Ü außen: cremeweiß, matt; Bemalung außen: schwarz, matt, etwas verrieben

Hellbraune Ware – spätgeometrische Keramik

Leicht ausgestelltes Halsfragment eines geschlossenen Gefäßes mit Ansatz der Schulter

Auf dem über einem hellen Malgrund großflächig bemalten Hals zeichnet sich ein von zwei horizontalen Streifen begrenztes Dekorfeld ab.

Ein gut erhaltenes Vergleichsstück einer Kanne mit Kleeblattmündung ist in Milet aus einer spätgeometrischen Brandschicht beim Athenatempel bekannt (Hommel 1959/1960, 57 Nr. 1 Taf. 58), ein weiteres mit runder Mündung stammt aus einem den spätgeometrischen Ovalbauten zugeordneten Pithos im sog. Südschnitt an der hellenistischen Stadtmauer (von Graeve 1973/1974, 71. 90 Nr. 9 Taf. 18).

Lit. von Miller 2019, 156 f.

2. Hälfte 8. Jh. v. Chr.



Abb. 60: Kat 38

### Kat 39

**(Sub)Geometrische Kanne** (Abb. 61)

Bodenfragment 80K16-8-7 (80K16-8: Felsbarre Nordwestmauern, Bau/Einplanung westlicher Vorplatz)

H 2,5; B 6,1; WSt 0,45; Dm außen 6,8, 21 %

T: 10YR 8/4 sehr blass braun, hart, feinporös, wenig Glimmer; OF außen: 10YR 8/4 sehr blass braun; OF innen: 10YR 8/3 sehr blass braun, vollständig verrieben; Ü außen: 10YR 3/2 sehr dunkel gräulich braun, matt, verrieben

Hellbraune Ware – Firnisware

Geschlossenes Gefäß mit niedrigem, kantigem Standring und Ansatz des schlanken Gefäßbauchs mit konvexer Wandkontur

Die Gefäßaußenseite ist von einem Überzug bedeckt.

Lit. von Miller 2019, 156 f. 320. 355

8./1. Hälfte 7. Jh. v. Chr.



Abb. 61: Kat 39

### Kat 40

**Spät-/subgeometrische Kanne** (Abb. 62)

Wandfragment N470 (78K01: Felsbarre Älterer Peribolos, Bauzeit/Nutzung Ältere Peribolosmauer Ma 312)

H 1,7; B 2,6; WSt 0,4

T: 5YR 7/4 pink, hart, feinporös, Glimmer; OF außen: 7.5YR 8/4 pink; Bemalung außen: 5YR 3/3 dunkel rötlich braun, matt; OF innen: 5YR 8/3 pink

Feine Hellbraune Ware – (sub)geometrische Keramik

Konvex gewölbte Schulter eines geschlossenen Gefäßes

Es hat sich der Ausschnitt aus einer nach oben hin von einem Band oder einer bemalten Zone begrenzten Dekorzone erhalten, die den Teil eines doppelt geführten Zickzackbandes zeigt.

Vergleichbare Zick-Zack-Bänder sind von den spät- bis subgeometrischen Zickzackbandkotylen (Özgünel 1978, 23 Abb. 26–29 Taf. 3, 4; Kerschner 1995, 9; Özgünel 2003, Taf. 13, 4–7; Ersoy 2004, 46 f. Abb. 3 h; 4 d; 5 d; Kaiser – von Miller 2023, 504, 514 f. Nr. VsW 4, VsW 5 Taf. 138, 239) sowie von milesischen (Knickrand)Skyphoi (Kleiner 1959/1960, 94 Nr. 7 a–c Taf. 79; von Graeve 1975, 51 Nr. 44 Abb. 18 Taf. 9; Schlotzhauer 2014, 490 Nr. 48 Taf. 8; 492 Nr. 58 Taf. 10; 493 Nr. 65 Taf. 11; **Kat 92**) bekannt. In Ephesos ist der Dekor von einem Trinkgefäß bekannt, bei dem es sich wohl um einen Kantharos gehandelt haben dürfte (M. Kerschner in: von Miller 2019, 340 f. Nr. 2504 Taf. 213 Phototaf. 24).

Lit. von Miller 2019, 157 f. 355

750–670/650 v. Chr.



Abb. 62: Kat 40

### Kat 41

#### Spät-/subgeometrische Kanne (Abb. 63)

Wandfragment 89K26-5-6 (89K26-5: nördliche Straßensondage Son 89/7, Bettungshorizont ältestes Straßenpflaster)

H 3,5; B 5,2; WSt 0,35; Dm max. erhalten außen 12, 11 %

T: 2.5YR 6/4 leicht rötlich braun, hart, feinporös, feine helle und wenige feine bis mittlere graue Partikel, Glimmer; OF: 7.5YR 8/4 pink, innen stark verrieben; Bemalung außen: 2.5YR 5/6 rot, matt

Hellbraune Ware – spät-/subgeometrische Feinkeramik

Steil-konvexes Bauchfragment vom schlanken Oberbauch eines geschlossenen Gefäßes

Auf die Gefäßaußenseite sind sechs schmale Bänder gemalt, über denen am Oberbauch eine Dekorzone anschließt, in der ein doppelt geführtes, hohes Zick-Zack-Band verläuft.

Vergleichbare Zick-Zack-Bänder sind von den spät- bis subgeometrischen Zickzackbandkotylen (Özgünel 1978, 23 Abb. 26–29 Taf. 3, 4; Kerschner 1995, 9; Özgünel 2003, Taf. 13, 4–7; Ersoy 2004, 46 f. Abb. 3 h; 4 d; 5 d; Kaiser – von Miller 2023, 504, 514 f. Nr. VsW 4, VsW 5 Taf. 138, 239) sowie von milesischen (Knickrand)Skyphoi (Kleiner 1959/1960, 94 Nr. 7 a–c Taf. 79; von Graeve 1975, 51 Nr. 44 Abb. 18 Taf. 9; Schlotzhauer 2014, 490 Nr. 48 Taf. 8; 492 Nr. 58 Taf. 10; 493 Nr. 65 Taf. 11; **Kat 92**) bekannt. In Ephesos findet sich der Dekor auf einem Trinkgefäß, bei dem es sich wohl um einen Kantharos gehandelt haben dürfte (M. Kerschner in: von Miller 2019, 340 f. Nr. 2504 Taf. 213 Phototaf. 24).

Publ. von Miller 2024, Kat 48

750–670/650 v. Chr.



Abb. 63: Kat 41

## Kat 42

### (Sub)Geometrische Kanne (Abb. 64)

Randfragment mit Henkelansatz C670 (84K15-12: Felsbarre Westbeckenanlage, Bauzeit Laufhorizont Kl. Westbecken)

H ca. 1,5; B 3,9; WSt 0,3

T: 7.5YR 6/4 leicht braun, hart, feinporös, wenige feine helle Partikel, Glimmer; OF: 10YR 8/3 sehr blass braun; Bemalung außen: 7.5YR 4/2–5/3 braun, matt

Hellbraune Ware – (sub)geometrische Keramik

Zu dem randständigen Ansatz eines vertikalen Bandhenkels hin weit ausgebogener, tropfenförmig verdickter Rand eines geschlossenen Gefäßes

Auf der Randinnenkante läuft ein unregelmäßiges Lippenband um, die Henkelaußenseite ist in Felder mit Andreaskreuzen unterteilt.

Vergleichbare Henkeldekore sind für spät- bis subgeometrische Gefäße in Ephesos (von Miller 2019, 111 Nr. 133 Taf. 13) und Samos (Technau 1929, 14 Nr. 1 Beil. 5; Eilmann 1933, 103 Beil. 31, 11; Walter 1968, 100 f. Nr. 160. 164 Taf. 31) zahlreich belegt.

750–700/670 v. Chr.

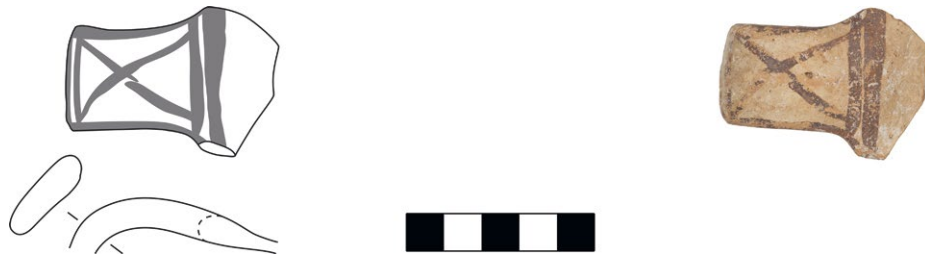


Abb. 64: Kat 42

## Kat 43

### Spät-/subgeometrisches Kännchen (Abb. 65)

Randfragment und Wandfragment mit Henkelansatz 90K20-5-16 (90K20-5: südwestlich der Felsbarre, nacharchaische Planierung)

H 2,6+6,3; B 2,3+5,4; WSt 0,3; Dm Rand 6, 12 %; Dm max. erhalten innen 7,8, 22 %

T: 5YR 7/6 rötlich gelb, hart feinporös, feine dunkle Partikel, Glimmer; OF innen: 7.5YR 8/4 pink; OF außen: 7.5YR 8/3 pink; Ü außen: 2.5YR 5/6 rot, matt, etwas verreiben

Hellbraune Ware – Firnisware

Kleines geschlossenes Gefäß mit weich, S-förmig profiliertem Konturverlauf vom kräftig gewölbten Körper in den leicht ausschwingenden Rand mit glatter Lippe; an der weitesten Stelle des Gefäßbauches ist der Ansatz eines vertikalen Bandhenkels erkennbar.

Das Gefäß ist außenseitig mit einem flächigen Überzug versehen, von dem ein breites tongrundiges Lippenband ausgespart bleibt.

Lit. von Miller 2019, 152–154. 354 f.; von Miller 2023a, 81

Spätes 8.–Mitte 7. Jh. v. Chr.

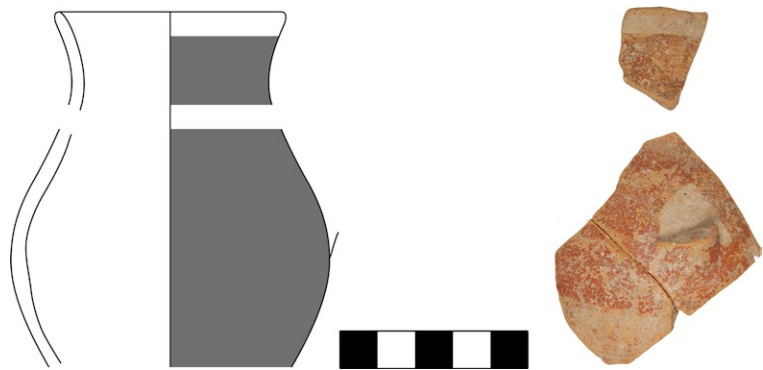


Abb. 65: Kat 43

#### Kat 44

##### Spät-/subgeometrisches Kannchen (Abb. 66)

Randfragment mit Henkel 00K26-8-12 (00K26-8: Felsbarre Nordwestmauern, Zerstörungshorizont)

H 4,7; B 2,2; WSt 0,3; Dm max. erhalten innen 7,9 %

T: 10YR 7/2 leicht grau, hart, feinporös, feine helle Partikel Glimmer; OF: 10YR 8/1 weiß; Bemalung innen/Ü außen: 2.5Y 4/1 leicht grau, matt, verrieben

Hellbraune Ware – Firnisware

Ausschwingender Rand eines kleinen geschlossenen Gefäßes mit randständigem, vertikalem Bandhenkel

Die Henkelaußenseite ist bemalt, im Inneren läuft ein Lippenband um.

Lit. von Miller 2019, 152–154. 354 f.; von Miller 2023a, 81

Spätes 8.–Mitte 7. Jh. v. Chr.



Abb. 66: Kat 44

#### Kat 45

##### Spät-/subgeometrisches Kannchen (Abb. 67)

Randfragment 77K32-3-3 (77K32-3: Felsbarre Älterer Peribolos, Bauzeit/Nutzung Ältere Peribolosmauer Ma 312)

H 2,9; B 2,6; WSt 0,3; Dm max. erhalten außen 4,8, 17 %

T: 5YR 8/4 pink, hart, feinporös, Glimmer; OF: 5YR 8/3 pink; Ü außen: 5YR 3/2 dunkel rötlich braun, matt, streifig

Feine Hellbraune Ware – Firnisware

Kleines geschlossenes Gefäß mit konkav einziehendem Hals und ausschwingendem Rand mit glatt gerundeter Lippe

Von dem Überzug der Außenseite bleibt ein tongrundiges Lippenband ausgespart.

Lit. von Miller 2019, 152–154. 354 f.; von Miller 2023a, 81

Spätes 8.–Mitte 7. Jh. v. Chr.



Abb. 67: Kat 45

#### Kat 46

##### Spät-/subgeometrisches Kännchen (Abb. 68)

Randfragment mit Henkelansatz 78K01-5-10 (78K01-5: Felsbarre Älterer Peribolos, Bauzeit/Nutzung Ältere Peribolosmauer Ma 312)

H 2,8; B 3,3; WSt 0,3; Dm max. erhalten außen 4,6, 26 %

T: 2.5YR 7/6 leicht rot, sehr hart, feinporös, Goldglimmer; OF: 7.5YR 8/3 pink; Ü außen/Bemalung innen: 2.5YR 6/4 leicht rötlich braun, matt

Feine Hellbraune Ware – Firnisware

Trichterförmig ausschwingender Hals eines kleinen geschlossenen Gefäßes mit glatt verjüngtem Rand und über-  
randständigem Ansatz eines vertikalen Bandhenkels; auf der Gefäßoberfläche haftet korrodiertes Eisen an.

Die Außenseite ist bis auf ein breites, tongrundig ausgespartes Lippenband mit einem Überzug versehen, im Inneren ist ein breites Lippenband aufgemalt.

Lit. von Miller 2019, 152–154. 354 f.; von Miller 2023a, 81

Spätes 8.–Mitte 7. Jh. v. Chr.



Abb. 68: Kat 46

#### Kat 47

##### Spät-/subgeometrisches Kännchen (Abb. 69)

Randfragment mit Henkelansatz 96K14-11 (96K14: Felsbarre Nordwestmauern, Einplanierung für hellenistischen Terrassenbau)

H 1,8; B 3,7; WSt 0,35; Dm 6,2, 18 %

T: 7.5YR 6/4 leicht braun, hart, feinporös, Glimmer; OF innen: 7.5YR 8/3 pink; Bemalung innen/Ü außen: 7.5YR 6/3 leicht braun, matt

Feine Hellbraune Ware – Firnisware

Leicht ausschwingender Rand eines kleinen geschlossenen Gefäßes mit glatt verjüngter Lippe und randständigem Ansatz des Vertikalhenkels

Die flächige Bemalung der Außenseite greift als schmales Lippenband auf das Innere über.

Lit. von Miller 2019, 152–154. 354 f.; von Miller 2023a, 81

Spätes 8.–Mitte 7. Jh. v. Chr.



Abb. 69: Kat 47

#### Kat 48

##### Spät-/subgeometrisches Kännchen (Abb. 70)

Randfragment mit Henkelansatz 80K16-11-2 (80K16-11: Felsbarre Nordwestmauern, Nutzung/Einplanierung westlicher Vorplatz)

H 2,3; B 4,5; WSt 0,4; Dm ca. 7, 21 %

T: 10YR 8/4 sehr blass braun, hart, feinporös, wenige feine dunkle Partikel, Glimmer; OF innen: 10YR 8/3 sehr blass braun; Bemalung innen/Ü außen: 10YR 4/1 dunkel grau, matt, streifig

Hellbraune Ware – Firnisware

Weit ausschwingender Rand mit leicht konkaver Kontur und glatt gerundeter Lippe eines kleinen geschlossenen Gefäßes; erkennbar ist der Ansatz eines randständigen Vertikalhenkels.

Die flächige Bemalung der Außenseite greift als schmales Lippenband auf die Innenseite über.

Lit. von Miller 2019, 152–154. 354 f.; von Miller 2023a, 81

Spätes 8.–Mitte 7. Jh. v. Chr.



Abb. 70: Kat 48

#### Kat 49

##### Spät-/subgeometrisches Kännchen (Abb. 71)

Wandfragment 77K32-1-5 (77K32-1: Felsbarre Älterer Peribolos, Bauzeit/Nutzung Ältere Peribolosmauer Ma 312)

H 4,7; B 3,6; WSt 0,4; Dm max. erhalten außen 8,2, 9 %

T: 7.5YR 7/4 pink, hart, feinporös, vereinzelt mittlere weiße und feine dunkle Partikel, Glimmer; OF: 10YR 8/3 sehr blass braun; Ü außen: 10YR 3/2 sehr dunkel gräulich braun, matt, verrieben

Hellbraune Ware – Firnisware

Kleines geschlossenes Gefäß, zieht zum Boden hin stark ein

Auf der flächig bemalten Gefäßaußenseite bleibt ein schmales Band um den Schulter-Bauch-Umbruch tongrundig ausgespart.

Lit. von Miller 2019, 152–154. 354 f.; von Miller 2023a, 81

Spätes 8.–Mitte 7. Jh. v. Chr.

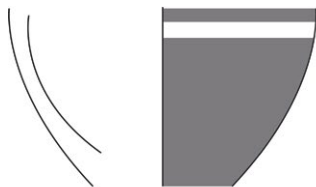


Abb. 71: Kat 49

#### Kat 50

##### Spät-/subgeometrisches Kännchen (Abb. 72)

Wandfragment 78K01-1-6 (78K01-1: Felsbarre Älterer Peribolos, Bauzeit/Nutzung Ältere Peribolosmauer Ma 312)

H 3,8; B 4,6; WSt 0,5; Dm max. erhalten außen 8,8, 14 %

T: 2.5Y 8/2 blass gelb, hart, feinporös, Glimmer; OF: 2.5Y 8/3 blass gelb; Ü außen: 2.5Y 5/1 grau, matt, streifig verrieben

Feine Hellbraune Ware – Firnisware

S-förmig geschwungener Bauch-Schulter-Umbruch eines kleinen geschlossenen Gefäßes

Von dem Gefäßüberzug auf der Außenseite bleibt ein schmales tongrundiges Band auf dem Schulter-Bauch-Umbruch ausgespart.

Lit. von Miller 2019, 152–154. 354 f.; von Miller 2023a, 81

Spätes 8.–Mitte 7. Jh. v. Chr.



Abb. 72: Kat 50

### Kat 51

#### Spät-/subgeometrisches Kännchen (Abb. 73)

Wandfragment 96K14-13 (96K14: Felsbarre Nordwestmauern, Einplanierung für hellenistischen Terrassenbau)

H 3,7; B 3,4; WSt 0,5; Dm max. erhalten außen 8,6, 13 %

T: 5YR 7/3 pink, sehr hart, feinporös, feine helle und graue Partikel, Glimmer; OF: 5YR 7/2 pinklich grau; Ü außen: 5YR 6/1 grau, matt

Hellbraune Ware – Firnisware

Kleines geschlossenes Gefäß mit ovalem Gefäßbauch mit steil-konvexer Kontur

Von dem Überzug, der die Außenseite bedeckt, bleibt ein schmales tongrundiges Band am Schulter-Bauch-Umbruch ausgespart.

Lit. von Miller 2019, 152–154. 354 f.; von Miller 2023a, 81

Spätes 8.–Mitte 7. Jh. v. Chr.



Abb. 73: Kat 51

### Kat 52

#### Spät-/subgeometrisches Kännchen (Abb. 74)

Wandfragment 00K26-8-11 (00K26-8: Felsbarre Nordwestmauern, Zerstörungshorizont)

H 3,6; B 4,1; WSt 0,3; Dm max. erhalten außen 8,8, 18 %

T: 7.5YR 7/4 pink, hart, feinporös, wenige feine helle und dunkle Partikel, Glimmer; OF: 10YR 8/2 sehr blass braun; Ü außen: 7.5YR 3/2 dunkel braun, matt, verrieben

Hellbraune Ware – Firnisware

Fragment vom kugeligem Gefäßbauch eines kleinen geschlossenen Gefäßes

Bis auf ein tongrundig ausgespartes Band auf mittlerer Höhe des Gefäßkörpers ist die Außenseite mit einem Überzug versehen.

Lit. von Miller 2019, 152–154. 354 f.; von Miller 2023a, 81

Spätes 8.–Mitte 7. Jh. v. Chr.



Abb. 74: Kat 52

### Kat 53

#### Geometrischer Krater (Abb. 75)

Wandfragment V107 (75K40d: Felsbarre Nordwestabhang, Deponierung 1)

H 3,4; B 5,5; WSt 0,55; Dm max. erhalten außen ca. 50, 3 %

T: 5YR 7/4 pink, hart, mittelporös, feine bis mittlere helle und dunkle Partikel, Glimmer; OF außen: 5YR 8/3 pink; OF innen: ca. 5YR 7/4 pink; Bemalung außen: 2.5YR 4/2–6/4 schwach rot bis leicht rötlich braun, matt

Hellbraune Ware – geometrische Feinkeramik

Flach-konvexes Schulterfragment eines sehr großen Gefäßes, wohl eines Kraters.

Auf der Außenseite zeigt sich geometrische Dekormalerei in Form von zwei gegenständigen schraffierten Mäanderhaken, eingefasst von zwei horizontalen Bändern, einem vertikalen Balken zur Linken und einer weiteren vertikalen Haste rechts, von der aber unklar bleibt, ob es sich um einen zweiten Balken, den Ansatz eines weiteren Mäanderhakens oder aber eines anderen Dekormotivs handelt. In der Dekorzone darunter ist der schraffierte Rest wohl eines weiteren Mäanderdekors erkennbar.

Mäanderhaken gehören zum Motivschatz der geometrisch bemalten Keramik in Milet (von Graeve 1973/1974, 92 Nr. 21 Taf. 20; Kleine 1979, 141 Nr. 8 Taf. 33, 7).

Publ. Schattner 2007, 426 Nr. Geo.3 Abb. 115

Lit. von Miller 2019, 110–112. 316. 341–343

8. Jh. v. Chr.



Abb. 75: Kat 53

### Kat 54

#### (Sub)Geometrischer Krater (Abb. 76)

Wandfragment P265 (79K08-1: Felsbarre Älterer Peribolos, Bauzeit/Nutzung Ältere Peribolosmauer Ma 312)

H 4,7; B 4,4; WSt 0,7; Dm max. erhalten außen ca. 38, 3 %

T: 7.5YR 8/4 pink, hart, feinporös, wenige feine dunkle Partikel, Glimmer; OF: 7.5YR 8/3 pink; Bemalung außen: 7.5YR 3/1 sehr dunkel grau, matt

Hellbraune Ware – (sub)geometrische Keramik

Steil-konvexes Beckenfragment eines großen Gefäßes

Auf der bemalten Beckenaußenseite bleibt ein schmales tongrundiges Band ausgespart, ein dreiteiliges Bündel schmaler Bänder kennzeichnet den Übergang in die Dekorzone auf der Beckenschulter.

Lit. Panteleon 2013, 126 f.; von Miller 2019, 110–112. 316. 341–343

8./1. Hälfte 7. Jh. v. Chr.



Abb. 76: Kat 54

### Kat 55

**Spät-/subgeometrischer oder orientalisierender Krater (SiA Ib/Ic)** (Abb. 77)

Wandfragment N495 (78K01-5: Felsbarre Älterer Peribolos, Bauzeit/Nutzung Ältere Peribolosmauer Ma 312)

H 4; B 4,1; WSt 0,8

T: 5YR 6/6 rötlich gelb, hart, mittelporös, wenige feine helle und vereinzelt feine bis mittlere schwarze Partikel, Glimmer; OF: 7.5YR 8/4 pink, verrieben; Bemalung außen: 7.5YR 3/2 dunkel braun, matt

Hellbraune Ware – geometrische/orientalisierende Keramik

Gewölbtes Schulterfragment eines großen Gefäßes

Auf der Außenseite zeigen sich die Reste eines groß angelegten, schrägschraffierten Mäanderdekors.

Eine exakte Orientierung des Fragmentes ist aufgrund der schlechten Oberflächenerhaltung nicht möglich. Vergleichbare, groß angelegte Mäanderdekore sind sowohl für geometrische Gefäße denkbar als auch für solche des orientalisierenden Stils der Phasen SiA Ib/Ic (Eilmann 1933, 86 Abb. 32; Panteleon 2013, 23 f. Nr. 92 Taf. 43; 39 f. Nr. 164 Taf. 49. 50; Kaiser – von Miller 2023, 378 Nr. Ori 9 Taf. 102. 215) belegt, werden bei Letzteren allerdings mit einem hellen Malgrund kombiniert, der bei unserem Stück nicht verifizierbar ist.

Publ. Schattner 2007, 252 Nr. Kg B10.1 (= Or.7) Abb. 119 (fälschlicherweise mit InvNr. N1, N5, N7 und P718 zu einer Kanne rekonstruiert)

Lit. Kerschner – Schlotzhauer 2005, 8. 17–33; Panteleon 2013, 140–147; von Miller 2019, 110–112. 316. 341–343

730–630/610 v. Chr.



Abb. 77: Kat 55

## Kat 56

### Spät-/subgeometrischer Bügelhenkelkrater (Abb. 78)

Randfragment mit Henkelansatz 80K16-8-8 (80K16-8: Felsbarre Nordwestmauern, Bau/Einplanung westlicher Vorplatz)

H 3,2; B 5,7; WSt 0,45; Dm außen 29,5 %

T: 7.5YR 7/4 pink, hart, feinporös, wenige feine weiße Partikel, Glimmer; Ü außen: cremeweiß, matt, verrieben; Bemalung außen: 7.5YR 3/2 dunkel braun, matt; Ü innen: 7.5YR 5/3 braun, matt, dünn, streifig

Hellbraune Ware – (sub)geometrische Keramik

Keilförmig verdickter, hoher Rand mit leicht gewölbter Oberkante, außen leicht abgesetzt und innen leicht vorkragend, eines großen offenen Gefäßes; am Rand zeichnet sich der Ansatz eines randständigen (Bügel)Henkels ab.

Die Randinnenseite ist mit einem Überzug versehen, die Außenseite trägt einen hellen Malgrund. Die Randoberkante wird von einem umlaufenden Band gefasst, innerhalb dessen ein siebenteiliges Bündel schmaler Balken aufgemalt ist. Die Randaußenseite zeigt ein von einer Zick-Zack-Linie mit begleitenden Punkten eingenommenes Ornamentfeld zwischen je zwei umlaufenden Reifen im Anschluss an das bemalte Feld unterhalb des Henkelansatzes.

Lit. Panteleon 2013, 126 f.; von Miller 2019, 110–113. 316. 341–343; von Miller 2023a, 56 f.

730–670 v. Chr.



Abb. 78: Kat 56

## Kat 57

### Subgeometrischer/Orientalisierender Bügelhenkelkrater SiA Ia (Abb. 79)

Henkelfragment X960 (80K06-23: Felsbarre Nordwestmauern, Einplanung für hellenistischen Terrassenbau)

H 5,6; B 5,5; WSt 1,7

T: 7.5YR 7/3 pink, hart, mittelporös, körnig, feine helle und graue Partikel, feine Quarze, Glimmer; Ü: 10YR 8/2 sehr blass braun; Bemalung: 10YR 3/1 sehr dunkel grau, matt

Subgeometrische/orientalisierende Keramik

Fragment eines bandförmigen Vertikalhenkels

Die Oberfläche ist mit einem hellen Malgrund versehen, darauf sind von je zwei Streifen gerahmte vertikale Ornamentbänder gemalt: je ein Leiterband rahmt zur Rechten und zur Linken ein mittiges S-Hakenband (offenes Flechtband).

Lit. Kerschner – Schlotzhauer 2005, 8–16; Panteleon 2013, 73–84

Spätes 8./1. Hälfte 7. Jh. v. Chr.



Abb. 79: Kat 57

### Kat 58

#### Spät-/Subgeometrischer Halskrater Typ HK 1 (Abb. 80)

Randfragment W91 (89K24-18: nördliche Straßensondage Son 89/6F, Horizont über und innerhalb des ältesten Straßenpflasters)

H 3,8; B 4,1; WSt 0,6; Dm innen 22,4, 5 %

T: 5YR 7/6 rötlich gelb, hart, feinporös, wenige feine helle und graue Partikel, Glimmer; OF innen: 10YR 8/2 sehr blass braun; Ü außen: cremeweiß, matt, dünn; Bemalung: 5YR 4/3 rötlich braun, matt

Hellbraune Ware – spät-/subgeometrische Feinkeramik

Großes offenes Gefäß mit von der gewölbten Schulter nach außen abgeknicktem, hohem und keilförmig verdicktem Rand mit gerade nach außen abgeschrägter Oberkante

Die Gefäßaußenseite ist mit einem hellen Malgrund versehen, darauf verläuft entlang der Randaußenkante ein von zwei Bändern gefasstes, eng geführtes Wellenband. Von dem Schulterdekor hat sich mit den oberen Enden von drei vertikalen Balken und eines zugespitzten Motivs der Ausschnitt wohl aus einem Schmetterlingsmetopenfries (?) erhalten. Im Inneren läuft ein breites Lippenband um.

Ein in Form und Dekor entsprechendes Vergleichsstück stammt in Milet aus der subgeometrischen Brand- und Zerstörungsschicht im sog. Südschnitt an der hellenistischen Stadtmauer (von Graeve 1975, 45 Nr. 10 Abb. 10 Taf. 4).

Publ. Schattner 2007, 276 Nr. OrKr.1 Abb. 77; von Miller 2024, Kat 17

Lit. Panteleon 2013, 52–54; von Miller 2019, 110–112. 316. 341–343; von Miller 2023a, 56–58

730–670/650 v. Chr.

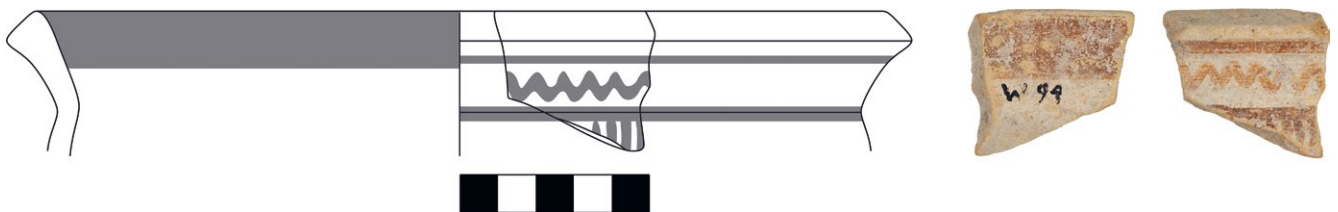


Abb. 80: Kat 58

### Kat 59

#### (Sub)Geometrischer Krater (Abb. 81)

Wandfragment L898 (77K32-1: Felsbarre Älterer Peribolos, Bauzeit/Nutzung Ältere Peribolosmauer Ma 312)

H 8,7; B 12,9; WSt 0,6; Dm max. erhalten außen 24, 17 %

T: 7.5YR 7/4 pink, hart, feinporös, wenige feine helle Partikel, Glimmer; OF außen: 7.5YR 8/4 pink; Bemalung außen: 2.5YR 4/2–4/4 schwach rot bis rötlich braun, matt; Ü innen: 2.5YR 4/3 rötlich braun, matt, abblättern

Feine Hellbraune Ware – (sub)geometrische Keramik

Beckenfragment eines großen offenen Gefäßes

Das Gefäßinnere ist mit einem Überzug versehen; außen ist der untere Beckenbereich ebenfalls bemalt, zwei umlaufende Bänder leiten in die Dekorzone im oberen Beckenbereich über, von der sich der untere Teil von zwei mindestens achteiligen Bündeln vertikaler Balken erhalten hat.

Publ. Schattner 2007, 428 Nr. Geo.21 Abb. 117

Lit. Panteleon 2013, 125–139; von Miller 2019, 110–112. 316. 341–343; von Miller 2023a, 56 f.

730–670/650 v. Chr.

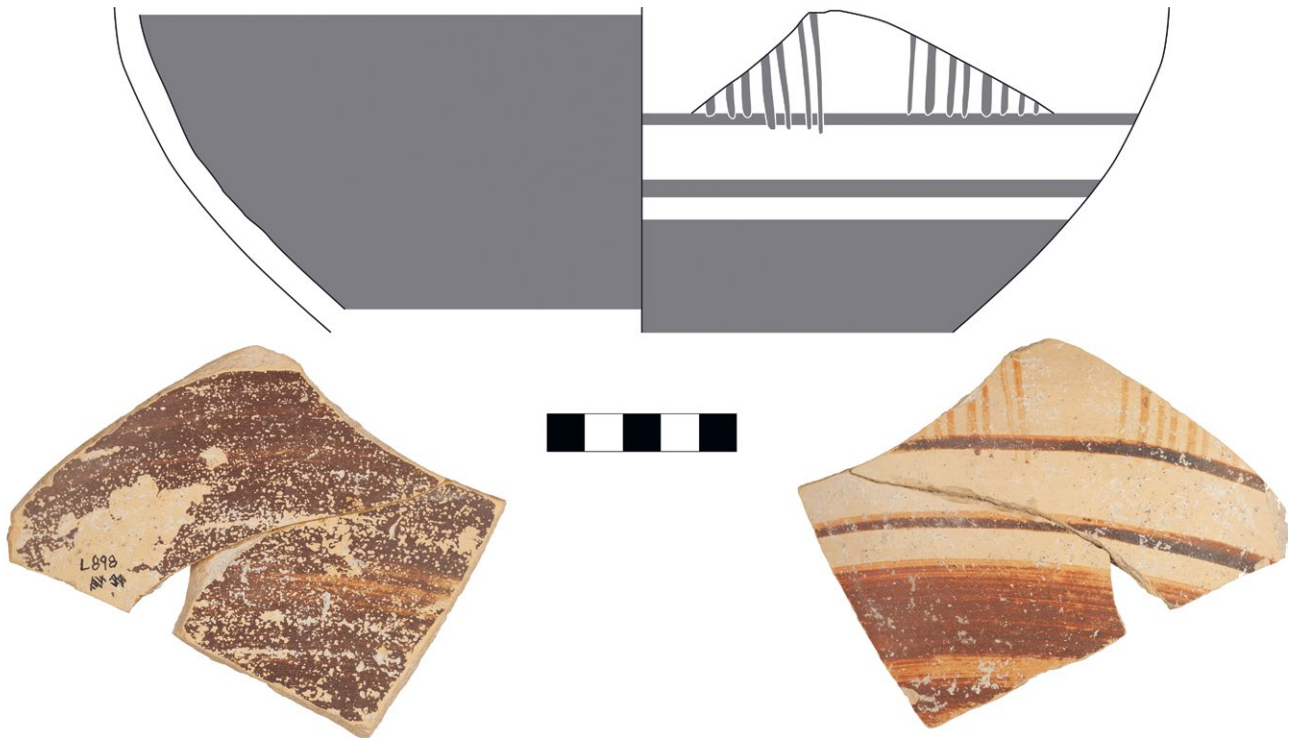


Abb. 81: Kat 59

### Kat 60

#### (Sub)Geometrischer Krater (Abb. 82)

Wandfragment N444 (78K01: Felsbarre Älterer Peribolos, Bauzeit/Nutzung Ältere Peribolosmauer Ma 312)

H 5,7; B 5; WSt 0,6; Dm max. erhalten ca. 36, 4 %

T: grau im Kern und 5YR 7/6 rötlich gelb in Oberflächennähe, hart, feinporös, leicht schieferig, Glimmer; OF: ca. 5YR 8/4 pink, verrieben; Bemalung außen: 7.5YR 4/2 braun, matt, verrieben

Hellbraune Ware – (sub)geometrische Keramik

Steil-konvex gewölbtes Fragment vom tiefen Gefäßkörper eines großen offenen Gefäßes

Das Fragment zeigt den Ausschnitt aus einem nach unten von zwei umlaufenden Bändern begrenzten und von vierteiligen Balkenbündeln in Metopen gegliederten Ornamentfries. In die hohen Metopenfelder sind mindestens drei Reihen von mit der Kammbürste aufgebachten, vertikalen Wellenlinien eingefügt.

In Metopen gegliederte Dekorzonen mit Kammbürstendekor sind charakteristisch für die spät- bis subgeometrische Vasenmalerei von Alt-Smyrna, Ephesos und Samos (von Miller 2019, 66–69). In Milet ist das Dekorschema von geometrischen und früharchaischen Knickrandskyphoi (Schlotzhauer 2014, 71–94. 280–295) und Kotylen mit Kammbürstendekor bekannt.

Lit. von Miller 2019, 110–112. 316. 341–343; von Miller 2023a, 56 f.

730–670/650 v. Chr.

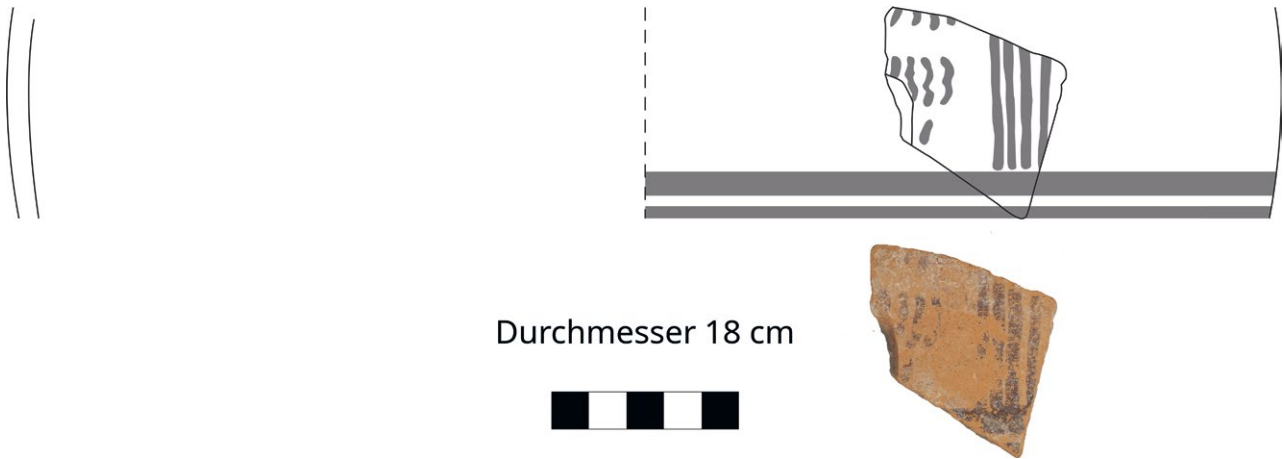


Abb. 82: Kat 60

### Kat 61

#### (Sub)Geometrischer Krater (Abb. 83)

Wandfragment N449 (78K01: Felsbarre Älterer Peribolos, Bauzeit/Nutzung Ältere Peribolosmauer Ma 312)

H 3; B 3,6; WSt 0,55; Dm max. erhalten innen 20,2, 4 %

T: 5YR 7/6 rötlich gelb, hart, feinporös, wenige feine helle und dunkle Partikel, Glimmer; OF außen: 7.5YR 8/4 pink; Bemalung außen: 5YR 6/6 rötlich gelb, matt; Ü innen: 10R 5/6 rot, matt

Feine Hellbraune Ware – (sub)geometrische Keramik

Steil-konvexes Fragment vom tiefen Gefäßbecken eines großen offenen Gefäßes

Im Inneren ist ein Überzug aufgetragen, außen zeigt sich ein mit dem Kammzirkel aufgebrachtes komplexes Dekorsystem aus einem mindestens fünfteiligen großen Kreisornament, das von einer Gruppe kleiner, zweiteiliger Kreisornamente umrahmt wird.

Großgefäße (Hydrien und Kratere) mit vergleichbaren Dekorsystemen sind aus Milet (Weickert 1957, 124 Taf. 37, 2 unten rechts; Taf. 39, 4; Kleiner 1959/1960, 94 Nr. 7 d. e Taf. 79), Ephesos (von Miller 2019, 183–185 Abb. 29, 30; Nr. 1334 Taf. 112; Nr. 1565 Taf. 131; Nr. 1875 Taf. 156) und Samos (Technau 1929, 14 f. Abb. 5; Eilmann 1933, 116 f. Beil 35, 3; Niemeier 2021, 29 f. Nr. 23 Abb. 30) bekannt und auf der Felsbarre mit einem weiteren, geschlossenen Gefäß belegt (InvNr. N500). Auf Rhodos ist das Dekorsystem indes mit Kannen verknüpft (Friis Johansen 1958, 29 Nr. D 2 Abb. 62).

Publ. Schattner 2007, 428 Nr. Geo.22 Abb. 117

Lit. Friis Johansen 1958, 148–154 (elfenbeinimitierende Vasen); Schweitzer 1969, 116 f. (Kringelstil); von Miller 2019, 183–186

Spätes 8./7. Jh. v. Chr.

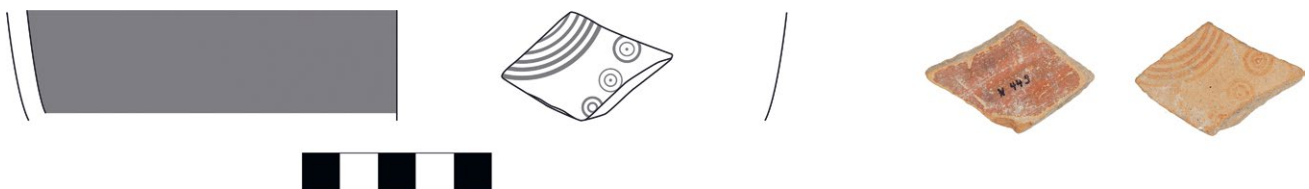


Abb. 83: Kat 61

## Kat 62

### (Sub)Geometrischer Randfalzkrater (Abb. 84)

Randfragment X685 (80K16-10: Felsbarre Nordwestmauern, Nutzung/Planierung westlicher Vorplatz)

H 4,2; B 2,35; WSt 0,7; Dm 28, 5 %

T: 5YR 7/4 pink, hart, feinporös, wenige feine helle und dunkle Partikel, Glimmer; OF: 5YR 8/4 pink, stark verrieben; Bemalung: rot, in wenigen Resten

Hellbraune Ware – Reifenware

Großes offenes Gefäß mit steil-konvex einziehender Schulter und davon treppenartig nach innen versetztem Randfalz mit glatt gerundeter Lippe

Der Rand ist auf beiden Seiten bemalt, auf der Schulter sind außen die Spuren einer ornamentalen Bemalung erkennbar, die sich jedoch nicht zu einem Dekor rekonstruieren lassen.

Das Gefäß überträgt die Merkmale der nordionisch inspirierten, milesischen Reifenkotylen (Kerschner 1999, 20 f.; von Miller 2023a, 31 f.) in die übergroße Dimension. Die Form des geometrischen Kraters mit Randfalz ist im südlichen Ionien bzw. in der Milesia nicht beheimatet (Panteleon 2013, 51 f.).

Lit. von Miller 2019, 110–113. 316. 341–343

Spätes 8.–Mitte/3. Viertel 7. Jh. v. Chr.

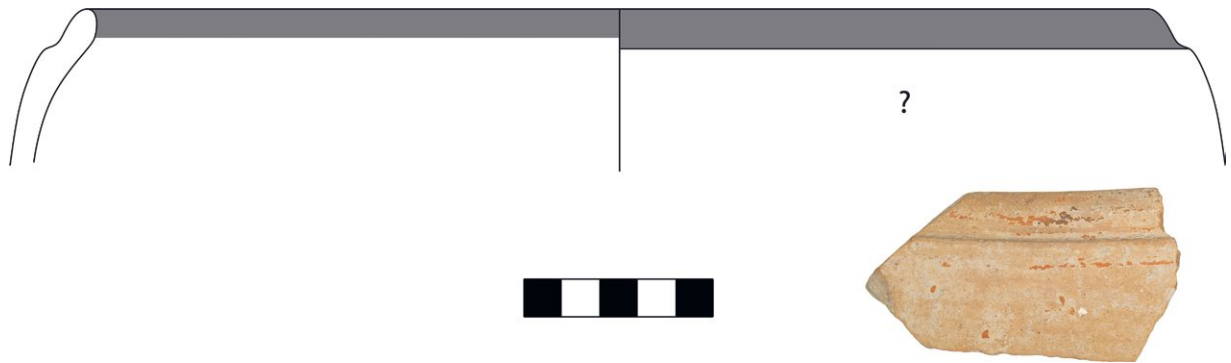


Abb. 84: Kat 62

## Kat 63

### (Sub)Geometrischer Randfalzkrater (Abb. 85)

Wandfragment 75K40d-2 (75K40d: Felsbarre Nordwestabhang, Deponierung 1)

H 3,6; B 3,1; WSt 0,95; Dm max. erhalten außen 32, 2,5 %

T: 7.5YR 6/4 leicht braun, hart, mittelporös, feine helle und dunkle Partikel, Glimmer; OF außen: ca. 7.5YR 8/3 pink; Bemalung außen: 2.5YR 5/6 rot, matt, fast vollständig verrieben; Ü innen: 2.5YR 5/6 rot, matt

Hellbraune Ware – (sub)geometrische Feinkeramik/Reifenware

Dickwandiges und steil-konvex gewölbtes Schulterfragment eines großen offenen Gefäßes mit Ansatz eines von der Schulter treppenartig nach hinten versetzten Randes, wahrscheinlich ein Randfalz (?)

Das Innere ist mit einem Überzug versehen, der Dekor der Außenseite ist bis zur Unkenntlichkeit verrieben.

Das Gefäß überträgt die Merkmale der nordionisch inspirierten, milesischen Reifenkotylen (Kerschner 1999, 20 f.; von Miller 2023a, 31 f.) in die übergroße Dimension. Die Form des geometrischen Kraters mit Randfalz ist im südlichen Ionien bzw. in der Milesia nicht beheimatet (Panteleon 2013, 51 f.).

Lit. von Miller 2019, 110–112. 316. 341–343

Spätes 8.–Mitte/3. Viertel v. Chr.

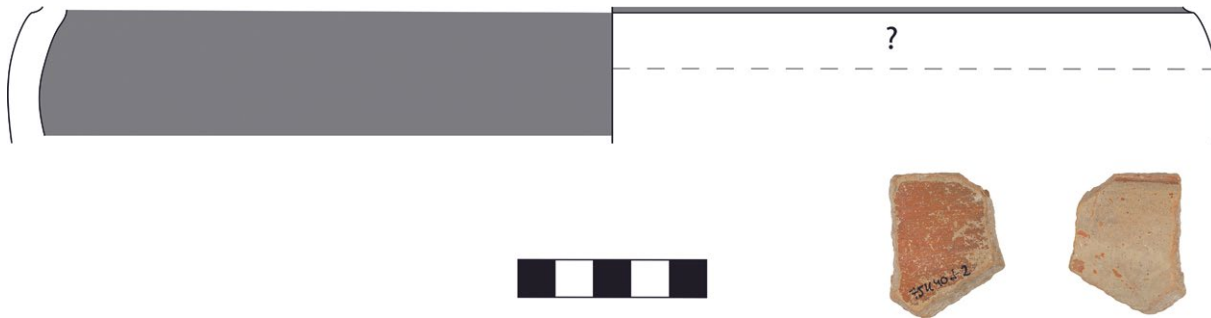


Abb. 85: Kat 63

#### Kat 64

##### Dunkelgrundige Reifenkotyle (Abb. 86)

Randfragment 77K04-13-1 (77K04-13: Felsbarre Nordwestabhang, Deponierung 2)

H 3,1; B 2,1; WSt 0,4; Dm 15,6, 4 %

T: 7.5YR 8/4 pink, hart, feinporös, Glimmer; OF: 10YR 8/3 sehr blass braun; Bemalung außen/Ü innen: 10YR 3/1 sehr dunkel grau, matt

Feine Hellbraune Ware – Firnisware

Randfalzkotyle mit steil-konvexer Wandung und leicht nach innen abgetreptem Randfalz mit zugespitzter Lippe

Das Gefäßinnere ist mit einem Überzug versehen, auf der Außenseite sind ein Lippenband und ein zweites Band um die Gefäßmitte aufgemalt.

Lit. Kerschner 1999, 20 f.; von Miller 2019, 69 f.; von Miller 2023a, 31 f.

Spätes 8.–Mitte/3. Viertel 7. Jh. v. Chr.



Abb. 86: Kat 64

#### Kat 65

##### Dunkelgrundige Reifenkotyle (Abb. 87)

Randfragment 78K01-1-2 (78K01-1: Felsbarre Älterer Peribolos, Bauzeit/Nutzung Ältere Peribolosmauer Ma 312)

H 2,9; B 2,8; WSt 0,3; Dm ca. 14, 2,5 %

T: 10YR 8/4 sehr blass braun, hart, feinporös, vereinzelt feine graue Partikel, wenig Glimmer; OF außen: 10YR 8/2 sehr blass braun, gut geglättet; Bemalung außen/Ü innen: 10YR 2/1 schwarz, fast vollständig verrieben

Feine Hellbraune Ware – Firnisware

Randfalzkotyle mit steil-konvexer Wandung, kräftig gewölbter Beckenschulter und treppenartig nach innen versetztem Randfalz mit glatt gerundeter Lippe

Im Inneren ist ein Überzug aufgetragen, außen finden sich ein Lippenband auf dem Randfalz und eine breite bemalte Zone auf dem Gefäßbecken.

Lit. Kerschner 1999, 20 f.; von Miller 2019, 69 f.; von Miller 2023a, 31 f.

Spätes 8.–Mitte/3. Viertel 7. Jh. v. Chr.

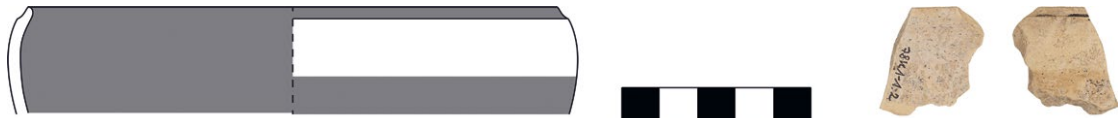


Abb. 87: Kat 65

### Kat 66

#### Reifenkotyle Übergangsform (Abb. 88)

Randfragment C503 (84K15-12: Felsbarre Westbeckenanlage, Bauzeit Laufhorizont Kl. Westbecken)

H 4,7; B 4,25; WSt 0,5; Dm max. erhalten außen 15,2, 9 %

T: 10YR 7/3 sehr blass braun, hart, feinporös, feine weiße und dunkle Partikel, vereinzelt rote Einschlüsse, Glimmer; OF außen: 10YR 8/3 sehr blass braun; Bemalung außen: 10YR 4/2 dunkel gräulich braun; Ü innen: 10YR 5/3 braun, matt

Hellbraune Ware – Reifenware

Tiefes Trinkgefäß mit steil-konvexer Wandung und einziehendem Rand mit glatt verjüngter Lippe

Das Innere ist mit einem Überzug versehen, außen sind ein Lippenband und ein weiteres Band um die Gefäßmitte aufgemalt.

Publ. Schattner 2007, 400 Nr. Sch F.1 Abb. 110

Lit. Kerschner 1999, 20 f.; von Miller 2019, 69 f.; von Miller 2023a, 31 f.

3. Viertel/2. Hälfte 7. Jh. v. Chr.

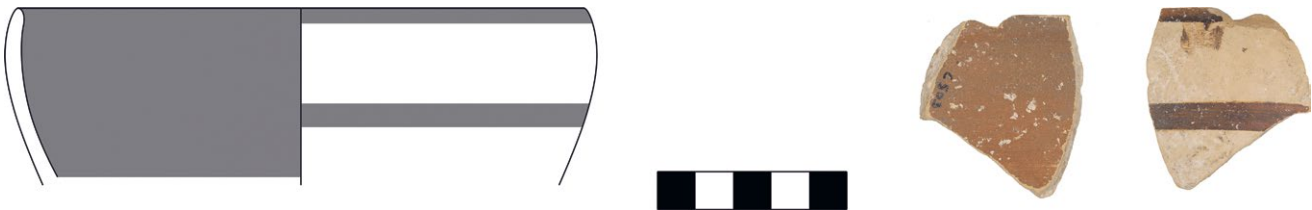


Abb. 88: Kat 66

### Kat 67

#### Reifenkotyle (Abb. 89)

Randfragment 84K15-15-10 (84K15-15: Felsbarre Westbeckenanlage, Einplanierung Kl. Westbecken)

H 2,3; B 2,5; WSt 0,35; Dm ca. 12, 3 %

T: 7.5YR 8/3 pink, hart, feinporös, Glimmer; OF außen: 10YR 8/3 sehr blass braun; Bemalung außen/Ü innen: 10YR 3/1 sehr dunkel grau, matt

Feine Hellbraune Ware – Reifenware

Trinkgefäß mit steil-konvexem Becken und rudimentärem Randfalz

Das Innere ist mit einem Überzug versehen, außen sind ein Lippenband auf dem Randfalz und ein weiteres Band um die Gefäßmitte aufgemalt.

Lit. Kerschner 1999, 20 f.; von Miller 2019, 69 f.; von Miller 2023a, 31 f.

Spätes 8.–Mitte/3. Viertel 7. Jh. v. Chr.



Abb. 89: Kat 67

### Kat 68

#### Reifenkotyle (Abb. 90)

Drei Randfragmente mit Henkelansatz L996 (77K32-1: Felsbarre Älterer Peribolos, Bauzeit/Nutzung Ältere Peribolosmauer Ma 312)

H 5,2; B 7,2+5,2+4; WSt 0,45; Dm 14,2 15 %

T: 7.5YR 8/3 pink, hart, feinporös, wenige feine helle und dunkle Partikel, Glimmer; Ü außen: cremeweiß, matt; Bemalung außen/Ü innen: Gley1 2.5/N schwarz, matt, außen verrieben

Feine Hellbraune Ware – Reifenware

Tiefes Trinkgefäß mit kaum abgesetztem Randfalz mit verjüngter Lippe und Ansatz des rundstabigen Horizontalhenkels auf der kräftig gerundeten Beckenschulter.

Die Gefäßaußenseite ist mit einem hellen Malgrund versehen, darüber sind ein Lippenband und zwei Bänder auf dem Gefäßbecken aufgemalt; auch der Henkelansatz ist bemalt. Im Inneren ist ein Überzug aufgetragen.

Publ. Schattner 2007, 338 Nr. Sk A1.22 Abb. 98

Lit. Kerschner 1999, 20 f.; von Miller 2019, 69 f.; von Miller 2023a, 31 f.

Spätes 8.–Mitte/3. Viertel 7. Jh. v. Chr.

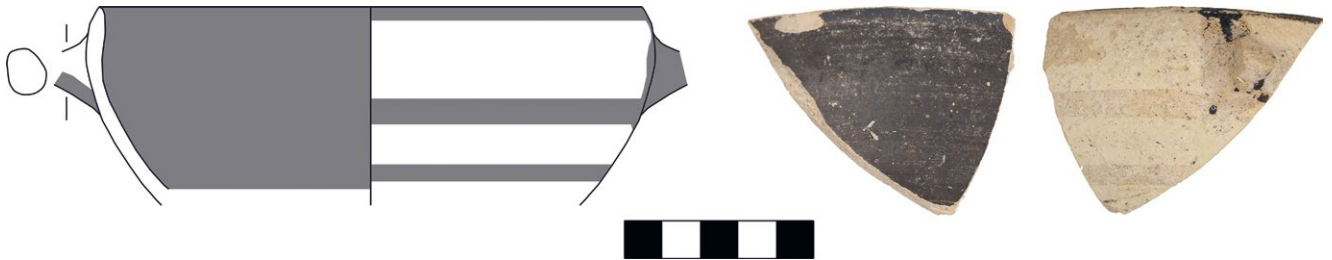


Abb. 90: Kat 68

### Kat 69

#### Reifenkotyle Übergangsform (Abb. 91)

Randfragment mit Henkelansatz N448 (78K01: Felsbarre Älterer Peribolos, Bauzeit/Nutzung Ältere Peribolosmauer Ma 312)

H 3,4; B 2,6; WSt 0,5; Dm Reifen außen 10,4, 6,5 %

T: 10YR 8/4 sehr blass braun, hart, feinporös, wenig Glimmer; OF außen: 10YR 8/2 sehr blass braun; Bemalung außen/Ü innen: schwarz, matt

Feine Hellbraune Ware – Reifenware

Trinkgefäß mit steil-konvexer Wandung, kaum abgesetzter, gerundeter Lippe und unterrandständigem Ansatz eines rundstabigen Horizontalhenkels

Das Gefäßinnere ist flächig bemalt, außen zeigen sich ein schmales Lippenband, eine Bemalung auf dem Henkelansatz sowie ein schmaler Reifen unterhalb des Henkels.

An diesem Gefäß kündigt sich der Übergang in die Reifenschalen an.

Lit. Kerschner 1999, 20 f.; von Miller 2019, 69 f.; von Miller 2023a, 31 f.

3. Viertel/2. Hälfte 7. Jh. v. Chr.



Abb. 91: Kat 69



### Kat 70

#### Reifenkotyle (Abb. 92)

Randfragment X957 (80K06-23: Felsbarre Nordwestmauern, Einplanierung für hellenistischen Terrassenbau)

H 3,6; B 3,4; WSt 0,35; Dm max. erhalten außen 17,2, 6 %

T: 7.5YR 8/4 pink, hart, feinporös, feine weiße Partikel, wenige feine Quarze, Glimmer; Ü außen: cremeweiß, matt; Bemalung außen/Ü innen: 7.5YR 3/1 sehr dunkel grau, matt

Hellbraune Ware – Reifenware

Randfalzkotyle mit konvex gerundetem Gefäßbecken und treppenförmig nach innen versetztem Randfalz mit glatt verjüngter Lippe

Das Gefäßinnere ist mit einem Überzug versehen; auf der Außenseite ist ein heller Malgrund aufgebracht und darüber Bänderdekor auf dem Randfalz und dem Gefäßbecken.

Lit. Kerschner 1999, 20 f.; von Miller 2019, 69 f.; von Miller 2023a, 31 f.

Spätes 8.–Mitte/3. Viertel 7. Jh. v. Chr.

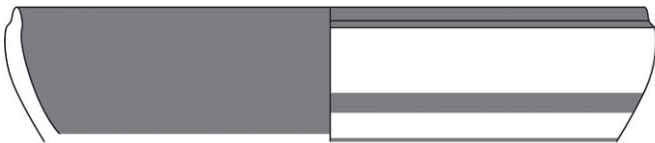


Abb. 92: Kat 70



### Kat 71

#### Reifenkotyle (Abb. 93)

Randfragment N467 (78K01: Felsbarre Älterer Peribolos, Bauzeit/Nutzung Ältere Peribolosmauer Ma 312)

H 2,6; B 2,6; WSt 0,45; Dm 18,4, 4 %

T: 2.5YR 7/6 leicht rot, hart, feinporös, wenige feine helle und dunkle Partikel, Glimmer; OF außen: 7.5YR 8/3 pink; Bemalung außen/Ü innen: 10R 5/6 rot, matt, abblättern

Feine Hellbraune Ware – Reifenware

Große Kotyle mit steil-konvexer Beckenschulter und leicht abgesetztem Randfalz mit gerundeter Lippe

Im Inneren ist ein Überzug aufgetragen, der als Lippenband auf die Außenseite übergreift.

Lit. Kerschner 1999, 20 f.; von Miller 2019, 69 f.; von Miller 2023a, 31 f.

Spätes 8.–Mitte/3. Viertel 7. Jh. v. Chr.



Abb. 93: Kat 71



### Kat 72

#### Reifenkotyle (Abb. 94)

Randfragment 78K01-1-1 (78K01-1: Felsbarre Älterer Peribolos, Bauzeit/Nutzung Ältere Peribolosmauer Ma 312)

H 1,7; B 2,5; WSt 0,35; Dm 15,2, 5 %

T: 5YR 7/4 pink, hart, feinporös, feine helle und graue Partikel, Glimmer; OF außen: 7.5YR 8/3 pink; Bemalung außen/Ü innen: 2.5YR 5/6 rot, matt

Hellbraune Ware – Reifenware

Randfalzkotyle mit steil-konvexer Beckenschulter und treppenförmig nach innen versetztem, hohem Randfalz mit glatt gerundeter Lippe

Das Gefäßinnere und der Randfalz sind bemalt.

Lit. Kerschner 1999, 20 f.; von Miller 2019, 69 f.; von Miller 2023a, 31 f.

Spätes 8.–Mitte/3. Viertel 7. Jh. v. Chr.



Abb. 94: Kat 72

### Kat 73

#### Reifenkotyle (Abb. 95)

Randfragment N455 (78K01: Felsbarre Älterer Peribolos, Bauzeit/Nutzung Ältere Peribolosmauer Ma 312)

H 3,3; B 3,4; WSt 0,5; Dm 18, 3 %

T: 2.5YR 7/6 leicht rot, hart, feinporös, wenige feine helle und graue Partikel, vereinzelt mittlere Quarze, Glimmer; OF: 7.5YR 7/3 pink; Bemalung: 10R 6/6 leicht rot, matt

Hellbraune Ware – Reifenware

Große Kotyle mit steil-konvexem Wandprofil und treppenartig nach innen versetztem Randfalz mit glatt verjüngter Lippe

Der Randfalz ist bemalt, im Inneren ist unterhalb des Randes eine breite bemalte Zone angebracht.

Lit. Kerschner 1999, 20 f.; von Miller 2019, 69 f.; von Miller 2023a, 31 f.

Spätes 8.–Mitte/3. Viertel 7. Jh. v. Chr.

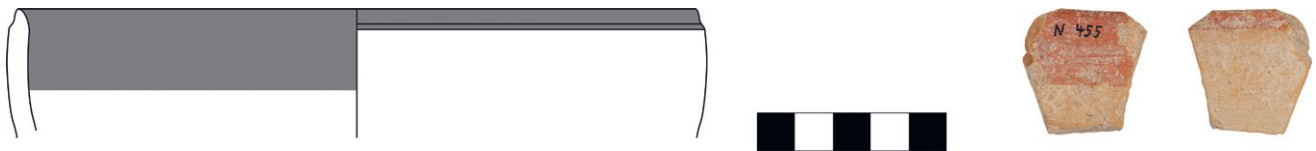


Abb. 95: Kat 73

### Kat 74

#### Reifenkotyle (Abb. 96)

Randfragment X958 (80K06-23: Felsbarre Nordwestmauern, Einplanierung für hellenistischen Terrassenbau)

H 3,85; B 4,1; WSt 0,4; Dm 14, 8 %

T: 5YR 8/4 pink, hart, feinporös, Glimmer; Ü: cremeweiß, matt; Bemalung: 7.5YR 4/2 braun, matt, etwas verrieben

Feine Hellbraune Ware – Reifenware

Tiefe Randfalzkotyle mit steil-konvexem Wandverlauf und deutlich abgesetztem Randfalz mit glatt verjüngter Lippe

Die Gefäßoberfläche ist auf beiden Seiten mit einem hellen Malgrund versehen, darüber ist innen eine breite bemalte Zone unterhalb des Randes aufgetragen, außen ein Lippenband auf dem Randfalz und ein zweites Band auf dem Gefäßbecken.

Publ. Schattner 2007 345 Nr. Sk B.5 Abb. 99

Lit. Kerschner 1999, 20 f.; von Miller 2019, 69 f.; von Miller 2023a, 31 f.

Spätes 8.–Mitte/3. Viertel 7. Jh. v. Chr.

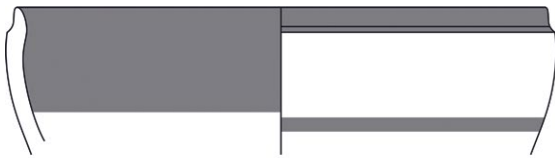


Abb. 96: Kat 74

### Kat 75

#### Reifenkotyle (Abb. 97)

Bodenfragment C438 (84K01-7: Felsbarre Westbeckenanlage, Aufgabe/Verfüllung Gr. Westbecken)

H 3; B 7,5; WSt 0,6; Dm 5, 12 %

T: 5Y 8/2 blass gelb, wenige feine helle und graue Partikel, Glimmer; OF außen: ca. 2.5Y 8/2 blass braun; Bemalung außen/Ü innen: 10Y 4/2 dunkel gräulich braun, matt, stark verrieben

Hellbraune Ware – Reifenware

Trinkgefäß mit kleinem und engem, kantigem Standring und konvexem Ansatz des Gefäßbeckens

Das Innere ist mit einem Überzug versehen; außen schmücken ein schmaler Reifen den Standringansatz und ein umlaufendes Band das untere Gefäßbecken.

Lit. Kerschner 1999, 20 f.; von Miller 2019, 69 f.; von Miller 2023a, 31 f.

Spätes 8.–Mitte/3. Viertel 7. Jh. v. Chr.

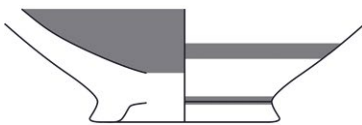


Abb. 97: Kat 75

### Kat 76

#### Reifenkotyle (Abb. 98)

Bodenfragment 80K12-11-2 (80K12-11: Felsbarre Nordwestmauern, Bauzeit Ma 583)

H 2,7; B 6,6; WSt 0,4; Dm 5,8, 40 %

T: 2.5YR 7/6 leicht rot im Kern und 7.5YR 7/4 pink in Oberflächennähe, sehr hart, mittelporös, Glimmer; OF außen: 10YR 7/2 leicht grau; Ü außen: 10YR 8/2 sehr blass braun, matt; Bemalung außen/Ü innen: 10YR 3/1 sehr dunkel grau, matt

Hellbraune Ware – Reifenware, sekundär verbrannt!

Offenes Gefäß mit etwas ausgestelltem, kantigem Standring, steht auf der Außenkante auf, und konischem Beckenansatz

Im Inneren ist ein Überzug aufgetragen, die Außenseite bedeckt ein heller Malgrund; die Standringaußenkante ist bemalt, ein weiteres Band umfasst das Gefäßbecken.

Lit. Kerschner 1999, 20 f.; von Miller 2019, 69 f.; von Miller 2023a, 31 f.

Spätes 8.–Mitte/3. Viertel 7. Jh. v. Chr.



Abb. 98: Kat 76

### Kat 77

#### Reifenkotyle (Abb. 99)

Bodenfragment N451a (78K01: Felsbarre Älterer Peribolos, Bauzeit/Nutzung Ältere Peribolosmauer Ma 312)

H 2,6; B 4,7; WSt 0,7; Dm 5,8, 25 %

T: 7.5YR 7/3 pink, hart, feinporös, wenig Glimmer; OF: 7.5YR 8/3 pink; Bemalung: 7.5YR 3/1 sehr dunkel grau, matt

Feine Hellbraune Ware – Reifenware

Offenes Gefäß mit kantigem Standring und Ansatz des engen und tendenziell tiefen Gefäßbeckens

Im inneren Beckengrund ist ein radiales Band aufgemalt, außen umfasst je ein Band den Standring und das Gefäßbecken.

Publ. Schattner 2007, 176 Nr. S B15.1 Abb. 58 (fälschlicherweise mit **Kat 30** zu einer Schüssel ergänzt)

Lit. Kerschner 1999, 20 f.; von Miller 2019, 69 f.; von Miller 2023a, 31 f.

Spätes 8.–Mitte/3. Viertel 7. Jh. v. Chr.



Abb. 99: Kat 77

### Kat 78

#### Reifenkotyle (Abb. 100)

Bodenfragment N509 (78K01-6: Felsbarre Älterer Peribolos, Bauzeit/Nutzung Ältere Peribolosmauer Ma 312)

H 3,1; B 6,1; WSt 0,6; Dm 5,8, 47 %

T: 7.5YR 8/6 rötlich gelb, hart, mittelporös, feine helle, graue und braune Partikel, Glimmer; Ü: gräulich weiß, matt; Bemalung: 7.5YR 3/1 sehr dunkel grau, matt, verrieben

Hellbraune Ware – Reifenware

Offenes Gefäß mit kantigem Standring und konischem Ansatz des engen Beckenbodens

Die Oberfläche ist mit einem hellen Malgrund versehen, darüber ist auf beiden Seiten ein Bänderdekor aufgetragen.

Lit. Kerschner 1999, 20 f.; von Miller 2019, 69 f.; von Miller 2023a, 31 f.

Spätes 8.–Mitte/3. Viertel 7. Jh. v. Chr.

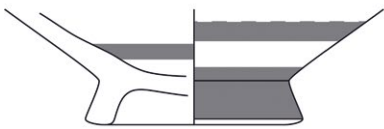


Abb. 100: Kat 78



### Kat 79

#### Große Reifenkotyle (Abb. 101)

Randfragment W16 (89K26-6: nördliche Straßensondage Son 89/7, unter ältestem Straßenpflaster)

H 2,3; B 2,7; WSt 0,7; Dm 29,2, 4 %

T: 7.5YR 8/3 pink, hart, feinporös, feine graue Partikel, Glimmer; Ü außen: cremeweiß, matt, dünn; Ü innen: 5YR 4/3 rötlich braun, matt, streifig; Bemalung außen: 7.5YR 3/2 dunkel braun, matt

Feine Hellbraune Ware – Reifenware

Großes offenes Gefäß mit steil-konvexer Wandung und kleinem Randfalz mit verjüngter Lippe

Die Außenseite ist mit einem hellen Malgrund versehen, den Randfalz umfasst außen ein schmales Lippenband; das Gefäßinnere ist flächig bemalt.

Publ. von Miller 2024, Kat 55

Lit. Kerschner 1999, 20 f.; von Miller 2019, 69 f.; von Miller 2023a, 31 f.

Spätes 8.–Mitte/3. Viertel 7. Jh. v. Chr.



Abb. 101: Kat 79



### Kat 80

#### Große Reifenkotyle (Abb. 102)

Randfragment mit Henkelansatz B166 (83K18-1: Felsbarre Älterer Peribolos, Bettung ältestes Straßenpflaster Hl. Straße/Verfüllung)

H 2,5; B 4,2; WSt 0,6; Dm 22,8, 5 %

T: 5YR 6/8 rötlich gelb, hart, mittelporös, wenige feine graue Partikel, Glimmer; Ü außen: cremeweiß, matt, dick aufgetragen; Bemalung außen: 5YR 4/2 dunkel rötlich grau, matt, verrieben; Ü innen: 2.5YR 5/6 rot, matt, verrieben

Feine Hellbraune Ware – Reifenware

Große Randfalzkotyle mit steil-konvexem Ansatz des tiefen Gefäßbeckens, unterrandständigem Ansatz des Horizontalhenkels und treppenartig versetztem Randfalz mit zugespitzter Lippe

Das Gefäßinnere trägt einen Überzug; die Außenseite ist mit einem hellen Malgrund versehen, darüber sind ein schmales Lippenband und ein Band um den Randfalzversprung aufgemalt.

Publ. Schattner 2007, 162 Nr. S B3.4 Abb. 54

Lit. Kerschner 1999, 20 f.; von Miller 2019, 69 f.; von Miller 2023a, 31 f.

Spätes 8.–Mitte/3. Viertel 7. Jh. v. Chr.



Abb. 102: Kat 80

### Kat 81

#### Große Reifenkotyle (Abb. 103)

Randfragment Ke96134 (96K14: Felsbarre Nordwestmauern, Einplanierung für hellenistischen Terrassenbau)

H 2,5; B 2,8; WSt 0,6; Dm 20, 4 %

T: 2.5YR 6/4 leicht rötlich braun, hart, feinporös, Glimmer; OF: 5YR 8/3 pink; Bemalung: 10R 5/6 rot, matt

Feine Hellbraune Ware – Reifenware

Offenes Gefäß mit steil-konvexer Beckenwandung und treppenartig nach innen versetztem Randfalz mit zugespitzter Lippe

Den Rand umfasst auf beiden Seiten ein breites Lippenband.

Lit. Kerschner 1999, 20 f.; von Miller 2019, 69 f.; von Miller 2023a, 31 f.

Spätes 8.–Mitte/3. Viertel 7. Jh. v. Chr.



Abb. 103: Kat 81

### Kat 82

#### Große Reifenkotyle (Abb. 104)

Randfragment Ke96112 (96K14: Felsbarre Nordwestmauern, Einplanierung für hellenistischen Terrassenbau)

H 8,2; B 8; WSt 0,6; Dm 24, 8,5 %

T: 5YR 7/6 rötlich gelb, hart, feinporös, feine helle und graue Partikel, Goldglimmer; OF außen: 7.5YR 8/3 pink, glatt; OF innen: 5YR 8/4 pink; Bemalung außen: 10R 5/6 rot, matt, changiert streifig ins Graue; Bemalung innen: 10R 6/8 leicht rot, matt glänzend

Hellbraune Ware – Reifenware

Großes offenes Gefäß mit tief-konvexem Becken, gerundet einziehender Schulter und davon nach innen versetztem Randfalz mit gerundeter Lippe

Im Inneren sind am Rand und im Gefäßbecken breite Bänder aufgemalt, die Randaußenseite ist bemalt, auf dem Gefäßbecken läuft ein Band um.

Lit. Kerschner 1999, 20 f.; von Miller 2019, 69 f.; von Miller 2023a, 31 f.

Spätes 8.–Mitte/3. Viertel 7. Jh. v. Chr.

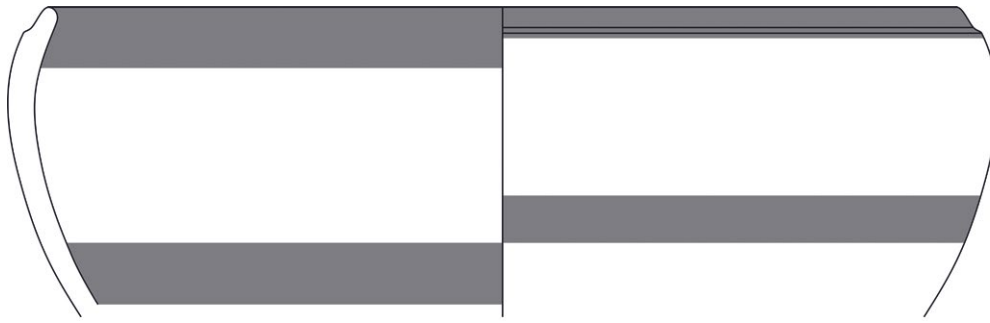


Abb. 104: Kat 82

### Kat 83

#### Steilwandige Tasse (Abb. 105)

Bodenfragment N493 (78K01-5: Felsbarre Älterer Peribolos, Bauzeit/Nutzung Ältere Peribolosmauer Ma 312)

H 2,2; B 3,4; WSt 0,4; Dm 6, 19 %

T: 5YR 7/4 pink, hart, feinporös, feine helle und graue Partikel, Glimmer; OF außen; 7.5YR 8/3 pink; Ü: 5YR 4/2 dunkel rötlich grau, matt, außen stark verrieben

Hellbraune Ware – Firnisware

Tiefes offenes Gefäß mit flachem Boden und steil-konischem Wandansatz mit leicht konvexer Kontur

Bis auf ein tongrundig ausgespartes Sockelband ist das Gefäß auf beiden Seiten mit einem Überzug versehen.

Lit. Kerschner 1999, 23 f.; von Miller 2019, 100 f. 315. 338; von Miller 2023a, 43 f.

2. Hälfte 8./1. Hälfte 7. Jh. v. Chr.



Abb. 105: Kat 83

### Kat 84

#### Steilwandige Tasse (Abb. 106)

Bodenfragment Ke96123 (96K14: Felsbarre Nordwestmauern, Einplanierung für hellenistischen Terrassenbau)

H 2; B 5,5; WSt 0,3; Dm 5,8, 42 %

T: 5YR 7/4 pink, hart, feinporös, feiner Glimmer; OF außen; 7.5YR 8/4 pink; Ü: 5YR 4/1–6/6 dunkel grau bis rötlich gelb, matt, streifig bis fleckig

Feine Hellbraune Ware – Firnisware

Tiefes offenes Gefäß mit leicht aufgewölbtem Boden und steil-konvexem Ansatz des konischen Gefäßkörpers

Die Außen- und Innenseite sind mit einem Überzug versehen, von dem außen ein schmales tongrundiges Sockelband ausgespart bleibt.

Lit. Kerschner 1999, 23 f.; von Miller 2019, 100 f. 315. 338; von Miller 2023a, 43 f.

2. Hälfte 8./1. Hälfte 7. Jh. v. Chr.



Abb. 106: Kat 84

### Kat 85

#### Steilwandige Tasse (Abb. 107)

Randfragment 80K16-8-4 (80K16-8: Felsbarre Nordwestmauern, Bau/Einplanung westlicher Vorplatz)

H 2; B 3,1; WSt 0,4; Dm 11,6, 8 %

T: 7.5YR 7/4 pink, hart, mittelporös, vereinzelt feine schwarze Partikel, Glimmer; OF: 10YR 8/3 sehr blass braun; Ü außen: 7.5YR 3/2 dunkel braun, matt, verrieben; Ü innen: 5YR 4/3 rötlich braun, matt

Hellbraune Ware – Firnisware

Steil-konisch ausgestellter Rand eines tiefen offenen Gefäßes mit glatt verjüngter Lippe

Von dem beidseitig aufgetragenen Überzug bleibt außen und innen je ein breites Lippenband tongrundig ausgespart.

Lit. Kerschner 1999, 23 f.; von Miller 2019, 100 f. 315. 338; von Miller 2023a, 43 f.

2. Hälfte 8./1. Hälfte 7. Jh. v. Chr.



Abb. 107: Kat 85

### Kat 86

#### Steilwandige Tasse (Abb. 108)

Bodenfragment WA205 (90K20-7: südwestlich der Felsbarre, Schuttpackung unter nacharchaischer Planierung)

H 4,8; B 4,4; WSt 0,3; Dm 6,6, 15 %

T: 5YR 7/6 rötlich gelb, hart, feinporös, wenige feine helle und graue Partikel, Glimmer; OF außen: 7.5YR 7/4 pink; Ü: 10R 6/6 leicht rot, matt, leicht streifig, etwas verrieben

Feine Hellbraune Ware – Firnisware

Offenes Gefäß mit flachem Boden und steil-konvexem Ansatz des tief-konischen Gefäßkörpers

Von dem zu beide Seiten aufgetragenen Überzug bleibt außen ein schmales tongrundiges Sockelband ausgespart.

Publ. Schattner 2007, 358 Nr. Be A.4 Abb. 101

Lit. Kerschner 1999, 23 f.; von Miller 2019, 100 f.; von Miller 2023a, 43 f.

2. Hälfte 8./1. Hälfte 7. Jh. v. Chr.



Abb. 108: Kat 86

### Kat 87

#### Steilwandige Tasse (Abb. 109)

Bodenfragment C362 (84a10-7: Felsbarre Nordwestabhang, Bettung ältestes Straßenpflaster Nordwestweg)

H 2,3; B 4,7; WSt 0,6; Dm 8,8, 11 %

T: 2.5YR 7/6 leicht rot, hart, mittelporös, feine helle und graue Partikel, Glimmer; OF außen: 10YR 8/2 sehr blass braun; Ü: 7.5YR 4/3 braun, matt, etwas verrieben

Hellbraune Ware – Firnisware

Offenes Gefäß mit flachem Boden und steil-konvexem Ansatz des tiefen, annähernd zylindrischen Gefäßkörpers

Auf beide Seiten des Gefäßes ist ein Überzug aufgetragen, von dem am unteren Wandansatz ein schmales ton-gründiges Sockelband mit darin eingeschriebenem Reifen ausgespart bleibt.

Publ. Schattner 2007, 360 Nr. Be B1.3 Abb. 102

Lit. Kerschner 1999, 23 f.; von Miller 2019, 100 f. 315. 338; von Miller 2023a, 43 f.

2. Hälfte 8./1. Hälfte 7. Jh. v. Chr.



Abb. 109: Kat 87

### Kat 88

#### Steilwandige Tasse (Abb. 110)

Bodenfragment 78K01-6 (78K01: Felsbarre Älterer Peribolos, Bauzeit/Nutzung Ältere Peribolosmauer Ma 312)

H 1,5; B 2,9; WSt 0,5; Dm 6,8, 9 %

T: 5YR 8/4 pink, hart, feinporös, feine weiße Partikel, Glimmer; OF außen: 7.5YR 8/3 pink; Ü: 2.5YR 4/4 rötlich braun, abplatzend

Hellbraune Ware – Firnisware

Tiefes offenes Gefäß mit flachem Boden und steil-konvexem Ansatz des leicht konischen Gefäßkörpers

Von dem beidseitig aufgetragenen Überzug bleibt außen ein schmales Sockelband tongrundig ausgespart.

Lit. Kerschner 1999, 23 f.; von Miller 2019, 100 f. 315. 338; von Miller 2023a, 43 f.

2. Hälfte 8./1. Hälfte 7. Jh. v. Chr.



Abb. 110: Kat 88

### Kat 89

#### Steilwandige Tasse (Abb. 111)

Randfragment 89K26-6-4 (89K26-6: nördliche Straßensondage Son 89/7, unter ältestem Straßenpflaster)

H 2,3; B 1,8; WSt 0,4; Dm ca. 16, 2 %

T: 7.5YR 7/4 pink, hart, feinporös, feine helle Partikel, feiner Glimmer; Ü: 7.5YR 4/3 braun, matt, streifig

Feine Hellbraune Ware – Firnisware

Offenes Gefäß mit steil-konvexer Wandung und spitz verjüngter Lippe

Beidseitig ist ein flächiger Überzug aufgetragen.

Publ. von Miller 2024, Kat 57

Lit. Kerschner 1999, 23 f.; von Miller 2019, 100 f. 315. 338; von Miller 2023a, 43 f.

2. Hälfte 8./1. Hälfte 7. Jh. v. Chr.



Abb. 111: Kat 89

### Kat 90

#### Steilwandige Tasse (Abb. 112)

Randfragment X968 (80K12-10: Felsbarre Nordwestmauern, Einplanierung für hellenistischen Terrassenbau)

H 2,9; B 4,2; WSt 0,55; Dm 21,8, 5 %

T: 10YR 8/3 sehr blass braun, hart, mittelporös, Glimmer; OF: 10YR 8/3 sehr blass braun; Ü: 7.5YR 4/2 braun, matt, teilweise verrieben

Hellbraune Ware – Firnisware

Steil-konisch ausgestellter Rand eines tiefen und gewöhnlich großen offenen Gefäßes mit glatt verjüngter Lippe

Von dem beidseitig aufgetragenen Überzug bleibt an Innen- und Außenseite je ein Lippenband tongrundig ausgespart.

Lit. Kerschner 1999, 23 f.; von Miller 2019, 100 f. 315. 338; von Miller 2023a, 43 f.

2. Hälfte 8./1. Hälfte 7. Jh. v. Chr.



Abb. 112: Kat 90

### Kat 91

#### Dunkelgrundiger Skyphos Typ 1,2B.a (Abb. 113)

Randfragment 84K15-19-1 (84K15-19: Felsbarre Westbeckenanlage, Aufgabe/Planierung Gr. Westbecken)

H 2,3; B 1,6; WSt 0,3; Dm 14, 4 %

T: 5YR 7/3 pink, hart, feinporös, feine helle und dunkle Partikel, wenige feine Quarze, Glimmer; Ü außen: 5YR 3/1 sehr dunkel grau, matt, verrieben; Ü innen: 5YR 5/2 rötlich grau, matt

Schieferige sandige Ware – Firnisware

S-förmig geschwungenes Fragment eines tiefen Trinkgefäßes mit steil-konvexer Schulter und ausbiegendem Rand mit glatt verjüngter Lippe

Von dem auf beide Seiten aufgetragenen Überzug bleibt im Inneren ein schmales Lippenband tongrundig ausgespart.

Skyphoi des Typs 1,2 gehören dem mittel- bis spätgeometrischen Gefäßspektrum an, die stark geöffnete Form unseres Stückes scheint eine erst spät- bis subgeometrische Variante zu reflektieren (Schlotzhauer 2014, 74).

Lit. Schlotzhauer 2014, 71–79, bes. 73–78. 280–283; von Miller 2019, 84 f.; von Miller 2023a, 21

2. Hälfte 8./1. Viertel 7. Jh. v. Chr.



Abb. 113: Kat 91

### Kat 92

#### Knickrandskyphos Typ 2,2B.d (Abb. 114)

Randfragment mit Henkel und Bodenfragment WA222 (90K20-7: südwestlich der Felsbarre, Schuttpackung unter nacharchaischer Planierung)

H 7,7+2,6; B max. ca. 25; WSt 0,4; Dm Rand ca. 22, 11 %; Dm Boden 8,4, 47 %

T: 5YR 8/4 pink, hart, feinporös, feine weiße Partikel, Glimmer; OF: 10YR 8/3 sehr blass braun; Bemalung außen: 7.5YR 3/1 sehr dunkel grau, matt, etwas verrieben; Ü innen: 7.5YR 3/2 dunkel braun, matt, streifig

(Sub)Geometrische Keramik

Großes Trinkgefäß mit hohem, schmal-kantigem Standring, tief-konvexem Becken und von der kantig akzentuierten Beckenschulter nach innen versetztem, hohem und flammenförmigem Rand; auf der Schulter sitzt ein rundstabiger Horizontalhenkel.

Von dem im Inneren aufgetragenen Überzug bleiben ein schmales Lippenband und eine mittige Kreisfläche im Beckenboden tongrundig ausgespart; der Standring und die untere Beckenaußenseite sind flächig bemalt, zwei umlaufende Bänder unterhalb des bemalten Henkels begrenzen die tongrundige, von einem vertikalen Balken zum Henkelansatz hin abgegrenzte Schulterzone, auf die ein hohes Zick-Zack-Band gemalt ist; die Randaußenseite wird von sechs schmalen Bändern umfasst.

Während die spätgeometrischen Vertreter des Gefäßtypus von einem in Metopen unterteilten Bildfeld auf der Schulter gekennzeichnet sind (Dekorvariante c), zeugt der durchlaufende Zick-Zack-Fries unseres Stückes bereits von einem subgeometrischen Dekorsystem (Dekorvariante d). Das hohe Zick-Zack-Band findet eine unmittelbare Parallele bei einem Knickrandskyphos des Typs 3 (Schlotzhauer 2014, 87–91. 288–290. 292) aus der subgeometrischen Brand- und Zerstörungsschicht im sog. Südschnitt von Milet (von Graeve 1975, 51 Nr. 44 Abb. 18 Taf. 9).

Publ. Schattner 2007, 342 Nr. Sk A2.3 Abb. 98

Lit. Schlotzhauer 2014, 83 f. 285–288. 292

750/730–1. Viertel 7. Jh. v. Chr.



Abb. 114: Kat 92

### Kat 93

#### **Knickrandskyphos Typ 3,1B.c (Abb. 115)**

Randfragment C630 (84K17-6: Felsbarre Westbeckenanlage, Nutzung Laufhorizont Kl. Westbecken)

H 3,4; B 3,9; WSt 0,4; Dm 18, 6,5 %

T: 5YR 6/6 rötlich gelb, hart, feinporös, feine graue Partikel, Glimmer; OF außen: 7.5YR 8/3 pink; Bemalung außen/Ü innen: 10R 5/3–6/6 schwach rot bis leicht rot, matt, verrieben

Hellbraune Ware – geometrische Keramik

Offenes Gefäß mit über der knappen Schulter steil nach außen abgknicktem, hohem Rand mit glatt verjüngter Lippe

Im Inneren ist ein Überzug aufgetragen, außen laufen auf dem Rand drei breite Bänder um; die Hauptdekorzone auf der Schulter ist von mindestens sechsteiligen Balkenbündeln in Metopenfelder unterteilt, auf die mit der Kammbürste flache horizontale Zick-Zack-Linien gemalt sind.

Publ. Schattner 2007, 320 Nr. Krs A.92 Abb. 93

Lit. Schlotzhauer 2014, 87–91. 288–290. 292; von Miller 2019, 82 f. 337

Letztes Viertel 8.–2. Viertel/Mitte 7. Jh. v. Chr.

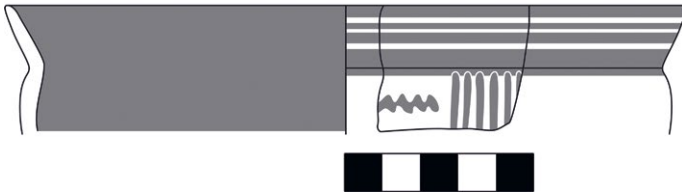


Abb. 115: Kat 93

### Kat 94

#### Geometrischer Teller mit Hörnchenhenkel (Abb. 116)

Ganzprofil mit Henkelansatz N3a (78K01-1: Felsbarre Älterer Peribolos, Bauzeit/Nutzung Ältere Peribolosmauer Ma 312)

H 2,2; B 8,9; WSt 0,5; Dm Rand außen 15; Dm Boden 8, 12 %

T: 10YR 8/4 sehr blass braun, hart, mittelporös, wenige dunkle Einschlüsse, Glimmer; OF: 10YR 8/2 sehr blass braun; Bemalung außen/Ü innen: 10YR 3/1 sehr dunkel grau, matt

Hellbraune Ware – geometrische Keramik

Flaches offenes Gefäß mit breitem und sehr niedrigem, außen kantig abgesetztem Standring, flach-konvexem Becken und daraus keilförmig sich verdickendem Rand mit leicht gewölbter Oberkante und randständigem Ansatz eines Schlaufenhenkels mit Hörnchenfortsatz

Im flächig bemalten Beckeninneren bleiben schmale tongrundige Reifen in regelmäßigen Abständen ausgespart. Auf der Außenseite bleibt zwischen dem bemalten Rand und dem von Reifen geschmückten Standring eine Dekorzone ausgespart, die von sechsteiligen senkrechten Wellenbandbündeln in Bildfelder unterteilt wird. In die Bildfelder sind in Umrissmalerei sieben Lanzettblätter mit je einer axial verlaufenden Reihe vertikaler Punkte aufgemalt. Die Standringunterkante schmückt ein unregelmäßig geführtes Band.

Das Gefäß repräsentiert einen Typus von milesischen Tellern der spät- bis subgeometrischen Zeit (Weickert 1957, Taf. 37, 2 oben rechts; von Graeve 1973/1974, 93 Nr. 33. 35 Taf. 21; Kleine 1979, 143 Nr. 15 Abb. 17 Taf. 34, 2; Schiering 1979, 105 Taf. 23, 7; von Graeve 1986, 47 Taf. 13, 7; Kerschner 1999, 19 Abb. 8, 14; Kaiser 2023a, 13 Nr. Geo 12 Taf. 2. 191; **Kat 96. 97**), der auch in einer Variante mit verdickten Rändern vorkommt (Kerschner 1999, 19 Abb. 8, 15; **Kat 95**).

Publ. Wintermeyer 1980, 125 Nr. 9 Taf. 50; Schattner 2007, 383 Nr. Sch B1.39 (= Or.29) Abb. 121

Lit. Kerschner 1999, 19

750/730–670 v. Chr.

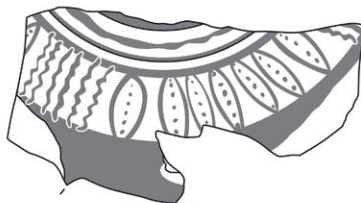


Abb. 116: Kat 94

### Kat 95

#### Geometrischer Teller mit Hörnchenhenkel (Abb. 117)

Randfragment mit Henkelansatz N441 (78K01: Felsbarre Älterer Peribolos, Bauzeit/Nutzung Ältere Peribolosmauer Ma 312)

H 2,1; B 5,4; WSt 0,5; Dm ca. 12, 8 %

T: 7.5YR 7/2 pinklich grau, hart, mittelporös, feine Kalkpseudomorphosen, wenige schwarze Partikel, Glimmer; Bemalung außen: 7.5YR 4/3 braun, matt, changiert ins Rote; Ü innen: 7.5YR 4/3 braun, matt

Schieferige sandige Ware – geometrische Keramik

Kleines offenes Gefäß mit flach-konvexem Becken und davon kantig abgesetztem, leistenförmig verdicktem, senkrecht stehendem Rand mit breiter, leicht nach innen abgeschrägter und etwas gewölbter Lippe; erhalten hat sich zudem der randständige hörnchenartige Fortsatz eines nicht mehr erhaltenen bandförmigen Schlaufenhenkels.

Die Gefäßinnenseite und der Henkel sind flächig bemalt, am äußeren Schalenbecken laufen unterschiedlich breite Bänder und Reifen um; auf der Randaußenseite bleibt ein Dekorfeld tongrundig ausgespart, von dessen Bemalung sich fünf vertikale Balken erhalten haben.

Das Gefäß repräsentiert einen Typus von milesischen Tellern der spät- bis subgeometrischen Zeit (Weickert 1957, Taf. 37, 2 oben rechts; von Graeve 1973/1974, 93 Nr. 33. 35 Taf. 21; Kleine 1979, 143 Nr. 15 Abb. 17 Taf. 34, 2; Schiering 1979, 105 Taf. 23, 7; von Graeve 1986, 47 Taf. 13, 7; Kerschner 1999, 19 Abb. 8, 15; Kaiser 2023a, 13 Nr. Geo 12 Taf. 2. 191); der auffällig kantig verdickte Rand findet Parallelen unter den spät- bis subgeometrischen Amphoren (Kerschner 1999, Abb. 14, 67), geläufiger ist hingegen ein glatter Rand (**Kat 94. 96. 97**).

Publ. Schattner 2007, 144 Nr. S A5.6 Abb. 48

Lit. Kerschner 1999, 19

750/730–670 v. Chr.

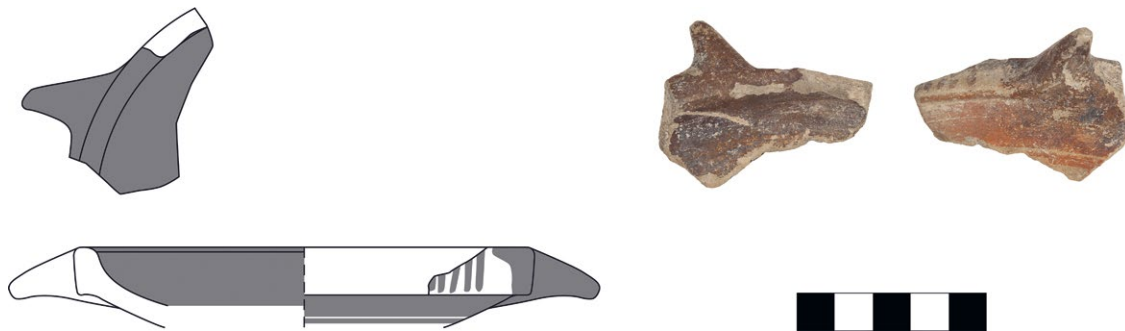


Abb. 117: Kat 95

### Kat 96

#### Geometrischer Teller mit Hörnchenhenkel (Abb. 118)

Randfragment mit Henkelansatz N479 (78K01-5: Felsbarre Älterer Peribolos, Bauzeit/Nutzung Ältere Peribolosmauer Ma 312)

H 1,3; B 3,1; Dm innen 14,6, 4 %

T: 7.5YR 7/4 pink, hart, feinporös, wenige feine weiße Partikel, Glimmer; OF: 7.5YR 8/4 pink; Bemalung: 7.5YR 2.5/1 schwarz, matt

Feine Hellbraune Ware – geometrische Keramik

Leicht keilförmig verdickter, nach außen abgeschrägter Rand eines flachen, offenen Gefäßes mit randständigem Hörnchenhenkel

Die Außenseite ist bemalt, auf der Randoberkante läuft ein Kreisband um, das von einem fünfteiligen Balkenbündel überschritten wird.

Das Gefäß repräsentiert einen Typus von milesischen Tellern der spät- bis subgeometrischen Zeit (Weickert 1957, Taf. 37, 2 oben rechts; von Graeve 1973/1974, 93 Nr. 33. 35 Taf. 21; Kleine 1979, 143 Nr. 15 Abb. 17 Taf. 34, 2; Schiering 1979, 105 Taf. 23, 7; von Graeve 1986, 47 Taf. 13, 7; Kerschner 1999, 19 Abb. 8, 14; Kaiser 2023a, 13 Nr. Geo 12 Taf. 2. 191; **Kat 94. 97**), der auch in einer Variante mit verdickten Rändern vorkommt (Kerschner 1999, 19 Abb. 8, 15; **Kat 95**).

Lit. Kerschner 1999, 19

750/730–670 v. Chr.

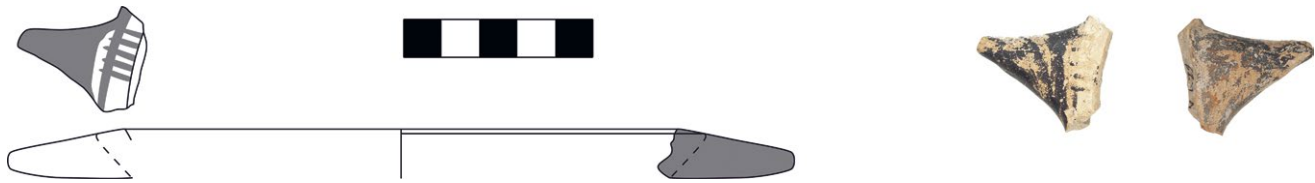


Abb. 118: Kat 96

### Kat 97

#### Geometrischer Teller (Abb. 119)

Bodenfragment N3b (78K01-6: Felsbarre Älterer Peribolos, Bauzeit/Nutzung Ältere Peribolosmauer Ma 312)

H 1,1; B 3,1; WSt 0,55; Dm Standringinnenkante 8,6 %

T: ca. 7.5YR 7/6 rötlich gelb, hart, feinporös, wenige feine helle und graue Partikel, Glimmer; OF: 7.5YR 8/3 pink; Bemalung: 7.5YR 4/2 braun, matt

Hellbraune Ware – geometrische Keramik

Offenes Gefäß mit kleinem, kantigem Standring und flach-konvexem Beckenansatz

Im bemalten Beckeninneren bleiben schmale tongrundige Reifen ausgespart, außen wird der Standring von zwei Reifen gefasst, die Standringunterkante ist mit drei kleinen Balken bemalt. Auf dem Becken zeigen sich die unteren Teile von vier lanzettförmigen Blattmotiven mit mittiger Punktreihe.

Das Gefäß repräsentiert einen Typus von milesischen Tellern der spät- bis subgeometrischen Zeit (Weickert 1957, Taf. 37, 2 oben rechts; von Graeve 1973/1974, 93 Nr. 33. 35 Taf. 21; Kleine 1979, 143 Nr. 15 Abb. 17 Taf. 34, 2; Schiering 1979, 105 Taf. 23, 7; von Graeve 1986, 47 Taf. 13, 7; Kerschner 1999, 19 Abb. 8; Kaiser 2023a, 13 Nr. Geo 12 Taf. 2. 191; **Kat 94–96**).

Lit. Kerschner 1999, 19

750/730–670 v. Chr.

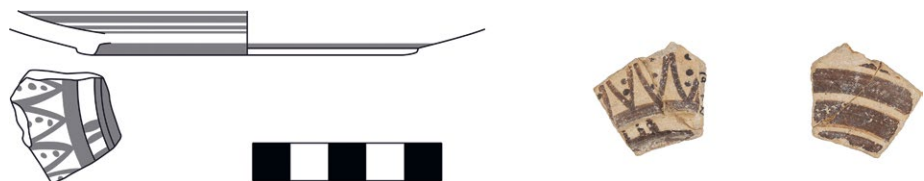


Abb. 119: Kat 97

### Kat 98

#### Geometrischer Teller mit schwalbenschwanzförmigem Henkel (Abb. 120)

Randfragment mit Henkel Y2264 (81K03-10: Felsbarre Oikos P, Einplanierung)

H 1,5; B 2,3; WSt 0,5

T: 10YR 8/3 sehr blass braun, hart, feinporös, wenige feine weiße Partikel, Glimmer; OF außen: 2.5Y 8/3 blass braun; Ü innen: 10YR 3/2 sehr dunkel gräulich braun, matt, verrieben

Geometrische Keramik

Offenes, flaches Gefäß mit leicht keilförmig verdicktem, nach außen abgechrägtem Rand und randständiger, schwalbenschwanzförmiger Handhabe

Im Beckeninneren zeichnet sich eine flächige Bemalung ab.

Es handelt sich hierbei um eine zweite Variante südionisch-geometrischer Teller, die anders als die Teller mit Hörnchenfortsätzen an den Henkeln (**Kat 94–97**) aus der Milesia kaum bekannt sind, wohl aber aus Samos (Eilmann 1933, 110 Beil. 34, 5. 8; Walter 1968, 97 Nr. 105. 106 Abb. 15. 16 Taf. 18). Da unser Fragment nicht in einem der lokalen bzw. regionalen Fabrikate gefertigt ist, liegt die Vermutung nahe, dass es sich um ein Importgefäß handeln dürfte.

Lit. Walter 1968, 28–30.

(2. Hälfte) 8. Jh. v. Chr.

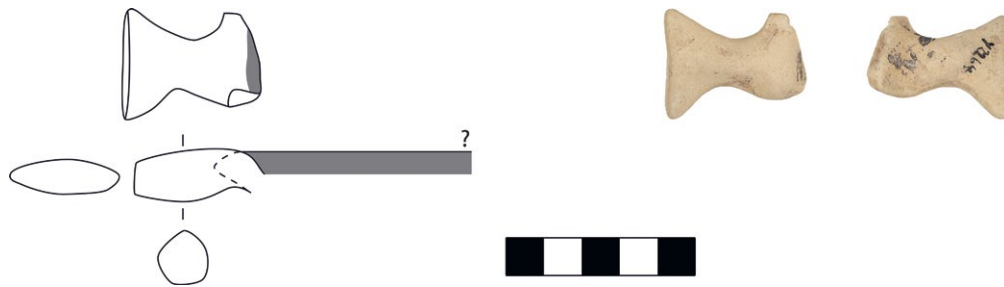


Abb. 120: Kat 98

### Kat 99

#### Schüssel mit konvexer Wandung (Abb. 121)

Mehrere Rand- und Bodenfragmente WA240 (90K20-7: südwestlich der Felsbarre, Schuttpackung unter nach-archaischer Planierung)

H 2,3+1,5; B 5,55+4,1+4,8; WSt 0,45–0,5; Dm Rand 24,4, 9%; Dm Boden ca. 7, 18 %

T: 5YR 7/6 rötlich gelb, hart, feinporös, feiner Glimmer; OF außen: 5YR 8/3 pink; Bemalung außen: 2.5YR 4/3–5/6 rötlich braun bis rot, matt; Ü innen: 2.5YR 5/4–5/6 rötlich braun bis rot, matt, streifig

Feine Hellbraune Ware – Reifenware

Weites offenes Gefäß mit aufgewölbtem Boden, flach-konvexem Becken und keilförmig verdicktem Rand mit gerade nach innen abgeschrägter Oberkante

Das Beckeninnere ist mit einem Überzug versehen, die Außenseite ist mit regelmäßigem Bänderdekor bemalt; auf der Randoberkante flankiert eine Gruppe von fünf schmalen Strichen zwei breite Streifen, die von einem schmalen Kreisband gefasste Bodenunterseite ist mit einem Sternmotiv bemalt.

Die Gefäßform leitet sich von spätgeometrischen Schüsseln und Tellern ab, ist in den archaischen Befunden vom Taxiarchis-Hügel belegt (Kaiser 2023a, 13 Nr. Geo 14 Taf. 2. 191) und auch in den Kontexten von der Felsbarre mehrfach nachgewiesen (**Kat 100. 103**).

Publ. Schattner 2007, 374 Nr. Te B2.3 (= Tf.22) Abb. 125

Lit. von Miller 2019, 132 f. 318. 351; von Miller 2023a, 66 f.

Spätes 8./1. Hälfte 7. Jh. v. Chr.

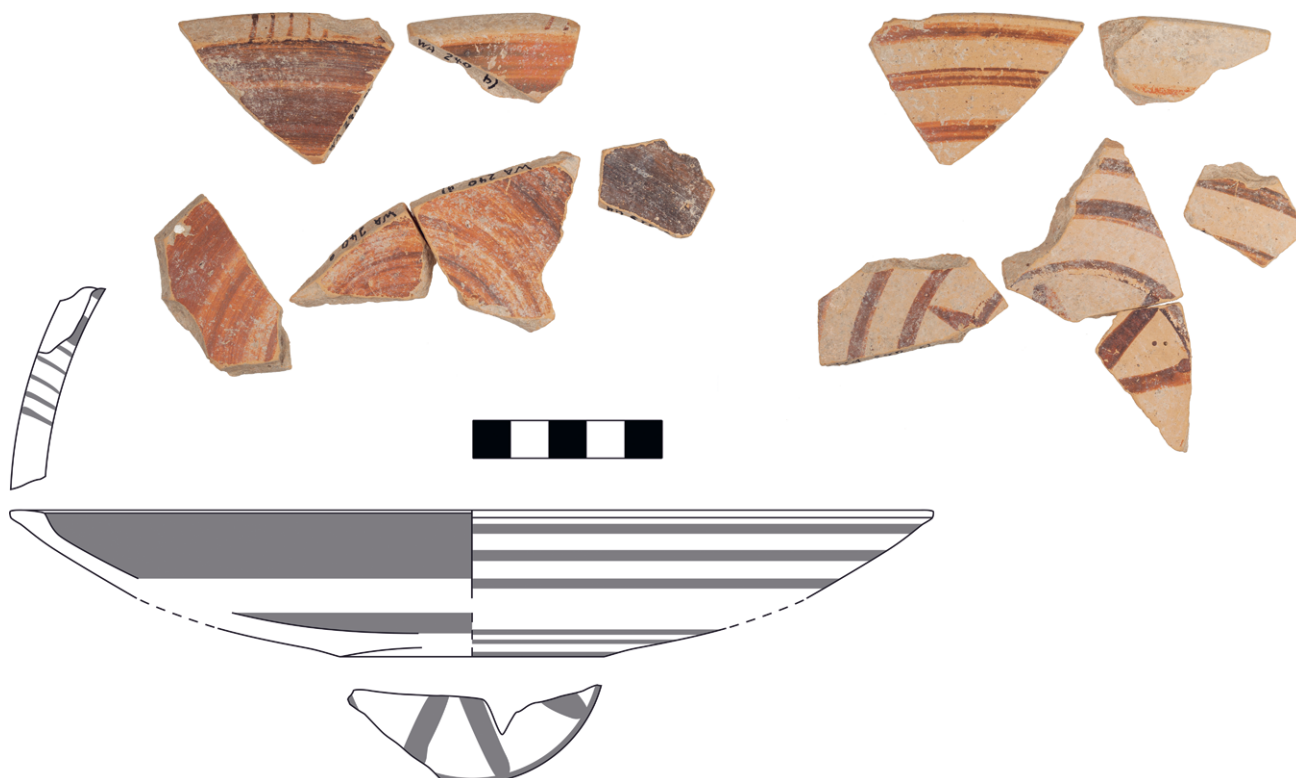


Abb. 121: Kat 99

### Kat 100

#### Schüssel mit konvexer Wandung (Abb. 122)

Bodenfragment C368 (84K15-2: Felsbarre Westbeckenanlage, Einplanierung für Nachfolgebebauung Gr. Westbecken)

H 1,6; B 3,35; WSt 0,55; Dm 8,6, 12 %

T: 7.5YR 7/4 pink, hart, feinporös, feine helle und dunkle Partikel, Glimmer; OF außen: 5YR 8/3 pink; Bemalung außen/Ü innen: 5YR 3/2–4/2 dunkel rötlich braun bis dunkel rötlich grau, matt, streifig

Hellbraune Ware – Reifenware

Offenes Gefäß mit leicht aufgewölbtem Boden und konischem Beckenansatz

Das Innere ist mit einem Überzug versehen, die Außenseite ist mit feinen Bändern bemalt.

Aus dem archaischen Befund vom Taxiarchis-Hügel in Didyma liegt ein unmittelbar vergleichbares Parallelgefäß vor (Kaiser 2023a, 13 Nr. Geo 14 Taf. 2. 191), weitere Parallelen finden sich im Gefäßrepertoire aus anderen Grabungsbereichen auf und nahe der Felsbarre (**Kat 99. 103**).

Lit. von Miller 2019, 132 f. 318. 351; von Miller 2023a, 66 f.

Spätes 8./1. Hälfte 7. Jh. v. Chr.



Abb. 122: Kat 100

### Kat 101

#### Schüssel mit konvexer Wandung (Abb. 123)

Wandfragment 89K26-5-7 (89K26-5: nördliche Straßensondage Son 89/7, Bettungshorizont ältestes Straßenpflaster)

H 2,6; B 5; WSt 0,5; Dm max. erhalten außen 15,6, 9 %

T: grau im Kern und 5YR 7/4 pink in Oberflächennähe, sehr hart, feinporös, feiner Glimmer; OF außen: 5YR 8/3 pink; Bemalung außen/Ü innen: 2.5YR 5/4 rötlich braun, matt

(Sub)Geometrische Alltagskeramik

Offenes Gefäß mit flach-konvexem Becken, Außenkontur leicht kantig

Im Inneren ist ein flächiger Überzug aufgetragen, auf der Außenseite rahmen je zwei schmale umlaufende Bänder eine Dekorzone, in welche zwei schmale, parallel geführte, niedrige Wellenbänder aufgemalt sind, die jedoch nicht umlaufen.

Ein vergleichbares Dekorsystem ist von den subgeometrisch bemalten, milesischen Amphoren bekannt (Seifert 2004, 57 Nr. 4 Taf. 2; von Graeve 1975, 40 Abb. 4; 43 Nr. 2 Abb. 7 Taf. 3).

Publ. von Miller 2024, Kat 46

Lit. von Miller 2019, 132 f.; von Miller 2023a, 66 f.

Spätes 8./1. Hälfte 7. Jh. v. Chr.

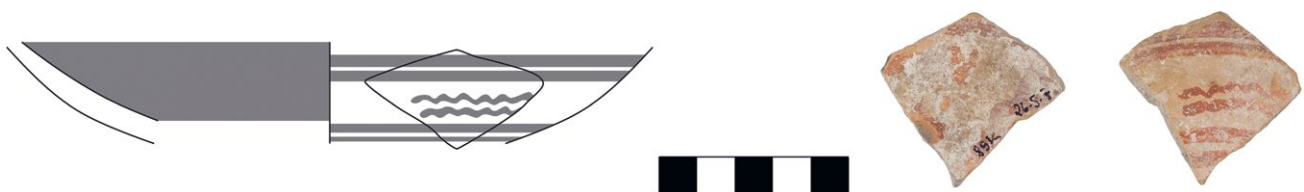


Abb. 123: Kat 101

## Kat 102

### (Sub)Geometrische Schüssel (Abb. 124)

Bodenfragment N438 (78K01-1: Felsbarre Älterer Peribolos, Bauzeit/Nutzung Ältere Peribolosmauer Ma 312)

H 2,1; B 2,6; WSt 0,53; Dm max. erhalten außen 8,6, 8 %

T: 7.5YR 7/3 pink, hart, feinporös, Glimmer; OF: 7.5YR 7/2 pinklich grau; Bemalung: 7.5YR 3/1 sehr dunkel grau, matt, verrieben

Feine Hellbraune Ware – (sub)geometrische Keramik

Offenes Gefäß mit flachem Boden und Ansatz des flachen Beckens mit leicht konvexer Kontur

Im Gefäßinneren ist ein breites Band aufgemalt, auf der Außenseite begrenzen zwei umlaufende Sockelbänder ein von einem mindestens vierteiligen Balkenbündel unterteiltes Dekorfeld.

Vergleichbare Schüsselformen sind in Didyma für die geometrische und früharchaische Zeit aus den Grabungen auf dem Taxiarchis-Hügel (Kaiser 2023a, 13 Nr. Geo 14 Taf. 2. 191) und auf der Felsbarre (**Kat 100. 103**) mehrfach belegt; ein besonders gut erhaltenes Exemplar stammt aus den Grabungen der 1990er Jahre im Südwesten der Felsbarre (**Kat 99**).

750/730–670/650 v. Chr.



Abb. 124: Kat 102

## Kat 103

### Schüssel mit konvexer Wandung (Abb. 125)

Randfragment N486 (78K01-5: Felsbarre Älterer Peribolos, Bauzeit/Nutzung Ältere Peribolosmauer Ma 312)

H 2; B 2,5; WSt 0,5; Dm außen 18, 3,5 %

T: 5YR 7/6 rötlich gelb, hart, mittelporös, wenige feine helle und graue Partikel, Glimmer; Bemalung/Ü außen: 10YR 3/1 sehr dunkel grau, matt, verrieben; Ü innen: 5YR 5/3 rötlich braun, matt, verrieben

Hellbraune Ware – Firnisware

Flaches offenes Gefäß mit zur Mündung hin keilförmig sich verdickendem Rand mit kaum nach außen abge-schrägter, gerader Oberkante

Auf beide Seiten ist ein Überzug aufgetragen, auf die unbemalte Randoberkante sind vier Balken gemalt.

Publ. Schattner 2007, 190 Nr. SchWk A1.15 Abb. 61

Lit. von Miller 2019, 132 f. 318. 351; von Miller 2023a, 66 f.

2. Viertel/2. Hälfte 7. Jh. v. Chr.



Abb. 125: Kat 103

## Kat 104

### Zickzackmetopenkotyle (Abb. 126)

Randfragment W87 (89K21-3b: Felsbarre Antebau Q, Bauzeit/Versturz/Planierung)

H 6,6; B 5,1; WSt 0,4; Dm max. erhalten außen 15,6 %

T: 5YR 6/3 leicht rötlich braun, sehr hart, feinporös, feine Kalkpseudomorphosen, wenige feine dunkle Partikel, Glimmer; OF außen: 7.5YR 8/3 pink; Bemalung außen/Ü innen: ca. 7.5YR 4/3 braun, matt, stark verrieben

Ephesische (?) subgeometrische Keramik

Tiefes Trinkgefäß mit steil konvexer Wandung und deutlich abgesetztem, hohem Randfalz mit glatt verjüngter Lippe

Das Gefäßinnere ist mit einem Überzug versehen, der auch die untere Beckenaußenseite bedeckt; die Dekorzone darüber wird nach unten von einem breiten Band, nach oben von einem Band entlang des Randansatzes begrenzt, dazwischen sind zwei mit der Kammbürste aufgetragene, horizontale Zick-Zack-Linien erkennbar.

Dieser Dekortypus ionischer Randfalzkotylen ist charakteristisch für die früharchaische Gefäßproduktion auf Samos und vor allem in Ephesos, wo das mit Kalkpseudomorphosen durchsetzte Fabrikat enge Parallelen findet. Die Nachweise in Milet und der Milesia sind bislang dürftig geblieben (von Graeve 1975, 51 f. Nr. 47 Abb. 21 Taf. 10).

Publ. Schattner 2007, 345 Nr. Sk B.8 Abb. 99

Lit. Kerschner 2008, 29 f.; von Miller 2019, 66–69

730–650/630 v. Chr.

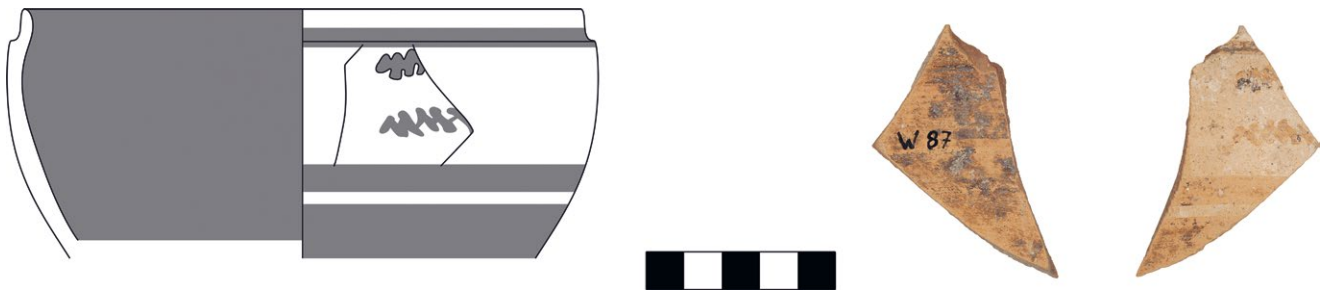


Abb. 126: Kat 104

## Kat 105

### Spätgeometrischer Deckel (Abb. 127)

Randfragment WA486 (90K20-5: südwestlich der Felsbarre, nacharchaische Planierung)

H 6,25; B 9,8; WSt 0,55; Dm max. erhalten außen 20,4, 14,5 %

T: 5YR 7/6 rötlich gelb, hart, feinporös, vereinzelt grobe Poren und dunkle Partikel, Glimmer; OF: ca. 5YR 7/6 rötlich gelb; Bemalung außen: 5YR 4/1 dunkel grau, matt, etwas verrieben

Import – spätgeometrische Keramik

Großer Deckel, dessen steil-konvexe Wandung in eine flache Kalotte umbricht; der Rand ist leicht keilförmig verdickt und bildet eine leicht gewölbte Unterkante aus.

Die Gefäßaußenseite wird oberhalb des Lippenbandes von dreiteiligen Bündeln horizontaler Bänder umfasst, die zwei schmale Ornamentzonen auf der Wandung und mindestens eine weitere auf der Kalotte rahmen. In die Ornamentzonen sind ein Wellenband sowie Doppelhaken (Kunisch 1998, 22 f.: 10 c) aufgemalt.

Publ. Schattner 2007, 226 Nr. De C3.6 (= Geo.18) Abb. 117

750–700 v. Chr.



Abb. 127: Kat 105

### Kat 106

#### Vogelkanne (Abb. 128)

Wandfragment mit Henkel C276 (84K15-10: Felsbarre Westbeckenanlage, Laufhorizont Kl. Westbecken); gehört möglicherweise zu **Kat 107**

H 8,1; B 12,2; WSt 0,4; Dm Halsansatz 6,6, 23 %

T: 5YR 6/2 pinklich grau, hart, feinstporös, Glimmer; OF: 5YR 7/6 rötlich gelb, außen seifig glatt; Bemalung: 5YR 4/1 dunkel grau, matt

Standardfabrikat – Vogelschalenwerkstatt

Geschlossenes Gefäß mit weiter, flach-konvexer Schulter eines bikonischen Gefäßkörpers und zylindrischem Hals mit konkav eingezogener Kontur; vom oberen Halsbereich führt ein doppelstabiger Vertikalhenkel auf die Schulter.

Der Henkelansatz ist bemalt, die Außenseiten der Henkelstäbe sind mit horizontalen Streifen bemalt. Im Anschluss an die flächig bemalte Henkelzone auf Hals und Schulter leiten vertikale Balken in die ornamentalen Dekorzonen über, die durch ein umlaufendes Band am Halsansatz voneinander abgegrenzt sind. Auf der Schulter zeichnet sich ein Schmetterlingsmetopenfries ab, das Dekorfeld auf dem Hals ist von drei horizontalen Balken in zwei Register unterteilt; der Bemalungsrest im oberen ließe sich zu einem stehenden Dreieck ergänzen. Innen zeigt sich der untere Abschluss eines breiten Lippenbandes.

Publ. Schattner 2007, 270 Nr. Kl B2.2 (= Geo.5) Abb. 116

Lit. Kerschner 2002, 69; Kerschner 2008, 48 f.; von Miller 2019, 158–160. 320 f. 355

730–670 v. Chr.

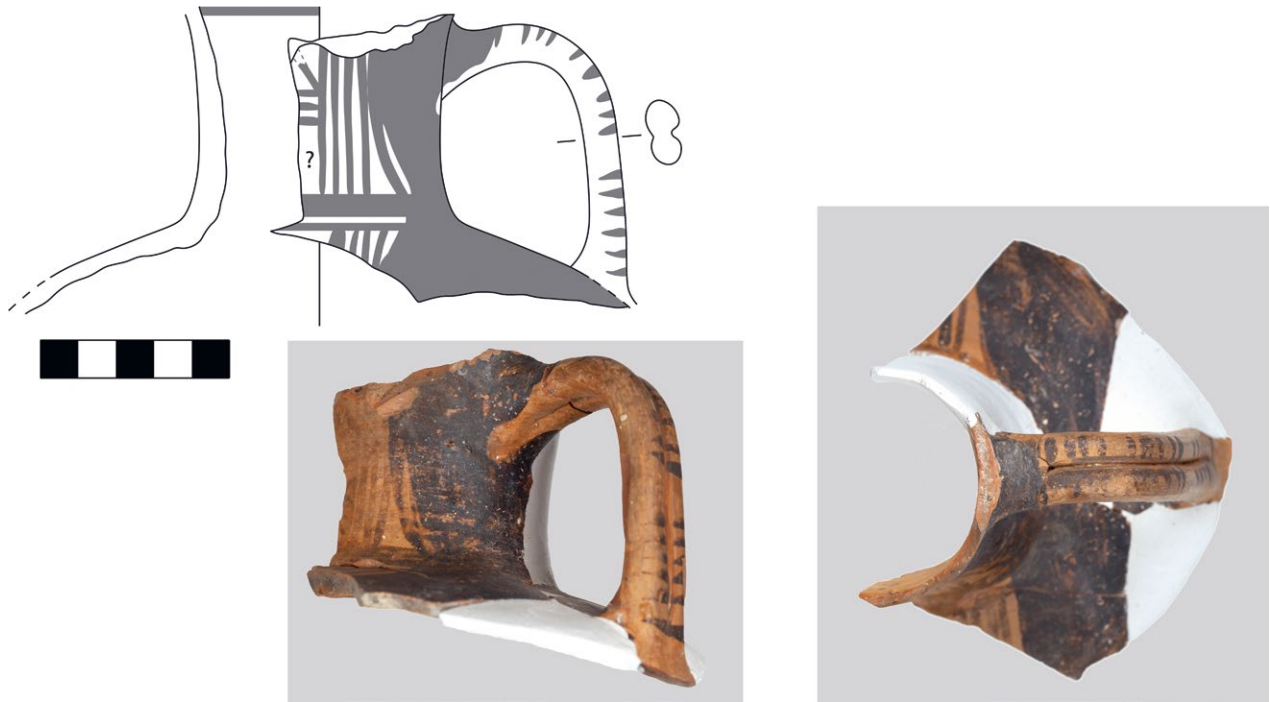


Abb. 128: Kat 106

### Kat 107

#### Vogelkanne (Abb. 129)

Wandfragment C259 (84K15-10: Felsbarre Westbeckenanlage, Laufhorizont Kl. Westbecken); gehört möglicherweise zu **Kat 106**

H 4,6; B 3,8; WSt 0,6; Dm max. erhalten außen 6, 18 %

T: ca. 5YR 6/2 pinklich grau, hart, feinstporös, feiner Glimmer; OF: ca. 5YR 7/6 blass rötlich gelb, außen seifig glatt; Bemalung außen: 5YR 4/1 dunkel grau, matt

Standardfabrikat – Vogelschalenwerkstatt

Trichterförmig ausschwingender Hals mit konkaver Kontur eines geschlossenen Gefäßes

Im Inneren zeichnet sich der untere Rand eines Lippenbandes ab, die Halsaußenseite ist mit zwei von drei Bändern getrennten Ornamentfriesen geschmückt, die Gitterrauten und stehende Gitterdreiecke abbilden.

Publ. Schattner 2007, 270 Nr. Kl B2.3 (= Geo.6) Abb. 116 (fälschlicherweise mit **Kat 108** zusammengeschlossen)

Lit. Kerschner 2002, 69; Kerschner 2008, 48 f.; von Miller 2019, 158–160. 320 f. 355

730–670 v. Chr.



Abb. 129: Kat 107

### Kat 108

#### Vogelkanne (Abb. 130)

Wandfragment C257a+b (84K15-10: Felsbarre Westbeckenanlage, Laufhorizont Kl. Westbecken)

H 3,9; B 6,6; WSt 0,55; Dm Halsansatz 7,6, 22 %

T: ca. 5YR 6/3 leicht rötlich braun, hart, feinstporös, vereinzelt mittlere rote Einschlüsse, feiner Glimmer; OF außen: 5YR 8/4 pink, seifig glatt; OF innen: 5YR 8/3 pink; Bemalung außen: 5YR 4/2 dunkel rötlich grau, matt, etwas verrieben

Standardfabrikat – Vogelschalenwerkstatt

Flach-konvexe Schulter und Ansatz des zylindrischen Halses mit leicht konkaver Kontur eines geschlossenen Gefäßes

Gerahmt von Reifendekor zeigen sich zwei ornamentale Dekorzonen mit Gitterrauten auf dem Hals und einem Zick-Zack-Band um den Halsansatz auf der Schulter; zwei kurvilineare Bänder rahmen den Henkelansatz.

Publ. Schattner 2007, 270 Nr. Kl B2.3 (= Geo.6) Abb. 116 (fälschlicherweise mit **Kat 107** zusammengeschlossen)

Lit. Kerschner 2002, 69; Kerschner 2008, 48 f.; von Miller 2019, 158–160. 320 f. 355

730–670 v. Chr.

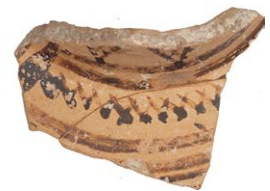
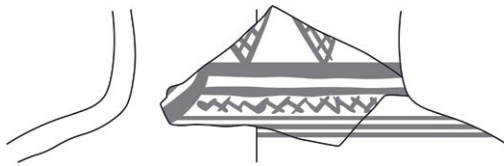


Abb. 130: Kat 108

### Kat 109

**Vogelkanne** (Abb. 131)

Wandfragment C480 (84K15-11: Felsbarre Westbeckenanlage, Bauzeit Laufhorizont Kl. Westbecken)

H 1,8; B 3,4; WSt 0,45; Dm max. erhalten ca. 21, 4,5 %

T: 5YR 6/2 pinklich grau, hart, feinporös, wenige feine dunkle Einschlüsse, feiner Glimmer; OF außen: 5YR 8/3 pink, seifig glatt; OF innen: 2.5YR 7/3 leicht rötlich braun; Bemalung außen: 2.5YR 3/1 dunkel rötlich grau, matt

Standardfabrikat – Vogelschalenwerkstatt

Flach-konvexes, weites Schulterfragment eines geschlossenen Gefäßes

Außen zeigt sich begrenzt von drei vertikalen Balken der Ausschnitt aus einem ornamentalen Dekorfeld mit einer segmentierten Gitterraute neben einem stehenden Gitterdreieck.

Publ. Schattner 2007, 427 Nr. Geo.7 Abb. 116

Lit. Kerschner 2002, 69; Kerschner 2008, 48 f.; von Miller 2019, 158–160. 320 f. 355

730–670 v. Chr.



Abb. 131: Kat 109

### Kat 110

**Vogelkanne** (Abb. 132)

Wandfragment F306 (86K03-2: Felsbarre Westbeckenanlage, Nutzung Laufhorizont Gr. Westbecken)

H 4,2; B 4,6; WSt 0,5; Dm max. erhalten außen 26, 5 %

T: 7.5YR 7/2 pinklich grau innen und 5YR 7/4 pink außen, hart, feinporös, feiner Glimmer; OF außen: 7.5YR 7/6 rötlich gelb; OF innen: 7.5YR 8/4 pink; Bemalung außen: 7.5YR 3/2 dunkel braun, matt, stark verrieben

Standardfabrikat – Vogelschalenwerkstatt

Bikonisches Fragment vom kantig akzentuierten Bauch-Schulter-Umbruch eines geschlossenen Gefäßes

Der Bauch-Schulter-Umbruch wird von vier schmalen Bändern oberhalb des bemalten Gefäßunterkörpers umfasst, darüber schließt ein Schmetterlingsmetopenfries an.

Lit. Kerschner 2002, 69; Kerschner 2008, 48 f.; von Miller 2019, 158–160. 320 f. 355

730–670 v. Chr.

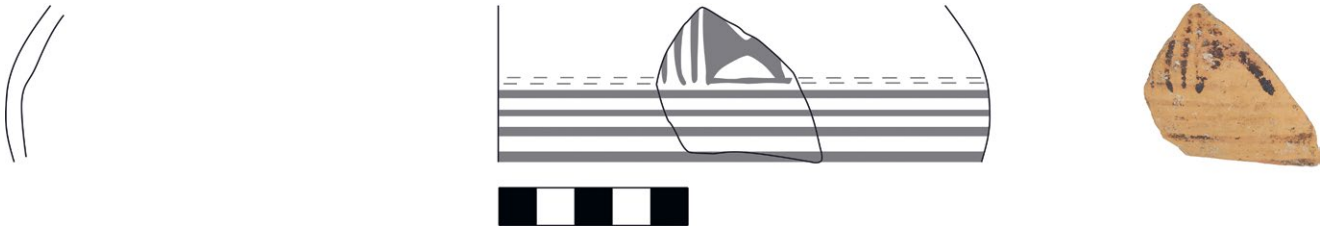


Abb. 132: Kat 110

### Kat 111

#### Geometrischer (Bügelhenkel)Krater (Abb. 133)

Wandfragment B161 (83K18-1: Felsbarre Älterer Peribolos, Bettung Ältestes Straßenpflaster Hl. Straße/Verfüllung)

H 4,2; B 4; WSt 0,9; Dm max. erhalten außen 30,4, 3,5 %

T: 7.5YR 6/2 pinklich grau, hart, feinporös; OF außen: 7.5YR 7/2 pinklich grau, seifig glatt; Bemalung außen/  
Ü innen: 7.5YR 4/1 dunkel grau, matt

Standardfabrikat – Vogelschalenwerkstatt

Dickwandiges und steil-konvexes Fragment vom tiefen Becken eines großen offenen Gefäßes

Die Gefäßinnenseite ist flächig bemalt, die Außenseite trägt geometrischen Dekor, von dem sich die Ausschnitte aus zwei Friesen, begrenzt von je drei umlaufenden Reifen, erhalten haben: Der untere Sockelfries ist mit Schmetterlingsmetopen bemalt, darüber zeigt sich der von mindestens zwei Balken zum rechten Henkelfeld hin abgegrenzte Ansatz des zwischen den Henkeln positionierten Hauptdekorfeldes.

Dekorsystem und Ornamentik sind aufs Engste mit jenem der nordionischen Vogelkotylen (Kerschner 1995, 11–15; Kerschner 2002, 63–72; Kaiser – von Miller 2023, 504–506) verknüpft.

Publ. Schattner 2007, 429 Nr. Geo.27 Abb. 117

Lit. Özkan 2009, 59 f. [= İren – Ünlü 2012, 311. 319 Nr. 1 Abb. 3. 29–31]; von Miller 2019, 341

760/750–670 v. Chr.



Abb. 133: Kat 111

### Kat 112

#### Spätgeometrischer Krater (Abb. 134)

Wandfragment Ke96089 (96K14: Felsbarre Nordwestmauern, Einplanierung für hellenistischen Terrassenbau)

H 3; B 2,4; WSt 0,7; Dm max. erhalten außen ca. 34, 2,5 %

T: grau im Kern und 7.5YR 7/2 pinklich grau in Oberflächennähe, hart, feinstporös, feiner Glimmer; OF außen: 7.5YR 8/3 pink, seifig glatt; Bemalung außen: 7.5YR 3/2 dunkel braun, matt; Ü innen: 7.5YR 4/1 dunkel grau, matt, leicht streifig

Standardfabrikat – Vogelschalenwerkstatt

Steil-konvexes Beckenfragment eines großen offenen Gefäßes

Im Inneren ist ein Überzug aufgetragen, außen zeigt sich oberhalb von drei umlaufenden Bändern eine Dekorzone mit ornamentalem Dekor: erkennbar sind ein schmaler vertikaler Steifen und links davon ein nach links orientiertes Gitterdreieck; der Bemalungsrest davor lässt sich als Krallenfuß eines Vogels identifizieren.

Das Gefäß scheint entwicklungstypologisch jünger als der Krater der Vogelschalenwerkstatt **Kat 111**.

Lit. Özkan 2009, 59 f. [= İren – Ünlü 2012, 311. 319 Nr. 1 Abb. 3. 29–31]; von Miller 2019, 341

750–670 v. Chr.

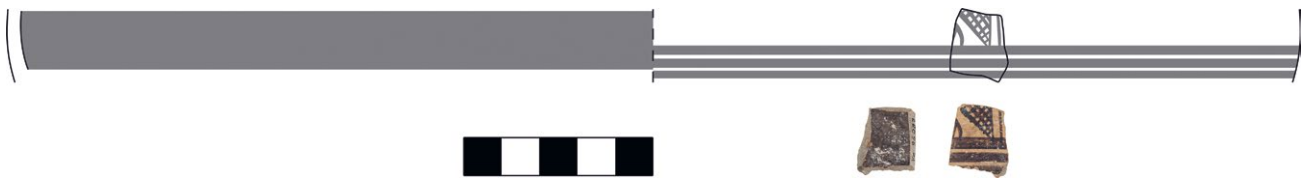


Abb. 134: Kat 112

### Kat 113

#### Spätgeometrischer Krater (Abb. 135)

Wandfragment Ke0069 (00K26-10: Felsbarre Nordwestmauer, Bauzeit/Nutzung Ma 583)

H 3,4; B 3,85; WSt 0,5; Dm max. erhalten außen 36,4, 3 %

T: grau im Kern und 5YR 7/3 pink in Oberflächennähe; OF außen: 5YR 7/4 pink, seifig glatt; Ü innen: 5YR 4/1 dunkel grau, matt; Bemalung außen: 5YR 3/2 dunkel braun, matt

Standardfabrikat – Vogelschalenwerkstatt

Großes offenes Gefäß mit steil-konvexer Beckenschulter und konkav abgesetztem Randansatz

Im Inneren ist ein flächiger Überzug aufgetragen; auf der Randaußenseite sind zwei umlaufende Bänder aufgemalt, unter denen sich auf der Beckenschulter der Ausschnitt eines Metopenfrieses zeigt, von dem sich vier vertikale Balken und links davon ein gerahmtes, kreuzschraffiertes Dreieck wahrscheinlich als Teil eines komplexeren Dekors erhalten haben.

Lit. Özkan 2009, 59 f. [= İren – Ünlü 2012, 311. 319 Nr. 1 Abb. 3. 29–31]; von Miller 2019, 341

750–670 v. Chr.

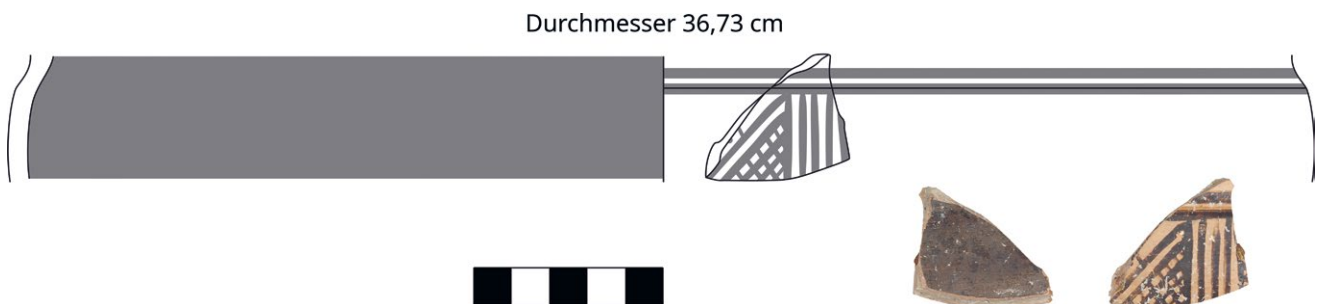


Abb. 135: Kat 113

### Kat 114

#### Spätgeometrischer Krater (Abb. 136)

Wandfragment Ke96157 (96K15: Felsbarre Nordwestmauern, Einplanierung für hellenistischen Terrassenbau)

H 2,6; B 3,6; WSt 0,7; Dm max. erhalten innen 19,5 %

T: grau im Kern und 5YR 7/4 pink in Oberflächennähe, hart, feinporös, feiner Glimmer; OF außen: ca. 7.5YR 8/3 pink, verrieben; Bemalung außen/Ü innen: 7.5YR 4/2 braun, matt, streifig, stark verrieben

Standardfabrikat – Vogelschalenwerkstatt

Konvexes, dickwandiges Beckenfragment eines großen offenen Gefäßes

Das Innere trägt einen Überzug, außen schließt oberhalb von drei umlaufenden Bändern eine ornamentale Dekorzone an: Erkennbar sind im Negativ des Abriebs die unteren Enden von zwei vertikalen Balken und der Abschluss eines vertikalen Ornamentbandes.

Das Dekorsystem scheint entwicklungstypologisch jünger als jenes des Kraters der Vogelschalenwerkstatt

#### Kat 111.

Lit. Özkan 2009, 59 f. [= İren – Ünlü 2012, 311. 319 Nr. 1 Abb. 3. 29–31]; von Miller 2019, 341

750/720–670 v. Chr.

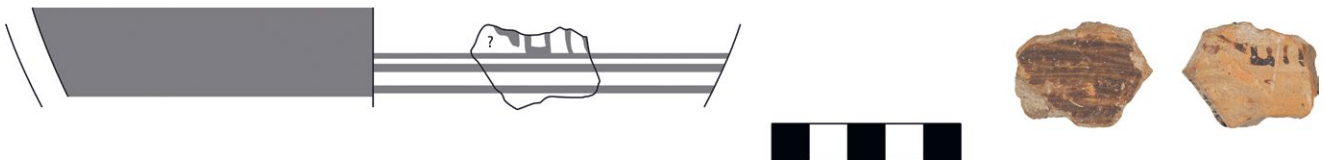


Abb. 136: Kat 114

### Kat 115

#### Vogelschüssel Typ A (Abb. 137)

Wandfragment 00K26-16-4 (00K26-16: Felsbarre Nordwestmauern, Bauzeit Mauer Ma 583)

H 3,1; B 2,6; WSt 0,5; Dm max. erhalten außen ca. 22,3 %

T: 7.5YR 7/2 pinklich grau, hart, feinporös, wenig Glimmer; OF außen: 7.5YR 7/3 pink, seifig glatt; Bemalung außen/Ü innen: 7.5YR 4/3 braun, matt, leicht streifig

Standardfabrikat – Vogelschalenwerkstatt

Steil-konvexes Beckenfragment eines großen offenen Gefäßes

Die Beckeninnenseite ist flächig bemalt, außen zeigen sich zwei ornamental bemalte Dekorfriese, die von zwei horizontalen Bändern abgegrenzt werden: Der untere Fries besteht aus einer kreuzschraffierten Fläche, im oberen Fries zeigt sich zur Linken von zwei vertikalen Balken ein stehendes Gitterdreieck.

Kreuzschraffierte Sockelbänder spielen im Motivschatz der nordionischen Vogelschalenwerkstatt eine nur untergeordnete Rolle, sind mittlerweile aber sowohl für Kotylen (von Miller 2019, 71 Nr. 1715 Taf. 144) als auch Kannen (von Miller 2019, 158 Nr. 1545 Taf. 129; 355 Nr. 2260 Taf. 185) belegt.

Lit. Kerschner 1995, 24; von Miller 2019, 75–77. 334; Kaiser – von Miller 2023, 506 f.

730–7. Jh. v. Chr.

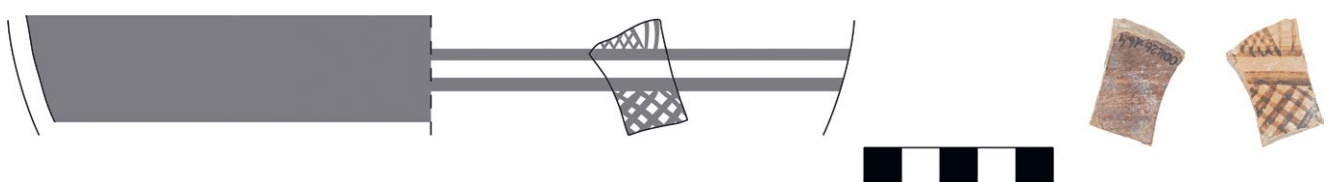


Abb. 137: Kat 115

### Kat 116

#### Vogelkotyle (Abb. 138)

Randfragment mit Henkelansatz C681 (84K15-11: Felsbarre Westbeckenanlage, Bauzeit Laufhorizont Kl. Westbecken)

H 4,11; B 3; WSt 0,4; Dm 16, 4 %

T: grau im Kern und 5YR 7/6 rötlich gelb, hart, feinstporös, feiner Glimmer; OF außen: 7.5YR 8/3 pink, seifig glatt; Bemalung außen: 5YR 3/3 dunkel rötlich braun, matt; Ü innen: 5YR 4/1 dunkel grau, matt glänzend, leicht streifig

Standardfabrikat – Vogelschalenwerkstatt

Tiefes Trinkgefäß mit steil-konvexer Beckenwandung und kräftig nach innen versetztem Randfalz mit glatt verjüngter Lippe; auf der Beckenschulter setzt ein rundstabiger, schräg nach oben gebogener Horizontalhenkel an.

Das Innere ist mit einem Überzug versehen, außen zeigt sich der bemalte Bereich zur Linken des bemalten Henkelansatzes.

Lit. Kerschner 1995, 11–15; Kerschner 2002, 67–69; Kerschner 2008, 27–29; von Miller 2019, 70–75. 312. 333 f.; Kaiser – von Miller 2023, 504–506

750–650 v. Chr.

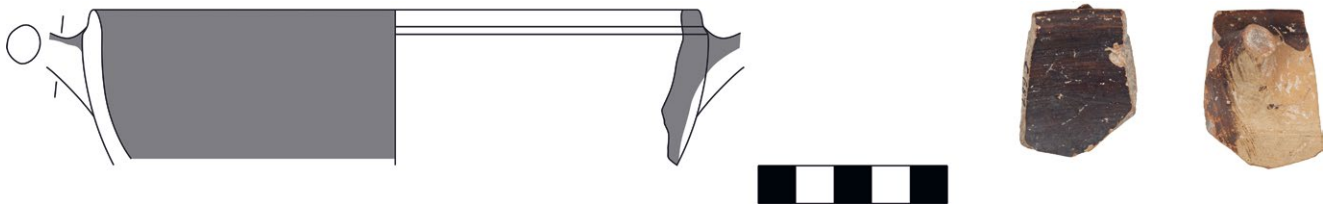


Abb. 138: Kat 116

### Kat 117

#### Vogelkotyle (Abb. 139)

Randfragment mit Henkelansatz N477 (78K01-5: Felsbarre Älterer Peribolos, Bauzeit/Nutzung Ältere Peribolosmauer Ma 312)

H 2,9; B 4,5; WSt 0,4; Dm 11,4, 12 %

T: grau im Kern und 2.5YR 6/6 leicht rot in Oberflächennähe, hart, feinstporös, vereinzelt mittlere schwarze Partikel, feiner Glimmer; OF außen: 10YR 8/3 sehr blass braun, seifig glatt; Bemalung außen: 2.5YR 3/2 gräulich rot, matt, verrieben; Ü innen: 2.5YR 5/3 rötlich braun, matt, streifig verrieben

Standardfabrikat – Vogelschalenwerkstatt

Randfalzkytyle mit steil-konvexer Beckenschulter und davon nach innen versetztem Randfalz mit glatt verjüngter Lippe. Auf der Schulter setzt ein rundstabiger, schräg nach oben geführter Horizontalhenkel an.

Das Innere ist mit einem Überzug versehen, außen sind der Henkelansatz und das seitliche Henkelfeld bemalt, daneben folgt ein mindestens dreiteiliges Bündel unregelmäßig gezeichneter Vertikalbalken; auf dem Rand verläuft ein Lippenband.

Lit. Kerschner 1995, 11–15; Kerschner 2002, 67–69; Kerschner 2008, 27–29; von Miller 2019, 70–75. 312. 333 f.; Kaiser – von Miller 2023, 504–506

750–650 v. Chr.



Abb. 139: Kat 117

### Kat 118

#### Vogelkotyle (Abb. 140)

Randfragment N484 (78K01-5: Felsbarre Älterer Peribolos, Bauzeit/Nutzung Ältere Peribolosmauer Ma 312)

H 1,5; B 5,6; WSt 0,55; Dm 15,6, 7 %

T: 7.5YR 7/2 pinklich grau, hart, feinporös, feiner Glimmer; OF außen: 7.5YR 8/3 pink, seifig glatt; Bemalung außen/Ü innen: 7.5YR 2.5/1 schwarz, matt

Standardfabrikat – Vogelschalenwerkstatt

Offenes Gefäß mit von der steilen Schulter treppenartig nach innen versetztem Randfalz mit glatt gerundeter Lippe

Das Innere ist mit einem Überzug versehen, außen zeigt sich zur Linken des bemalten Henkelfeldes der Ansatz der Dekorzone mit dem von einem unregelmäßig gemalten, breiten Band gefassten Randfalz, den zugespitzten Enden von zwei vertikalen Balken und der Rahmung einer Gitterraute (Typ 3–Typ 8) oder aber eines Zick-Zack-Frieses (Typ 1/Typ 2).

Lit. Kerschner 1995, 11–15; Kerschner 2002, 67–69; Kerschner 2008, 27–29; von Miller 2019, 70–75. 312. 333 f.; Kaiser – von Miller 2023, 504–506

750–650 v. Chr.



Abb. 140: Kat 118

### Kat 119

#### Vogelkotyle (Abb. 141)

Randfragment Y2434 (81K15-9: Felsbarre Oikos P, Nutzung)

H 2,3; B 3,1; WSt 0,35; Dm 11, 5 %

T: 5YR 7/3 pink, hart, feinporös, Glimmer; OF außen: 7.5YR 8/4 pink; Bemalung außen: 5YR 4/3 rötlich braun, matt; Ü innen: 5YR 3/2 dunkel rötlich braun, matt, leicht streifig, verrieben

Standardfabrikat – Vogelschalenwerkstatt

Randfalzkytyle mit steiler Beckenschulter und treppenförmig abgesetztem, hohem Randfalz mit gerundeter Lippe

Im Inneren ist ein Überzug aufgetragen, außen zeigen sich im Anschluss an ein linkes Henkelfeld drei vertikale Balken.

Publ. Schattner 2007, 347 Nr. Vsk.6 Abb. 100

Lit. Kerschner 1995, 11–15; Kerschner 2002, 67–69; Kerschner 2008, 27–29; von Miller 2019, 70–75. 312. 333 f.; Kaiser – von Miller 2023, 504–506

750–650 v. Chr.



Abb. 141: Kat 119

### Kat 120

#### Vogelkotyle (Abb. 142)

Randfragment 77K32-2-2 (77K32-2: Felsbarre Älterer Peribolos, Bauzeit/Nutzung Ältere Peribolosmauer Ma 312)

H 1,65; B 2,3; WSt 0,3

T: 7.5YR 6/1 grau, sehr hart, feinporös, Glimmer; OF außen: 7.5YR 7/2 pinklich grau, seifig glatt; Bemalung außen/Ü innen: 7.5YR 5/1 grau, matt

Standardfabrikat – Vogelschalenwerkstatt, sekundär verbrannt

Randfalzkotyle mit steil-konvex gewölbter Beckenschulter und davon treppenartig nach innen versetztem, hohem Randfalz

Im Inneren ist ein Überzug aufgetragen, auf der Außenseite zeigt sich zur Rechten des rechten Henkelfeldes ein vierteiliges Balkenbündel.

Lit. Kerschner 1995, 11–15; Kerschner 2002, 67–69; Kerschner 2008, 27–29; von Miller 2019, 70–75. 312. 333 f.; Kaiser – von Miller 2023, 504–506

750–650 v. Chr.

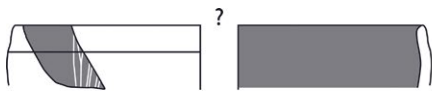


Abb. 142: Kat 120



### Kat 121

#### Vogelkotyle Typ 1–Typ 5 (Abb. 143)

Wandfragment Y2555 (81K12-10: Felsbarre Oikos P, Zerstörungshorizont/Verfüllung)

H 3,3; B 3,8; WSt 0,4; Dm max. erhalten außen 13,8, 8,5 %

T: 5YR 6/2 pinklich grau, hart, feinporös, feiner Glimmer; OF außen: ca. 5YR 7/6 rötlich gelb; Bemalung außen/Ü innen: im Negativ des Abriebs

Standardfabrikat – Vogelschalenwerkstatt

Steil-konvexes Beckenfragment eines tiefen Trinkgefäßes

Im Inneren ist ein Überzug aufgetragen, außen zeigt sich rechts im Anschluss an das bemalte rechte Henkelfeld eine von zwei schmalen Reifen begrenzte Zone, in der neben sieben unterschiedlich breiten vertikalen Balken der Ansatz eines Schmetterlingsmotivs erkennbar ist.

Lit. Kerschner 1995, 11–14; Kerschner 2002, 67–69; Kerschner 2008, 27–29; von Miller 2019, 70–75. 312. 333 f.; Kaiser – von Miller 2023, 504–506

750–675 v. Chr.



Abb. 143: Kat 121



### Kat 122

#### Randfragment mit Henkelansatz 80K16-8-2 (80K16-8: Felsbarre Nordwestmauern, Bau/Einplanung westlicher Vorplatz)

Randfragment mit Henkelansatz 80K16-8-2 (80K16-8: Felsbarre Nordwestmauern, Bau/Einplanung westlicher Vorplatz)

H 4,7; B 5,2; WSt 0,3; Dm 7,8, 18 %

T: 7.5YR 7/3 pink, hart, feinporös, feiner Glimmer; OF außen: 7.5YR 8/4 pink, seifig glatt; Bemalung außen/Ü innen: 7.5YR 4/2 braun, matt glänzend bis streifig, changiert ins Orange

Standardfabrikat – Vogelschalenwerkstatt

Engmündige Kotyle mit tief-konvexem Becken und auf beiden Seiten leicht facettiert abgesetztem Randfalz mit zugespitzter Lippe sowie randständigem Ansatz des rundstabigen Horizontalhenkels

Das Gefäßinnere ist mit einem Überzug bedeckt, außen sind der Henkelansatz, der Randfalz und eine schmale Zone zur Linken des Henkels bemalt, im Anschluss folgen drei vertikale Balken, an welche mindestens zwei horizontale Ornamentfelder anschließen, die von mindestens zwei horizontalen Streifen abgegrenzt werden. Im oberen Feld hat sich eine gerahmte Gitterraute erhalten.

Das Dekorsystem weicht von den bekannten Schemata nordionischer Vogelkotylen ab; wahrscheinlich handelt es sich um eine Variante einer Vogelkotyle des Typs 2.

Lit. Kerschner 1995, 12; Kerschner 2002, 67–69; Kerschner 2008, 27–29; Kaiser – von Miller 2023, 504–506

750–715 v. Chr.



Abb. 144: Kat 122

### Kat 123

#### Vogelkotyle Typ 3–Typ 6 (Abb. 145)

Randfragment W14 (89K26-6: nördliche Straßensondage Son 89/7, unter ältestem Straßenspflaster)

H 2,4; B 3,25; WSt 0,75; Dm max. erhalten außen 18,4, 5,5 %

T: grau im Kern und 5YR 8/4 pink in Oberflächennähe, hart, feinporös, feiner Glimmer; OF außen: 5YR 8/4 pink, seifig glatt; Bemalung außen: 5YR 4/2 dunkel rötlich grau, matt; Ü innen: 5YR 3/2 dunkel rötlich braun, matt, abgerieben

Standardfabrikat – Vogelschalenwerkstatt

Dickwandiges, offenes Gefäß mit steil-konvexer Wandung und hohem Randfalz mit glatt verjüngter Lippe

Im Inneren ist ein flächiger Überzug aufgetragen, auf der Außenseite läuft unterhalb des Randfalzes ein schmales Band um, an welches die oberen Enden zweier vertikaler Balken und einer Raute anstoßen.

Das rekonstruierbare Metopendekorsystem mit seitlich positionierten, gerahmten Gitterrauten ist zwar auch für die Vogelkotylen der Typen 7 und 8 charakteristisch (Kerschner 1995, 15), doch handelt es sich hierbei um tendenziell kleinere und zierlichere Gefäße.

Publ. Schattner 2007, 346 Nr. Vsk.1 Abb. 99; von Miller 2024, Kat 54

Lit. Kerschner 1995, 12–15; von Miller 2019, 70–75. 333 f.; Kaiser – von Miller 2023, 504–506

750–670/650 v. Chr.

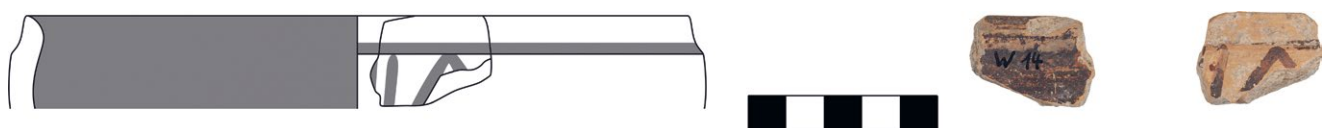


Abb. 145: Kat 123

### Kat 124

#### Vogelkotyle Typ 3–Typ 8 (Abb. 146)

Randfragment X972bis (80K12-10: Felsbarre Nordwestmauern, Einplanierung für hellenistischen Terrassenbau)

H 2,1; B 2,6; WSt 0,3; Dm 11,6, 5 %

T: 7.5YR 8/4 pink, hart, feinporös, Glimmer; OF außen: 7.5YR 8/3 pink; Bemalung außen: im Negativ des Abriebs; Ü innen: 7.5YR 3/2 dunkel braun, matt, streifig

Nordionisch-geometrische Keramik

Kotyle mit steil-konvexer Beckenkantur und leicht nach innen versetztem Randfalz mit glatt gerundeter Lippe

Das Gefäßinnere ist mit einem Überzug versehen, auf der Außenseite lässt sich unterhalb eines umlaufenden Reifens die Bemalung der Dekorzone mit mindestens drei vertikalen Balken zur Rechten einer gerahmten Gitterraute rekonstruieren.

Lit. Kerschner 1995, 12–15; Kerschner 2002, 67–69; Kerschner 2008, 27–29; von Miller 2019, 70–75. 312. 333 f.; Kaiser – von Miller 2023, 504–506

750–650 v. Chr.



Abb. 146: Kat 124

### Kat 125

#### Vogelkotyle Typ 3–Typ 8 (Abb. 147)

Randfragment L992 (77K32-1: Felsbarre Älterer Peribolos, Bauzeit/Nutzung Ältere Peribolosmauer Ma 312)

H 3,5; B 2,4; WSt 0,5; Dm max. erhalten außen 13,2, 5 %

T: 7.5YR 7/1 leicht grau, hart, feinstporös, Glimmer; OF außen: 7.5YR 8/3 pink, seifig glatt; Bemalung außen: 7.5YR 4/2 braun, matt, verrieben; Ü innen: 7.5YR 3/1 sehr dunkel grau, matt glänzend

Standardfabrikat – Vogelschalenwerkstatt

Trinkgefäß mit steil-konvexem, tiefem Gefäßbecken und davon kaum abgesetztem Randfalz mit glatt verjüngter Lippe

Im Inneren ist ein Überzug aufgemalt, außen hat sich unterhalb des von zwei Reifen gefassten Randfalzes der Ausschnitt aus einer gerahmten Gitterraute und zweier vertikaler Balken erhalten.

Lit. Kerschner 1995, 12–15; Kerschner 2002, 67–69; Kerschner 2008, 27–29; von Miller 2019, 70–75. 312. 333 f.; Kaiser – von Miller 2023, 504–506

750–650 v. Chr.



Abb. 147: Kat 125

### Kat 126

#### Vogelkotyle Typ 3–Typ 8 (Abb. 148)

Wandfragment N454b (78K01: Felsbarre Älterer Peribolos, Bauzeit/Nutzung Ältere Peribolosmauer Ma 312)

H 2; B 2,65; WSt 0,55; Dm max. erhalten außen 16, 5 %

T: grau, hart, feinporös, feiner Glimmer; OF außen: 7.5YR 7/4 pink, seifig glatt; Bemalung außen: 7.5YR 3/1 sehr dunkel grau, matt; Ü innen: 7.5YR 4/1 dunkel grau, matt, streifig

Standardfabrikat – Vogelschalenwerkstatt

Steil konvexes Beckenfragment eines tiefen offenen Gefäßes

Im Inneren ist ein Überzug aufgetragen, außen zeigt sich der Ausschnitt aus einer gerahmten Gitterraute.

Publ. Schattner 2007, 347 Nr. Vsk.11 Abb. 100 (fälschlicherweise gemeinsam mit **Kat 132**)

Lit. Kerschner 1995, 12–15; Kerschner 2002, 67–69; Kerschner 2008, 27–29; von Miller 2019, 70–75. 312. 333 f.; Kaiser – von Miller 2023, 504–506

750–650 v. Chr.



Abb. 148: Kat 126

### Kat 127

**Vogelkotyle Typ 3–Typ 8** (Abb. 149)

Wandfragment 81K15-4-3 (81K15-4: Felsbarre Oikos P; Verfüllung)

H 2,1; B 4,1; WSt 0,6; Dm max. erhalten außen 16,2, 7 %

T: 5YR 7/6 rötlich gelb, hart, feinporös, vereinzelt mittlere schwarze Partikel, Glimmer; OF außen: ca. 5YR 7/6 rötlich gelb, verrieben; Bemalung außen/Ü innen: 5YR 4/2 dunkel rötlich braun, matt, stark verrieben

Vogelschalenwerkstatt (?)

Große und dickwandige Randfalzkotyle mit steil-konvexem Beckenansatz unter dem treppenartig nach innen versetzten, abgebrochenen Randfalz

Das Innere ist mit einem Überzug versehen, außen zeigt sich eingerahmt vom linken Henkelfeld und einem den Randfalz fassenden Reifen eine gerahmte Gitterraute.

Lit. Kerschner 1995, 12–15; Kerschner 2002, 67–69; Kerschner 2008, 27–29; von Miller 2019, 70–75. 312. 333 f.; Kaiser – von Miller 2023, 504–506

750–650 v. Chr.



Abb. 149: Kat 127

### Kat 128

**Vogelkotyle Typ 3–Typ 8** (Abb. 150)

Wandfragment 89K22-2a-1 (89K22-2a: Felsbarre Antennbau Q, Nutzung/Zerstörungshorizont)

H 2,2; B 1,9; WSt 0,3

T: grau im Kern und 5YR 7/4 pink in Oberflächennähe, hart, feinporös, feiner Glimmer; OF außen: 7.5YR 8/3 pink; Bemalung außen: 7.5YR 4/2 braun, matt; Ü innen: 5YR 3/1 sehr dunkel grau, matt, leicht streifig

Standardfabrikat – Vogelschalenwerkstatt

Steil-konvexes Beckenfragment eines tiefen Trinkgefäßes

Das Beckeninnere ist mit einem Überzug versehen, außen ist oberhalb von zwei schmalen umlaufenden Bändern eine gerahmte Gitterraute aufgemalt.

Lit. Kerschner 1995, 12–15; Kerschner 2002, 67–69; Kerschner 2008, 27–29; von Miller 2019, 70–75. 312. 333 f.; Kaiser – von Miller 2023, 504–506

750–650 v. Chr.



Abb. 150: Kat 128

### Kat 129

#### Vogelkotyle Typ 4–Typ 6 (Abb. 151)

Randfragment L986 (77K32-2: Felsbarre Älterer Peribolos, Bauzeit/Nutzung Ältere Peribolosmauer Ma 312)

H 2,8; B 2,6; WSt 0,5; Dm max. erhalten außen 16,4, 4 %

T: 7.5YR 7/4 pink, hart, feinstporös, Glimmer; OF außen: 7.5YR 8/3 pink, seifig glatt; Bemalung außen: 7.5YR 4/2 braun, matt; Ü innen: 7.5YR 3/1 sehr dunkel grau, matt

Standardfabrikat – Vogelschalenwerkstatt

Randfalzkotyle mit steil-konvexer Beckenschulter und davon treppenartig nach innen versetztem Randfalz mit gerundeter Lippe

Die Innenseite bedeckt ein Überzug; außen wird der Randfalz von zwei umlaufenden Reifen gefasst, darunter zeigt sich ein Ausschnitt aus dem Metopendekorsystem in der Hauptdekorzone: an ein dreiteiliges Balkenbündel schließt zur Linken eine kreuzschraffierte Rechteckfläche an, im Bildfeld zur Rechten hat sich ein Teil der Rahmung einer gerahmten Gitterraute erhalten.

Publ. Schattner 2007, 347 Nr. Vsk.8 Abb. 100

Lit. Kerschner 1995, 13–15; Kerschner 2002, 67–69; Kerschner 2008, 27–29; von Miller 2019, 70–75. 312. 333 f.; Kaiser – von Miller 2023, 504–506

750–670/650 v. Chr.



Abb. 151: Kat 129

### Kat 130

#### Vogelkotyle Typ 4–Typ 6 (Abb. 152)

Randfragment N464 (78K01: Felsbarre Älterer Peribolos, Bauzeit/Nutzung Ältere Peribolosmauer Ma 312)

H 3; B 5,8; WSt 0,45; Dm 12,8, 7 %

T: 7.5YR 6/3 leicht braun, hart, feinporös, Glimmer; OF außen: 7.5YR 8/3 pink, seifig glatt; Bemalung außen: 7.5YR 3/2 dunkel braun, matt; Ü innen: 7.5YR 3/1 sehr dunkel grau, matt, streifig

Standardfabrikat – Vogelschalenwerkstatt

Offenes Gefäß mit steil-konvexer Wandung und treppenartig nach innen versetztem Randfalz mit gerundeter Lippe

Im Inneren ist ein Überzug aufgetragen, außen zeigen sich unterhalb des am Randfalz umlaufenden Reifens zwei von je drei Balken begrenzte Metopenfelder mit einer gerahmten Gitterraute und zu deren Rechten einem Mäanderbaum mit Z-Motiv als Füllornamente.

Publ. Schattner 2007, 351 Nr. Vsk.22 Abb. 101

Lit. Kerschner 1995, 13–15; Kerschner 2002, 67–69; Kerschner 2008, 27–29; von Miller 2019, 70–75. 312. 333 f.; Kaiser – von Miller 2023, 504–506

750–670/650 v. Chr.

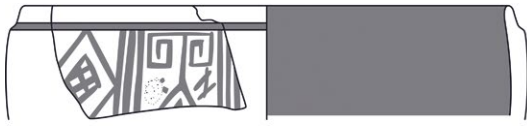


Abb. 152: Kat 130

### Kat 131

#### Vogelkotyle Typ 4–Typ 6 (Abb. 153)

Randfragment N481 (78K01-5: Felsbarre Älterer Peribolos, Bauzeit/Nutzung Ältere Peribolosmauer Ma 312)

H 2,4; B 2,5; WSt 0,6; Dm max. erhalten außen 13,6, 6 %

T: 5YR 6/2 pinklich grau, feinporös, feiner Glimmer; OF außen: 5YR 7/1 leicht grau, seifig glatt; Bemalung außen: 5YR 6/6 rötlich matt; Ü innen: 5YR 5/1 grau, matt, changiert fleckig ins Orange

Standardfabrikat – Vogelschalenwerkstatt

Dickwandige Randfalzkotyle mit steil-konvexer Beckenschulter und nach innen versetztem Randfalz mit glatt gerundeter Lippe

Das Innere ist flächig bemalt, auf der Außenseite läuft auf dem Randfalz ein Lippenband um; darunter zeigt sich der Ausschnitt aus einer von vier Balken begrenzten Bildmetope mit der Bekrönung eines Mäanderbaumes und dem spitzen Rest eines weiteren Dekorelementes, wohl eines ›Ärmchens‹.

Publ. Schattner 2007, 351 Nr. Vsk.21 Abb. 101

Lit. Kerschner 1995, 13–15; Kerschner 2002, 67–69; Kerschner 2008, 27–29; von Miller 2019, 70–75. 312. 333 f.; Kaiser – von Miller 2023, 504–506

750–670/650 v. Chr.



Abb. 153: Kat 131

### Kat 132

#### Vogelkotyle Typ 4–Typ 8 (Abb. 154)

Randfragment N454a (78K01: Felsbarre Älterer Peribolos, Bauzeit/Nutzung Ältere Peribolosmauer Ma 312)

H 1,8; B 1,8; WSt 0,4; Dm max. erhalten außen 14, 4 %

T: 7.5YR 7/3 pink, hart, feinstporös, Glimmer; OF: 7.5YR 7/4 pink, seifig glatt; Bemalung außen/Ü innen: 7.5YR 3/2 dunkel braun, matt, streifig

Standardfabrikat – Vogelschalenwerkstatt

Steil-konvexer Rand einer Kotyle mit leicht abgesetztem Randfalz mit glatt verjüngter Lippe

Im Inneren ist ein Überzug aufgetragen; der Randfalz wird außen von einem Reifen und einem schmalen Lippenband gefasst, darunter zeigt sich der Ausschnitt aus einer von einem Balken begrenzten Bildmetope mit einem hängenden Gitterdreieck.

Publ. Schattner 2007, 347 Nr. Vsk.11 Abb. 100 (fälschlicherweise gemeinsam mit **Kat 126**)

Lit. Kerschner 1995, 13–15; Kerschner 2002, 67–69; Kerschner 2008, 27–29; von Miller 2019, 70–75. 312. 333 f.; Kaiser – von Miller 2023, 504–506

750–650 v. Chr.



Abb. 154: Kat 132

### Kat 133

#### Vogelkotyle Typ 4–Typ 8 (Abb. 155)

Randfragment N476a (78K01: Felsbarre Älterer Peribolos, Bauzeit/Nutzung Ältere Peribolosmauer Ma 312)

H 3,2; B 4; WSt 0,3; Dm 10,8, 10 %

T: 7.5YR 7/3 pink, hart, feinporös, Glimmer; OF außen: 7.5YR 8/3 pink, seifig glatt; Bemalung außen: 7.5YR 3/3 dunkel braun, matt; Ü innen: Gley2 4/5PB bläulich grau, matt streifig

Standardfabrikat – Vogelschalenwerkstatt

Kleine Kotyle mit konvex gerundetem Becken und durch eine seichte Einziehung abgesetztem Randfalz

Im Inneren ist ein Überzug aufgetragen, außen zeigt sich unterhalb des Lippenbandes eine von mindestens zwei Reifen begrenzte Dekorzone mit von Balken abgetrennten Bildmetopen: Erhalten hat sich der Rest des linken Henkelfeldes, im Bild links davon eine gerahmte Gitterraute, gefolgt von einem zweiten Bildfeld, dessen Dekor nicht eindeutig angesprochen werden kann; möglicherweise ein N-förmiges Füllmotiv einer Vogelmetope.

Publ. Schattner 2007, 347 Nr. Vsk.12 Abb. 100 (fälschlicherweise gemeinsam mit **Kat 141**)

Lit. Kerschner 1995, 13–15; Kerschner 2002, 67–69; Kerschner 2008, 27–29; von Miller 2019, 70–75. 312. 333 f.; Kaiser – von Miller 2023, 504–506

750–650 v. Chr.

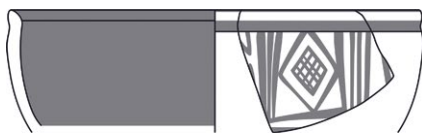


Abb. 155: Kat 133

### Kat 134

#### Vogelkotyle Typ 4–Typ 8 (Abb. 156)

Randfragment Y76 (81K03-5: Felsbarre Oikos P, Verfüllung/Einplanierung)

H 3,6; B 2; WSt 0,3; Dm max. erhalten außen 10,6, 6 %

T: grau im Kern und 7.5YR 8/3 pink in Oberflächennähe, hart, feinporös, feiner Glimmer; OF außen: 7.5YR 8/3 pink, seifig glatt, etwas verrieben; Bemalung außen/Ü innen: 7.5YR 3/1 sehr dunkel grau, matt, streifig, verrieben

Standardfabrikat – Vogelschalenwerkstatt

Tiefes Trinkgefäß mit steil-konvexer Wandung und zur Mündung hin einziehendem Rand mit verjüngter Lippe

Das Gefäßinnere ist mit einem Überzug versehen, außen zeigt sich unterhalb eines schmalen umlaufenden Bandes eine große gerahmte Gitterraute neben einem vertikalen Balken.

Das proportionale Verhältnis der engen Kotyle zur groß angelegten Gitterraute macht als zugehöriges Ganzgefäß eine Vogelkotyle des Typs 7 oder des Typs 8 mit jeweils nur drei Bildmetopen im Dekorfeld zwischen den Henkeln (Kerschner 1995, 15) wahrscheinlich.

Lit. Kerschner 1995, 13–15; Kerschner 2002, 67–69; Kerschner 2008, 27–29; von Miller 2019, 70–75. 312. 333 f.; Kaiser – von Miller 2023, 504–506

750/700–650 v. Chr.



Abb. 156: Kat 134



### Kat 135

#### Vogelkotyle Typ 5 (Abb. 157)

Randfragment F347 (86K03-3: Felsbarre Westbeckenanlage, Aufgabe/Einplanierung Gr. Westbecken)

H 3,3, B 2,9; WSt 0,4; Dm 13,8, 6 %

T: Gley1 7/N leicht grau im Kern und 5YR 8/4 pink in Oberflächennähe, hart, feinporös, feiner Glimmer; OF außen: 5YR 8/4 pink, seifig glatt; Bemalung außen/Ü innen: 2.5YR 6/6 leicht rot bis 10R 5/1 rötlich grau, matt, streifig

Standardfabrikat – Vogelschalenwerkstatt

Trinkgefäß mit tief-konvexer Beckenkontur und kaum abgesetztem Randfalz

Im Inneren ist ein flächiger Überzug aufgetragen, außen zeigen sich unterhalb eines auf dem Randfalz umlaufenden Reifens die Ausschnitte aus zwei von je drei vertikalen Balken abgegrenzten Ornamentfeldern, von denen das linke eine vertikale Winkelreihe enthält, das rechte den Ansatz einer gerahmten Gitterraute.

Publ. Schattner 2007, 342 Nr. Sk A2.1 Abb. 98

Lit. Kerschner 1995, 14; Kerschner 2002, 67–69; Kerschner 2008, 27–29; von Miller 2019, 70–75. 312. 333 f.; Kaiser – von Miller 2023, 504–506

750/700–675 v. Chr.



Abb. 157: Kat 135



### Kat 136

#### Vogelkotyle Typ 5 (Abb. 158)

Randfragment Y2239 (81K03-12: Felsbarre Oikos P, Nutzung/Zerstörung)

H 3,3; B 2,6; WSt 0,5; Dm 22,2, 3 %

T: 5YR 6/3 leicht rötlich braun, hart, feinporös, feiner Glimmer; OF außen: ca. 5YR 7/2 pinklich grau; Bemalung außen: 5YR 4/2 dunkel rötlich grau, matt, verrieben; Ü innen: 7.5YR 3/1 sehr dunkel grau, matt, streifig

Standardfabrikat – Vogelschalenwerkstatt

Große Randfalzkotyle mit steil-konvexer Wandung und kaum abgesetztem, hohem Randfalz mit verjüngter Lippe

Im Inneren ist ein Überzug aufgetragen, auf der Außenseite zeigt sich unterhalb eines unter dem Randfalz umlaufenden Reifens der Ausschnitt aus zwei von drei vertikalen Balken begrenzten Bildfeldern: links Kopf und Hals eines nach rechts gewandten Vogels mit kleinem ausgesparten Auge, rechts wohl ein schmales vertikales Feld mit liegenden S-Haken (ähnlich offenes Flechtband).

Das kurvolineare, orientalisierend inspirierte Motiv im schmalen Mittelstreifen positioniert das Stück tendenziell bereits an das Ende der Laufzeit dieses Kotylentypus.

Publ. Schattner 2007, 353 Nr. SkOr.4 Abb. 101

Lit. Kerschner 1995, 14; Kerschner 2002, 67–69; Kerschner 2008, 27–29; von Miller 2019, 70–75. 312. 333 f.; Kaiser – von Miller 2023, 504–506

750/700–675 v. Chr.

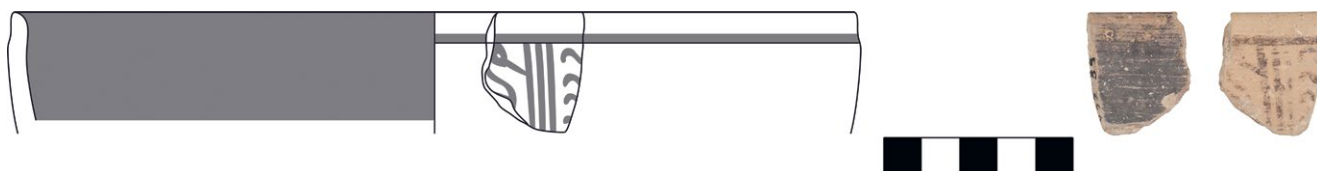


Abb. 158: Kat 136

### Kat 137

#### Vogelkotyle Typ 5a (Abb. 159)

Wandfragment V100 (75K40d: Felsbarre Nordwestabhang, Deponierung 1)

H 3,4; B 2,9; WSt 0,5; Dm max. erhalten außen 14,8, 6 %

T: 2.5YR 6/8 leicht rot, hart, feinporös, feine weiße und graue Partikel, Glimmer; OF außen: 5YR 8/3 pink; Bemalung außen/Ü innen: 2.5YR 5/6 rot, matt

Nordionische Feinkeramik

Steil-konvexes Fragment vom tiefen Gefäßbecken eines Trinkgefäßes

Im Inneren ist ein Überzug aufgetragen, auf der Außenseite zeigt sich ein Zick-Zack-Fries oberhalb des bemalten unteren Beckenbereichs, darüber ein von zwei Streifen abgegrenzter Dekorries, in dem sich der Ausschnitt aus einem schräg schraffierten Motiv (Mäanderhaken) und links daneben abgegrenzt durch einen vertikalen Strich ein Zick-Zack-Motiv erhalten haben.

Lit. Kerschner 1995, 14; Kerschner 2002, 67–69; Kerschner 2008, 27–29; von Miller 2019, 70–75. 312. 333 f.; Kaiser – von Miller 2023, 504–506

750–675 v. Chr.



Abb. 159: Kat 137

### Kat 138

#### Vogelkotyle Typ 5a/Typ 6/Typ 7 (Abb. 160)

Wandfragment 80K16-11-1 (80K16-11: Felsbarre Nordwestmauern, Nutzung/Einplanierung westlicher Vorplatz)

H 5,1; B 3,35; WSt 0,25; Dm max. erhalten außen 14,4, 7 %

T: grau im Kern und 5YR 7/6 rötlich gelb in Oberflächennähe, hart, feinstporös, feiner Glimmer; OF außen: 7.5YR 7/4 pink, seifig glatt; Bemalung außen/Ü innen: 7.5YR 4/1 dunkel grau, matt, streifig

Standardfabrikat – Vogelschalenwerkstatt

Konvex gewölbtes, tiefes Becken eines Trinkgefäßes

Das Beckeninnere ist mit einem Überzug versehen, außen zeigt sich der Ausschnitt der ornamental bemalten Dekorzone zur Linken des Henkelfeldes, das von vier schmalen, vertikalen Balken und zwei horizontalen Steifen gerahmt wird. Innerhalb dessen ist die von horizontalen Streifen gefasste Sockelzone mit einem Zick-Zack-Band erkennbar; der Bemalungsrest in der Hauptdekorzone darüber kann zu einer gerahmten Gitterraute ergänzt werden.

Lit. Kerschner 1995, 14 f.; Kerschner 2002, 67–69; Kerschner 2008, 27–29; von Miller 2019, 70–75. 312. 333 f.; Kaiser – von Miller 2023, 504–506

720–650 v. Chr.

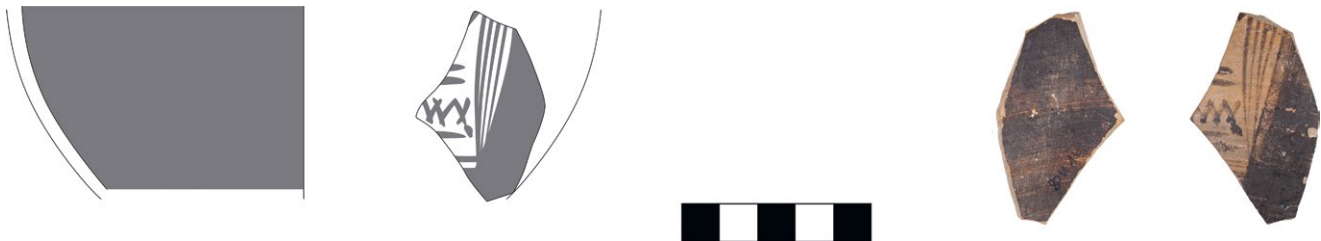


Abb. 160: Kat 138

#### Kat 139

##### Vogelkotyle Typ 5a/Typ 6/Typ 7 (Abb. 161)

Wandfragment 96K12-2-6 (96K12-2: Felsbarre Nordwestmauern, Planierung hellenistischer Terrassenbau)

H 2; B 2,45; WSt 0,4; Dm max. erhalten außen 14, 5 %

T: 7.5YR 8/4 pink, hart, feinstporös, wenige feine weiße Partikel, wenig feiner Glimmer; OF außen: 7.5YR 7/3 pink, seifig glatt; Bemalung außen/Ü innen: 7.5YR 3/2 dunkel braun, matt, streifig

Standardfabrikat – Vogelschalenwerkstatt

Steil-konvexes Beckenfragment eines tiefen offenen Gefäßes

Die Innenseite ist mit einem Überzug versehen, außen zeigt sich oberhalb des bemalten Beckens eine von zwei schmalen Reifen begrenzte Ornamentzone mit einem darin sorgfältig eingeschriebenen Zick-Zack-Band, das gegen eine vertikale Feldbegrenzung anläuft.

Lit. Kerschner 1995, 14 f.; Kerschner 2002, 67–69; Kerschner 2008, 27–29; von Miller 2019, 70–75. 312. 333 f.; Kaiser – von Miller 2023, 504–506

720–650 v. Chr.



Abb. 161: Kat 139

#### Kat 140

##### Vogelkotyle Typ 6a (Abb. 162)

Zwei anpassende Wandfragmente N6 + 78K01-5-2 (78K01-5: Felsbarre Älterer Peribolos, Bauzeit/Nutzung Ältere Peribolosmauer Ma 312)

H 6,7; B 5,7; WSt 3,5; Dm max. erhalten außen 16,2, 7 %

T: 7.5YR 6/2 pinklich grau, sehr hart, feinstporös, feiner Glimmer; OF außen: 5YR 8/4 pink, seifig glatt; Bemalung außen: 5YR 3/2–5/4 dunkel rötlich braun bis rötlich braun, matt, verrieben; Ü innen: 7.5YR 2.5/1 schwarz, matt, streifig

Standardfabrikat – Vogelschalenwerkstatt

Offenes Gefäß mit tief-konvexem Schalenbecken

Im Inneren ist ein Überzug aufgetragen, außen wird das bemalte untere Gefäßbecken von schmalen tongrundig ausgesparten Reifen aufgelockert. In der Dekorzone zeigt sich der Ausschnitt aus zwei Bildmetopen, die von zwei vertikalen Balken getrennt sind: die linke Metope zeigt mit dem doppelt gerahmten, kreuzschraffierten Dreieck wohl den Unterteil eines Mäanderbaumes; in der rechten Bildmetope steht ein einfach gerahmtes Gitterdreieck.

Publ. Wintermeyer 1980, 125 Nr. 3 Taf. 50

Lit. Kerschner 1995, 14 f.; Kerschner 2002, 67–69; Kerschner 2008, 27–29; von Miller 2019, 70–75. 312. 333 f.; Kaiser – von Miller 2023, 504–506

720–670/650 v. Chr.



Abb. 162: Kat 140

#### Kat 141

#### Vogelkotyle Typ 6b (Abb. 163)

Wandfragment N476b (78K01: Felsbarre Älterer Peribolos, Bauzeit/Nutzung Ältere Peribolosmauer Ma 312)

H 2,2; B 3,7; WSt 0,5; Dm max. erhalten außen 11,2, 11 %

T: 5YR 6/3 leicht rötlich braun, hart, feinporös, Glimmer; OF außen: 5YR 8/3 pink, seifig glatt; Bemalung außen/Ü innen: 7.5YR 3/1 sehr dunkel grau, matt

Standardfabrikat – Vogelschalenwerkstatt

Beckenfragment eines kleinen und tiefen Trinkgefäßes

Im Inneren ist ein Überzug aufgetragen, die Außenseite zeigt ornamentalen Dekor in drei von vertikalen Balken begrenzten Feldern: ganz rechts der Ausschnitt aus einer gerahmten Gitterraute, daneben ein schmales Rechteckfeld mit einem vertikalen Zick-Zack-Band; der Bemalungsrest in der anschließenden Metope bleibt unklar, möglicherweise ein hängendes Gitterdreieck als Füllmotiv der Vogelmetope.

Publ. Schattner 2007, 347 Nr. Vsk.12 Abb. 100 (fälschlicherweise gemeinsam mit **Kat 133**)

Lit. Kerschner 1995, 14 f.; Kerschner 2002, 67–69; Kerschner 2008, 27–29; von Miller 2019, 70–75. 312. 333 f.; Kaiser – von Miller 2023, 504–506

720–670/650 v. Chr.



Abb. 163: Kat 141

### Kat 142

#### Vogelkotyle Typ 6/Typ 7 (Abb. 164)

Wandfragment Ke96109 (96K14: Felsbarre Nordwestmauern, Einplanierung für hellenistischen Terrassenbau)

H 2,3; B 2; WSt 0,35; Dm max. erhalten 10,6, 4 %

T: 5YR 7/6 rötlich gelb, hart, feinporös, feiner Glimmer; OF außen: 7.5YR 8/4 pink, seifig glatt; Bemalung außen/Ü innen: 7.5YR 4/1 dunkel grau, matt

Standardfabrikat – Vogelschalenwerkstatt

Steil-konvexes Beckenfragment eines tiefen offenen Gefäßes

Im Inneren ist ein Überzug aufgetragen, außen zeigt sich oberhalb einer Abfolge von drei Bändern ein Ornamentfries mit Zick-Zack-Band.

Lit. Kerschner 1995, 14 f.; Kerschner 2002, 67–69; Kerschner 2008, 27–29; von Miller 2019, 70–75. 312. 333 f.; Kaiser – von Miller 2023, 504–506

720–650 v. Chr.



Abb. 164: Kat 142

### Kat 143

#### Vogelkotyle Typ 6–Typ 8 (Abb. 165)

Randfragment Ke96086 (96K13: Felsbarre Nordwestmauern, Einplanierung für hellenistischen Terrassenbau)

H 5; B 3,6; WSt 0,4; Dm 13,8, 5 %

T: 7.5YR 8/4 pink, hart, feinporös, feine Glimmer; OF außen: 7.5YR 8/3 pink, seifig glatt; Bemalung außen/Ü innen: 7.5YR 4/2 braun, matt, streifig

Standardfabrikat – Vogelschalenwerkstatt

Kotyle mit steil-konvexem Gefäßbecken und treppenartig nach innen versetztem Randfalz mit leicht kantig nach innen abgeschrägter Innenkante

Das Beckeninnere ist mit einem Überzug versehen, außen fassen zwei umlaufende Bänder den Randfalz und ein weiteres Band begrenzt die Dekorzone. Darin zeigt sich zur Linken von drei vertikalen Balken der Ausschnitt der Vogelmetope mit nach rechts gewandtem Vogel mit kreuzschraffiertem Körper, davor finden sich ein gerahmtes stehendes Gitterdreieck und zwei N-förmige Füllornamente.

Lit. Kerschner 1995, 14 f.; Kerschner 2002, 67–69; Kerschner 2008, 27–29; von Miller 2019, 70–75. 312. 333 f.; Kaiser – von Miller 2023, 504–506

720–650 v. Chr.

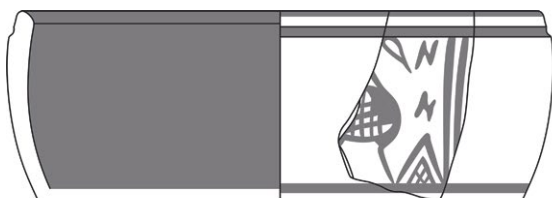


Abb. 165: Kat 143

**Kat 144****Reifenschale Typ 2.b3, mit Graffito (Abb. 166)**

Randfragment L1086a (77K04-12: Felsbarre Nordwestabhang, Deponierung 2)

H 3,1; B 4,75; WSt 0,4; Dm max. erhalten außen 16, 10,5 %

T: 7.5YR 7/4 pink, hart, feinporös, Glimmer; OF: 7.5YR 8/4 pink; Bemalung: 7.5YR 3/1 sehr dunkel grau, matt, und aufgesetztes Rot

Feine Hellbraune Ware – Reifenware

Kalottenschale mit steil-konvexer Wandung und glatt verjüngter Lippe

Auf beide Seiten des Randes ist ein breites Lippenband aufgemalt, darunter folgt beidseitig ein weiteres Band um die Gefäßmitte, im Inneren ist zwischen den Bändern ein roter Reifen aufgemalt.

In der Henkelzone außen ist ein Graffito eingeritzt, bei dem es sich wahrscheinlich um die Ligatur aus mehreren Buchstaben handelt, die sich zu einem Eigennamen zusammensetzen lassen dürften. Sofern es sich um griechische Lettern handelt, sind die Buchstaben Alpha [A], My [M], Rho [P] und Chi [X] lesbar: Xap[...] oder Max[...] [Lesung S. Prignitz]; sofern es sich um karische Lettern handelt, sind die Buchstaben (x) mit dem Lautwert  $\gamma$  (= /ng/) sowie ( $\Gamma$ : in der linksläufigen Variante) mit dem Lautwert b lesbar, die möglicherweise das Monogramm eines Eigennamens  $\alpha + \Gamma$  (by/ $\gamma$ b) abbilden [Lesung und Kommentar I.-X. Adiego].

Publ. Schattner 2007, 338 Nr. Sk A1.19 Abb. 98 (irrtümlicherweise mit InvNr. L1086b zusammengenommen)

(2. Hälfte) 6./frühes 5. Jh. v. Chr.

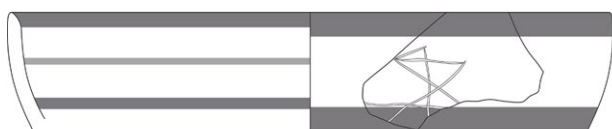


Abb. 166: Kat 144

**Kat 145****Teller mit glattem Rand und flächigem Überzug, mit Graffito (Abb. 167)**

Ganzprofil L296 + L1129 (77K04-12: Felsbarre Nordwestabhang, Deponierung 2) und L1104 + 77K04-11-2 (77K04-11: Felsbarre Nordwestabhang, Deponierung 2)

H 6,4; B 9,5+5,3+8,6+11,2; WSt 0,55; Dm Rand 22, 10 %; Dm Boden 11,6, 35 %

T: 2.5Y 6/1 leicht grau, hart, feinporös, feiner Glimmer; OF außen: 2.5Y 7/1 leicht grau; Ü innen: 7.5YR 4/1 dunkel grau, matt, streifig

Graue Ware

Weites offenes Gefäß mit hohem, konkav ausschwingendem Standring mit glatt gerundeter Basis, flach-konvexem Becken und glatt verjüngtem Rand

Die Gefäßinnenseite ist mit einem Überzug bedeckt.

Im inneren Beckenboden ist ein großformatiges, sanduhrförmiges Graffito (x) angebracht, welches dem Schriftzeichen für den Lautwert  $\gamma$  (= /ng/) im karischen Alphabet entspricht; eine Identifizierung als karisches Graffito kann aufgrund des einen vorhandenen Zeichens jedoch nur mit Vorbehalt erfolgen [Lesung und Kommentar I.-X. Adiego].

Aus den Grabungen im Südwesten des Apollontempels in Didyma ist ein Parallelgefäß aus dem spätarachaischen Brandhorizont ebenfalls mit einem Graffito im Tellergrund bekannt (Naumann – Tuchelt 1963/1964, 57 Nr. 64 Abb. 19 Taf. 25, 1). Bei jenem Graffito handelt es sich um eine karische Besitzer- bzw. Stifterinschrift (Tuchelt 2007, 411 Diskussionsbeitrag; zur Lesung Herda 2009, 100; Herda – Sauter 2009, 96 Anm. 270; Adiego 2019,

33 Nr. 12). Die morphologischen Übereinstimmungen des Tellerfußes mit den spätarchaischen Reifenschalen (von Miller 2023a, 41 f.) verweist auf eine analoge Datierung.

(2. Hälfte) 6./frühes 5. Jh. v. Chr.



Abb. 167: Kat 145

## 73 »Karische« Keramik

### Kat 146

#### Spät-/subgeometrische Amphore (Abb. 168)

Wandfragment F308 (86K03-2: Felsbarre Westbeckenanlage, Nutzung Laufhorizont Gr. Westbecken)

H 2,7; B 6; WSt 0,6

T: 5YR 7/6 rötlich gelb, hart, feinporös, feiner Glimmer; OF außen: 7.5YR 8/4 pink, verrieben; OF innen: 5YR 7/4 pink; Bemalung außen: 7.5YR 5/4 braun, matt, stark verrieben

(Karisch-)Spät-/subgeometrische Keramik

Flach-konvexes Schulterfragment eines großen geschlossenen Gefäßes

Die Schulter wird von mindestens fünfteiligen vertikalen Balkenbündeln und vertikalen Wellenbandbündeln (Kammbürstendekor) in Metopenfelder unterteilt, die erhaltene Bildmetope zeigt eine Gitterraute.

Sowohl das Dekorsystem als auch die motivischen Einzelelemente finden engste Parallelen unter karischen Großgefäßen der spätgeometrischen Zeit (Schmaltz 2003, 42 Nr. 27; Özgünel 2006, 98 Nr. 27 Taf. 25; Bulba 2010, 86 f. 194 f. Nr. Kr30. Kr31. Kr32 Taf. 29; Tırpan u. a. 2015, 231 f. 333 Abb. 4, 14). Für Didyma sind mit einem Krater aus den archaischen Befunden des Taxiarchis-Hügels (Kaiser 2023a, 12 Nr. Geo 7 Taf. 1. 191) und einem zweiten Gefäß aus dem Bereich des Antenbaus Q auf der Felsbarre (**Kat 148**) weitere Exemplare bekannt, welche dieselben Merkmale karisch-spätgeometrischer Vasenmalerei aufweisen; weitere Gefäße sind aus Milet vorgelegt (von Graeve 1973/1974, 92 Nr. 20 Taf. 19). Ausgehend von einem Fund in Naukratis geht U. Schlotzhauer für die

karische Keramikproduktion von einer möglichen Laufzeit vergleichbarer spät- bis subgeometrischer Dekorsysteme bis in das 6. Jh. v. Chr. aus (Schlotzhauer 2012, 166 Nr. Nau 137 Taf. 29 i).

730–670/650 v. Chr.

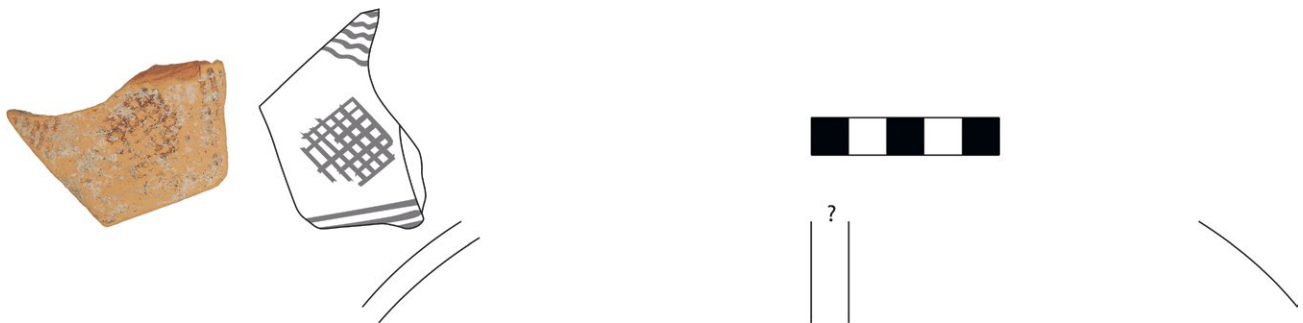


Abb. 168: Kat 146

### Kat 147

#### Kanne/Hydria (Abb. 169)

Wandfragment 84K15-10-9 (84K15-10: Felsbarre Westbeckenanlage, Laufhorizont Kl. Westbecken)

H 4,2; B 9,4; WSt 0,55; Dm Halsansatz 10, 10 %

T: grau im Kern und 7.5YR 6/4 leicht braun in Oberflächennähe, hart, feinporös, Glimmer; OF: 7.5YR 7/4 pink; Bemalung außen: 7.5YR 5/3 braun, matt

Hellbraune Ware – Reifenware

Flach-konvexes Schulterfragment mit Halsansatz eines geschlossenen Gefäßes

Hals- und Schulteransatz schmückt je ein umlaufendes Band, die Schulter schmückt ein breiter Konturstrahl mit konkaver Rahmung bzw. ein Bogenmotiv.

Die Gestaltung der Gefäßschulter mit einer Abfolge von breit angelegten Konturstrahlen bzw. Halbbögen ist für milesische Bügelhenkelkratere mit Bänderdekor der früharchaischen Zeit belegt (Panteleon 2013, 253–255 Nr. 1065. 1068 Taf. 206. 207) und findet sich mit **Kat 149** und **Kat 150** bei zwei weiteren Großgefäßen aus dem Kleinen Westbecken auf der Felsbarre. Vergleichbarer Dekor ist insbesondere von karischen Kännchen (Kızıl 2009, 398 Nr. M1 Abb. 3 [= Kızıl 2019, 294 f. Abb. 21]; Bulba 2010, 38 f. 176 Nr. K22. K23 Taf. 11; 40 f. 179 f. Nr. K43–K53 Taf. 15. 16), Kannen (Fazlıoğlu 2009, 472 Abb. 10; Bulba 2010, 114. 117 f. 199 f. Nr. O14. O15 Taf. 36) und Saugfläschchen (Bulba 2010, 120 f. 201–204 Nr. S1–S19 Taf. 38. 39) der spätgeometrischen und früharchaischen Zeit bekannt. Aus Naukratis ist ein lokal gefertigtes, geschlossenes Gefäß mit einer Weihinschrift an Apollon vorgelegt, das einen vergleichbaren Dekor aufweist (Schlotzhauer 2012, 173 f. Nr. Nau 143 Taf. 31 e. f); auf Samos ist aus dem Brunnen G ein kleiner Lebes mit Strahlenbogendekor publiziert (Walter – Vierneisel 1959, 20 Beil. 44, 1).

Lit. Kızıl 2019, 294 f.

(1. Hälfte/3. Viertel) 7. Jh. v. Chr.

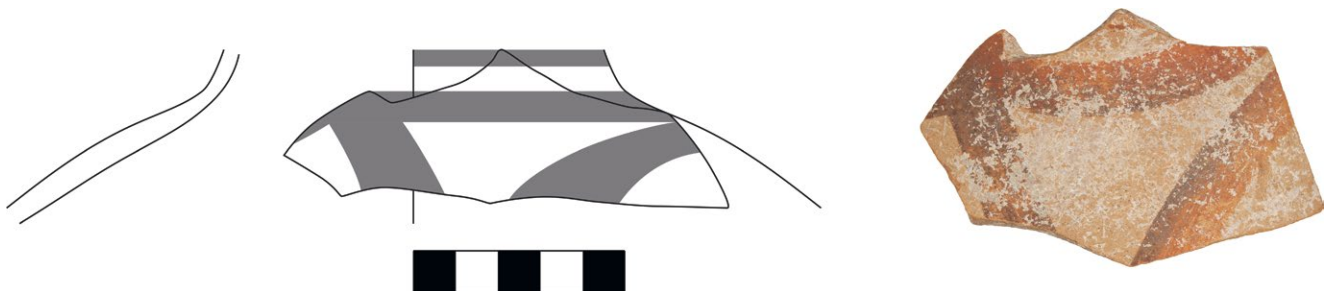


Abb. 169: Kat 147

## Kat 148

### Subgeometrischer Krater (Abb. 170)

Wandfragment 89K21-2-5 (89K21-2: Felsbarre Antennbau Q, Aufgabe/Planierung)

H 3; B 4,75; WSt 0,5; Dm max. erhalten außen ca. 22, 5 %

T: 2.5YR 8/4 pink, hart, feinporös, wenige feine weiße Partikel, Glimmer; OF: 7.5YR 8/4 pink; Bemalung außen: 5YR 4/2 dunkel rötlich grau, matt

Hellbraune Ware – subgeometrische Keramik

Konvex gewölbte Schulter eines großen Gefäßes

Die Schulter wird nach oben von einem umlaufenden Band begrenzt, von dem ein siebenteiliges Bündel schmaler, mit der Kammbürste aufgetragener vertikaler Wellenlinien ausgeht.

Die Formgebung wäre grundsätzlich auch für ein geschlossenes Gefäß, etwa eine Amphore oder Hydria denkbar, für die vergleichbare Metopendekore bekannt sind (von Graeve 1975, 42. 45 Taf. 3, 1; 4, 9; Kleine 1979, 141 f. Taf. 33, 3. 4; Voigtländer 1988, 625 Nr. 59 Abb. 50; Kerschner 1999, 26 f. Abb. 14, 61–63), allerdings ist bei diesen geschlossenen Großgefäßen ein anderes Verhältnis von Form und Dekor gegeben. Mit Wellenbandbündeln kombinierte Metopendekore können dagegen als ein besonderes Charakteristikum der karisch-spätgeometrischen Vasenmalerei gelten (Schmaltz 2003, 42 Nr. 27; Özgünel 2006, 98 Nr. 27 Taf. 25; Bulba 2010, 86 f. 194 f. Nr. Kr30. Kr31. Kr32 Taf. 29; Tırpan u. a. 2015, 231 f. 333 Abb. 4, 14). In Didyma ist mit einem Krater aus den archaischen Befunden des Taxiarchis-Hügels (Kaiser 2023a, 12 Nr. Geo 7 Taf. 1. 191) und einem Gefäß aus dem Großen Westbecken auf der Felsbarre (**Kat 146**) der Nachweis vergleichbarer Dekorsysteme bereits erbracht; weitere Gefäße sind aus Milet (von Graeve 1973/1974, 92 Nr. 20 Taf. 19) und der Levante (Courbin 1978, 41 Taf. 15, 2) vorgelegt.

Lit. Panteleon 2013, 26 f.; von Miller 2019, 110–113. 316. 341–343

Spätes 8. Jh.–670/650 v. Chr.

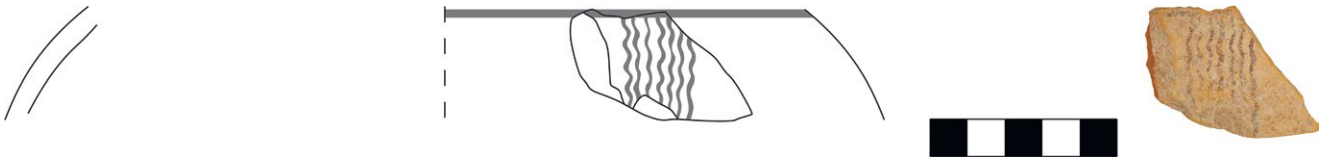


Abb. 170: Kat 148

## Kat 149

### (Bügelhenkel)Krater (?) (Abb. 171)

Wandfragment C478a+c (84K15-12: Felsbarre Westbeckenanlage, Bauzeit Laufhorizont Kl. Westbecken)

H 11,8; B 12,4; WSt 0,7; Dm max. erhalten innen ca. 24, 16 %

T: 7.5YR 6/4 leicht braun, hart, feinporös, feine graue Partikel, Glimmer; OF außen: 10YR 7/3 sehr blass braun; OF innen: 7.5YR 7/4 pink; Bemalung außen: 10YR 3/2 sehr dunkel grünlich braun, matt, streifig

Hellbraune Ware – Reifenware

Steil-konvexes Fragment vom Oberbauch eines großen Gefäßes

Ein breites umlaufendes Band begrenzt die hohe Dekorzone auf dem Oberbauch, in welche neben einem breiten vertikalen Streifen (Begrenzung einer Henkelzone?) ein breiter linearer Dekor anschließt, der sich zu einem hohen Zick-Zack-Band oder aber zu einem Konturstrahl ergänzen lässt.

Die Gestaltung der Gefäßschulter mit einer Abfolge von breit angelegten Konturstrahlen bzw. Halbbögen ist für milesische Bügelhenkelkratere mit Bänderdekor der früharchaischen Zeit belegt (Panteleon 2013, 253–255 Nr. 1065. 1068 Taf. 206. 207) und findet sich mit dem Krater **Kat 150** und der Kanne bzw. Hydria **Kat 147** bei zwei weiteren Gefäßen aus dem Kleinen Westbecken auf der Felsbarre. Vergleichbarer Dekor ist insbesondere von karischen Kännchen (Kızıl 2009, 398 Nr. M1 Abb. 3 [= Kızıl 2019, 294 f. Abb. 21]; Bulba 2010, 38 f. 176 Nr. K22. K23 Taf. 11; 40 f. 179 f. Nr. K43–K53 Taf. 15. 16), Kannen (Fazlıoğlu 2009, 472 Abb. 10; Bulba 2010, 114. 117 f. 199 f. Nr. O14. O15 Taf. 36) und Saugfläschchen (Bulba 2010, 120 f. 201–204 Nr. S1–S19 Taf. 38. 39) der spätgeometrischen und früharchaischen Zeit bekannt. Aus Naukratis ist ein lokal gefertigtes, geschlossenes Gefäß mit

einer Weihinschrift an Apollon vorgelegt, das einen vergleichbaren Dekor aufweist (Schlotzhauer 2012, 173 f. Nr. Nau 143 Taf. 31 e. f); auf Samos ist aus dem Brunnen G ein kleiner Lebes mit Strahlenbogendekor publiziert (Walter – Vierneisel 1959, 20 Beil. 44, 1).

Lit. Panteleon 2013, 73–84, bes. 76–78 (Typ BH 2); Kızıl 2019, 294 f.

(1. Hälfte/3. Viertel) 7. Jh. v. Chr.



Abb. 171: Kat 149

### Kat 150

#### (Bügelhenkel)Krater (Abb. 172)

Wandfragment C483 (84K15-10: Felsbarre Westbeckenanlage, Laufhorizont Kl. Westbecken)

H 4,5; B 7,6; WSt 0,5; Dm max. erhalten außen ca. 36, 7 %

T: 5YR 6/1 grau, hart, feinporös, Glimmer; OF außen: 7.5YR 8/2 pinklich weiß, verschmaucht; OF innen: 7.5YR 7/4 pink; Bemalung außen: 7.5YR 2.5/1 schwarz, matt

Hellbraune Ware – Reifenware

Steil-konvexe Schulter eines großen Gefäßes

Von einem umlaufenden Band reichen mindestens zwei Konturstrahlen mit konkav eingezogenen Seiten auf die Schulter.

Die Gestaltung der Gefäßschulter mit einer Abfolge von breit angelegten Konturstrahlen bzw. Halbbögen ist für milesische Bügelhenkelkratere mit Bänderdekor der früharchaischen Zeit belegt (Panteleon 2013, 253–255 Nr. 1065. 1068 Taf. 206. 207) und findet sich mit dem Großgefäß **Kat 149** und der Kanne bzw. Hydria **Kat 147** bei zwei weiteren Gefäßen aus dem Kleinen Westbecken auf der Felsbarre. Vergleichbarer Dekor ist insbesondere von karischen Kannchen (Kızıl 2009, 398 Nr. M1 Abb. 3 [= Kızıl 2019, 294 f. Abb. 21]; Bulba 2010, 38 f. 176 Nr. K22. K23 Taf. 11; 40 f. 179 f. Nr. K43–K53 Taf. 15. 16), Kannen (Fazlıoğlu 2009, 472 Abb. 10; Bulba 2010, 114.

117 f. 199 f. Nr. O14. O15 Taf. 36) und Saugfläschchen (Bulba 2010, 120 f. 201–204 Nr. S1–S19 Taf. 38. 39) der spätgeometrischen und früharchaischen Zeit bekannt. Aus Naukratis ist ein lokal gefertigtes, geschlossenes Gefäß mit einer Weihinschrift an Apollon vorgelegt, das einen vergleichbaren Dekor aufweist (Schlotzhauer 2012, 173 f. Nr. Nau 143 Taf. 31 e. f); auf Samos ist aus dem Brunnen G ein kleiner Lebes mit Strahlenbogendekor publiziert (Walter – Vierneisel 1959, 20 Beil. 44, 1).

Lit. Panteleon 2013, 73–84, bes. 76–78 (Typ BH 2); Kızıl 2019, 294 f.

(1. Hälfte/3. Viertel) 7. Jh. v. Chr.

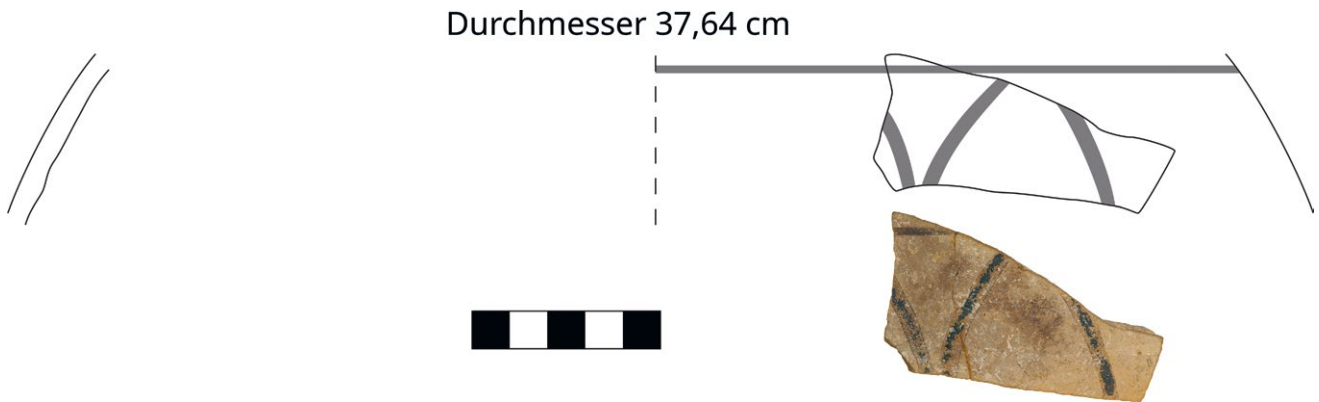


Abb. 172: Kat 150

## Literaturverzeichnis

- Adiego 2019** I.-X. Adiego, ›Archaic‹ Carian, in: Henry – Konuk 2019, 23–41
- Akar Tanriver 2015** D. S. Akar Tanriver, Bull/Bovine Figurines from the Sanctuary of Apollo Clarius (Ionia), in: A. Muller – E. Lafi – St. Huysecom-Haxhi (Hrsg.), *Figurines de terre cuite en Méditerranée grecque et romaine. 2 Iconographie et contextes* (Villeneuve d'Ascq 2015) 125–136
- Akar Tanriver 2022** D. S. Akar Tanriver, The Sanctuary and Oracle of Claros, in: Ersoy – Koparal 2022, 340–355
- Akyol u. a. 2022** A. A. Akyol – A. Ch. J. von Miller – Ph. Sapirstein – M. Verčik, Didyma, Turkey. Archaeometric Analyses of Ceramics from Excavations in Didyma, *eDAI-F* 2022/2, 116–128
- Akurgal u. a. 2002** M. Akurgal – M. Kerschner – H. Mommsen – W.-D. Niemeier (Hrsg.), Töpferzentren der Ostägäis. Archäometrische und archäologische Untersuchungen zur mykenischen, geometrischen und archaischen Keramik aus Fundorten in Westkleinasien, *ErghÖJh* 3 (Wien 2002)
- Aydemir 2005** A. Aydemir, Kochgeschirr und Küchengeräte aus dem archaischen Milet, *Funde aus Milet* 20, AA 2005/2, 85–102
- Aytaçlar 2004** N. Aytaçlar, The Early Iron Age at Klazomenai, in: Moustaka u. a. 2004, 17–51
- Aytaçlar 2019** M. N. Aytaçlar, The Geometric Pottery from Milas TKI Excavations, in: Henry – Konuk 2019, 467–486
- Bagley 2015** J. F. Bagley, Werkzeug, Prestigemarker, Kultobjekt und Ausstellungstück – neolithische Steinbeile und -äxte im Wandel der Zeit, in: Ph. W. Stuckhammer – H. P. Hahn (Hrsg.), *Lost Things – Fragen an die Welt des Materiellen*, Tübinger Archäologische Taschenbücher 12 (Münster 2015) 193–209
- Bentz – Bumke 2013** M. Bentz – H. Bumke, Mahlzeiten in rituellen Kontexten. Basierend auf den Projektdarstellungen von Martin Bentz, Helga Bumke, Ute Effland, Iris Gerlach, Achim Heiden, Ivonne Kaiser, Norbert Nebes, Dietrich Raue und Gabriel Zuchtriegel, in: Gerlach – Raue 2013, 275–290
- Bertemes 2011** F. Bertemes, Tavşan Adası – eine minoische Hafensiedlung nördlich von Didyma, *Jahresheft DAI Istanbul* 9, 2011, 9
- Berti 2007** F. Berti, La necropoli ›geometrica‹ dell'Agora di Iasos, in: Cobet u. a. 2007, 437–446
- Berti 2019** F. Berti, Nouvelles données pour la caractérisation de Iasos entre époque géométrique et période archaïque, in: Henry – Konuk 2019, 453–462
- Bîrzescu 2009** I. Bîrzescu, Drei Typen archaischer Reifenamphoren aus Milet, *Funde aus Milet* 21, AA 2009/1, 121–134
- Bîrzescu 2012** I. Bîrzescu, Die archaischen und frühklassischen Transportamphoren, *Histria* 15 (Bukarest 2012)
- Bischof – Evren 2002** D. Bischof – A. Evren, Ein Fundkomplex des frühen 2. Jahrtausends aus Didyma, *IstMitt* 52, 2002, 59–78
- Boardman 1967** J. Boardman, Excavations in Chios 1952–1955. Greek Emporio, *BSA Suppl.* 6 (Athen 1967)
- Bulba 2010** M. Bulba, Geometrische Keramik Kariens, *Peleus* 47 (Wiesbaden 2010)
- Bumke 2006** H. Bumke, Die Schwester des Orakelgottes. Zum Artemiskult in Didyma, in: J. Mylonopoulos – H. Roeder (Hrsg.), *Archäologie und Ritual. Auf der Suche nach der rituellen Handlung in den antike Kulturen Ägyptens und Griechenlands* (Wien 2006) 215–237
- Bumke 2013** H. Bumke, Der archaische Heiligtumsbefund vom ›Taxiarchis-Hügel‹ in Didyma und sein Zeugniswert für die Rekonstruktion ›ritueller Mahlzeiten‹, in: Gerlach – Raue 2013, 335–342
- Bumke 2021** H. Bumke, Artémis Pytheïè à Didymes: réflexions sur la fonction et la signification de la déesse dans l'ombre du culte oraculaire, in: H. Aurigny – C. Durvy (Hrsg.), *Artémis dans les grands sanctuaires d'Apollon*, *Kernos Suppl.* 37 (Liège 2021) 335–348
- Bumke 2022a** H. Bumke, Das ›heilige Wasser‹ im Orakelheiligtum von Didyma, in: I. Gerlach – G. Lindström – K. Sporn (Hrsg.), *Heiligtümer. Kulttopographie und Kommunikationsformen im sakralen Kontext, Ergebnisse der Cluster-Tagungen (2012–2018)*, *MKT* 19 (Wiesbaden 2022) 209–230
- Bumke 2022b** H. Bumke (Hrsg.), Der archaische Heiligtumsbefund vom Taxiarchis-Hügel in Didyma. Teilband 1: Grabungsstratigraphie, archäologischer Kontext und topographische Einbindung, mit Beiträgen von H. Bumke, E. von Gaisberg, A. Ch. J. von Miller und G. Pantelidis, einem Kurzbeitrag von W. Günther und Katalogbeiträgen von J. Breder, N. Ehrhardt, G. Klebinder-Gauß, A. Sieverling und A. Tanrıöver, *Didyma* 3, 6 (Wiesbaden 2022)
- Bumke 2022c** H. Bumke, The Sanctuary of Apollo in Didyma, in: Ersoy – Koparal 2022, 356–376
- Bumke 2023** H. Bumke (Hrsg.), Der archaische Heiligtumsbefund vom Taxiarchis-Hügel in Didyma. Teilband 2: Das Fundmaterial aus dem archaischen Befund des Taxiarchis-Hügels, Teil 1, mit Beiträgen von H. Bumke, N. Ehrhardt, O. Jeske, I. Kaiser, K. Lölhöff, A. Ch. J. von Miller, B. Reichardt, *Didyma* 3, 6 (Wiesbaden 2023)
- Bumke Taxiarchis in Vorbereitung** H. Bumke (Hrsg.), Der archaische Heiligtumsbefund vom Taxiarchis-Hügel in Didyma. Teilband 3: Das Fundmaterial aus dem archaischen Befund des Taxiarchis-Hügels Teil 2, mit Beiträgen von S. Bandera, J. Breder, H. Bumke, N. Franken, E. von Gaisberg, G. Klebinder-Gauß, J.-H. Hartung, R. Neef, H. Obermaier, Ph. Sapirstein und M. Verčik, *Didyma* 3, 6 (in Vorbereitung)
- Bumke – von Gaisberg 2022** H. Bumke – E. von Gaisberg, Die Einbindung des Taxiarchis-Hügels in die Topographie Didymas und die Genese seines Geländeprofiles, in: Bumke 2022b, 160–165

- Büyükkolancı 2007** M. Büyükkolancı, Apaşa, das alte Ephesos und Ayasoluk, in: Cobet u. a. 2007, 21–26
- CNRS 1978** Les céramiques de la Grèce de l'est et leur diffusion en occident. Centre Jean Bérard, Institut Français de Naples, 6–9 Juillet 1976, Publications du Centre Jean Bérard = Bibliothèque de l'Institut français de Naples (Série 2, 4 = Colloques internationaux du Centre national de la recherche scientifique. Sciences humaines 569 <sup>2</sup>(Paris 1978)
- Cobet 2007** J. Cobet, Das Alte Ionien in der Geschichtsschreibung, in: Cobet u. a. 2007, 729–744
- Cobet u. a. 2007** J. Cobet – V. von Graeve – W.-D. Niemeier – K. Zimmermann (Hrsg.), Frühes Ionien. Eine Bestandsaufnahme, *MilForsch* 5 (Mainz 2007)
- Coldstream 1968** J. N. Coldstream, Greek Geometric Pottery. A Survey of Ten Local Styles and Their Chronology (London 1968)
- Coldstream 2008** J. N. Coldstream, Greek Geometric Pottery. A Survey of Ten Local Styles and Their Chronology <sup>2</sup>(Bristol 2008)
- Cook – Dupont 1998** R. M. Cook – P. Dupont, East Greek Pottery (London 1998)
- Coulié 2013** A. Coulié, La céramique grecque aux époques géométrique et orientalisante (XIe–Vie siècle av. J.-C.), Les manuels d'art et d'archéologie antiques = La céramique grecque 1 (Paris 2013)
- Courbin 1978** P. Courbin, La céramique de la Grèce de l'Est à Ras el Bassit, in: CNRS 1978, 41 f.
- Crielaard 2009** J. P. Crielaard, The Ionians in the Archaic Period. Shifting Identities in a Changing World, in: T. Derks – N. Roymans (Hrsg.), Ethnic Constructs in Antiquity. The Role of Power and Tradition (Amsterdam 2009) 37–84
- Dalsoglio 2020** S. Dalsoglio, The Amphorae of the Kerameikos Cemetery at Athens from the Submycenaean to the Protogeometric Period. Pottery, Grave Assemblages and the Rite of Cremation (Oxford 2020)
- Desborough 1952** V. R. d'A. Desborough, Protogeometric Pottery (Oxford 1952)
- Desborough 1972** V. R. d'A. Desborough, The Greek Dark Ages (London 1972)
- Didyma II** Th. Wiegand, Die Inschriften von A. Rehm, Didyma II (Berlin 1958)
- Dirschedl 2012** U. Dirschedl, Der archaische Apollontempel (»Tempel II«) in Didyma – Erste Ergebnisse der Aufarbeitungskampagnen 2003–2009, in: T. Schulz (Hrsg.), Dipteros und Pseudodipteros. Bauhistorische und archäologische Forschungen, Internationale Tagung 13.–15.11.2009 an der Hochschule Regensburg, *Byzas* 12 (Istanbul 2012) 41–68
- Dirschedl 2017** U. Dirschedl, Vom »σκέπαρον« zum Zahneisen. Werkspuren an Kalkstein-, Kalkmergel- und Marmorwerkstücken des archaischen Didymaion, in D. Kurapkat – U. Wulf-Rheidt (Hrsg.), Werkspuren. Materialverarbeitung und handwerkliches Wissen im antiken Bauwesen, Internationales Kolloquium in Berlin vom 13.–16. Mai 2015, *DiskAB* 12 (Regensburg 2017) 63–88
- Dirschedl 2018** U. Dirschedl, Das archaische Didymeion: zur Rekonstruktion der Säulen und columnae caelatae, in: H. Frielinghaus – Th. G. Schattner (Hrsg.), *Ad summum templum architecturae*. Forschungen zur antiken Architektur im Spannungsfeld der Fragestellungen und Methoden, Festschrift Burkhardt Wesenberg (Möhnsee 2018) 9–34
- Dirschedl 2019** U. Dirschedl, The Archaic Apollo Sanctuary of Didyma, the Canachus Apollo and the so-called Persian Destruction, in: O. Palagia – E. P. Sioumpara (Hrsg.), From Hippias to Kallias. Greek Art from 527 to 449 B.C., Proceedings of the International Conference Held at Acropolis Museum, May 19–20, 2017 (Athen 2019) 234–248
- Drerup u. a. 1964** H. Drerup – R. Naumann – K. Tuchelt, Bericht über die Ausgrabungen in Didyma 1962, *AA* 1964, 333–384
- Drerup 1969** H. Drerup, Griechische Baukunst in geometrischer Zeit (Marburg 1969)
- Ehrhardt 1998** N. Ehrhardt, Didyma und Milet in archaischer Zeit, *Chieron* 28, 1998, 11–22
- Ehrhardt 2023** N. Ehrhardt, III.A8 Graffiti und Dipinti auf Gefäßen vom Taxiarchis-Hügel, in: Bumke 2023, 891–898
- Eilmann 1933** R. Eilmann, Frühe griechische Keramik im samischen Heraion, *AM* 58, 1933, 47–145
- Ersoy 2004** Y. R. Ersoy, Klazomenai: 900–500 B.C. History and Settlement Evidence, in: Moustaka u. a. 2004, 43–76
- Ersoy 2007** Y. Ersoy, Notes on History and Archaeology of Early Clazomenae, in: Cobet u. a. 2007, 149–178
- Ersoy 2022** Y. E. Ersoy, The Western Anatolian Littoral from Prehistoric Times to the End of the Dark Ages: The Case of Clazomenae, in: *Tsetskhladze* 2022, 89–142
- Ersoy – Koparal 2022** Y. Ersoy – E. Koparal (Hrsg.), İonialılar. Ege Kıyılarının Bilge Sakinleri/Ionians. The Sages of the Aegean Shore, *Yapı Kredi Yayınları (Series) 6108* (Istanbul 2022)
- Ersoy – Vaessen 2022** Y. Ersoy – R. Vaessen, Ionia During the Early Iron Age (1100 Through the End of the 8<sup>th</sup> Century BC), in: Ersoy – Koparal 2022, 80–96
- Faraone 2014** Ch. A. Faraone, Inscribed Greek Thunderstones as House- and Body-Amulets in Roman Imperial Times, *Kernos* 27, 2014, 257–284
- Fazlıoğlu 2009** İ. Fazlıoğlu, Damlıboğaz Finds: Inland Carian Archaic Pottery and Related Regions, in: *Rumscheid* 2009a, 463–477
- Felsch u. a. 1980** R. C. S. Felsch – H. J. Kienast – H. Schuler, Apollon und Artemis oder Artemis und Apollon? Bericht von den Grabungen im neu entdeckten Heiligtum bei Kalapodi 1973–1977, mit Beiträgen von G. Hübner, K. von Woyski und H. Becker, *AA* 1980, 38–118
- Focke-Pellkofer 2022** K. Ch. Focke-Pellkofer, Die Steinartefakte von Tavşan Adası im Kontext des kulturellen Austausches zwischen der Ägäis und Anatolien während der Bronzezeit, *ZAKS* 26 (Langenweißbach 2022)

- Forstenpointner u. a. 2008** G. Forstenpointner – M. Kerschner – U. Muss, Das Artemision in der späten Bronzezeit und der frühen Eisenzeit, in: U. Muss (Hrsg.), Die Archäologie der ephesischen Artemis. Gestalt und Ritual eines Heiligtums (Wien 2008) 33–46
- Friis Johansen 1958** K. Friis Johansen, Exochi. Ein frührhodisches Gräberfeld (Kopenhagen 1958)
- Furtwängler 2005** A. E. Furtwängler, Didyma, in: Jahresbericht des Deutschen Archäologischen Instituts, Abteilung Istanbul, AA 2005/2, 209 f.
- Furtwängler 2006** A. E. Furtwängler, Didyma 2004, KST 27/2, 2005 (Ankara 2006) 205–212
- Furtwängler 2007** A. E. Furtwängler, Didyma 2005, KST 28/2, 2006 (Ankara 2007) 405–418
- Furtwängler 2008** A. E. Furtwängler, Zum archaischen Heiligtum von Didyma: Einige neue Ergebnisse, in: 1. Uluslararası Antik Dönemde Kehanet ve Apollon'un Anadolu Kültürleri Sempozyum Bildirileri 17–20 Ağustos 2005, Ege Üniversitesi, İzmir, ADerg 12, 2008, 99–105
- Furtwängler 2009** A. E. Furtwängler, Didyma: Ein Überblick über die jüngeren Forschungen, Colloquium Anatolicum 8, 2009, 1–21
- Furtwängler 2014** A. E. Furtwängler, Didyma 494–334 B.C.: Why did the Oracle Remain Silent?, in: M. Długosz (Hrsg.), Vom »Trogodytenland« ins Reich der Scheherazade. Archäologie, Kunst und Religion zwischen Okzident und Orient, Festschrift Piotr O. Scholz (Berlin 2014) 241–248
- Gebel 1984a** H. G. Gebel, Notiz zur Obsidianindustrie von Altınkum Plajı bei Didyma, mit einem Beitrag von E. Mosheim und E. Althaus, IstMitt 34, 1984, 5–28
- Gebel 1984b** H. G. Gebel, Ein weiteres prähistorisches Felssteingerät in Didyma, IstMitt 34, 1984, 29 f.
- Gerlach – Raue 2013** I. Gerlach – D. Raue (Hrsg.), Sanktuar und Ritual. Heilige Plätze im archäologischen Befund, Forschungscluster 4, Heiligtümer: Gestalt und Ritual, Kontinuität und Veränderung, MKT 10 (Leiden 2013)
- Gimatidis 2011** St. Gimatidis, Feasting and Offering to the Gods in Early Greek Sanctuaries: Monumentalisation and Miniaturisation in Pottery, in: Smith – Bergeron 2011, 75–96
- Gödecken 1988** K. B. Gödecken, A Contribution to the Early History of Miletus. The Settlement in Mycenaean Times and Its Connection Overseas, in: E. B. French – K. A. Wardle (Hrsg.), Problems in Greek Prehistory. Papers Presented at the Centenary Conference of the British School of Archaeology at Athens, Manchester April 1986 (Bristol 1988) 307–318
- von Graeve 1973/1974** V. von Graeve, Milet. Bericht über die Arbeiten im Südschnitt an der hellenistischen Stadtmauer 1963, IstMitt 23/24, 1973/1974, 63–115
- von Graeve 1975** V. von Graeve, Milet. Vorläufiger Bericht über die Grabungen im Südschnitt an der hellenistischen Stadtmauer 1966, IstMitt 25, 1975, 35–59
- von Graeve 1978** V. von Graeve, Zur milesischen Keramik im 8. und 7. Jh. v. Chr., in: CNRS 1978, 34–39
- von Graeve 1986** V. von Graeve, Grabung auf dem Kalabaktepe, in: W. Müller-Wiener, Milet 1985. Vorbericht über die Arbeiten des Jahres 1985 mit Beiträgen von V. von Graeve, M. Pfrommer, S. Pülz unter Mitarbeit von A. Baier, B. Grentzenberg und C. Trümpler, IstMitt 36, 1986, 37–51
- von Graeve 1995** V. von Graeve, Milet 1992–1993. Vorbericht über die Grabungsarbeiten und Geländeerkundungen, die Denkmälerrestaurierung und die naturwissenschaftlichen Begleitprogramme der Miletgrabung in den Jahren 1992 und 1993, AA 1995, 195–333
- Gruben 2001** G. Gruben, Griechische Tempel und Heiligtümer <sup>5</sup>(München 2001)
- Henry – Konuk 2019** O. Henry – K. Konuk (Hrsg.) Karia Arkhaia. La Carie, des origines à la période pré-hékatomnide (Istanbul 2019)
- Held 2000** W. Held, Das Heiligtum der Athena in Milet, mit einem Beitrag von A. Ç. Gültekin, MilForsch 7, 2 (Mainz 2000)
- Herda 1998** A. Herda, Der Kult des Gründerheroen Neileos und die Artemis Kithone in Milet, ÖJh 67, 1998, 1–48
- Herda 2006** A. Herda, Der Apollon-Delphinios-Kult in Milet und die Neujahrsprozession nach Didyma. Ein neuer Kommentar zur sog. Molpoi-Satzung, MilForsch 4 (Mainz am Rhein 2006)
- Herda 2008** A. Herda, Apollon Delphinios – Apollon Didymeus: Zwei Gesichter eines milesischen Gottes und ihr Bezug zur Kolonisation Milet in archaischer Zeit, in: R. Bol – U. Höckmann – P. Schollmeyer (Hrsg.), Kult(ur)kontakte. Apollon in Milet/Didyma, Histria, Myus, Naukratis und auf Zypern, Akten der Table Ronde in Mainz vom 11.–12. März 2004, IA 11 (Rahden/Westf. 2008) 13–86
- Herda 2009** A. Herda, Karkışa – Karien und die sogenannte Ionische Migration, in: Rumscheid 2009a, 27–108
- Herda 2013** A. Herda, Greek (and Our) Views on the Karians, in: A. Mouton – I. Rutherford – I. Yakubovich (Hrsg.), Luwian Identities. Culture, Language and Religion Between Anatolia and the Aegean (Leiden 2013) 421–506
- Herda – Sauter 2009** A. Herda – E. Sauter, Karerinnen und Karer in Milet. Zu einem spätklassischen Schüsselchen mit karischem Graffito aus Milet, AA 2009/2, 51–112
- Hommel 1959/1960** P. Hommel, II. Der Abschnitt östlich des Athena-Tempels, in: Weickert 1959/1960, 31–62
- Huber 2003** S. Huber, L'aire sacrificielle au Nord du sanctuaire d'Apollon Daphnéphoros. Un rituel des époques géométrique et archaïque, Eretria 14 (Gollion 2003)
- İren – Ünlü 2012** K. İren – A. Ünlü, Burning in Geometric Teos, in: K. Konuk (Hrsg.), Stephanophoros de l'économie antique à l'Asie Mineure. Hommages

à Raymond Descat, *Mémoires* 28 (Bordeaux 2012) 309–333

**Kaiser 2013a** I. Kaiser, Rituelle Mahlzeiten im spätbronzezeitlichen Milet, in: Gerlach – Raue 2013, 291–294

**Kaiser 2013b** I. Kaiser, Rituelle Mahlzeiten im spätbronzezeitlichen (SH IIIA) und früheisenzeitlichen (SG) Heiligtum von Kalapodi, in: Gerlach – Raue 2013, 295–298

**Kaiser 2023a** I. Kaiser, III.A2a Geometrische Keramik, in: Bumke 2023, 10–15

**Kaiser 2023b** I. Kaiser, III.A2c Graue Waren, in: Bumke 2023, 339–356

**Kaiser – Zurbach 2015** I. Kaiser – J. Zurbach, Late Bronze Age Miletus: The Anatolian Face, in: Stampolidis u. a. 2015, 557–579

**Kaiser – von Miller 2023** I. Kaiser – A. Ch. J. von Miller, III.A4a Nordionische Kotylen und Kalottenschalen: Vogelschalenwerkstätten und Verwandtes, in: Bumke 2023, 501–527

**Kaiser u. a. 2011** I. Kaiser – L. C. Rizzotto – S. Strack, Development of a Ceramic Cultic Assemblage. Analyzing Pottery from Late Helladic IIIC through Late Geometric Kalapodi, in: Verdan u. a. 2011, 29–44

**Kalaitzoglou 2008** G. Kalaitzoglou, Assesos. Ein geschlossener Befund südionischer Keramik aus dem Heiligtum der Athena Assesia, *MilForsch* 6 (Mainz 2008)

**Kalaitzoglou 2017** G. Kalaitzoglou, Die Mykale in prähistorischer Zeit, in: Lohmann u. a. 2017, 119–144

**Kearsley 1989** R. Kearsley, The Pendent Semi-circle Skyphos: A Study of its Development and Chronology and an Examination of it as Evidence for Euboean Activity at Al Mina, *BICS Suppl.* 44 (London 1989)

**Kerschner 1995** M. Kerschner, Die ostgriechischen Vogelschalen und Verwandtes. Studien zur Chronologie und Verbreitung der ostgriechischen Keramik (unpubl. Diss. Universität Bochum 1995)

**Kerschner 1999** M. Kerschner, Das Artemisheiligtum auf der Ostterrasse des Kalabaktepe in Milet, Stratigraphie und Keramikfunde der Sondagen des Jahres 1995, *AA* 1999/1, 7–51

**Kerschner 2002** M. Kerschner, Ostgriechische Kalottenschalen (Vogelkotylen, Vogel-, Rosetten-, Mäander- und Reifenschalen) und Vogelkannen, in: Akurgal u. a. 2002, 63–72

**Kerschner 2003a** M. Kerschner, Zum Kult im früheisenzeitlichen Ephesos. Interpretation eines protogeometrischen Fundkomplexes aus dem Artemisheiligtum, in: Schmaltz – Söldner 2003, 246–250

**Kerschner 2003b** M. Kerschner, Stratifizierte Fundkomplexe der geometrischen und subgeometrischen Epoche aus Ephesos, in: Rückert – Kolb 2003, 43–59

**Kerschner 2006** M. Kerschner, Die ionische Wanderung im Lichte neuer archäologischer Forschungen in Ephesos, in: E. Olshausen – H. Sonnabend (Hrsg.), «Trojaner sind wir gewesen»

– Migrationen in der antiken Welt, Stuttgarter Kolloquium zur Historischen Geographie des Altertums 8, 2002, *Geographica Historica* 21 (Stuttgart 2006) 364–382

**Kerschner 2007** M. Kerschner, Das Keramikbild von Ephesos im 7. und 6. Jh. v. Chr., in: Cobet u. a. 2007, 221–245

**Kerschner 2008** M. Kerschner, Der Keramikbefund im Bereich von Koressos, in: M. Kerschner – I. Kowalleck – M. Steskal, Archäologische Forschungen zur Siedlungsgeschichte von Ephesos in geometrischer, archaischer und klassischer Zeit. Grabungsbefunde und Keramikfunde aus dem Bereich von Koressos, *ErgÖJh* 9 (Wien 2008) 25–74

**Kerschner 2011** M. Kerschner, Approaching Aspects of Cult Practice and Ethnicity in Early Iron Age Ephesos Using Quantitative Analysis of a Protogeometric Deposit from the Artemision, in: Verdan u. a. 2011, 19–27

**Kerschner 2014a** M. Kerschner, Euboean Imports to the Eastern Aegean and Eastern Aegean Production of Pottery in the Euboean Style: New Evidence from Neutron Activation Analyses, in: Kerschner – Lemos 2014, 109–140

**Kerschner 2014b** M. Kerschner, Euboean or Levantine? Neutron Activation Analysis of Pendent Semicircle Skyphoi from Al Mina, in: Kerschner – Lemos 2014, 157–168

**Kerschner 2015** M. Kerschner, Der Ursprung des Artemisions von Ephesos als Naturheiligtum. Naturmale als kultische Bezugspunkte in den großen Heiligtümern Ioniens, mit Beiträgen von F. Stock und H. Brückner, in: K. Sporn – S. Ladstätter – M. Kerschner (Hrsg.), *Natur – Kult – Raum. Akten des Internationalen Kolloquiums Paris-Lodron-Universität Salzburg* 20.–22. Jänner 2012, *SoSchriÖAI* 51 (Wien 2015) 187–243

**Kerschner 2017** M. Kerschner, Das Artemision von Ephesos in geometrischer und archaischer Zeit. Die Anfänge des Heiligtums und sein Aufstieg zu einem Kultzentrum von überregionaler Bedeutung, in: T. Georges (Hrsg.), *Ephesos. Die antike Metropole im Spannungsfeld von Religion und Bildung* (Tübingen 2017) 3–76

**Kerschner – Lemos 2014** M. Kerschner – I. Lemos (Hrsg.), *Archaeometric Analyses of Euboean and Euboean Related Pottery: New Results and Their Interpretations*, Proceedings of the Round Table Conference held at the Austrian Archaeological Institute in Athens, 15 and 16 April 2011, *ErgÖJh* 15 (Wien 2014)

**Kerschner – Mommsen 2022** M. Kerschner – H. Mommsen, Teos in the Geometric and Archaic Period: A Major Production Centre of Pottery in North Ionia, in: G. R. Tsetschkladze (Hrsg.), *Ionians in the West and East. Proceedings of an International Conference »Ionians in the East and West«*, Museu d'Arqueologia de Catalunya-Empúries, Empúries/L'Escala, Spain, 26–29 October, 2015, *Colloquia Antiqua* 27 (Leuven 2022) 169–214

**Kerschner – Schlotzhauer 2005** M. Kerschner – U. Schlotzhauer, A New Classification System for East Greek Pottery, *AncWestEast* 4, 2005, 1–56

- Kızıl 2009** A. Kızıl, 1990–2005 Yılları Arasında Mylasa'da Kurtarma Kazıları Yapılan Mezarlar ve Buluntuları Üzerinde Genel Bir Değerlendirme, in: Rumscheid 2009a, 397–461
- Kızıl 2019** A. Kızıl, Some Archaeological Evidence Before the Hecatomnide Period in Milas, in: Henry – Konuk 2019, 289–307
- Klebinder-Gauß – Franken in Vorbereitung** G. Klebinder-Gauß – N. Franken, III.C2 Bronzefunde, in: Bumke Taxiarchis in Vorbereitung
- Kleine 1979** J. Kleine, Milet. Bericht über die Arbeiten im Südschnitt an der hellenistischen Stadtmauer 1968–1973, *IstMitt* 29, 1979, 109–159
- Kleiner 1959/1960** G. Kleiner, Die Grabung im Norden des Athena-Tempels, in: Weickert 1959/1960, 86–96
- Kleiner u. a. 1967** G. Kleiner – P. Hommel – W. Müller-Wiener, Panionion und Melie, *JdI Erg.* 23 (Berlin 1967)
- Korfmann 1973/1974** M. Korfmann, Herstellung ›prähistorischer‹ Steinbeile und -äxte in der Antike? Zur Bedeutung in historischen Fundzusammenhängen, *IstMitt* 23/24, 1973/1974, 39–52
- Kotsonas – Mokrišová 2020** A. Kotsonas – J. Mokrišová, Mobility, Migration, and Colonization, in: Lemos – Kotsonas 2020, 217–246
- Krumme 2003** M. Krumme, Geometrische Keramik aus Milet, in: Schmaltz – Söldner 2003, 244 f.
- Krumme 2015** M. Krumme, Geometric Miletus, in: Stampolidis u. a. 2015, 581–591
- Krumme 2016** M. Krumme, Milet, Türkei. Die geometrische Keramik aus Altgrabungen. Publikation der Funde der Altgrabungen und Herkunftsbestimmung durch xRFA-Messungen, *eDAI-F* 2016/1, 164–167
- Kunisch 1998** N. Kunisch, Ornamente geometrischer Vasen. Ein Kompendium (Köln 1998)
- de La Genière 2007** J. de La Genière, Sanctuaire d'Apollon à Claros. État de la Question, in: Cobet u. a. 2007, 179–185
- Lemos 2002** I. S. Lemos, The Protoegeometric Aegean. The Archaeology of the Late Eleventh and Tenth Centuries B.C. (Oxford 2002)
- Lemos 2007** I. S. Lemos, The Migration to the West Coast of Asia Minor: Tradition and Archaeology, in: Cobet u. a. 2007, 713–728
- Lemos 2014** I. S. Lemos, Pottery from Lefkandi of the Late Bronze and Early Iron Age in the Light of the Neutron Activation Analyses, in: Kerschner – Lemos 2014, 37–58
- Lemos – Kotsonas 2020** I. S. Lemos – A. Kotsonas (Hrsg.), A Companion to the Archaeology of Early Greece and the Mediterranean (Hoboken 2020)
- Lohmann 1995** H. Lohmann, Survey in der Chora von Milet. Vorbericht über die Kampagnen der Jahre 1990, 1992 und 1993, in: von Graeve 1995, 293–328
- Lohmann 1997** H. Lohmann, Survey in der Chora von Milet. Vorbericht über die Kampagnen der Jahre 1994 und 1995, *AA* 1997/2, 285–311
- Lohmann 1999** H. Lohmann, Survey in der Chora von Milet. Vorbericht über die Kampagnen der Jahre 1996 und 1997 *AA* 1999/3, 439–473
- Lohmann u. a. 2007** H. Lohmann, Forschungen und Ausgrabungen in der Mykale 2001–2006, mit Beiträgen von H. Büsing, F. Huek, G. Kalaitzoglou, G. Lüdorf, M. Müllenhoff und Ph. Niewöhner, *IstMitt* 57, 2007, 59–178
- Lohmann u. a. 2017** H. Lohmann – G. Kalaitzoglou – G. Lüdorf (Hrsg.), Forschungen in der Mykale I, 1. Survey in der Mykale (Delik Daglan/Aydin) 2001–2009, *AMS* 77 (Bonn 2017)
- Mariaud 2020** O. Mariaud, Ionia, in: Lemos – Kotsonas 2020, 961–983
- Mac Sweeney 2016** N. Mac Sweeney, Anatolian-Aegean Interactions in the Early Iron Age: Migration, Mobility, and the Movement of People, in: B. P. C. Molloy (Hrsg.), *Of Odysseys and Oddities. Scales and Modes of Interaction Between Prehistoric Aegean Societies and Their Neighbours* (Oxford 2016) 411–433
- Mac Sweeney 2017** N. Mac Sweeney, Separating Fact from Fiction in the Ionian Migration, *Hesperia* 86/3, 2017, 379–421
- Mac Sweeney 2022** N. Mac Sweeney, Western Anatolia Through the End of the Second Millennium B.C. and the Question of ›Ionian Migration‹, in: Ersoy – Kopal 2022, 72–79
- von Miller 2018** A. Ch. J. von Miller, Archaic Amphorae from Taxiarchis Hill, Didyma, *Skyllis* 18/1, 2018, 85–96
- von Miller 2019** A. Ch. J. von Miller, Archaische Siedlungsbefunde in Ephesos. Stratigraphie, Bauphasen, Keramik und Kleinfunde aus den Grabungen unter der Tetragonos-Agora. Archaische Keramikfunde aus dem Theater und von den nordwestlichen Ausläufern des Panayırdağ, mit Beiträgen von M. Kerschner und L. Betina, *FiE* 13, 3 (Wien 2019)
- von Miller 2022** A. Ch. J. von Miller, Die archaische Stratigraphie vom Taxiarchis-Hügel, in: Bumke 2022b, 13–94
- von Miller 2023a** A. Ch. J. von Miller, Lokale Alltagskeramik: Die (Feine) Hellbraune Ware und Verwandtes, in: Bumke 2023, 16–338
- von Miller 2023b** A. Ch. J. von Miller, Glimmerware, Grobkeramik und Küchenware, in: Bumke 2023, 357–370
- von Miller 2023c** A. Ch. J. von Miller, Die Gefäßkeramik aus den archaischen Befunden des Taxiarchis-Hügels: ein zusammenfassender Überblick, in: Bumke 2023, 899–915
- von Miller 2024** A. Ch. J. von Miller, Zur Datierung der ältesten Straßenpflasterung im Bereich der sog. Heiligen Straße in Didyma: Ein Diskussionsbeitrag, *AA* 2024/1, 143–190 (§ 1–14), <https://doi.org/10.34780/mio3-65o9>
- von Miller in Vorbereitung** A. Ch. J. von Miller, Die Felsbarre in Didyma. Untersuchungen zur Entwicklung und Funktion in der archaischen Zeit (in Vorbereitung)

- Moustaka u. a. 2004** A. Moustaka – E. Skarlatidou – M.-C. Tzannes – Y. Ersoy (Hrsg.), *Klazomenai, Teos und Abdera: Metropoleis and Colony*, Proceedings of the International Symposium Held at the Archaeological Museum of Abdera (Thessaloniki 2004)
- Naso 2005** A. Naso, *Anfore commerciali arcaiche a Mileto: rapporto preliminare*, *Funde aus Milet* 19, AA 2005/2, 73–84
- Naumann 1963** R. Naumann, *AnatSt* 13, 1963, 24
- Naumann – Tuchelt 1963/1964** R. Naumann – K. Tuchelt, *Die Ausgrabung im Südwesten des Tempels von Didyma* 1962, *IstMitt* 13/14, 1963/1964, 15–62
- Neuser 2022** T. Neuser, *The Imported Pottery of the Middle and Early Late Bronze Age Harbour Town of Tavşan Adası and Its Aegean Context*, ZAKS 27 (Langenweißbach 2022)
- Niemeier 2002a** W.-D. Niemeier, *Die Keramik der mykenischen Epoche*, in: *Akurgal u. a. 2002*, 25–28
- Niemeier 2002b** W.-D. Niemeier, *Die analysierten mykenischen Keramikfunde aus Milet und Ephesos*, in: *Akurgal u. a. 2002*, 56–62
- Niemeier 2007a** W.-D. Niemeier, *Milet von den Anfängen menschlicher Besiedlung bis zur Ionischen Wanderung*, in: *Cobet u. a. 2007*, 3–20
- Niemeier 2007b** W.-D. Niemeier, *Westkleinasien und Ägäis von den Anfängen bis zur Ionischen Wanderung: Topographie, Geschichte und Beziehungen nach dem archäologischen Befund und den hethitischen Quellen*, in: *Cobet u. a. 2007*, 37–96
- Niemeier 2009** W.-D. Niemeier, *Milet und Karien vom Neolithikum bis zu den ›Dunklen Jahrhunderten‹. Mythos und Archäologie*, in: *Rumscheid 2009a*, 7–26
- Niemeier 2019a** W.-D. Niemeier, *Die bisherigen Forschungen zum frühen Heraion und neue Erkenntnisse*, in: *Walter u. a. 2019a*, 1–25
- Niemeier 2019b** W.-D. Niemeier, *Das Heraion von Samos im Kontext der Geschichte und der Heiligtümer Ioniens, mit Nachträgen*, in: *Walter u. a. 2019a*, 145–196
- Niemeier 2021** W.-D. Niemeier, *Zur Datierung des Hekatompedos I im Heraion von Samos*, AA 2021/2, 1–21, <https://doi.org/10.34780/3ekv-29a3>
- Niemeier – Niemeier 1997** B. Niemeier – W.-D. Niemeier, *Projekt Minoisch-Mykenisches bis Protogeometrisches Milet, Zielsetzung und Grabungen auf dem Stadionhügel und am Athenatempel*, AA 1997/2, 189–248
- Özgünel 1978** C. Özgünel, *Spätgeometrische Keramik in Bayraklı (Alt-Smyrna)*, in: *CNRS 1978*, 17–26
- Özgünel 2003** C. Özgünel, *Geometrische Keramik von Alt-Smyrna aus der Akurgal-Grabung*, in: *Rückert – Kolb 2003*, 69–89
- Özgünel 2006** C. Özgünel, *Karia Geometrik Seramiği (Istanbul 2006)*
- Özkan 2009** T. Özkan, *Funde aus einem spätgeometrischen Brandgrab*, *ADerg* 14/2, 2009, 57–78
- Panteleon 2013** N. Panteleon, *Die Kratere der archaischen Zeit aus Milet (Diss. Universität Bochum 2011, microfiche-Publikation 2013)*
- Parzinger 1989** H. Parzinger, *Zur frühesten Besiedlung Milets*, *IstMitt* 39, 1989, 415–431
- Pierattini 2022** A. Pierattini, *The Originis of Greek Temple Architecture (Cambridge 2022)*
- Posamentir 2002** R. Posamentir, *Beobachtungen zu archaischen Deckeln: Tierfries und ›Graue Ware‹*, *Funde aus Milet* 12, AA 2002/1, 9–26
- Rechta 2020** M. R. Rechta, *Die bronzezeitliche Architektur von Tavşan Adası in ihrem ägäischen Kontext*, ZAKS 25 (Langenweißbach 2020)
- Rückert – Kolb 2003** B. Rückert – F. Kolb, *Probleme der Keramikchronologie des südlichen und westlichen Kleinasiens in geometrischer und archaischer Zeit*, *Internationales Kolloquium, Tübingen 24.3.–26.3.1998*, *Antiquitas* 44 (Bonn 2003)
- Rumscheid 2009a** F. Rumscheid (Hrsg.), *Die Karer und die Anderen, Internationales Kolloquium an der Freien Universität Berlin 13. bis 15. Oktober 2005 (Bonn 2009)*
- Rumscheid 2009b** F. Rumscheid, *Die Leleger: Karer oder Andere?*, in: *Rumscheid 2009a*, 173–194
- Ruppenstein 2009** F. Ruppenstein, *The Transitional Phase from Sub-Mycenaean to Protogeometric: Definition and Comparative Chronology*, in: *S. Deger-Jalkotzy – A. E. Bächle (Hrsg.), LH III C Chronology and Synchronisms III: LH III C Late and the Transition to the Early Iron Age, Proceedings of the International Workshop held at the Austrian Academy of Sciences at Vienna, February 23<sup>rd</sup> and 24<sup>th</sup>, 2007, DÖAW 384 (Wien 2009) 327–343*
- Santaniello 2009** E. Santaniello, *Rez. zu [Schattner 2007]*, *Studi Micenei ed Egeo-Anatolici* 51, 2009, 354–362
- Schattner 1992** Th. G. Schattner, *Didyma: ein minoisch-mykenischer Fundplatz?*, AA 1992, 369–372
- Schattner 2007** Th. Schattner, *Die Fundkeramik vom 8. bis zum 4. Jahrhundert v. Chr., Ergebnisse der Ausgrabungen und Untersuchungen seit dem Jahre 1962, Didyma 3, 4 (Mainz 2007)*
- Schiering 1959/1960** W. Schiering, *Südabschnitt*, in: *Weickert 1959/1960*, 4–30
- Schiering 1968** W. Schiering, *Der alte Athena-Tempel von Milet. Der archäologische Befund*, *IstMitt* 18, 1968, 144–160
- Schiering 1979** W. Schiering, *Milet: Eine Erweiterung der Grabung östlich des Athenatempels*, *IstMitt* 29, 1979, 77–108
- Schlotzhauer 2010** U. Schlotzhauer, *Rez. zu [Rückert – Kolb 2003]*, 259–271
- Schlotzhauer 2012** U. Schlotzhauer, *Untersuchungen zur archaischen Keramik aus Naukratis*, in: *U. Schlotzhauer – S. Weber – H. Mommsen, Griechische Keramik des 7. und 6. Jhs. v. Chr. aus Naukratis und anderen Orten in Ägypten, Archäologische Studien zu Naukratis 3 (Worms 2012) 21–195*
- Schlotzhauer 2014** U. Schlotzhauer, *Die südionischen Knickrandschalen. Eine chronologische Untersuchung zu den sog. Ionischen Schalen in Milet (Diss. Universität Bochum 2001/2014)*

- Schmaltz 2003** B. Schmaltz, Frühe lokale Ware in Kaunos, in: Rückert – Kolb 2003, 37–42
- Schmaltz – Söldner 2003** B. Schmaltz – M. Söldner (Hrsg.), Griechische Keramik im kulturellen Kontext, Akten des Internationalen Vasen-Symposiums in Kiel vom 24.–28.9.2001 veranstaltet durch das Archäologische Institut der Christian-Albrechts-Universität zu Kiel (Münster 2003)
- Schneider 1996** P. Schneider, Zum Alten Sekos in Didyma, *IstMitt* 46, 1996, 147–152
- Schweitzer 1969** B. Schweitzer, Die geometrische Kunst Griechenlands (Köln 1969)
- Seifert 2004** M. Seifert, Herkunftsbestimmung archaischer Keramik am Beispiel von Amphoren aus Milet, *BARIntSer* 1233 (Oxford 2004)
- Senff 1995** R. Senff, Sondierung am Südhang des Mengerevtepe (Assesos), in: von Graeve 1995, 224–228
- Slawisch 2013** A. Slawisch, Didyma. Untersuchungen zur sakralen Topographie und baulichen Entwicklung des Kernheiligtums vom 8.–4. Jh. v. Chr., in: Gerlach – Raue 2013, 53–60
- Smith – Bergeron 2011** A. C. Smith – M. E. Bergeron (Hrsg.), *The Gods of Small Things*, *Pallas* 86 (Toulouse 2011)
- Stampolidis u. a. 2015** N. Ch. Stampolidis – Ç. Maner – K. Kopanias (Hrsg.), *Nostoi. Indigenous Culture, Migration and Integration in the Aegean Island and Western Anatolia During the Late Bronze and Early Iron Ages* (Istanbul 2015)
- Taxiarchis iDAI.field 2024** H. Bumke (Hrsg.), Der archaische Heiligtumsbefund vom Taxiarchis-Hügel in Didyma, *Didyma* 3, 6 digitales Datenbanksupplement (Berlin 2024) <<https://field.idai.world/project/didyma-project>> (23.02.2024)
- Technau 1929** W. Technau, Griechische Keramik im samischen Heraion, *AM* 54, 1929, 6–66
- Tirpan u. a. 2015** A. A. Tirpan – Z. Korkmaz – M. Ekici, A Group of Band Decorated Ceramics from the Mengeve District in the Caria Region, in: R. G. Gürtekin-Demir – H. Cevizoğlu – Y. Polat – G. Polat (Hrsg.), *Keramos. Ceramics: A Cultural Approach*, Proceedings of the First International Conference at Ege University, May 9–13, 2011, Izmir (Ankara 2015) 229–237
- Tsakos 2007** K. Tsakos, Die Stadt Samos in der geometrischen und archaischen Epoche, in: Cobet u. a. 2007, 189–199
- Tsetschkladze 2022** G. R. Tsetschkladze (Hrsg.) *Ionians in the West and East*, Proceedings of the International Conference ›Ionians in East and West‹, Museu d'Arqueologia de Catalunya-Empuries, Empuries/L'Escala, Spain, 26–29 October, 2015, *Colloquia Antiqua* 27 (Leuven 2022)
- Tuchelt 1970** K. Tuchelt, Die archaischen Skulpturen von Didyma: Beiträge zur frühgriechischen Plastik in Kleinasien, *IstForsch* 27 (Tübingen 1970)
- Tuchelt 1971** K. Tuchelt, Didyma. Bericht über die Arbeiten 1969/70, *IstMitt* 21, 1971, 45–108
- Tuchelt 1973** K. Tuchelt, Vorarbeiten zu einer Topographie von Didyma. Eine Untersuchung der inschriftlichen und archäologischen Zeugnisse, *IstMitt Beih.* 9 (Tübingen 1973)
- Tuchelt 1973/1974** K. Tuchelt, Didyma. Bericht über die Arbeiten 1972/73, *IstMitt* 23/24, 1973/1974, 139–168
- Tuchelt 1980a** K. Tuchelt, Didyma. Bericht über die Arbeiten der Jahre 1975–1979 mit Beiträgen von P. Schneider, U. Wintermeyer, H. R. Baldus, W. Günther, R. Naumann, W. Schiele, *IstMitt* 30, 1980, 99–189
- Tuchelt 1980b** K. Tuchelt, Das Gebiet der Heiligen Straße, in: Tuchelt 1980a, 102–121
- Tuchelt 1984a** K. Tuchelt, Didyma. Bericht über die Arbeiten der Jahre 1980–1983. Mit Beiträgen von H. R. Baldus, J. Boessneck – A. v. d. Driesch, K. B. Gödecken, W. Schiele, P. Schneider und U. Wintermeyer, *IstMitt* 34, 1984, 193–344
- Tuchelt 1984b** K. Tuchelt, Die Ausgrabungen im Nordwestteil des Heiligtums, in: Tuchelt 1984a, 195–240
- Tuchelt 1991a** K. Tuchelt, Die Heiligtümer von Didyma und ihre Grundzüge, *RA* 1991/1, 85–98
- Tuchelt 1991b** K. Tuchelt, Didyma-Grabung 1990, *KST* 13/2, 1991, 1–7
- Tuchelt 1992a** K. Tuchelt, Branchidai – Didyma. Geschichte und Ausgrabung eines antiken Heiligtums, *Zaberns Bildbände zur Archäologie* 3 (Mainz 1992)
- Tuchelt 1992b** K. Tuchelt, Tieropfer in Didyma – ein Nachtrag, *AA* 1992, 61–81
- Tuchelt 2007** K. Tuchelt, Überlegungen zum archaischen Didyma, in: Cobet u. a. 2007, 393–413
- Vaessen 2014** R. Vaessen, Ceramic Developments in Coastal Western Anatolia at the Dawn of the Early Iron Age, in: Y. Galanakis – T. Wilkinson – J. Bennet (Hrsg.), *AΘYPMATA. Critical Essays on the Archaeology of the Eastern Mediterranean in Honour of E. Susan Sherratt* (Oxford 2014) 223–232
- Vaessen 2015** R. Vaessen, The Ionian Migration and Ceramic Dynamics in Ionia at the End of the Second Millennium B.C.: Some Preliminary Thoughts, in: Stampolidis u. a. 2015, 811–834
- Vanschoonwinkel 2006** J. Vanschoonwinkel, Greek Migrations to Aegean Anatolia in the Early Dark Age, in: G. R. Tsetschkladze – A. J. Graham (Hrsg.), *Greek Colonisation. An Account of Greek Colonies and Other Settlements Overseas* (Leiden 2006) 115–141
- Verčik in Vorbereitung** M. Verčik, Eisenfunde, in: Bumke Taxiarchis in Vorbereitung
- Verdan 2013** S. Verdan, Le sanctuaire d'Apollon Daphnéphoros à l'époque géométrique, *Eretria* 22 (Gollion 2013)
- Verdan u. a. 2008** S. Verdan – A. Kenzelmann Pfyffer – C. Léderrey, Céramique géométrique d'Érétrie, *Eretria* 20 (Gollion 2008)
- Verdan u. a. 2011** S. Verdan – Th. Theurillat – A. Kenzelmann Pfyffer (Hrsg.), Early Iron Age Pottery: A Quantitative Approach, Proceedings of the International Round Table Organized by the Swiss School of Archaeology in Greece, Athens, November 28–30, 2008, *BARIntSer* 2254 (Oxford 2011)

- Voigtländer 1982** W. Voigtländer, Funde aus der Insula westlich des Buleuterion in Milet, *IstMitt* 32, 1982, 30–173
- Voigtländer 1986** W. Voigtländer, Umriss eines vor- und frühgeschichtlichen Zentrums an der karisch-ionischen Küste. Erster Vorbericht, *Survey* 1984, AA 1986, 613–667
- Voigtländer 1988** W. Voigtländer, Akbuk – Teichiussa, Zweiter Vorbericht, *Survey* 1985/86, AA 1988, 567–625
- Voigtländer 2004** W. Voigtländer, Teichiussa. Näherung und Wirklichkeit (Rahden/Westf. 2004)
- Waldbaum – Magness 1997** J. C. Waldbaum – J. Magness, The Chronology of Early Greek Pottery: New Evidence from Seventh Century B.C. Destruction Levels in Israel, *AJA* 101/1, 1997, 23–40
- Walter 1968** H. Walter, Frühe samische Gefäße. Chronologie und Landschaftsstile ostgriechischer Gefäße, Samos 5 (Bonn 1968)
- Walter – Vierneisel 1959** H. Walter – K. Vierneisel, Heraion von Samos. Die Funde der Kampagnen 1958 und 1959, *AM* 74, 1959, 10–34
- Walter u. a. 2019a** H. Walter – A. Clemente – W.-D. Niemeier, Ursprung und Frühzeit des Heraion von Samos. Teil 1: Topographie, Architektur und Geschichte, Samos 21, 1 (Wiesbaden 2019)
- Walter u. a. 2019b** H. Walter – A. Clemente – W.-D. Niemeier, Das Heiligtum in der Zeit der frühen Altäre, in: Walter u. a. 2019a, 35–59
- Walter u. a. 2019c** H. Walter – A. Clemente – W.-D. Niemeier, Die frühen Altäre. Altar I–VI, Bestand, Maße und Rekonstruktion, in: Walter u. a. 2019a, 61–67
- Wascheck 2008** F. Wascheck, Fikellura-Amphoren und -Amphoriskoi von Milet. Ein Gefäßlager am Kalabaktepe?, *AA* 2008/2, 47–81
- Weickert 1957** C. Weickert, Die Ausgrabungen beim Athena-Tempel in Milet 1955, *IstMitt* 7, 1957, 102–132
- Weickert 1959/1960** C. Weickert, Die Ausgrabung beim Athena-Tempel in Milet 1957, unter Mitarbeit von P. Hommel, G. Kleiner, A. Mallwitz, W. Schiering, *IstMitt* 9/10, 1959/1960, 1–96
- Wintermeyer 1980** U. Wintermeyer, Katalog ausgewählter Keramik und Kleinfunde, in: *Tuchelt* 1980a, 122–160
- Wintermeyer 2004** U. Wintermeyer, Die hellenistische und frühkaiserzeitliche Gebrauchskeramik auf Grundlage der stratifizierten Fundkeramik aus dem Bereich der Heiligen Straße, *Didyma* 3, 2 (Mainz 2004)
- Zunal 2014** O. Zunal, Preliminary Report on Protoegeometric Pottery from Recent Excavations at Claros. Contributions to Early Ionian Pottery, in: J.-Ch. Moretti – L. Rabatel (Hrsg.), *Le sanctuaire de Claros et son oracle, Actes du colloque international de Lyon, 13–14 janvier 2012* (Paris 2014) 109–115
- Zunal 2015** O. Zunal, Klaros'ta Bulunan Ok Uçları / Arrowheads from Klaros, in: *MASROP E-Dergi* 2015/9, 41–53
- Zunal 2016** O. Zunal, A Group of Submycenaean – Protoegeometric Cups from Claros, *Olba* 24, 2016, 171–190
- Zunal 2018** O. Zunal, İonia Protoegeometrik Dönem Seramiği Üzerine Düşünceler, in: O. Zunal – Y. Polat – H. Cevizoğlu – G. Gürtekin Demir – G. Polat – G. Günata – E. Doğan Gürbüz – C. Pişkin Ayvazoğlu (Hrsg.), *Epiphaneia. Festschrift Nuran Şahin (Izmir 2018)* 345–352

---

## ZUSAMMENFASSUNG

### Neues zum alten Didyma

Zu den frühesten archäologischen Zeugnissen aus dem Heiligtum des Apollon

Alexandra Ch. J. von Miller

Der vorliegende Beitrag befasst sich mit der Frühzeit des Apollonheiligtums von Didyma. Während die literarische Überlieferung (Hdt. 1, 157; Paus. 7, 2, 6) auf das hohe Alter und die vorgriechischen Ursprünge des Heiligtums verweist, ist der archäologische Befund einen entsprechenden Nachweis schuldig geblieben, weshalb beide Aspekte bislang anhand literarisch-historischer, religionswissenschaftlicher und topographischer Überlegungen erörtert worden sind. Hier werden nun im ersten Teil des Beitrages die für die Beurteilung der Anfänge des Heiligtums relevanten ältesten archäologischen Funde – es handelt sich vornehmlich um Gefäßkeramik – und Befunde der Bronze- und frühen Eisenzeit zusammengetragen und diskutiert, die seit der Wiederaufnahme der Deutschen Grabungen in den 1960er Jahren angetroffen und dokumentiert worden sind. In dem beigefügten Katalog werden Keramikfunde von unterschiedlichen Fundplätzen in Didyma, die für den untersuchten Zeithorizont die primäre archäologische Quelle darstellen, erstmals vorgelegt. Der zweite Teil des Beitrages geht der Frage der Sichtbarkeit karischer Kultteilnehmer im Apollonheiligtum der geometrischen und archaischen Zeit nach. Diese manifestiert sich in einer Gruppe von in karischem Stil bemalten Gefäßen der spätgeometrischen bis früharchaischen Zeit sowie in wenigen karischen Graffiti auf Gefäßformen, die zum typischen lokalen Kultgeschirr gehören, das in der spätarchaischen Zeit für rituelle Bankette genutzt wurde.

## SCHLAGWÖRTER

Didyma, Apollonheiligtum, Keramik, Spätbronzezeit, frühe Eisenzeit, Archaik

---

## ÖZET

### Eski Didyma'dan Yeni Bilgiler

Apollon Kutsal Alanı'ndaki en Erken Arkeolojik Belgeler

Alexandra Ch. J. von Miller

Bu makalede, Apollon Kutsal Alanı'nın erken evresi ele alınmaktadır. Antik kaynaklar, (Hdt. 1, 157; Paus. 7, 2, 6) kutsal alanın eski oluşuna ve Yunan öncesi kökenine işaret etse de bu durum, arkeolojik bulgularla kanıtlanmamıştır. Bu nedenle, konunun her iki boyutu bugüne kadar yazınsal, tarihsel, dinbilimsel ve topografik çerçevede tartışılmıştır. Kutsal alanın başlangıcının değerlendirildiği ilk bölümde, Tunç Çağı ve Erken Demir Çağı'na ait kayda değer ve en erken arkeolojik buluntular ile bulgular derlenerek tartışılmaktadır. Buluntuların büyük bölümünü, 1960'lı yıllarda yeniden başlayan Alman kazıları sırasında günışığına çıkarılan kaplar oluşturmaktadır. Bu bölümle ilgili katalogta, Didyma'daki çeşitli buluntu yerlerinden elde edilen ve incelenen dönem için birincil arkeolojik veri niteliğindeki keramik buluntular ilk defa sunulmaktadır. Makalenin ikinci bölümünde, Apollon Kutsal Alanı'nın Geometrik ve Arkaik dönemlerinde, Karialı katılımcıların kültteki varlığı irdelenmektedir. Bu durum, Geç Geometrik Evre'den Erken Arkaik Evre'ye kadarki döneme ait boyalı Karia keramiğinin yanı sıra, üzerinde az sayıda Karca graffito bulunan keramik ile de kendini gösterir. Kap formları, Geç Arkaik Dönem'de ritüel ziyafetler için kullanılan, tipik yerel kült faaliyetlerine özgü kaplara aittir.

## ANAHTAR SÖZCÜKLER

Didyma, Apollon Kutsal Alanı, keramik, Geç Tunç Çağı, Demir Çağı, Arkaik dönem

---

## ABBILDUNGSNACHWEIS

Startbild: Photos DID\_2022-08-05\_0261: A. von Miller

Abb. 1: Plangrundlage: Didyma Gesamtplan 2021, © DAI; Vermessung D. Hoffmann 1997, H. Birk 2009–2013, J. Goischke 2013–2015, J. Falkenberg 2016, G. Fellner 2017. 2019; Bauaufnahme J. Birnbaum, E. Röver 2000–2003; Digitalisierung M. Saleh 2016–2018, M. Kohnert 2017. 2018, K. Ghods, E. Koenigsaecker 2019; Fundstellenkennzeichnung: A. von Miller

Abb. 2: Plangrundlage: Didyma Gesamtplan 2021, © DAI; Vermessung D. Hoffmann 1997, H. Birk 2009–2013, J. Goischke 2013–2015, J. Falkenberg 2016, G. Fellner 2017. 2019; Bauaufnahme J. Birnbaum, E. Röver 2000–2003; Digitalisierung M. Saleh 2016–2018, M. Kohnert 2017. 2018, K. Ghods, E. Koenigsaecker 2019; Fundstellenkennzeichnung: A. von Miller

Abb. 3: Plangrundlage: Didyma Gesamtplan 2021, © DAI; Vermessung D. Hoffmann 1997, H. Birk 2009–2013, J. Goischke 2013–2015, J. Falkenberg 2016, G. Fellner 2017. 2019; Bauaufnahme J. Birnbaum, E. Röver 2000–2003; Digitalisierung M. Saleh 2016–2018, M. Kohnert 2017. 2018, K. Ghods, E. Koenigsaecker 2019; Fundstellenkennzeichnung: A. von Miller

Abb. 4: Zeichnung Y78,Z2111: A. von Miller; Umzeichnung Y78,U2111: Ch. Kolb; Photo DID\_2022-08-22\_6076: A. von Miller

Abb. 5: © DAI; Photo Di 2004 – Keramik 442: P. Grundwald

Abb. 6: Zeichnung ZZ1,Z2211: A. von Miller; Umzeichnung ZZ1,U2211: Ch. Kolb; Photo DID\_2022-08-15\_4515: A. von Miller

Abb. 7: Zusammenstellung A. von Miller nach Bumke 2022b, Plantaf. II.1 1–II.1 6

Abb. 8: Photo DID\_2012-08-23\_172: I. Kaiser

Abb. 9: Photo DID\_30-07-2012\_098: I. Kaiser

Abb. 10: Photo DID\_06-08-2012\_006: I. Kaiser

Abb. 11: Photo DID\_30-07-2012\_039: I. Kaiser

Abb. 12: Photo DID\_30-07-2012\_076: I. Kaiser

Abb. 13: Photo DID\_2019-08-05\_0096: I. Kaiser

Abb. 14: Photo DID\_30-07-2012\_066: I. Kaiser

Abb. 15: Photo DID\_30-07-2012\_094: I. Kaiser

Abb. 16: © DAI; digitale Bearbeitung E. Koenigsaecker auf Grundlage Didyma Gesamtplan 2021 (Abb. 1. 2. 3) und Felsbarre Gesamtplan 2004. 2020: P. Schneider

Abb. 17: Photo © DAI Didyma-Archiv Di89-277, Didyma-Grabung; Bearbeitung A. von Miller; Schattner 2007, 17 Abb. 7

Abb. 18: Photo Didyma, GB 1 (1964. 1965. 1968–1074), 70 [K. Tuchelt]: A. von Miller 2023

Abb. 19: Photo Didyma, GB 1 (1964. 1965. 1968–1074), 71 [K. Tuchelt]: A. von Miller 2023

Abb. 20: Photo Didyma, GB 1 (1964. 1965. 1968–1074), 74 [K. Tuchelt]: A. von Miller 2023

Abb. 21: Grafik A. von Miller 2024

Abb. 22: Photos DID\_2012-08-23\_131, DID\_2012-08-23\_132: I. Kaiser

Abb. 23: Zeichnung 78K01-5-15,Z2111: A. von Miller; Umzeichnung 78K01-5-15,U2111: Ch. L. Kolb; Photo DID\_2022-08-17\_4833: A. von Miller

Abb. 24: Zeichnung 84K15-16-14,Z211: A. von Miller; Umzeichnung 84K15-16-14,U2111: Ch. L. Kolb; Photo DID\_2022-08-25\_6800: A. von Miller

Abb. 25: Zeichnung L284,Z2111: A. von Miller; Umzeichnung L284,U2111: Ch. L. Kolb; Photo DID\_2022-08-07\_0902: A. von Miller

Abb. 26: Zeichnung W84,Z2211: A. von Miller; Umzeichnung W84,U2211: Ch. L. Kolb; Photo DID\_2022-08-04\_0170: A. von Miller

Abb. 27: Zeichnung W81,Z2211: A. von Miller; Umzeichnung W81,U2211: Ch. L. Kolb; Photo DID\_2022-08-04\_0164: A. von Miller

Abb. 28: Zeichnung C478b.d-g,Z2211: A. von Miller; Umzeichnung C478b.d-g,U2211: Ch. L. Kolb; Photo DID\_2022-08-31\_7627: A. von Miller

Abb. 29: Zeichnung 80K12-10-17,Z2111: A. von Miller; Umzeichnung 80K12-10-17,U2111: Ch. L. Kolb; Photo DID\_2022-08-12\_2464: A. von Miller

Abb. 30: Zeichnung Ke96078,Z2211: A. von Miller; Umzeichnung Ke96078,U2211: Ch. L. Kolb, Photos DID\_2022-08-05\_0285, DID\_2022-08-05\_0286: A. von Miller

Abb. 31: Zeichnung N447,Z2111: A. von Miller; Umzeichnung N447,U2111: Ch. L. Kolb; Photos DID\_2022-08-19\_5389, DID\_2022-08-19\_5390: A. von Miller

Abb. 32: Zeichnung X697,Z2111: A. von Miller; Umzeichnung X697,U2111: Ch. L. Kolb; Photos DID\_2022-08-12\_2482, DID\_2022-08-12\_2483: A. von Miller

Abb. 33: Zeichnung 80K06-22-1,Z2111: A. von Miller; Umzeichnung 80K06-22-1,U2111: Ch. L. Kolb; Photos DID\_2022-08-10\_1505, DID\_2022-08-10\_1506: A. von Miller

Abb. 34: Zeichnung 81K12-11-8,Z2111: A. von Miller; Umzeichnung 81K12-11-8,U2111: Ch. L. Kolb

Abb. 35: Zeichnung 89K26-5-1,Z2211: A. von Miller; Umzeichnung 89K26-5-1,U2211: Ch. L. Kolb; Photos DID\_2022-08-12\_2123, DID\_2022-08-12\_2124: A. von Miller

Abb. 36: Zeichnung Y2438,Z2111: A. von Miller; Umzeichnung Y2438,U2111: Ch. L. Kolb; Photos DID\_2022-08-22\_6226, DID\_2022-08-22\_6227: A. von Miller

Abb. 37: Zeichnung 84K15-15-7,Z2111: A. von Miller; Umzeichnung 84K15-15-7,U2111: Ch. L. Kolb; Photos DID\_2022-08-26\_7196, DID\_2022-08-26\_7207: A. von Miller

Abb. 38: Zeichnung 96K14-6,Z2111: A. von Miller; Umzeichnung 96K14-6,U2111: Ch. L. Kolb; Photos DID\_2022-08-05\_0517, DID\_2022-08-05\_0518: A. von Miller

Abb. 39: Zeichnung C557,Z2111: A. von Miller; Umzeichnung C557,U2111: Ch. L. Kolb; Photos DID\_2022-08-25\_6773, DID\_2022-08-25\_6774: A. von Miller

Abb. 40: Zeichnung C567,Z2111: A. von Miller; Umzeichnung C567,U2111: Ch. L. Kolb; Photo DID\_2022-08-29\_7484: A. von Miller

Abb. 41: Zeichnung N428,Z2111: A. von Miller; Umzeichnung N428,U2111: Ch. L. Kolb; Photo DID\_2022-08-17\_4728: A. von Miller

Abb. 42: Zeichnung WA150,Z2211: A. von Miller; Umzeichnung WA150,U2211: Ch. L. Kolb; Photo DID\_2022-08-13\_3974: A. von Miller

Abb. 43: Zeichnung 00K26-16-13,Z2111: A. von Miller; Umzeichnung 00K26-16-13,U2111: Ch. L. Kolb; Photo DID\_2022-08-08\_1096: A. von Miller

Abb. 44: Zeichnung L989,Z2111: A. von Miller; Umzeichnung L989,U2111: Ch. L. Kolb; Photo DID\_2022-08-06\_0731: A. von Miller

Abb. 45: Zeichnung Y2249+Y2252,Z2111: A. von Miller; Umzeichnung Y2249+Y2252,U2111: Ch. L. Kolb; Photo DID\_2022-08-21\_5831: A. von Miller

Abb. 46: Zeichnung C487,Z2111: A. von Miller; Umzeichnung C487,U2211: Ch. L. Kolb; Photo DID\_2022-08-26\_7071: A. von Miller

Abb. 47: Zeichnung C491,Z211: A. von Miller; Umzeichnung C491,U2111: Ch. L. Kolb; Photo DID\_2022-08-26\_7290: A. von Miller

Abb. 48: Zeichnung X369,Z2111: A. von Miller; Umzeichnung X369,U2111: Ch. L. Kolb; Photo DID\_2022-08-18\_5189: A. von Miller

Abb. 49: Zeichnung N452,Z2111: A. von Miller; Umzeichnung N452,U2111: Ch. L. Kolb; Photo DID\_2022-08-19\_5289: A. von Miller

Abb. 50: Zeichnung C499,Z2111: A. von Miller; Umzeichnung C499,U2111: Ch. L. Kolb; Photo DID\_2022-08-26\_7325: A. von Miller

Abb. 51: Zeichnung N451b,Z2111: A. von Miller; Umzeichnung N451b,U2111: Ch. L. Kolb; Photos DID\_2022-08-19\_5373, DID\_2022-08-19\_5374: A. von Miller

Abb. 52: Zeichnung Y2297,Z2111: A. von Miller; Umzeichnung Y2297,U2111: Ch. L. Kolb; Photo DID\_2022-08-15\_4265: A. von Miller

Abb. 53: Zeichnung Ke96073,Z2111: A. von Miller; Umzeichnung Ke96073,U2111: Ch. L. Kolb; Photo DID\_2022-08-05\_0275: A. von Miller

Abb. 54: Zeichnung Ke96103,Z2111: A. von Miller; Umzeichnung Ke96103,U2111: Ch. L. Kolb; Photo DID\_2022-08-05\_0497: A. von Miller

Abb. 55: Zeichnung C489,Z2111: A. von Miller; Umzeichnung C489,U2111: Ch. L. Kolb; Photo DID\_2022-08-26\_7338: A. von Miller

Abb. 56: Zeichnung L295,Z2111: A. von Miller; Umzeichnung L295,U2111: Ch. L. Kolb; Photos DID\_2022-08-07\_0895, DID\_2022-08-07\_0896: A. von Miller

Abb. 57: Zeichnung WA166,Z2211: A. von Miller; Umzeichnung WA166,U2211: Ch. L. Kolb; Photo DID\_2022-08-13\_3903: A. von Miller

Abb. 58: Zeichnung WA54,Z2211: A. von Miller; Umzeichnung WA54,U2211: Ch. L. Kolb; Photo DID\_2022-08-13\_4091: A. von Miller

Abb. 59: Zeichnung 00K26-16-9,Z2111: A. von Miller; Umzeichnung 00K26-16-9,U2111: Ch. L. Kolb; Photo DID\_2022-08-08\_1085: A. von Miller

Abb. 60: Zeichnung 80K16-8-7,Z2111: A. von Miller; Umzeichnung 80K16-8-7,U2111: Ch. L. Kolb; Photo DID\_2022-08-18\_5207: A. von Miller

Abb. 61: Zeichnung N470,Z2111: A. von Miller; Umzeichnung N470,U2111: Ch. L. Kolb; Photo DID\_2022-08-19\_5366: A. von Miller

Abb. 62: Zeichnung 89K26-5-6,Z2211: A. von Miller; Umzeichnung 89K26-5-6,U2211: Ch. L. Kolb; Photo DID\_2022-08-12\_2129: A. von Miller

Abb. 63: Zeichnung C670,Z2111: A. von Miller; Umzeichnung C670,U2111: Ch. L. Kolb; Photo DID\_2022-08-24\_6461: A. von Miller

Abb. 64: Zeichnung 90K20-5-16,Z2211: A. von Miller; Umzeichnung 90K20-5-16,U2211:

Ch. L. Kolb; Photo DID\_2022-08-13\_3889:  
A. von Miller

Abb. 65: Zeichnung 00K26-8-12,Z2111:  
A. von Miller; Umzeichnung 00K26-8-12,U2111:  
Ch. L. Kolb; Photos DID\_2022-08-08\_1026,  
DID\_2022-08-08\_1027: A. von Miller

Abb. 66: Zeichnung 77K32-3-3,Z2111:  
A. von Miller; Umzeichnung 77K32-3-3,U2111:  
Ch. L. Kolb; Photo DID\_2022-08-06\_0678:  
A. von Miller

Abb. 67: Zeichnung 78K01-5-10,Z2111:  
A. von Miller; Umzeichnung 78K01-5-10,U2111:  
Ch. L. Kolb; Photo DID\_2022-08-17\_4823:  
A. von Miller

Abb. 68: Zeichnung 96K14-11,Z2111:  
A. von Miller; Umzeichnung 96K14-11,U2111:  
Ch. L. Kolb; Photo DID\_2022-08-05\_0519:  
A. von Miller

Abb. 69: Zeichnung 80K16-11-2,Z2111:  
A. von Miller; Umzeichnung 80K16-11-2,U2111:  
Ch. L. Kolb; Photo DID\_2022-08-12\_2486:  
A. von Miller

Abb. 70: Zeichnung 77K32-1-5,Z2111:  
A. von Miller; Umzeichnung 77K32-1-5,U2111:  
Ch. L. Kolb; Photo DID\_2022-08-17\_4660:  
A. von Miller

Abb. 71: Zeichnung 78K01-1-6,Z2111:  
A. von Miller; Umzeichnung 78K01-1-6,U2111:  
Ch. L. Kolb; Photo DID\_2022-08-17\_4704:  
A. von Miller

Abb. 72: Zeichnung 96K14-13,Z2111:  
A. von Miller; Umzeichnung 96K14-13,U2111:  
Ch. L. Kolb, Photo DID\_2022-08-05\_0535:  
A. von Miller

Abb. 73: Zeichnung 00K26-8-11,Z2111:  
A. von Miller; Umzeichnung 00K26-8-11,U2111:  
Ch. L. Kolb, Photo DID\_2022-08-08\_1022:  
A. von Miller

Abb. 74: Zeichnung V107,Z2111: A. von Miller;  
Umzeichnung V107,U2111: Ch. L. Kolb, Photo  
DID\_2022-08-10\_1799: A. von Miller

Abb. 75: Zeichnung P265,Z2111: A. von Miller;  
Umzeichnung P265,U2111: Ch. L. Kolb, Photo  
DID\_2022-08-06\_0715: A. von Miller

Abb. 76: Zeichnung N495,Z2111: A. von Miller;  
Umzeichnung N495,U2111: Ch. L. Kolb, Photo  
DID\_2022-08-17\_4850: A. von Miller

Abb. 77: Zeichnung 80K16-8-8,Z2111:  
A. von Miller; Umzeichnung 80K16-8-8,U2111:  
Ch. L. Kolb, Photo DID\_2022-08-18\_5209,  
DID\_2022-08-18\_5210: A. von Miller

Abb. 78: Zeichnung X960,Z2111: A. von Miller;  
Umzeichnung X960,U2111: Ch. L. Kolb, Photo  
DID\_2022-08-17\_4581: A. von Miller

Abb. 79: Zeichnung W91,Z2111: A. von Miller;  
Umzeichnung W91,U2111: Ch. L. Kolb, Photos  
DID\_2022-08-04\_0184, DID\_2022-08-04\_0185:  
A. von Miller

Abb. 80: Zeichnung L898,Z2111: A. von Miller;  
Umzeichnung L898,U2111: Ch. L. Kolb, Photos  
DID\_2022-08-17\_4632, DID\_2022-08-17\_4633:  
A. von Miller

Abb. 81: Zeichnung N444,Z2111: A. von Miller;  
Umzeichnung N444,U2111: Ch. L. Kolb, Photo  
DID\_2022-08-19\_5287: A. von Miller

Abb. 82: Zeichnung N444,Z2111: A. von Miller;  
Umzeichnung N444,U2111: Ch. L. Kolb, Photo  
DID\_2022-08-19\_5287: A. von Miller

Abb. 83: Zeichnung N449,Z2111: A. von Miller;  
Umzeichnung N449,U2111: Ch. L. Kolb, Photos  
DID\_2022-08-19\_5385, DID\_2022-08-19\_5386:  
A. von Miller

Abb. 84: Zeichnung X685,Z2111: A. von Miller;  
Umzeichnung X685,U2111: Ch. L. Kolb, Photo  
DID\_2022-08-18\_5101: A. von Miller

Abb. 85: Zeichnung 75K40d-2,Z2111: A. von Miller;  
Umzeichnung 75K40d-2,U2111: Ch. L. Kolb,  
Photos DID\_2022-08-11\_1822, DID\_2022-08-  
11\_1823: A. von Miller

Abb. 86: Zeichnung 77K04-13-1,Z2111:  
A. von Miller; Umzeichnung 77K04-13-1,U2111:  
Ch. L. Kolb, Photos DID\_2022-08-08\_1341,  
DID\_2022-08-08\_1342: A. von Miller

Abb. 87: Zeichnung 78K01-1-2,Z2111:  
A. von Miller; Umzeichnung: 78K01-1-2,U2111:  
Ch. L. Kolb, Photos DID\_2022-08-17\_4700,  
DID\_2022-08-17\_4701: A. von Miller

Abb. 88: Zeichnung C503,Z2111: A. von Miller;  
Umzeichnung C503,U2111: Ch. L. Kolb, Photos  
DID\_2022-08-24\_6459, DID\_2022-08-24\_6460:  
A. von Miller

Abb. 89: Zeichnung 84K15-15-10,Z2111:  
A. von Miller; Umzeichnung 84K15-15-10,U2111:  
Ch. L. Kolb, Photos DID\_2022-08-26\_7329,  
DID\_2022-08-26\_7340: A. von Miller

Abb. 90: Zeichnung L996,Z2111: A. von Miller;  
Umzeichnung L996,U2111: Ch. L. Kolb, Photos  
DID\_2022-08-17\_4641, DID\_2022-08-17\_4642:  
A. von Miller

Abb. 91: Zeichnung N448,Z2111: A. von Miller;  
Umzeichnung N448,U2111: Ch. L. Kolb, Photos  
DID\_2022-08-19\_5361, DID\_2022-08-19\_5362:  
A. von Miller

Abb. 92: Zeichnung X957,Z2111: A. von Miller; Umzeichnung X957,U2111: Ch. L. Kolb, Photos DID\_2022-08-17\_4576, DID\_2022-08-17\_4577: A. von Miller

Abb. 93: Zeichnung N467,Z2111: A. von Miller; Umzeichnung N467,U2111: Ch. L. Kolb, Photos DID\_2022-08-19\_5379, DID\_2022-08-19\_5380: A. von Miller

Abb. 94: Zeichnung 78K01-1-1,Z2111: A. von Miller; Umzeichnung 78K01-1-1,U2111: Ch. L. Kolb, Photos DID\_2022-08-17\_4698, DID\_2022-08-17\_4699: A. von Miller

Abb. 95: Zeichnung N455,Z2111: A. von Miller; Umzeichnung N455,U2111: Ch. L. Kolb, Photos DID\_2022-08-19\_5377, DID\_2022-08-19\_5378: A. von Miller

Abb. 96: Zeichnung X958,Z2111: A. von Miller; Umzeichnung X958,U2111: Ch. L. Kolb, Photos DID\_2022-08-17\_4578, DID\_2022-08-17\_4579: A. von Miller

Abb. 97: Zeichnung C438,Z2111: A. von Miller; Umzeichnung C438,U2111: Ch. L. Kolb, Photos DID\_2022-08-25\_6691, DID\_2022-08-25\_6692: A. von Miller

Abb. 98: Zeichnung 80K12-11-2,Z2111: A. von Miller; Umzeichnung 80K12-11-2,U2111: Ch. L. Kolb, Photos DID\_2022-08-18\_4962, DID\_2022-08-18\_4963: A. von Miller

Abb. 99: Zeichnung N451a,Z2111: A. von Miller; Umzeichnung N451a,U2111: Ch. L. Kolb, Photos DID\_2022-08-19\_5299, DID\_2022-08-19\_5300: A. von Miller

Abb. 100: Zeichnung N509,Z2111: A. von Miller; Umzeichnung N509,U2111: Ch. L. Kolb, Photos DID\_2022-08-17\_4796, DID\_2022-08-17\_4797: A. von Miller

Abb. 101: Zeichnung W16,Z2111: A. von Miller; Umzeichnung W16,U2111: Ch. L. Kolb, Photos DID\_2022-08-12\_2144, DID\_2022-08-12\_2145: A. von Miller

Abb. 102: Zeichnung B166,Z2111: A. von Miller; Umzeichnung B166,U2111: Ch. L. Kolb, Photos DID\_2022-08-15\_4411, DID\_2022-08-15\_4412: A. von Miller

Abb. 103: Zeichnung Ke96134,Z2111: A. von Miller; Umzeichnung Ke96134,U2111: Ch. L. Kolb, Photos DID\_2022-08-05\_0495, DID\_2022-08-05\_0496: A. von Miller

Abb. 104: Zeichnung Ke96112,Z2111: A. von Miller; Umzeichnung Ke96112,U2111: Ch. L. Kolb, Photos DID\_2022-08-05\_0593, DID\_2022-08-05\_0594: A. von Miller

Abb. 105: Zeichnung N493,Z2111: A. von Miller; Umzeichnung N493,U2111: Ch. L. Kolb, Photos DID\_2022-08-17\_4874, DID\_2022-08-17\_4875: A. von Miller

Abb. 106: Zeichnung Ke96123,Z2111: A. von Miller; Umzeichnung Ke96123,U2111: Ch. L. Kolb, Photos DID\_2022-08-05\_0537, DID\_2022-08-05\_0538: A. von Miller

Abb. 107: Zeichnung 80K16-8-4,Z2111: A. von Miller; Umzeichnung 80K16-8-4,U2111: Ch. L. Kolb, Photos DID\_2022-08-18\_5201, DID\_2022-08-18\_5202: A. von Miller

Abb. 108: Zeichnung WA205,Z2111: A. von Miller; Umzeichnung WA205,U2111: Ch. L. Kolb, Photos DID\_2022-08-12\_2257, DID\_2022-08-12\_2258: A. von Miller

Abb. 109: Zeichnung C362,Z2111: A. von Miller; Umzeichnung C362,U2111: Ch. L. Kolb, Photos DID\_2022-08-25\_6835, DID\_2022-08-25\_6836: A. von Miller

Abb. 110: Zeichnung 78K01-6,Z2111: A. von Miller; Umzeichnung 78K01-6,U2111: Ch. L. Kolb, Photos DID\_2022-08-19\_5351, DID\_2022-08-19\_5352: A. von Miller

Abb. 111: Zeichnung 89K26-6-4,Z2111: A. von Miller; Umzeichnung 89K26-6-4,U2111: Ch. L. Kolb, Photos DID\_2022-08-12\_2152, DID\_2022-08-12\_2153: A. von Miller

Abb. 112: Zeichnung X968,Z2111: A. von Miller; Umzeichnung X968,U2111: Ch. L. Kolb, Photos DID\_2022-08-12\_2429, DID\_2022-08-12\_2430: A. von Miller

Abb. 113: Zeichnung 84K15-19-1,Z2111: A. von Miller; Umzeichnung 84K15-19-1,U2111: Ch. L. Kolb, Photos DID\_2022-08-26\_7180, DID\_2022-08-26\_7181: A. von Miller

Abb. 114: Zeichnung WA222,Z2111: A. von Miller; Umzeichnung WA222,U2111: Ch. L. Kolb, Photos DID\_2022-08-12\_2316, DID\_2022-08-12\_2317, DID\_2022-08-12\_2318, DID\_2022-08-12\_2319: A. von Miller

Abb. 115: Zeichnung C630,Z2111: A. von Miller; Umzeichnung C630,U2111: Ch. L. Kolb, Photos DID\_2022-08-23\_6339, DID\_2022-08-23\_6340: A. von Miller

Abb. 116: Zeichnung N3,Z2111: A. von Miller; Umzeichnung N3,U2111: Ch. L. Kolb, Photos DID\_2022-08-17\_4732, DID\_2022-08-17\_4733: A. von Miller

Abb. 117: Zeichnung N441,Z2111: A. von Miller; Umzeichnung N441,U2111: Ch. L. Kolb, Photos

DID\_2022-08-19\_5309, DID\_2022-08-19\_5310:  
A. von Miller  
Abb. 118: Zeichnung N479,Z2111: A. von Miller;  
Umzeichnung N479,U2111: Ch. L. Kolb, Photos  
DID\_2022-08-17\_4923, DID\_2022-08-17\_4924:  
A. von Miller  
Abb. 119: Zeichnung N3b,Z2111: A. von Miller;  
Umzeichnung N3b,U2111: Ch. L. Kolb, Photos  
DID\_2022-08-17\_4782, DID\_2022-08-17\_4783:  
A. von Miller  
Abb. 120: Zeichnung Y2264,Z2111: A. von Miller;  
Umzeichnung Y2264,U2111: Ch. L. Kolb, Photos  
DID\_2022-08-15\_4317, DID\_2022-08-15\_4318:  
A. von Miller  
Abb. 121: Zeichnung WA240,Z2111: A. von Miller;  
Umzeichnung WA240,U2111: Ch. L. Kolb, Photos  
DID\_2022-08-12\_2324, DID\_2022-08-12\_2325:  
A. von Miller  
Abb. 122: Zeichnung C368,Z2111: A. von Miller;  
Umzeichnung C368,U2111: Ch. L. Kolb, Photos  
DID\_2022-08-25\_6745, DID\_2022-08-25\_6756:  
A. von Miller  
Abb. 123: Zeichnung 89K26-5-7,Z2111:  
A. von Miller; Umzeichnung 89K26-5-7,U2111:  
Ch. L. Kolb, Photos DID\_2022-08-12\_2131,  
DID\_2022-08-12\_2132: A. von Miller  
Abb. 124: Zeichnung N438,Z2111: A. von Miller;  
Umzeichnung N438,U2111: Ch. L. Kolb, Photos  
DID\_2022-08-17\_4692, DID\_2022-08-17\_4693:  
A. von Miller  
Abb. 125: Zeichnung N486,Z2111: A. von Miller;  
Umzeichnung N486,U2111: Ch. L. Kolb, Photos  
DID\_2022-08-17\_4890, DID\_2022-08-17\_4891:  
A. von Miller  
Abb. 126: Zeichnung W87,Z2111: A. von Miller;  
Umzeichnung W87,U2111: Ch. L. Kolb, Photos  
DID\_2022-08-11\_2041, DID\_2022-08-11\_2042:  
A. von Miller  
Abb. 127: Zeichnung WA486,Z2111: A. von Miller;  
Umzeichnung WA486,U2111: Ch. L. Kolb, Photos  
DID\_2022-08-13\_3905, DID\_2022-08-13\_3906:  
A. von Miller  
Abb. 128: Zeichnung C276,Z2111: A. von Miller;  
Umzeichnung C276,U2111: Ch. L. Kolb, Photos  
DID\_2022-08-26\_7275, DID\_2022-08-26\_7277:  
A. von Miller  
Abb. 129: Zeichnung C259,Z2111: A. von Miller;  
Umzeichnung C259,U2111: Ch. L. Kolb, Photo  
DID\_2022-08-26\_7359: A. von Miller  
Abb. 130: Zeichnung C257a+C257b,Z2111:  
A. von Miller; Umzeichnung C257a+C257b,U2111:  
Ch. L. Kolb, Photo DID\_2022-08-26\_7308:  
A. von Miller  
Abb. 131: Zeichnung C480,Z2111: A. von Miller;  
Umzeichnung C480,U2111: Ch. L. Kolb, Photo  
DID\_2022-08-26\_7087: A. von Miller  
Abb. 132: Zeichnung F306,Z2111: A. von Miller;  
Umzeichnung F306,U2111: Ch. L. Kolb, Photo  
DID\_2022-08-15\_4364: A. von Miller  
Abb. 133: Zeichnung B161,Z2111: A. von Miller;  
Umzeichnung B161,U2111: Ch. L. Kolb, Photos  
DID\_2022-08-15\_4402, DID\_2022-08-15\_4403:  
A. von Miller  
Abb. 134: Zeichnung Ke96089,Z2111:  
A. von Miller; Umzeichnung Ke96089,U2111:  
Ch. L. Kolb, Photos DID\_2022-08-05\_0485,  
DID\_2022-08-05\_0486: A. von Miller  
Abb. 135: Zeichnung Ke0069,Z2111: A. von Miller;  
Umzeichnung Ke0069,U2111: Ch. L. Kolb, Photos  
DID\_2022-09-06\_7528, DID\_2022-09-06\_7529:  
A. von Miller  
Abb. 136: Zeichnung Ke96157,Z2111:  
A. von Miller; Umzeichnung Ke96157,U2111:  
Ch. L. Kolb, Photos DID\_2022-08-05\_0359,  
DID\_2022-08-05\_0360: A. von Miller  
Abb. 137: Zeichnung 00K26-16-4,Z2111:  
A. von Miller; Umzeichnung 00K26-16-4,U2111:  
Ch. L. Kolb, Photos DID\_2022-08-08\_1077,  
DID\_2022-08-08\_1078: A. von Miller  
Abb. 138: Zeichnung C681,Z2111: A. von Miller;  
Umzeichnung C681,U2111: Ch. L. Kolb, Photos  
DID\_2022-08-26\_7078, DID\_2022-08-26\_7079:  
A. von Miller  
Abb. 139: Zeichnung N477,Z2111: A. von Miller;  
Umzeichnung N477,U2111: Ch. L. Kolb, Photos  
DID\_2022-08-17\_4870, DID\_2022-08-17\_4871:  
A. von Miller  
Abb. 140: Zeichnung N484,Z2111: A. von Miller;  
Umzeichnung N484,U2111: Ch. L. Kolb, Photos  
DID\_2022-08-17\_4921, DID\_2022-08-17\_4922:  
A. von Miller  
Abb. 141: Zeichnung Y2434,Z2111: A. von Miller;  
Umzeichnung Y2434,U2111: Ch. L. Kolb, Photos  
DID\_2022-08-21\_5876, DID\_2022-08-21\_5877:  
A. von Miller  
Abb. 142: Zeichnung 77K32-2-2,Z2111:  
A. von Miller; Umzeichnung 77K32-2-2,U2111:  
Ch. L. Kolb, Photos DID\_2022-08-06\_0737,  
DID\_2022-08-06\_0738: A. von Miller  
Abb. 143: Zeichnung Y2555,Z2111: A. von Miller;  
Umzeichnung Y2555,U2111: Ch. L. Kolb, Photos  
DID\_2022-08-12\_2346, DID\_2022-08-12\_2347:  
A. von Miller

Abb. 144: Zeichnung 80K16-8-2,Z2111: A. von Miller; Umzeichnung 80K16-8-2,U2111: Ch. L. Kolb, Photos DID\_2022-08-18\_5205, DID\_2022-08-18\_5206: A. von Miller

Abb. 145: Zeichnung W14,Z2111: A. von Miller; Umzeichnung W14,U2111: Ch. L. Kolb, Photos DID\_2022-08-12\_2142, DID\_2022-08-12\_2143: A. von Miller

Abb. 146: Zeichnung X972bis,Z2111: A. von Miller; Umzeichnung X972bis,U2111: Ch. L. Kolb, Photos DID\_2022-08-12\_2433, DID\_2022-08-12\_2434: A. von Miller

Abb. 147: Zeichnung L992,Z2111: A. von Miller; Umzeichnung L992,U2111: Ch. L. Kolb, Photos DID\_2022-08-17\_4649, DID\_2022-08-17\_4650: A. von Miller

Abb. 148: Zeichnung N454b,Z2111: A. von Miller; Umzeichnung N454b,U2111: Ch. L. Kolb, Photos DID\_2022-08-19\_5395, DID\_2022-08-19\_5396: A. von Miller

Abb. 149: Zeichnung 81K15-4-3,Z2111: A. von Miller; Umzeichnung 81K15-4-3,U2111: Ch. L. Kolb, Photos DID\_2022-08-20\_5629, DID\_2022-08-20\_5630: A. von Miller

Abb. 150: Zeichnung 89K22-2a-1,Z2111: A. von Miller; Umzeichnung 89K22-2a-1,U2111: Ch. L. Kolb, Photos DID\_2022-08-11\_2068, DID\_2022-08-11\_2069: A. von Miller

Abb. 151: Zeichnung L986,Z2111: A. von Miller; Umzeichnung L986,U2111: Ch. L. Kolb, Photos DID\_2022-08-06\_0725, DID\_2022-08-06\_0726: A. von Miller

Abb. 152: Zeichnung N464,Z2111: A. von Miller; Umzeichnung N464,U2111: Ch. L. Kolb, Photos DID\_2022-08-19\_5320, DID\_2022-08-19\_5321: A. von Miller

Abb. 153: Zeichnung N481,Z2111: A. von Miller; Umzeichnung N481,U2111: Ch. L. Kolb, Photos DID\_2022-08-17\_4880, DID\_2022-08-17\_4881: A. von Miller

Abb. 154: Zeichnung N454a,Z2111: A. von Miller; Umzeichnung N454a,U2111: Ch. L. Kolb, Photos DID\_2022-08-19\_5383, DID\_2022-08-19\_5384: A. von Miller

Abb. 155: Zeichnung N476a,Z2111: A. von Miller; Umzeichnung N476a,U2111: Ch. L. Kolb, Photos DID\_2022-08-19\_5307, DID\_2022-08-19\_5308: A. von Miller

Abb. 156: Zeichnung Y76,Z2111: A. von Miller; Umzeichnung Y76,U2111: Ch. L. Kolb, Photos DID\_2022-08-22\_6097, DID\_2022-08-22\_6098: A. von Miller

Abb. 157: Zeichnung F347,Z2111: A. von Miller; Umzeichnung F347,U2111: Ch. L. Kolb, Photos DID\_2022-08-18\_5035, DID\_2022-08-18\_5036: A. von Miller

Abb. 158: Zeichnung Y2239,Z2111: A. von Miller; Umzeichnung Y2239,U2111: Ch. L. Kolb, Photos DID\_2022-08-22\_6192, DID\_2022-08-22\_6193: A. von Miller

Abb. 159: Zeichnung V100,Z2111: A. von Miller; Umzeichnung V100,U2111: Ch. L. Kolb, Photos DID\_2022-08-11\_1875, DID\_2022-08-11\_1876: A. von Miller

Abb. 160: Zeichnung 80K16-11-1,Z2111: A. von Miller; Umzeichnung 80K16-11-1,U2111: Ch. L. Kolb, Photos DID\_2022-08-12\_2484, DID\_2022-08-12\_2485: A. von Miller

Abb. 161: Zeichnung 96K12-2-6,Z2111: A. von Miller; Umzeichnung 96K12-2-6,U2111: Ch. L. Kolb, Photos DID\_2022-08-05\_0337, DID\_2022-08-05\_0338: A. von Miller

Abb. 162: Zeichnung N6+78K01-5-2,Z2111: A. von Miller; Umzeichnung N6+78K01-5-2,U2111: Ch. L. Kolb

Abb. 163: Zeichnung N476b,Z2111: A. von Miller; Umzeichnung N476b,U2111: Ch. L. Kolb, Photos DID\_2022-08-19\_5367, DID\_2022-08-19\_5368: A. von Miller

Abb. 164: Zeichnung Ke96109,Z2111: A. von Miller; Umzeichnung Ke96109,U2111: Ch. L. Kolb, Photos DID\_2022-08-05\_0487, DID\_2022-08-05\_0488: A. von Miller

Abb. 165: Zeichnung Ke96086,Z2111: A. von Miller; Umzeichnung Ke96086,U2111: Ch. L. Kolb, Photos DID\_2022-08-05\_0261, DID\_2022-08-05\_0262: A. von Miller

Abb. 166: Zeichnung L1086a,Z2111: A. von Miller; Umzeichnung L1086a,U2111: Ch. L. Kolb, Photo DID\_2022-08-07\_0968: A. von Miller

Abb. 167: Zeichnung L296+1104+1129+77K04-11-2,Z2112: A. von Miller; Umzeichnung L296+1104+1129+77K04-11-2,U2112: Ch. L. Kolb, A. von Miller, Photo DID\_2022-08-07\_0992: A. von Miller

Abb. 168: Zeichnung F308,Z2111: A. von Miller; Umzeichnung F308,U2111: Ch. L. Kolb, Photo DID\_2022-08-15\_4377: A. von Miller

Abb. 169: Zeichnung 84K15-10-9,Z2111: A. von Miller; Umzeichnung 84K15-10-9,U2111: Ch. L. Kolb, Photo DID\_2022-08-26\_7230: A. von Miller

Abb. 170: Zeichnung 89K21-2-5,Z2111: A. von Miller; Umzeichnung 89K21-2-5,U2111:

Ch. L. Kolb, Photo DID\_2022-08-12\_2081:  
A. von Miller  
Abb. 171: Zeichnung C478a+C478c,Z2111:  
A. von Miller; Umzeichnung C478a+C478c,U2111:  
Ch. L. Kolb, Photo DID\_2022-08-24\_6486:  
A. von Miller  
Abb. 172: Zeichnung C483,Z2111: A. von Miller;  
Umzeichnung C483,U2111: Ch. L. Kolb,  
Photo DID\_2022-08-26\_7323: A. von Miller

---

#### ANSCHRIFT

Dr. Alexandra Ch. J. von Miller  
Eberhard Karls Universität Tübingen  
Philosophische Fakultät  
Institut für Klassische Archäologie  
Burgsteige 11 – Schloss Hohentübingen  
72070 Tübingen  
Deutschland  
alexandra.von-miller@uni-tuebingen.de  
ORCID-iD: <https://orcid.org/0000-0001-7317-9484>

---

#### METADATA

Titel/*Title*: Neues zum alten Didyma. Zu den frühesten archäologischen Zeugnissen aus dem Heiligtum des Apollon/ *New Reflections on Ancient Didyma. On the Earliest Archaeological Evidence from the Sanctuary of Apollo*  
Band/*Issue*: IstMitt 74, 2024  
Bitte zitieren Sie diesen Beitrag folgenderweise/  
*Please cite the article as follows*: A. Ch. J. von Miller, Neues zum alten Didyma. Zu den frühesten archäologischen Zeugnissen aus dem Heiligtum des Apollon, IstMitt 74, 2024, § 1–73, <https://doi.org/10.34780/dd5b-bbc4>  
Copyright: Alle Rechte vorbehalten/*All rights reserved*.  
DOI: <https://doi.org/10.34780/dd5b-bbc4>  
Schlagwörter/*Keywords*: Didyma, Apollonheiligtum, Keramik, Spätbronzezeit, Eisenzeit, Archaik/*Didyma, sanctuary of Apollo, pottery, Late Bronze Age, Early Iron Age, Archaic period*  
Bibliographischer Datensatz/*Bibliographic reference*: <https://zenon.dainst.org/Record/003076844>